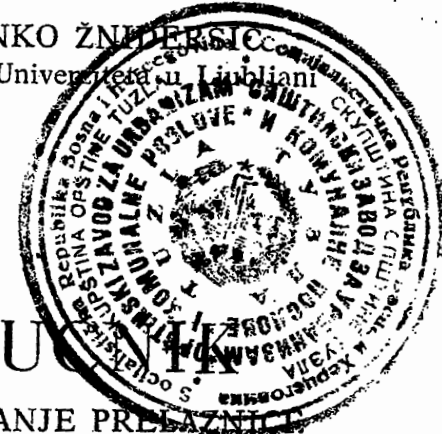


Dr ing. BRANKO ŽNIJERSIĆ
redovni profesor Univerziteta u Ljubljani



PRIRUČNIK
ZA OBELEŽAVANJE PRELAZNIH
OBЛИKA KLOTOИDE
PRAVOUGLIM KOORDINATAMA

Računski obradio
Ing. ALEKSANDAR MAKAROV

Drugo izdanje

Izdavačko preduzeće
»GRAĐEVINSKA KNJIGA«
Beograd, 1966.



P R E D G O V O R

Povodom objavljivanja drugog izdanja priručnika za obeležavanje prelaznica oblika klotoide pomoću pravouglih koordinata, zahvaljujem svima kolegama, koji su me upozorili na izvesne štamparske greške u prvom izdanju i molim ih za dalju saradnju. Posebno zahvaljujem drugu inž. Miroslavu Markoviću, redovnom profesoru univerziteta u Beogradu, koji mi je, pored svoje preposlenosti, brzo i stručno preveo tekst uvoda na srpskohrvatski jezik.

Sadržaj tabela je isti kao i u prvom izdanju. Povećan je samo uvod, koji sada, pored teorijskih osnova, sadrži i sve moguće načine polaganja prelaznica uz praktične primere.

U Ljubljani, februara 1966.

Autor

Sva prava,
posebno za prevode na strane jezike,
zadržana

Za preduzeće: *Ljubica Jurela*, glavni urednik
Urednik: *Dragomir Lazin* — Korektor: *Vuka Ivanović*

Stampa: Grafičko preduzeće »NOVI DANI« — Beograd

S A D R Ž A J

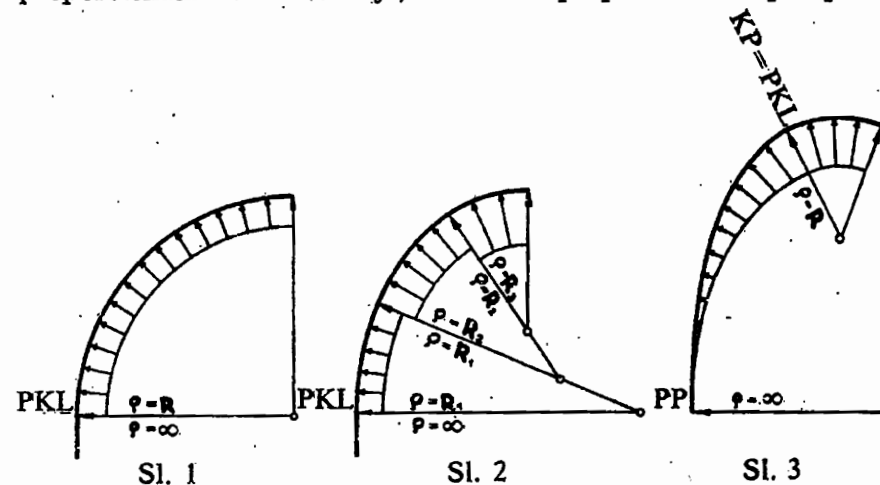
Uvod	Strana
1. Svrha prelaznice	7
2. Razni oblici prelaznice	10
3. Lučna radioida ili klotoida	18
4. Proračun i obeležavanje simetrične krivine . .	23
5. Proračun i obeležavanje nesimetrične krivine . .	27
a) Prelaznica na desnoj strani kružnog luka je duža od prelaznice na levoj strani	27
b) Prelaznica na levoj strani kružnog luka je duža od prelaznice na desnoj strani	31
c) Prelaznica je samo na desnoj strani kru- žnog luka	33
d) Prelaznica je samo na levoj strani kru- žnog luka	36
6. Proračun i obeležavanje prelaznice između isto- smernih kružnih lukova različitih poluprečnika (korpaste krivine)	39
7. Proračun i obeležavanje prelaznice između kru- žnih lukova suprotnog smera (kontrakrivine)	53
8. Određivanje normale i tangente u proizvoljnoj tački klotoide	57
9. Primena sličnosti klotoida	59
Korišćena literatura	60
Tabele za obeležavanje prelaznice oblika klotoide po- moću pravouglih koordinata	61

U V O D

1. Svrha prelaznice

Jedan od najvažnijih zahteva brzog saobraćaja, kako na željeznicama isto tako i na putevima, je pravilno oblikovanje krivina, a pri ovom oblikovanju je od velikog značaja umetanje prelaznih krivina ili prelaznica.

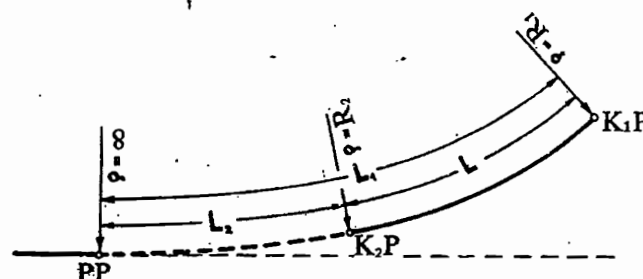
Dok su se kretali vozovi sa srazmerno malim brzinama, na željeznicama se iz pravca prelazi neposredno u kružni luk (sl. 1). Spoljna šina mora u krivinama da usmerava vozilo, te stoga mora preuzeti određeni bočni pritisak, čija je veličina upravo proporcionalna brzini vožnje, a obrnuto proporcionalna polupreč-



niku krivine. Ako se iz pravca pređe neposredno u kružni luk, ovaj bočni pritisak se na početku kružnog luka javlja iznenada u svoj svojoj veličini, i to kao udar na spoljnu šinu. Zbog tih udara se spoljna šina u toj tački jače haba, a pored toga od udara trpe i vozila. Drugi nedostatak takvog prelaza je trzaj, koji neugodno

deluje na putnike i prouzrokuje neugodnu vožnju. Oba ta uticaja su utoliko veća, ukoliko je veća brzina kretanja i ukoliko je oštrega krivina, tj. ukoliko je manji njen poluprečnik. U prvim počecima građenja železnica su napred pomenuti nedostaci bili snošljivi, zbog malih brzina kretanja, te je zato potpuno zadovoljavao i neposredan prelaz iz pravca u kružni luk. Sa povećavanjem brzine vožnje ispoljavali su se nedostaci ovakvog prelaza u sve većoj meri, te su prešli dopuštene mere. Zbog toga su se pri prelazu iz pravca u kružni luk počele primenjivati složene, koraste kružne krivine (sl. 2). Time su znatno smanjeni ranije navedeni nedostaci, ali ipak nisu bili potpuno otklonjeni. Bočni pritisak je uostalom još uvek povećavao svoj iznos u skokovima, mada su udari i trzaji bili manji. Kada se pak brzina vožnje još više povećala, počeli su između pravca i kružnog luka da ubacuju prelaznu krivinu ili prelaznicu. To je takva kriva, čija zakrivljenost raste postepeno i kontinualno od 0 (pravac) do određene vrednosti (kružni luk). Time su sprečeni udari i trzaji, do kojih je dolazio usled nepravilno oblikovanog prelaza iz pravca u kružni luk (sl. 3). Bočni pritisak se povećava lagano i bez skokova od 0 u početku prelaznice do određene vrednosti na kraju prelaznice, odnosno na početku kružnog luka.

Isto kao i između pravca i kružnog luka, važno je da se prelaznica umetne i između dva istosmerna kružna luka različitog poluprečnika. Zakrivljenost jednog kružnog luka mora postepeno i kontinualno da prede u zakrivljenost drugoga. U takvim slučajevima, međutim, ne koristimo cele dužine prelaznice od $\rho = \infty$ (pravac) do $\rho = R$ (kružni luk), već samo deo te prelaznice, i to tako, da je na početku tога odseka poluprečnik zakrivljenosti jednak poluprečniku jednog kružnog luka, a na kraju odseka poluprečniku drugog kružnog luka (sl. 4).



Sl. 4

Na železničkim prugama je prelaznice prvi primenio Pressel, i to je usvojio kubnu parabolu. Njegov način primene, koji je godine 1854. objavio u »Eisenbahnzeitung«, bio je međutim veoma neprikladan. Pressel je inače uvideo značaj prelaznice, ali nije

dao praktične metode za obeležavanje. To pitanje je rešio tek francuski inženjer Nördling godine 1867. Od tada pa sve do današnjih dana se za prelaznicu na železničkim prugama najčešće primenjivala kubna parabola.

Na većini železničkih pruga, izuzimajući novije, prelaznice su umetane tek naknadno a ne prilikom građenja. Pošto su se pri tim rekonstrukcijama što je moguće više izbegavali veći zemljani radovi, primenjivane su srazmerno vrlo kratke prelaznice, koje su zadovoljavale u to vreme. Ali čim se povećala brzina vožnje, postale su kratke prelaznice jednim od uzroka trzaja pri kretanju železničkih vozila.

Značaj prelaznica na putevima počeo se naglašavati i ispitivati srazmerno vrlo kasno, i to tek pre nekih 30 godina. Uzrok tome su bili srazmerno mala brzina kretanja i negativni stav nekih stručnih krugova, koji su tvrdili da na putevima prelaznice nisu potrebne, pošto ne postoji utvrđeni kolosek.

Razvoj prelaznica na putevima bio je potpuno sličan razvoju na železnicama. Dok se na putevima vršio samo spori zaprežni saobraćaj, trasa puta je bila sastavljena samo iz pravaca i kružnih luka. Po uvođenju motornog saobraćaja takva rešenja nisu više zadovoljavala, jer motorni saobraćaj, zbog većih brzina kretanja, ima i veće zahteve u pogledu oblikovanja putnih krivina no što ih je imao zaprežni saobraćaj. Direktan prelaz iz pravca u krivinu prouzrokuje snažni trzaj u poprečnom smeru, jer se poprečni udar javlja iznenada u punoj svojoj veličini. Ovaj udar utiče nepovoljno kako na vozilo i putnike, isto tako i na kolovozni zastor. Da bi to sprečili, umećemo između pravca i kružnog luka prelaznicu. Na taj način se dobija blag prelaz i put ima elastično pružanje. S obzirom da prelaznice omogućuju kontinualan prelaz iz jedne zakrivljenosti u drugu, njihovim uvođenjem nije udovoljeno samo voznotehničkim zahtevima, već je sa prelaznicama povoljnih dužina udovoljeno takođe i psihološkom i estetičkom uslovu.

Ako posmatramo motorno vozilo pri vožnji iz pravca u kružni luk, videćemo da se to kretanje vrši po prelaznici. Ako ova prelaznica nije izvedena na samom putu, vozilo će se ipak kretati po prelaznici uz napuštanje saobraćajne trake koja je njemu namenjena, znači kretalo bi se po pogrešnoj saobraćajnoj traci, što može prouzrokovati nesreću. Razmatrajući stvar strogo teorijski, vozač koji bi želeo voziti tačno iz pravca u kružni luk, bio bi pružen da na početku kružnog luka zaustavi vozilo, okrene upravljač za određeni ugao koji odgovara zakrivljenosti datog kružnog luka, a zatim da ponovo krene napred.

Iz svega navedenog sledi da je primena prelaznica na putevima isto tako važna kao i na železnicama, ako ne i važnija. Putno vozilo moramo što pravilnije da usmerimo, da ne bi napuštao svoju saobraćajnu traku.

Na putevima primjenjujemo prelaznice zbog sledećih razloga:

1. da se pri vožnji po prelaznici prednji točkovi vozila okreću postepeno i kontinualno do ugla okretanja, koji odgovara vožnji po kružnom luku;
2. da bočni pritisak ne nastupi iznenada, već postepeno i kontinualno da raste do određene vrednosti;
3. da perspektivno skraćenje pri pogledu iz pravca u kružni luk ne bude preveliko i da se vozaču ne pričini krivina oštrom no što je stvarno (psihološki razlog), što se dešava ako su krivine bez prelaznica;
4. ako su između pravca i kružnog luka, između istosmernih kružnih lukova i kružnih lukova suprotnog smera umetnute srazmerno duge prelaznice, dakle ako se svaka promena zakrivljenosti vrši postepeno i kontinualno — trasa se pruža elastično a to je povoljno sa gledišta estetičnosti trase;
5. na dužini prelaznice vrši se i vitoperenje poprečnog profila;
6. ako je kolovoz u kružnoj krivini proširen, prelaz sa neproširenog na prošireni kolovoz vrši se na dužini prelaznice.

2. Razni oblici prelaznica

Po pitanju koja kriva je najpovoljnija za prelaznice na železničkim prugama, odnosno na putevima, bilo je u stručnoj literaturi ne malo rasprava i članaka. Razni autori su predlagali različite krive i isticali prednosti svoga predloga, mada je više puta bio znatno komplikovan.

Da bi neka kriva bila povoljna kao prelaznica na železničkim prugama, odnosno putevima, mora pre svega da odgovara vozno-tehničkim zahtevima koje postavljamo za prelaznice. Isto tako je važan i drugi uslov, ako nije i važniji, a to je da za tu krivu postoje pogodne tabele za obeležavanje, pomoću kojih se prelaznica može brzo i jednostavno, a pri tom i dovoljno tačno obeležiti na terenu. Kao dokaz za ovo tvrđenje može nam poslužiti kubna parabola, koja se, i pored svojih nedostataka, već sto godina primjenjuje kao prelaznica na železničkim prugama, jer je njena jednačina, u poređenju sa drugim krivama koje dolaze u obzir za tu svrhu, vrlo jednostavna, i pre svega i zato što su za tu krivu bile na raspolaganju praktične tabele za obeležavanje (Sarrazin—Oberbeck—Höfer).

Što se oblika tiče, prelaznica mora da ispunjava sledeće zahteve:

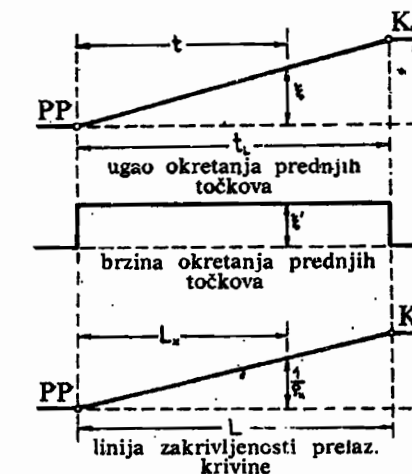
1. Prelaz od poluprečnika $\rho = \infty$ (pravac) do poluprečnika $\rho = R$ (kružni luk) mora da se izvrši postepeno i kontinualno;

2. Prelaznica mora u svojoj krajnjoj tački da tangira kružni luk;

3. Prelaznica ne sme proizvoljno da menja svoju zakrivljenost, već mora da sledi određeni zakon zakrivljenosti.

Prelaznice mogu da se podele u dve glavne grupe, i to u prelaznice sa pravolinijskim dijagramom zakrivljenosti i u prelaznice sa zakrivljenim dijagramom zakrivljenosti. Dijagram zakrivljenosti proizvoljne krive dobijamo, ako tu krivu razvijemo po pravcu i od tога pravca nanosimo u vidu ordinata zakrivljenosti $\frac{1}{\rho}$ u pojedinim tačkama (ρ je poluprečnik zakrivljenosti u tim tačkama).

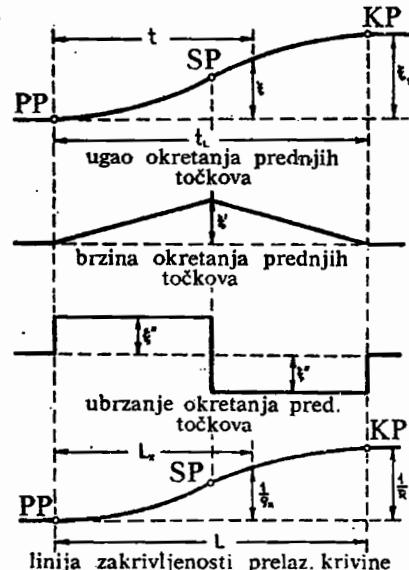
Prelaznice sa pravolinijskim dijagramom zakrivljenosti (sl. 5): prepostavimo po mogućству što manju brzinu okrećanja prednjih točkova, kojoj odgovara pravolinijski porast ugla okrećanja. Brzina okrećanja prednjih točkova je dakle konstantna i to $\xi' = \frac{d\xi}{dt}$, где ξ označuje ugao okrećanja, a t vreme okrećanja točkova. Ako želimo da prelaznica odgovara takvom okrećanju pred-



Sl. 5

njih točkova, mora njena zakrivljenost $\frac{1}{\rho}$ pravolinijski da raste od 0 do $\frac{1}{R}$, где R označava poluprečnik kružnog luka kome vodi ta prelaznica. Takvu prelaznicu nazivamo prelaznicom sa pravolinijskim dijagramom zakrivljenosti.

Prelaznice sa zakrivljenim dijagramom zakrivljenosti (sl. 6): Pretpostavimo što je moguće manje ubrzanje okretanja prednjih točkova $\ddot{\xi} = \frac{d^2\xi}{dt^2}$, kome odgovara postepeno rastuća, odnosno



Sl. 6

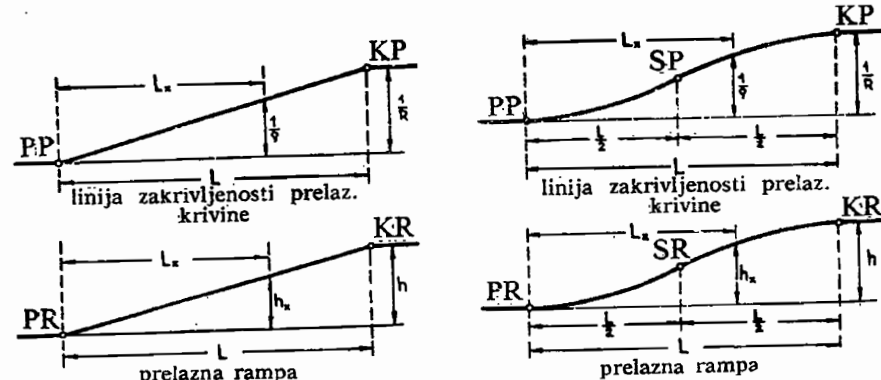
postepeno opadajuća brzina okretanja prednjih točkova, koja u sredini prelaznice dostiže svoju maksimalnu vrednost. Ubzanje okretanja prednjih točkova je u prvoj polovini prelaznice pozitivno, a u drugoj polovini negativno, znači usporeno. Prelaznicu koja odgovara takvom okretanju prednjih točkova nazivamo prelaznicom sa zakrivljenim dijagramom zakrivljenosti.

Pretpostavili smo u oba primera da se vozilo kreće konstantnom brzinom. Ako bi stvar posmatrali strogo teorijski, morali bi uzeti u obzir i uticaj dužine vozila na liniju zakrivljenosti. No pošto je dužina vozila u upoređenju sa dužinom prelaznice obično mala, i njen uticaj na vožnju po prelaznici je mali, te ga možemo zanemariti.

Treba pomenuti još i vezu između dijagrama zakrivljenosti prelaznice i prelazne rampe. Priznati nemacki stručnjak za pitanja prelaznica, dr inž. Gerhard Schramm, postavio je u svojoj knjizi „Der Gleisbogen“ zahtev da prelazna rampa mora imati istovetan tok kao i dijagram zakrivljenosti, a da dužina prelazne rampe treba da je jednaka dužini prelaznice. Prema tome, pre-

laznici sa pravolinijskim dijagramom zakrivljenosti odgovara prava prelazna rampa, a prelaznici s zakrivljenim dijagramom zakrivljenosti odgovara i zakrivljena prelazna rampa (sl. 7).

Prelaznice sa zakrivljenim dijagramom zakrivljenosti su manje poznate. Nemačke državne železnice su, na predlog napred imenovanog Gerharda Schramma, pokušale sa takvim prelaznicama, odnosno prelaznim rampama na nekim železničkim prugama i utvrđile da je njihova primena preporučljiva naročito za veće brzine vožnje. Prednost prelaznica sa zakrivljenim dijagramom zakrivljenosti je ta da je odmak kruga, koji se zahteva za umetanje prelaznice između pravca i kružnog luka, za polovinu manji



Sl. 7

nego kod prelaznica sa pravolinijskim dijagramom zakrivljenosti; prednost zakrivljenih prelaznih rampi je, međutim, u blagoj vožnji. Činjenica da je odmak kruga za polovinu manji je od naročitog značaja pri rekonstrukciji postojećih komunikacija, jer obično težimo tome, da trasu što manje pomeramo te da time svedemo na minimum obim radova na rekonstrukciji. Prelaznice sa zakrivljenim dijagramom zakrivljenosti i njima odgovarajuće zakrivljene prelazne rampe ima, međutim, smisla primenjivati samo pri srazmerno velikim brzinama kretanja. Dok se vozovi kreću umerenim brzinama, potpuno će zadovoljavati i prelaznice sa pravolinijskim dijagramom zakrivljenosti, odnosno prave prelazne rampe. Tek kada se brzina vožnje bude povećala na primer na 130–150 km/h, biće umesne prelaznice sa zakrivljenim dijagramom zakrivljenosti, odnosno zakrivljene prelazne rampe.

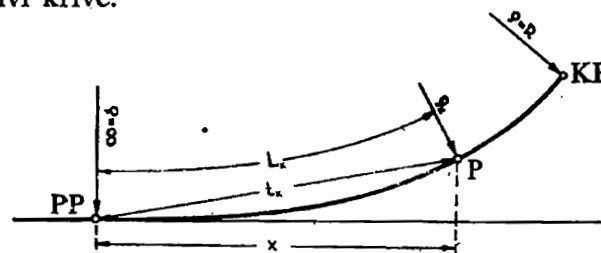
Na putevima još nemamo iskustva u pogledu prelaznica sa zakrivljenim dijagramom zakrivljenosti i njima odgovarajućim zakrivljenim prelaznim rampama. Međutim, pošto razlika između prave i zakrivljene prelazne rampe iznosi samo nekoliko santimetara, a pošto prelome nivelete na pravoj prelaznoj rampi inače zaobljujemo kružnim lukovima, koji su propisani za prelome

niveleta, — potpuno zadovoljavaju na putevima prelaznice sa pravolinijskim dijagramom zakrivljenosti i prave prelazne rampe, naročito ako su srazmerno duge.

U daljem izlaganju biće obrađivane samo prelaznice sa pravolinijskim dijagramom zakrivljenosti.

Poluprečnik zakrivljenosti prelaznice se od vrednosti $\rho = \infty$ (pravac) do $\rho = R$ (kružni luk) može menjati srazmerno (sl. 8):

1. lučnoj dužini krive;
2. apscisi krive;
3. tétivi krive.



Sl. 8

ad 1) Zakonu zakrivljenosti $L_x \cdot \rho_x = C$, pošto se poluprečnik zakrivljenosti krive smanjuje pravolinijski srazmerno sa lučnom dužinom krive, odgovara *lučna radioida ili klotoida*.

L_x = lučna dužina klotoide od njenog početka do proizvoljne tačke;

ρ_x = poluprečnik zakrivljenosti u toj tački;
 C = konstanta.

Matematički oblik krive, čija zakrivljenost pravolinijski raste sa njenom lučnom dužinom, prvi je rešio austrijski inspektor železnica Max Leber, godine 1890, i nazvao je lučnom radioidom. Nezavisno od njega rešio ju je i italijanski matematičar Cesaro, godine 1901. i nazvao je klotoidom.

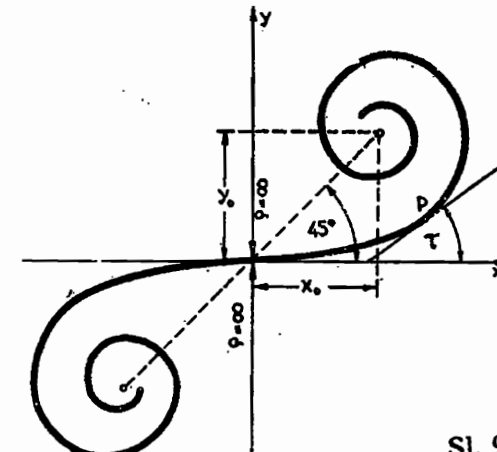
Jednačine klotoide su:

$$x = \sqrt{\frac{C}{2}} \int_0^{\tau} \frac{\cos \tau}{|\tau|} \cdot d\tau \quad \dots \dots \dots \quad (1)$$

$$y = \sqrt{\frac{C}{2}} \int_0^{\tau} \frac{\sin \tau}{|\tau|} \cdot d\tau \quad \dots \dots \dots$$

Oblik klotoide u koordinatnom sistemu prikazuje sl. 9. Njeno područje upotrebljivosti je neograničeno.

Klotoida je matematički prilično komplikovana kriva. Dok za nju nisu postojale podesne tabele za obeležavanje, zamjenjivali su je sa kružnim lukom dvostrukog poluprečnika glavnog kruga. Iz zakona zakrivljenosti sledi, naime, da ta kriva ima u polovini svoje lučne dužine poluprečnik zakrivljenosti $2R$, ako je R poluprečnik



Sl. 9

glavnog kruga kome vodi ta prelaznica. Pošto zakon zakrivljenosti $L_x \cdot \rho_x = C$ važi za proizvoljnu tačku klotoide, to za njenu krajnju tačku, gde se prelaznica spaja sa kružnim lukom, važi da je $L \cdot R = C$, a za tačku koja leži u polovini lučne dužine prelaznice biće

$$2R \cdot \frac{L}{2} = C.$$

Kružni luk sa $2R$, međutim, nije prelaznica u pravom smislu reči, već samo zamena za prelaznicu, i danas, kada raspolažemo tablicama za obeležavanje klotoide, više se i ne primenjuje.

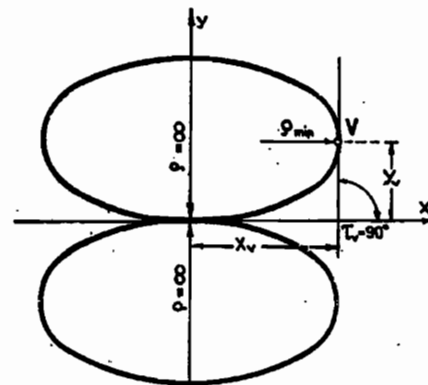
ad 2) Ako se, umesto sa lučnom dužinom krive, poluprečnik zakrivljenosti smanjuje pravolinijski srazmerno sa apscisom krive, dobijamo zakon zakrivljenosti $x \cdot \rho_x = C$, kome odgovara *apscisna radioida*.

Jednačina apscisne radioide je:

$$y = \int_0^x \frac{\frac{x^2}{2C} dx}{(1 - \frac{x^2}{2C})^2} \quad \dots \dots \dots \quad (2)$$

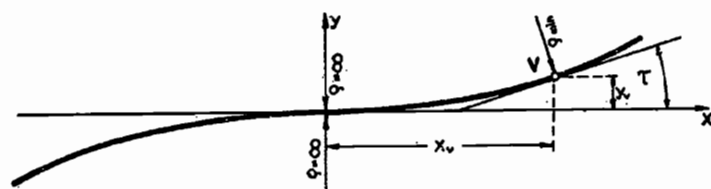
Eliptični integral koji nam predstavlja jednačinu apscisne radioide može se rešiti samo približno, razvijanjem u redove.

Apcisnu radiooidu u koordinatnom sistemu prikazuje sl. 10. Ona se može primeniti u području od $\tau = 0$ do $\tau = 90^\circ$.



Sl. 10

Pošto je i apscisna radiooida dosta komplikovana kriva, u praksi se nije koristila kao prelaznica, već je služila samo kao polazna tačka da se dođe do jednačine kubne parabole.



Sl. 11

U diferencijalnoj jednačini apscisne radioide stavimo da je $\frac{dy}{dx} = 0$ pa se po dvostrukom integraljenju dobija opšti oblik kubne parabole:

$$y = \frac{x^3}{6 C} \quad \dots \dots \dots \quad (3)$$

Oblik kubne parabole u koordinatnom sistemu vidi se na slici 11.

Pri određivanju konstante C uvedene su razne aproksimacije te se došlo do jednačine prostog oblika kubne parabole:

$$y = \frac{x^3}{6 R \cdot l} \quad \dots \dots \dots \quad (4)$$

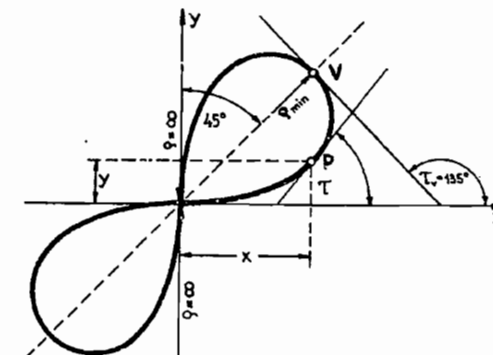
l = apscisna dužina prelaznice.

Međutim, prost oblik kubne parabole, zbog njenih nedostataka, smemo upotrebiti samo pri umerenim, tj. srazmerno malim dužinama prelaznica. Zbog toga je Höfer u priročniku za obeležavanje Sanrazin—Oberbeck korigovao jednačinu proste kubne parabole i dobio jednačinu korigovane kubne parabole:

$$y = \sqrt[3]{\left[1 + \left(\frac{l}{2 R} \right)^2 \right]^3} \cdot x^3 \quad \dots \dots \dots \quad (5)$$

Područje primene kako proste, isto tako i korigovane kubne parabole je od $\tau = 0$ do $\tau = 24^\circ 05' 41''$

ad 3) U slučaju pak da se poluprečnik zakrivljenosti menja pravolinijski srazmerno sa tetivom knive, glasiće zakon zakrivljenosti $t_x \cdot p_x = C$ i tome zakonu odgovara *tetivna radioida* ili *lemniskata* ili *Bernulijeva petlja*.



Sl. 12

Jednačina tetivne radioide glasi:

$$(x^2 + y^2) = 6 C x y \quad \dots \dots \dots \quad (6)$$

Sl. 12 prikazuje tetivnu radiooidu u koordinatnom sistemu. Ona je primenljiva u području od $\tau = 0$ do $\tau = 135^\circ$.

3. Lučna radioida ili klotoida

Jednačinu klotoide dobijamo na sledeći način:

Za osnov uzmemo zakon zakrivljenosti klotoide $L_x \cdot \rho_x = C$, izračunamo cdatle zakrivljenost $\frac{1}{\rho_x}$ i tu vrednost unesemo u diferencijalnu jednačinu za zakrivljenost proizvoljne krive:

$$\frac{1}{\rho_x} = \frac{d(\arctg \frac{dy}{dx})}{dL_x} = \frac{L_x^2}{C}$$

Po integraljenju dobijamo:

$$\arctg \frac{dy}{dx} = \frac{L_x^2}{2C}$$

$$\frac{dy}{dx} = \operatorname{tg} \frac{L_x^2}{2C}$$

Ako rešimo ovu diferencijalnu jednačinu, dobijamo dve jednačine, i to:

$$\frac{dx}{dL_x} = \cos \frac{L_x^2}{2C}$$

$$\frac{dy}{dL_x} = \sin \frac{L_x^2}{2C}$$

Po integraljenju dobijamo jednačine klotoide:

$$x = \int_0^{L_x} \cos \frac{L_x^2}{2C} dL_x ; \quad y = \int_0^{L_x} \sin \frac{L_x^2}{2C} dL_x \quad \dots \dots \quad (7)$$

Ugao τ koji zaklapa tangentu u proizvoljnoj tački klotoide sa tangentom u njenoj početnoj tački, izračunamo iz jednačine:

$$\operatorname{tg} \tau = \frac{dy}{dx} = \frac{\sin \frac{L_x^2}{2C}}{\cos \frac{L_x^2}{2C}} = \operatorname{tg} \frac{L_x^2}{2C}$$

Dobijamo:

$$\tau = \frac{L_x^2}{2C}$$

Ugao τ je znači zavisan samo od lučne udaljenosti L_x te tačke od početka klotoide i od konstante C klotoide.

Ako ugao τ uvedemo u jednačinu klotoide, dobijamo:

$$x = \sqrt{\frac{C}{2}} \cdot \int_0^{\tau} \frac{\cos \tau}{\sqrt{\tau}} \cdot d\tau ; \quad y = \sqrt{\frac{C}{2}} \cdot \int_0^{\tau} \frac{\sin \tau}{\sqrt{\tau}} \cdot d\tau \quad \dots \dots \quad (1)$$

Kao što se vidi iz sl. 9, koja nam prikazuje klotoidu u koordinatnom sistemu, klotoida teži nekoj tački koju dostiže tada kada je njena dužina $L_x = \infty$. Iz toga uslova dobijamo koordinate x_0 i y_0 te tačke:

$$x_0 = \int_0^{\infty} \cos \frac{L_x^2}{2C} dL_x ; \quad y_0 = \int_0^{\infty} \sin \frac{L_x^2}{2C} dL_x$$

Ta dva integrala je prvi rešio Fresnel, i to je:

$$x_0 = y_0 = \frac{1}{2} \sqrt{\pi \cdot C} = \pm 0,88623 \sqrt{C}$$

Pošto je $x_0 = y_0$, znači da tačka kojoj teži klotoida leži na pravoj koja prolazi kroz početak koordinatnog sistema i zaklapa sa osom x ugao 45° .

Iz jednačine klotoide se vidi, da je ta kriva matematički prično komplikovana. Možemo je izraziti samo sa dvema jednačinama, koje obe sadrže takozvane Fresnelove integrale koji se daju rešiti samo približno i to sa razvijanjem u redove.

Iz osnovnih jednačina klotoide su izračunati svi podaci, koji su nam potrebni za obeležavanje prelaznice u obliku klotoide.

U zaglavljtu tabela dati su sledeći podaci (sl. 13):

- R = poluprečnik kružnog luka
- L = lučna dužina prelaznice
- l = apscisna dužina prelaznice
- d = udaljenost početka prelaznice od teorijskog početka odmaknutog kružnog luka
- y_I = ordinata krajnje tačke prelaznice
- x = apscisa proizvoljne tačke prelaznice
- y = ordinata proizvoljne tačke prelaznice
- ΔR = odmak kruga, a to je iznos za koji moramo da odmaknemo kružni luk ka unutrašnjoj strani krivine, da bi mogli između pravca i kružnog luka umetnuti prelaznicu
- e = dužina subtangente u krajnjoj tački prelaznice
- τ_I = ugao koji zaklapa tangentu u krajnjoj tački prelaznice sa tangentom u njenoj početnoj tački
- ω_I = ugao koji zaklapa vizura iz početne tačke na krajnju tačku prelaznice sa tangentom u početnoj tački
- φ_I = ugao koji zaklapa vizura iz krajnje na početnu tačku prelaznice sa tangentom u krajnjoj tački
- PP = početak prelaznice
- KP = kraj prelaznice
- PKL = početak kružnog luka

Sve ove vrednosti izračunavamo iz sledećih obrazaca:

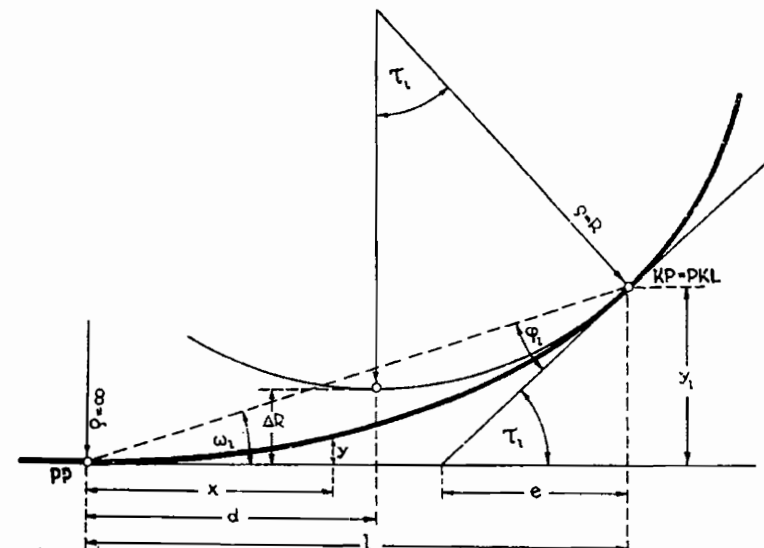
$$l = L \left[1 - 0,1000000000 \left(\frac{L}{2R} \right)^2 + 0,0046296296 \left(\frac{L}{2R} \right)^4 - \right. \\ \left. - 0,0001068376 \left(\frac{L}{2R} \right)^6 + 0,0000014589 \left(\frac{L}{2R} \right)^8 - \dots \right]. \quad (8)$$

$$d = l - R \sin \tau_I \quad \quad (9)$$

$$y_I = \frac{L^2}{6R} \left[1 - 0,0714285714 \left(\frac{L}{2R} \right)^2 + 0,0022727273 \left(\frac{L}{2R} \right)^4 - \right.$$

$$- 0,0000396825 \left(\frac{L}{2R} \right)^6 + 0,0000004351 \left(\frac{L}{2R} \right)^8 - \dots \right]. \quad (10)$$

$$y = \frac{x^3}{6C} \left[1 + 0,22857 \left(\frac{x^2}{2C} \right)^2 + 0,11838 \left(\frac{x^2}{2C} \right)^4 + 0,07887 \left(\frac{x^2}{2C} \right)^6 + \right. \\ \left. + 0,05951 \left(\frac{x^2}{2C} \right)^8 + 0,04838 \left(\frac{x^2}{2C} \right)^{10} + 0,04133 \left(\frac{x^2}{2C} \right)^{12} + \right. \\ \left. + 0,03658 \left(\frac{x^2}{2C} \right)^{14} + 0,03325 \left(\frac{x^2}{2C} \right)^{16} + \dots \right] \quad . . . \quad (11)$$



Sl. 13

$$\Delta R = y_I - R (1 - \cos \tau_I) = y_I - 2R \sin \frac{\tau_I}{2} \quad . . . \quad (12)$$

$$e = y_I \cdot \operatorname{ctg} \tau_I \quad \quad (13)$$

$$\tau_l = \left(-\frac{L}{2R} \cdot 57,2957795 \right)^0 \dots \dots \dots \quad (14)$$

$$\operatorname{tg} \omega_l = \frac{y_l}{l} \dots \dots \dots \quad (15)$$

$$\varphi_l = \tau_l - \omega_l \dots \dots \dots \quad (16)$$

Ako želimo za proizvoljnu tačku prelaznice, čija udaljenost od početka iznosi L_x , da odredimo apscisu x , upotrebimo jednačinu:

$$x = L_x \left[1 + 0,1000000 \left(\frac{L^2}{2C} \right)^2 + 0,0046296 \left(\frac{L^2}{2C} \right)^4 - \right. \\ \left. - 0,0001068 \left(\frac{L^2}{2C} \right)^6 + 0,0000015 \left(\frac{L^2}{2C} \right)^8 - \dots \right] \quad (17)$$

U slučaju da smo proizvoljnu tačku prelaznice obeležili sa njenim pravouglim koordinatama x i y , pa tražimo njenu lučnu udaljenost od početka prelaznice, poslužićemo se jednačinom:

$$L_x = x \cdot \left[1 + 0,1000000 \left(\frac{L^2}{2C} \right)^2 + 0,0453704 \left(\frac{L^2}{2C} \right)^4 + \right. \\ + 0,0286254 \left(\frac{L^2}{2C} \right)^6 + 0,0209671 \left(\frac{L^2}{2C} \right)^8 + 0,0167281 \left(\frac{L^2}{2C} \right)^{10} + \\ + 0,0141073 \left(\frac{L^2}{2C} \right)^{12} + 0,0123693 \left(\frac{L^2}{2C} \right)^{14} + \\ \left. + 0,01111626 \left(\frac{L^2}{2C} \right)^{16} + \dots \right] \dots \dots \quad (18)$$

Ugao τ_x , koji zaklapa tangenta u proizvoljnoj tački klotoide sa tangentom u PP , izračunaćemo po jednačini:

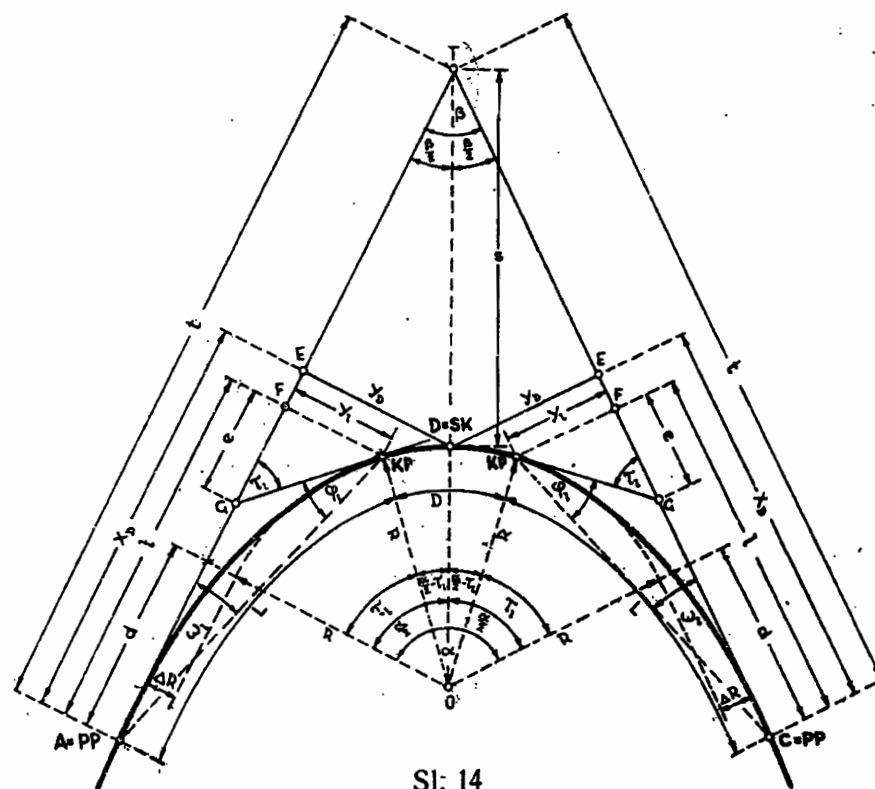
$$\tau_x = \left(\frac{L^2}{x} \cdot 57,2957795 \right) \dots \dots \dots \quad (19)$$

Ordinate kružnog luka, merene od glavne tangente, tj. od apscisne ose prelaznice, izračunaćemo iz jednačine:

$$y = R + \Delta R - \sqrt{\left[R + (x - d) \right] \left[R - (x - d) \right]} \quad (20)$$

4. Računanje i obeležavanje simetrične krivine

Kod simetrične krivine su prelaznice na obe strane kružnog luka jednake dužine. Elemente za obeležavanje takve krivine izračunaćemo pomoći podataka koje dobijamo u priručniku za obeležavanje kružnih lukova i u priručniku za obeležavanje klotoide, i to preko sledećih obrazaca (sl. 14):



Sl. 14

X

Tangenta:

$$t = \overline{AT} = (R + \Delta R) \operatorname{tg} \frac{\alpha}{2} + d \quad \dots \dots \quad (21)$$

Udaljenost sredine krivine D od temena T :

$$s = \overline{TD} = (R + \Delta R) (\sec \frac{\alpha}{2} - 1) + \Delta R \quad \dots \dots \quad (22)$$

Apscisa sredine krivine:

$$x_D = \overline{AE} = R \sin \frac{\alpha}{2} + d \quad \dots \dots \quad (23)$$

Ordinate sredine krivine:

$$y_D = \overline{ED} = R (1 - \cos \frac{\alpha}{2}) + \Delta R \quad \dots \dots \quad (24)$$

Dužina cele krivine:

$$\widehat{ADC} = 2 \left[\frac{R\pi \left(\frac{\alpha}{2} - \tau_1 \right)}{180} + L \right] \quad \dots \dots \quad (25)$$

Dužina samo kružnog luka pak iznosi: *prelaznicu*

$$D = \widehat{KP} = \frac{R \cdot \pi (a - 2\tau_1)}{180} + 2L \quad \dots \dots \quad (26)$$

Ako je dužina cele krivine mala, a dužine prelaznica su srazmerno velike, moramo da obratimo pažnju na to, da se obostrane prelaznice u sredini ne presecaju, jer se to ne dopušta. Kriterij da se obostrane prelaznice ne presecaju je:

$$a \geq 2\tau_1 \quad \dots \dots \quad (27)$$

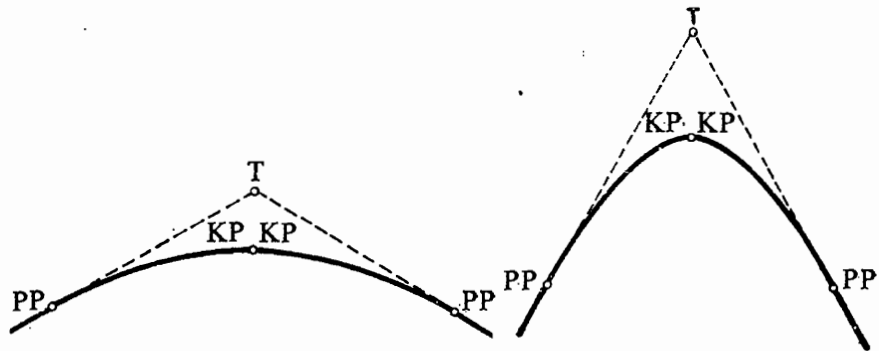
Ako je $a > 2\tau_1$, postoji između prelaznica deo kružnog luka. Ako je pak $a = 2\tau_1$, kružni luk otpada i krajevi obe prelaznice padaju u istu tačku. Kada je, međutim, $a < 2\tau_1$, prelaznice se presecaju, što se ne dopušta.

Obostrane prelaznice možemo spojiti samo u slučaju da je krivina vrlo blaga (sl. 15), a nikako u slučaju kada je krivina oštra (sl. 16).

Što se tiče odnosa između dužine luka i dužina obostranih prelaznica, najpovoljnije je ako je taj odnos što približnije 1:1:1.

Kada smo izračunali sve elemente za obeležavanje krivine, iskolčimo prvo glavne tačke krivine. Simetrična krivina ima pet glavnih tačaka, i to: dva početka prelaznica (PP), dva kraja prelaznica (KP) i sredinu krivine (SK). U izuzetnom slučaju može imati samo 4 odnosno 3 glavne tačke, tj. oba početka prelaznica i oba kraja prelaznica, koji padaju u istu tačku.

Od temena T odmerimo po jednoj i drugoj strani poligona dužinu tangente i dobijamo oba početka prelaznica. Sa koordinatama t i y , koje dobijamo u priručniku za obeležavanje klotoide, obeležimo oba kraja prelaznica. Kraj prelaznice je vrlo važna tačka, jer od nje obeležavamo kružni luk. Zato mora biti tačno obeležena, što se može kontrolisati pomoću ugla ω_1 koji je dat u priručniku za obeležavanje klotoide.



Sl. 15

Sl. 16

Detaljne tačke kružnog luka obeležavamo skoro uvek od tangente u KP . To je tangenta prelaznice a istovremeno i kružnog luka. Obeležavamo je na sledeći način: postavimo teodolit u KP i uviziramo tačku G , koju smo obeležili na glavnoj tangenti. Razdaljinu $FG = e$ dobijamo iz priručnika za obeležavanje klotoide. Ako preokrenemo durbin, dobijemo smer tangente u KP , od koje možemo sada po jednoj od metoda da obeležimo detaljne tačke kružnog luka.

Smer tangente u KP , međutim, možemo dobiti i na drugi način. Postavimo teodolit u KP i uviziramo PP . Ako od te vizure odmerimo ugao φ_1 i preokrenemo durbin, dobijamo smer tangente u KP . Ugao φ_1 dobijamo iz tablica za obeležavanje klotoide.

Ako je kružni luk između krajeva prelaznica srazmerno kratak, možemo ga obeležiti i od glavne tangente, tj. od apscisne ose klotoide. To se, međutim, isplati samo u slučaju kada ordinate nisu velike. U priručniku za obeležavanje klotoide pomoću pravouglih koordinata punije odštampana ordinata već je ordinata kružnog luka. Dodatne ordinate pak možemo izračunati takođe iz jednačine (20).

Sredina krivine, tj. tačka D je vrlo važna tačka, jer nam pri obeležavanju detaljnih tačaka kružnog luka služi za kontrolu da li su detaljne tačke bile dovoljno tačno obeležene. Tačku D možemo obeležiti na dva načina. U slučaju kada je poligonski ugao β tup, odnosno središni ugao α oštar, udaljenost temena T od sredine krivine D je mala, te zato tačku D obeležavamo tako da po simetrali ugla β nanesemo razdaljinu $s = \overline{TD}$. Ako je pak poligonski ugao β oštar, odnosno središni ugao α tup, onda je razdaljina \overline{TD} relativno velika, te je zato umesnije da se tačka D obeleži sa koordinatama $x = \overline{AE}$ i $y = \overline{ED}$.

Primer: $R = 500$ m, $L = 180$ m, $\alpha = 74^\circ 12' 20''$

Za $R = 500$ m i $L = 180$ m očitamo u zaglavljiju tabele priručnika za obeležavanje klotoide: $\Delta R = 2,697$ m; $d = 89,903$ m; $r_1 = 10^\circ 18' 48''$. Iz priručnika za obeležavanje kružnih lukova pak dobijamo:

$$\tan \frac{\alpha}{2} = 0,75636; \sec \frac{\alpha}{2} - 1 = 0,25384; \sin \frac{\alpha}{2} = 0,60325;$$

$$1 - \cos \frac{\alpha}{2} = 0,20245 \text{ i}$$

$$\frac{\pi \left(\frac{\alpha}{2} - r_1 \right)}{180} = \frac{\pi (37^\circ 06' 10'' - 10^\circ 18' 48'')} {180} = \frac{\pi (26^\circ 47' 22'')} {180} = 0,46757$$

Prvo ispitajmo da se prelaznice ne presecaju u sredini:

$$74^\circ 12' 20'' > 2 (10^\circ 18' 48'') = 20^\circ 37' 36''$$

Izračunaćemo sada pojedine elemente krivine:

$$t = (500,000 + 2,697) \cdot 0,75636 + 89,903 = 470,12 \text{ m}$$

$$s = (500,000 + 2,697) \cdot 0,25384 + 2,697 = 130,30 \text{ m}$$

$$x_D = 500,00 \cdot 0,60325 + 89,903 = 391,53 \text{ m}$$

$$y_D = 500,00 \cdot 0,20245 + 2,697 = 103,92 \text{ m}$$

$$\overline{ADC} = 2 [500,00 \cdot 0,46757 + 180,00] = 827,57 \text{ m}$$

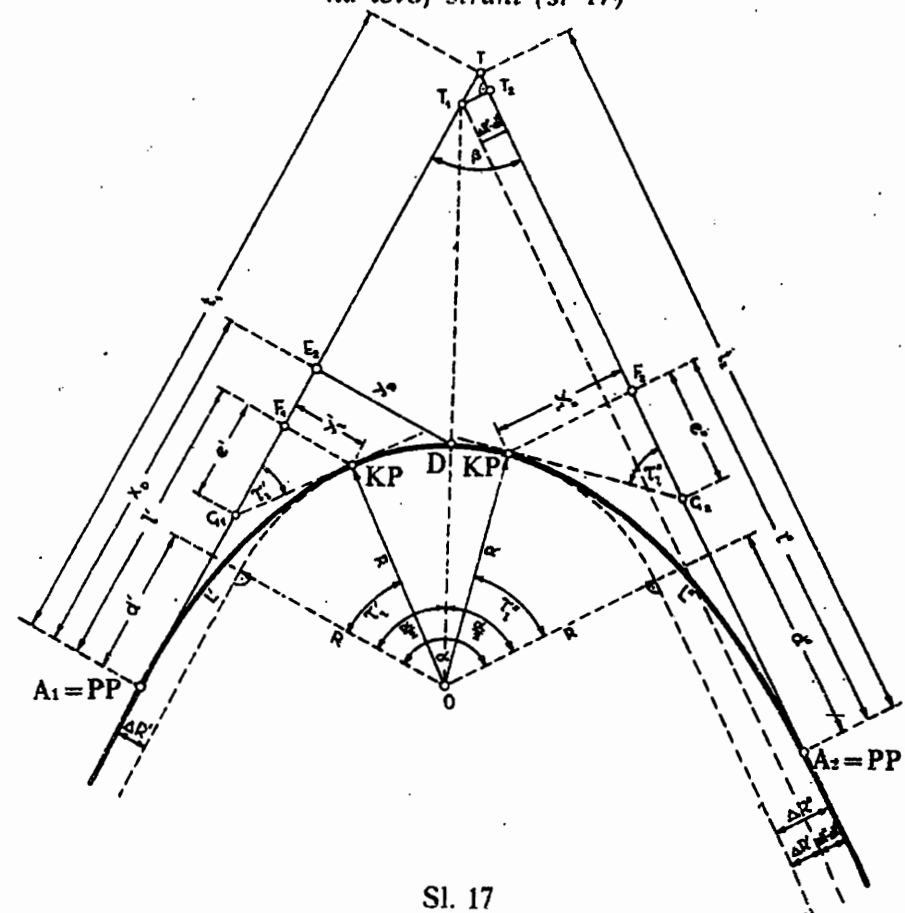
U slučaju da je teme T nedostupno, elemente ćemo izračunati i obeležiti krivinu onako kako je to opisano u Priručniku za obeležavanje kružnih lukova.

5. Računanje i obeležavanje nesimetrične krivine

Nesimetrična krivina je sastavljena iz kružnog luka i obostranih prelaznica različite dužine. I kod nesimetričnih krivina može kružni luk da otpadne te da se obostrane prelaznice spajaju.

Suština računanja nesimetričnih krivina je u tome, da je za računanje pretvorimo u simetričnu krivinu, sa prelaznicama koje su jednake kraćoj prelaznici, a zatim pomoću trougla $T_1 T_2 T$ kod temena, i sa podacima za dužu prelaznicu izračunamo elemente za obeležavanje nesimetrične krivine.

a) Prelaznica na desnoj strani kružnog luka je duža od prelaznice na levoj strani (sl. 17)



Pošto je $L'' > L'$ to je, pri jednakom poluprečniku R , i $\Delta R'' > \Delta R'$. Tangenta t_1 je:

$$t_1 = A_1 T = \overline{A_1 T_1} + T_1 T$$

Dužina $\overline{A_1 T_1}$ je jednaka dužini tangente simetrične krivine sa prelaznicama dužine L' :

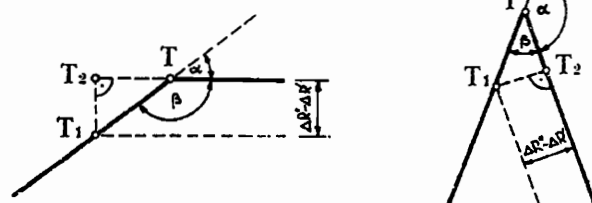
$$\overline{A_1 T_1} = (R + \Delta R') \operatorname{tg} \frac{\alpha}{2} + d'$$

Razdaljina

$$\overline{T_1 T} = \frac{\Delta R'' - \Delta R'}{\sin \alpha}$$

Prema tome, tangenta t_1 iznosi:

$$t_1 = (R + \Delta R') \operatorname{tg} \frac{\alpha}{2} + d' + \frac{\Delta R'' - \Delta R'}{\sin \alpha} \quad \dots \quad (28)$$



Sl. 18

A druga tangenta je:

$$t_2 = \overline{A_2 T_2} \pm \overline{T_2 T}$$

Dužina $\overline{A_2 T_2}$ iznosi:

$$\overline{A_2 T_2} = (R + \Delta R') \operatorname{tg} \frac{\alpha}{2} + d''$$

Prema tome i za računanje dužine $\overline{A_2 T_2}$ dolazi u obzir zbir $(R + \Delta R') \operatorname{tg} \frac{\alpha}{2}$ a ne $(R + \Delta R'') \operatorname{tg} \frac{\alpha}{2}$ dok se tome pribraja količina d'' a ne d' .

Razdaljinu $\overline{T_2 T}$ dobijamo iz trougla $T_1 T_2 T$ (sl. 18) i ona je jednaka:

$$\overline{T_2 T} = \pm \frac{\Delta R'' - \Delta R'}{\operatorname{tg} \alpha}$$

Kao što se vidi iz sl. 18, predznak ovog sabirka zavisi od veličine srednjeg ugla α odnosno od poligonskog ugla β . Ako je: α između 0° i 90° (β između 180° i 90°), predznak je $-$; α između 90° i 180° (β između 90° i 0°), predznak je $+$.

Konačno dobijamo:

$$t_2 = (R + \Delta R') \operatorname{tg} \frac{\alpha}{2} + d'' \pm \frac{\Delta R'' - \Delta R'}{\operatorname{tg} \alpha} \quad \dots \quad (29)$$

Dužina kružnog luka iznosi:

$$D = \frac{R\pi}{180} \left[\alpha - (\tau'_l + \tau''_l) \right] \quad \dots \quad (30)$$

A dužina cele krivine je:

$$\widehat{A_1 A_2} = \frac{R\pi}{180} \left[\alpha - (\tau'_l + \tau''_l) \right] + L' + L'' \quad \dots \quad (31)$$

Ako želimo da obeležimo neku tačku na kružnom luku, koja bi nam docije pri obeležavanju detaljnih tačaka služila za kontrolu (kao npr. sredina krivine D pri simetričnoj krivini), izabraćemo za tu tačku D , koja leži na preseku kružnog luka sa simetralom OT .

Udaljenost $\overline{T_1 D}$ iznosi:

$$\overline{T_1 D} = (R + \Delta R') \left(\sec \frac{\alpha}{2} - 1 \right) + \Delta R' \quad \dots \quad (32)$$

Apscisa i ordinata tačke D su:

$$x_D \doteq \overline{A_1 E_1} = R \sin \frac{\alpha}{2} + d' \quad \dots \quad (33)$$

$$y_D = \overline{E_1 D} = R \left(1 - \cos \frac{\alpha}{2} \right) + \Delta R'' \quad \dots \quad (34)$$

Poslednje tri jednačine, međutim, važe samo u slučaju ako simetrala OT_1 seče kružni luk a ne prelaznice, prema tome ako je tačka D na kružnom luku. Kriterij da leži tačka D na kružnom luku je:

$$\frac{\alpha}{2} \geq \tau''_l \quad \dots \quad (35)$$

pri čemu ugao τ''_l pripada dužoj prelaznici L'' .

Ako je razlika između dužina obostranin prelaznica vrlo velika, a prelaznice su relativno duge, može nastati slučaj da simetrala $\overline{OT_1}$ ne seče kružni luk već prelaznicu i tada jednačine za $\overline{T_1D}$, $\overline{A_1E_1}$ i $\overline{E_1D}$ ne važe. Radi toga je potrebno da se uvek ispita, da li tačka D leži na kružnom luku ili ne.

I kod nesimetrične krivine, isto kao i kod simetrične krivine, treba ispitati da li se obostrane prelaznice ne presecaju u sredini.

Uvek mora biti:

$$\alpha \geq \tau'_1 + \tau''_1 \quad \dots \quad \dots \quad \dots \quad \dots \quad (36)$$

U krajnjem slučaju mogu krajevi prelaznica da se spajaju i tada je:

$$\alpha = \tau'_1 + \tau''_1$$

Primer: $R = 200$ m, $L' = 100$ m, $L'' = 150$ m, $\alpha = 50^\circ 16' 40''$. Prema tome je $L'' > L'$.

Iz priručnika za obeležavanje klotoidaочитавамо:

za $R = 200$ m i $L' = 100$ m sledeće podatke:

$$\Delta R' = 2,079 \text{ m}, d' = 49,896 \text{ m}, \tau'_1 = 14^\circ 19' 26''$$

za $R = 200$ m i $L'' = 150$ m pak sledeće podatke:

$$\Delta R'' = 4,664 \text{ m}, d'' = 74,650 \text{ m}, \tau''_1 = 21^\circ 29' 09''$$

Iz priručnika za obeležavanje kružnih lukova dobijamo:

$$\operatorname{tg} \frac{\alpha}{2} = 0,46926, \sec \frac{\alpha}{2} - 1 = 0,10463, \sin \frac{\alpha}{2} = 0,42482,$$

$$1 - \cos \frac{\alpha}{2} = 0,09472, \sin \alpha = 0,76915, \operatorname{tg} \alpha = 1,20355$$

$$\frac{\pi}{180} [50^\circ 16' 40'' - (14^\circ 19' 26'' + 21^\circ 29' 09'')] = \frac{\pi}{180} (14^\circ 28' 05'') = 0,25251$$

Vrednosti za $\sin \alpha$ i $\operatorname{tg} \alpha$ dobijamo iz priručnika za obeležavanje kružnih lukova na taj način, što ćemo potražiti sinus odnosno cosinus za ugao 2α .

Proveravanje da se prelaznice ne presecaju:

$$50^\circ 16' 40'' > (14^\circ 19' 26'' + 21^\circ 29' 09'') = 35^\circ 48' 35''$$

Izračunaćemo pojedine elemente krivine:

$$t_1 = (200,000 + 2,097) \cdot 0,46926 + 49,896 + \frac{4,664 - 2,079}{0,76915} = 148,0 \text{ m}$$

$$t_2 = (200,000 + 2,097) \cdot 0,46926 + 74,650 - \frac{4,664 - 2,079}{1,20355} = 167,33 \text{ m}$$

$$\widehat{A_1A_2} = 200,00 \cdot 0,25251 + 100 + 150 = 300,50 \text{ m}$$

Pošto je $\frac{\alpha}{2} = 25^\circ 08' 20'' > \tau''_1 = 21^\circ 29' 09''$, tačka D leži na kružnom luku.

Izračunajmo još sledeće veličine:

$$\overline{T_1D} = (200,000 + 2,079) \cdot 0,10463 + 2,079 = 23,22 \text{ m}$$

$$x_D = 200,00 \cdot 0,42482 + 49,896 = 134,86 \text{ m}$$

$$y_D = 200,00 \cdot 0,09472 + 2,079 = 21,02 \text{ m}$$

b) Prelaznica na levoj strani kružnog luka je veća od prelaznice na desnoj strani (sl. 19)

Pošto je $L' > L''$, to je pri jednakom poluprečniku i $\Delta R' > \Delta R''$

Tangente se izračunavaju po jednačinama:

$$t_1 = (R + \Delta R'') \operatorname{tg} \frac{\alpha}{2} + d'' \pm \frac{\Delta R' - \Delta R''}{\operatorname{tg} \alpha} \quad \dots \quad (37)$$

$$t_2 = (R + \Delta R'') \operatorname{tg} \frac{\alpha}{2} + d'' + \frac{\Delta R' - \Delta R''}{\sin \alpha} \quad \dots \quad (38)$$

Za predznak poslednjeg sabirka u jednačinu za t_1 važi isto kao i u prethodnom slučaju.

Uslov da tačka D leži na kružnom luku je:

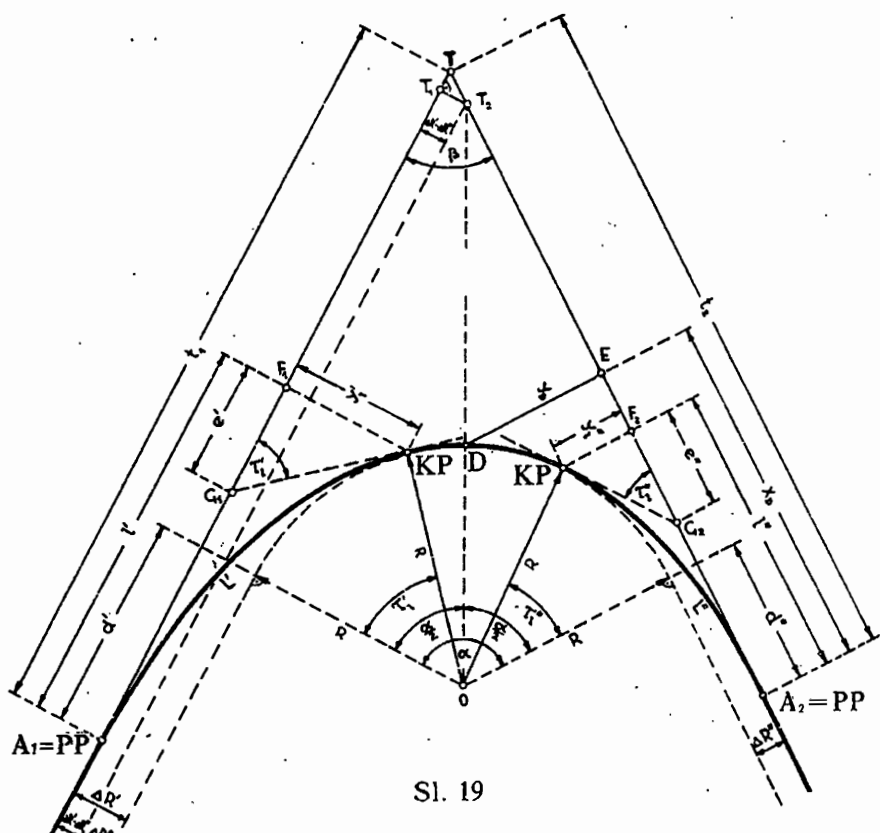
$$\frac{\alpha}{2} \geq \tau'_1 \quad \dots \quad \dots \quad \dots \quad \dots \quad (39)$$

pri čemu ugao τ'_1 pripada dužoj prelaznici.

U slučaju da tačka D leži na kružnom luku, izračunaćemo i sledeće veličine:

$$\overline{T_2 D} = (R + \Delta R'') (\sec \frac{\alpha}{2} - 1) + \Delta R'' \quad \dots \quad (40)$$

$$x_D = \overline{A_2 E_2} = R \sin \frac{\alpha}{2} + d'' \quad \dots \quad (41)$$



Sl. 19

$$y_D = \overline{E_2 D} = R (1 \sec \frac{\alpha'}{2}) + \Delta R'' \quad \dots \quad (42)$$

Sve ostalo izračunavamo isto kao i u prethodnom slučaju.

Primer: $R = 150$ m, $\alpha = 116^\circ 18'$, $L' = 120$ m, $L'' = 80$ m.
Znači da je $L' > L''$.

Iz priručnika za obeležavanje klotoide dobijamo:
za $R = 150$ m i $L' = 120$ m :

$$\Delta R = 3,977 \text{ m}, d' = 59,681 \text{ m}, \tau'_l = 22^\circ 55' 06''$$

za $R = 150$ m i $L'' = 80$ m :

$$\Delta R'' = 1,773 \text{ m}, d'' = 39,905 \text{ m}, \tau''_l = 15^\circ 16' 44''$$

Iz priručnika za obeležavanje kružnih lukova pak očitavamo:

$$\tan \frac{\alpha}{2} = 1,60970, \sec \frac{\alpha}{2} - 1 = 0,89593, \sin \frac{\alpha}{2} = 0,84943,$$

$$1 - \cos \frac{\alpha}{2} = 0,47230, \sin \alpha = 0,89649, \tan \alpha = 2,02335.$$

$$\frac{\pi}{180} [116^\circ 18' - (22^\circ 55' 06'' + 15^\circ 16' 44'')] = \frac{\pi}{180} [78^\circ 06' 10''] = 1,36315$$

Proveravanje da se prelaznice ne presecaju:

$$116^\circ 18' > 22^\circ 55' 06'' + 15^\circ 16' 44'' = 38^\circ 11' 50''$$

Po ranije navedenim jednačinama izračunaćemo pojedine elemente krivine:

$$t_1 = (150,000 + 1,773) \cdot 1,60970 + 59,681 + \frac{3,977 - 1,773}{2,02335} = 305,08 \text{ m}$$

$$t_2 = (150,000 + 1,773) \cdot 1,60970 + 39,905 + \frac{3,977 - 1,773}{0,89649} = 286,67 \text{ m}$$

$$\widehat{A_1 A_2} = 150,00 \cdot 1,36315 + 120 + 80 = 404,47 \text{ m}$$

Pošto je $\frac{\alpha}{2} = 58^\circ 09' > \tau'_l = 22^\circ 55' 06''$ tačka D leži na kružnom luku, te izračunamo još i sledeće veličine:

$$\overline{T_2 D} = (150,000 + 1,773) \cdot 0,89503 + 1,773 = 137,61 \text{ m}$$

$$x_D = 150,00 \cdot 0,84943 + 39,905 = 167,32 \text{ m}$$

$$y_D = 150,00 \cdot 0,47230 + 1,773 = 72,62 \text{ m}$$

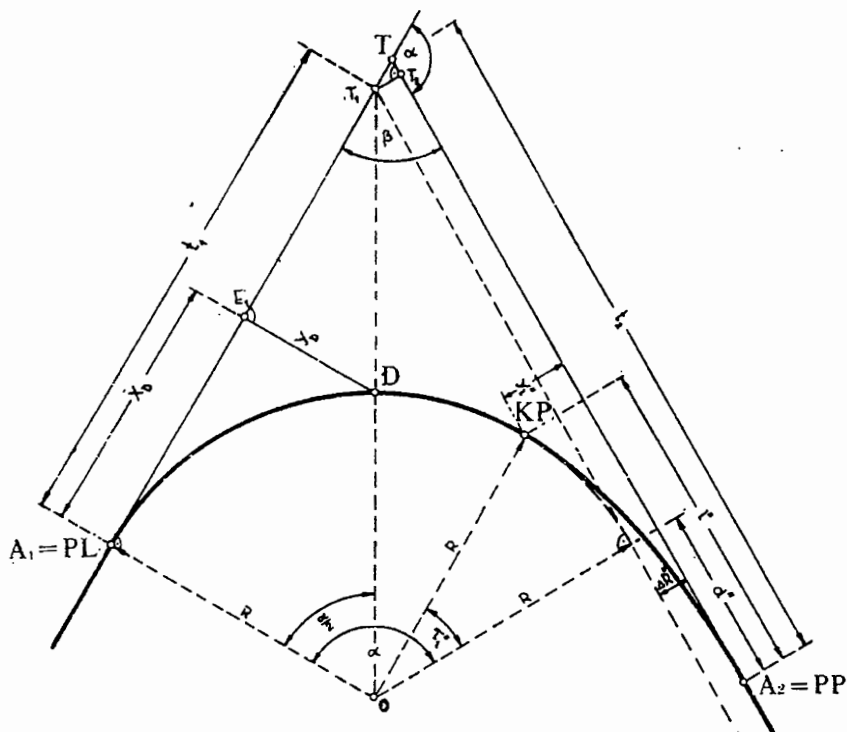
c) Prelaznica je samo na desnoj strani kružnog luka (sl. 20)

Ako ma iz kakvih razloga prelaznica može da se stavi samo na desnoj strani kružnog luka, dok je na levoj strani nema ($L' = 0$,

L'), onda ćemo elemente za obeležavanje računati po sledećim obrascima:

$$t_1 = R \operatorname{tg} \frac{\alpha}{2} + \frac{\Delta R''}{\sin \alpha} \quad \dots \dots \dots \quad (43)$$

$$t_2 = R \operatorname{tg} \frac{\alpha}{2} + d'' \pm \frac{\Delta R''}{\operatorname{tg} \alpha} \quad \dots \dots \dots \quad (44)$$



Sl. 20

U pogledu predznaka poslednjeg sabirka u obrascu za t_2 važi isto kao i u prethodnim slučajevima.

Dužina cele krivine je:

$$\overline{A_1 A_2} = \frac{R \pi}{180} (\alpha - \tau_l'') + L'' \quad \dots \dots \dots \quad (45)$$

Ako je:

$$\frac{\alpha}{2} \geq \tau_l'' \quad \dots \dots \dots \quad (46)$$

tačka D leži na kružnom luču i izračunaćemo razdaljinu $T_1 D$ i koordinate tačke D .

$$\overline{T_1 D} = R (\sec \frac{\alpha}{2} - 1) \quad \dots \dots \dots \quad (47)$$

$$x_D = \overline{A_1 E_1} = R \sin \frac{\alpha}{2} \quad \dots \dots \dots \quad (48)$$

$$y_D = \overline{E_1 D} = R (1 - \cos \frac{\alpha}{2}) \quad \dots \dots \dots \quad (49)$$

Kriterijum da prelaznica ne prelazi suprotni početak krivine je:

$$\alpha \geq \tau_l'' \quad \dots \dots \dots \quad (50)$$

Ako je $\alpha = \tau_l''$ krivina se sastoji iz jedne jedne prelaznice.

Primer: $R = 100$ m, $L' = 0$, $L'' = 100$ m, $\alpha = 40^\circ 42'$.

U priručniku za obeležavanje klotoide dobijamo za $R = 100$ m i $L'' = 100$ m: $\Delta R'' = 4,130$ m, $d'' = 49,586$ m, $\tau_l'' = 28^\circ 38' 52''$.

U priručniku za obeležavanje kružnih lukova očitavamo pak:

$$\operatorname{tg} \frac{\alpha}{2} = 0,37090, \sin \alpha = 0,65210, \operatorname{tg} \alpha = 0,86014,$$

$$\frac{\pi}{180} (40^\circ 42' - 28^\circ 38' 52'') = \frac{\pi}{180} (12^\circ 03' 08'') = 0,21035$$

Kriterijum da prelaznica ne prelazi suprotni početak krivine je:

$$\alpha = 40^\circ 42' > \tau_l'' = 28^\circ 38' 52''$$

Izračunamo tangente:

$$t_1 = 100,00 \cdot 0,37090 + \frac{4,130}{0,65210} = 43,42 \text{ m}$$

$$t_2 = 100,00 \cdot 0,37090 + 49,586 - \frac{4,130}{0,86014} = 81,87 \text{ m}$$

Dužina krivine je:

$$\widehat{A_1 A_2} = 100,00 \cdot 0,21035 + 100,00 = 121,04 \text{ m}$$

Pošto je:

$$\frac{\alpha}{2} = 20^{\circ}21' < \tau'_l = 28^{\circ}38'52'' \text{ znači da simetrala ne seče kružni luk, pa prema tome da tačka } D \text{ ne leži na kružnom luku, već na prelaznici. Zbog toga ne računamo razdaljinu } T_2 D \text{ ni koordinate tačke } D.$$

d) Prelaznica je samo na levoj strani kružnog luka (sl. 21)

Ako možemo umetnuti prelaznicu samo na levoj strani kružnog luka, a ne možemo je umetnuti na desnoj strani ($L', L'' = 0$), dobijamo za izračunavanje elemenata za obeležavanje krivine sledeće jednačine:

$$t_1 = R \operatorname{tg} \frac{\alpha}{2} + d' \pm \frac{\Delta R'}{\operatorname{tg} \alpha} \quad \dots \dots \quad (51)$$

$$t_2 = R \operatorname{tg} \frac{\alpha}{2} + \frac{\Delta R'}{\sin \alpha} \quad \dots \dots \quad (52)$$

U pogledu predznaka poslednjeg sabirka u obrascu za t_1 važi isto kao u prethodnim slučajevima.

Dužina cele krivine je:

$$\widehat{A_1 A_2} = \frac{R\pi}{180} (\alpha - \tau'_l) + L' \quad \dots \dots \quad (53)$$

Kriterij da prelaznica ne prelazi suprotni početak krivine je:

$$\alpha \geq \tau'_l \quad \dots \dots \quad (54)$$

Ako je $\alpha = \tau'_l$, krivina se sastoji iz jedne jedine prelaznice. U slučaju da je:

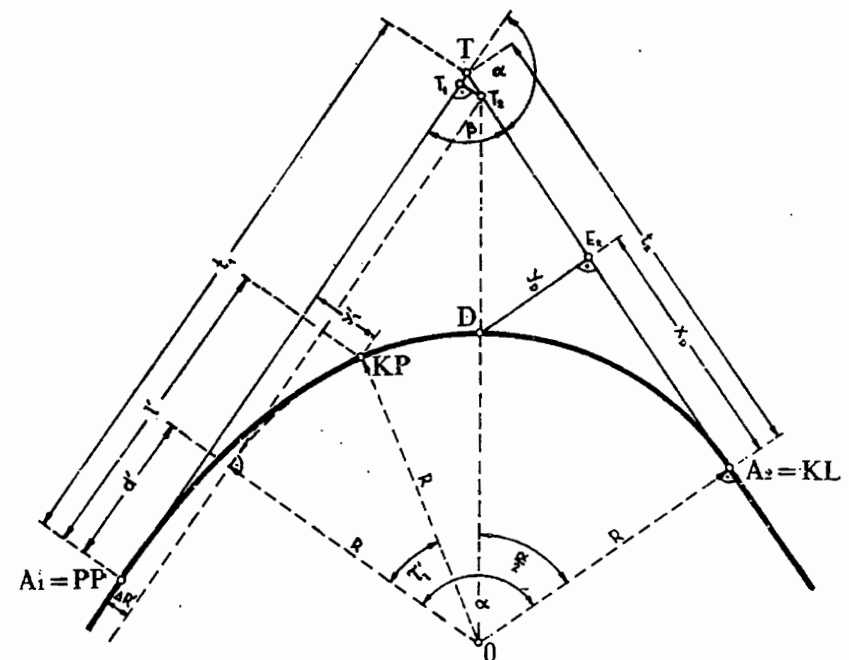
$$\frac{\alpha}{2} \geq \tau'_l \quad \dots \dots \quad (55)$$

simetrala \overline{OT} seče kružni luk, prema tome tačka D leži na kružnom luku. U tome slučaju računamo razdaljinu $T_2 D$ i koordinate x_D i y_D .

$$\overline{T_2 D} = R \left(\sec \frac{\alpha}{2} - 1 \right) \quad \dots \dots \quad (56)$$

$$x_D = \overline{A_2 E_2} = R \sin \frac{\alpha}{2} \quad \dots \dots \quad (57)$$

$$y_D = \overline{E_2 D} = R \left(1 - \cos \frac{\alpha}{2} \right) \quad \dots \dots \quad (58)$$



Sl. 21

Primer: $R = 80 \text{ m}$, $L' = 70 \text{ m}$, $L'' = 0$, $\alpha = 81^{\circ}46'$.

Iz priručnika za obeležavanje klotoide dobijamo za $R = 80$ i $L' = 70 \text{ m}$:

$$\Delta R' = 2,535 \text{ m}, d = 34,778 \text{ m}, \tau'_l = 25^{\circ}04'01''.$$

Iz priručnika za obeležavanje kružnih luka pak očitavamo:

$$\operatorname{tg} \frac{\alpha}{2} = 0,86623, \sec \frac{\alpha}{2} - 1 = 0,32267, \sin \frac{\alpha}{2} = 0,65452,$$

$$1 - \cos \frac{\alpha}{2} = 0,24396, \sin \alpha = 0,98969, \operatorname{tg} \alpha = 0,91104.$$

$$\frac{\pi}{180} (81^{\circ}46' - 25^{\circ}04'01'') = \frac{\pi}{180} (56^{\circ}41'59'') = 0,98960$$

Kriterij da prelaznica ne prelazi suprotni početak krivine je:

$$\alpha = 81^{\circ}46' > \tau'_l = 25^{\circ}04'01''$$

Izračunamo tangente:

$$t_1 = 80,00 \cdot 0,86623 + 34,778 - \frac{2,535}{6,91104} = 103,71 \text{ m}$$

$$t_2 = 80,00 \cdot 0,86623 - \frac{2,535}{0,98969} \dots \dots \dots \quad 64,86 \text{ m}$$

Dužina krivine je:

$$\overbrace{A_1 A_2} = 80,00 \cdot 0,98960 + 70,00 \dots \dots \dots \quad 149,17 \text{ m}$$

Pošto je:

$$\frac{\alpha}{2} = 40^{\circ}53' > \tau'_l = 25^{\circ}04'01''$$

tačka D leži na kružnom luku te računamo razdaljinu $\overline{T_2 D}$ i koordinate x_D i y_D .

$$\overline{T_2 D} = 80,00 \cdot 0,32267 = 25,81 \text{ m}$$

$$x_D = 80,00 \cdot 0,65452 = 52,36 \text{ m}$$

$$y_D = 80,00 \cdot 0,24396 = 19,52 \text{ m}$$

Obeležavanje glavnih tačaka nesimetrične krivine: kao što se vidi iz prethodnih slučajeva, nesimetrična krivina može imati 5, 4, 3 ili samo dve glavne tačke. U glavne tačke ubrajamo oba početka prelaznica, oba kraja prelaznica i tačku D , koja međutim u tom slučaju nije sredina krivine, već presečna tačka kružnog luka i simetrale $\overline{OT_1}$ odnosno $\overline{OT_2}$.

Glavne tačke obeležavamo na isti način kao i kod simetričnih krivina.

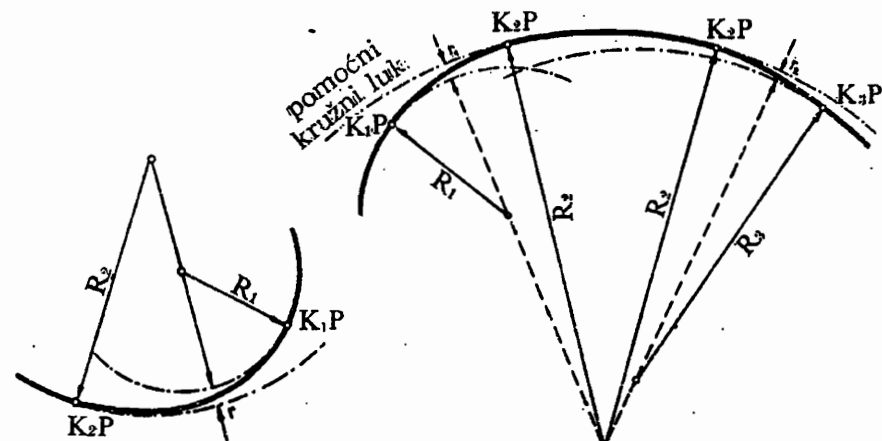
6. Računanje i obeležavanje prelaznica među istosmernim kružnim lukovima različitih poluprečnika (korpastе krivine)

Pošto zahtevamo da se na trasi puta svaki prelaz iz jedne zakrivljenosti u drugu izvrši postepeno i kontinualno, mora se takođe između istosmernih kružnih lukova različitih poluprečnika umeđnuti prelaznica. Međutim, između dva istosmerna kružna luka različitih poluprečnika ne umećemo celu prelaznicu, već samo onaj njen deo po kome se poluprečnik zakrivljenosti menja od $\rho = R_2$ do $\rho = R_1$, pri čemu R_2 označuje veći poluprečnik, a R_1 manji poluprečnik. Otpada znači deo prelaznice od $\rho = \infty$ do $\rho = R_2$ (vidi sl. 4).

Prelaznicu između dva istosmerna kružna luka različitih poluprečnika možemo, međutim, izostaviti, ako je razlika između poluprečnika oba kružna luka mala i to ako je $R_2 < 1,2$ do $1,5 R_1$, gde je R_2 veći, R_1 manji poluprečnik.

Pri rešavanju korpastih krivina sa umeđnutom prelaznicom razlikujemo dva slučaja:

— Kružni luk manjeg radijusa se nalazi unutar kružnog luka većeg radijusa (sl. 22). U tom slučaju prelaznicu možemo da umeđemo direktno između oba kružna luka.

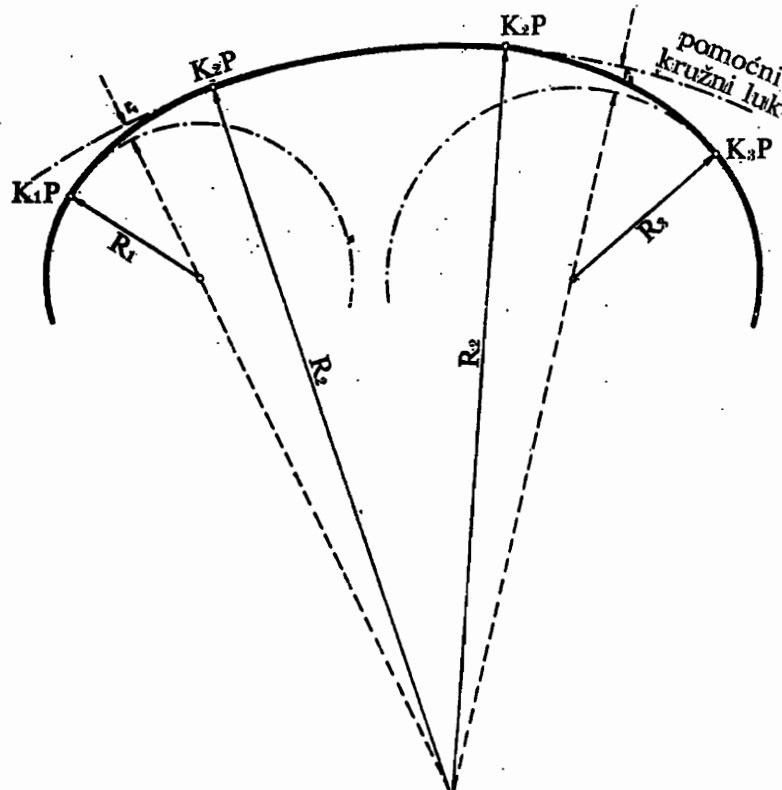


Sl. 22

Sl. 23a

— Kružni lukovi se sekut (sl. 23a) ili su jedan pored drugoga (sl. 23b). U tom slučaju moramo da primenimo pomoćni kružni luk. Ovaj drugi zadatak se u stvari sastoji iz dva prva slučaja, te se prema tom rešava na isti način.

Pri rešavanju zadatka mora da nam bude poznata najmanja međusobna udaljenost oba luka. Ako su središta oba kružna luka dostupna na crtežu, odmeravamo razdaljinu r po liniji koja spaja



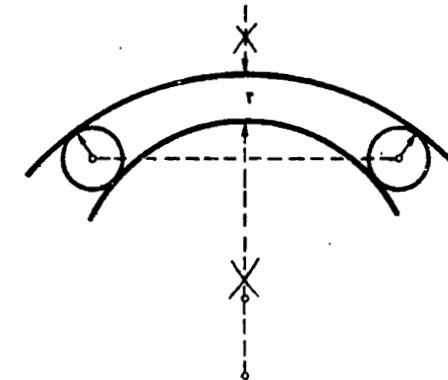
Sl. 23b

oba središta (vidi sl. 22 i 23). Ako pak središta nisu dostupna na crtežu, pomažemo se krugom shodno velikog poluprečnika, koji je nacrtan na providnom papiru. Krug položimo najpre na jednu, a zatim na drugu stranu najmanje razdaljine r tako, da dodiruje oba data kruga i svakiput ubodemo njegovo središte na crtež. Na simetrali linije koja spaja ta ubodena središta odmerimo najmanju međusobnu razdaljinu između oba kružna luka (sl. 24).

Oobično su nam dati sledeći podaci: poluprečnici R_1 i R_2 oba kružna luka, pri čemu je $R_1 < R_2$, i najmanja međusobna razdaljina r između kružnih lukova (sl. 25).

Najpre ćemo izračunati srednji poluprečnik:

$$R_m = \frac{2 R_1 R_2}{R_1 + R_2} \quad \dots \dots \dots \quad (59)$$



Sl. 24

Iz jednačine:

$$\cos \alpha_m = \frac{R_m - R_1 - r}{R_m - R_1} \quad \dots \dots \dots \quad (60)$$

dobijamo ugao α_m :

$$\alpha_m = \dots^{\circ} \dots' \dots''$$

pa ga pretvorimo u lučnu meru:

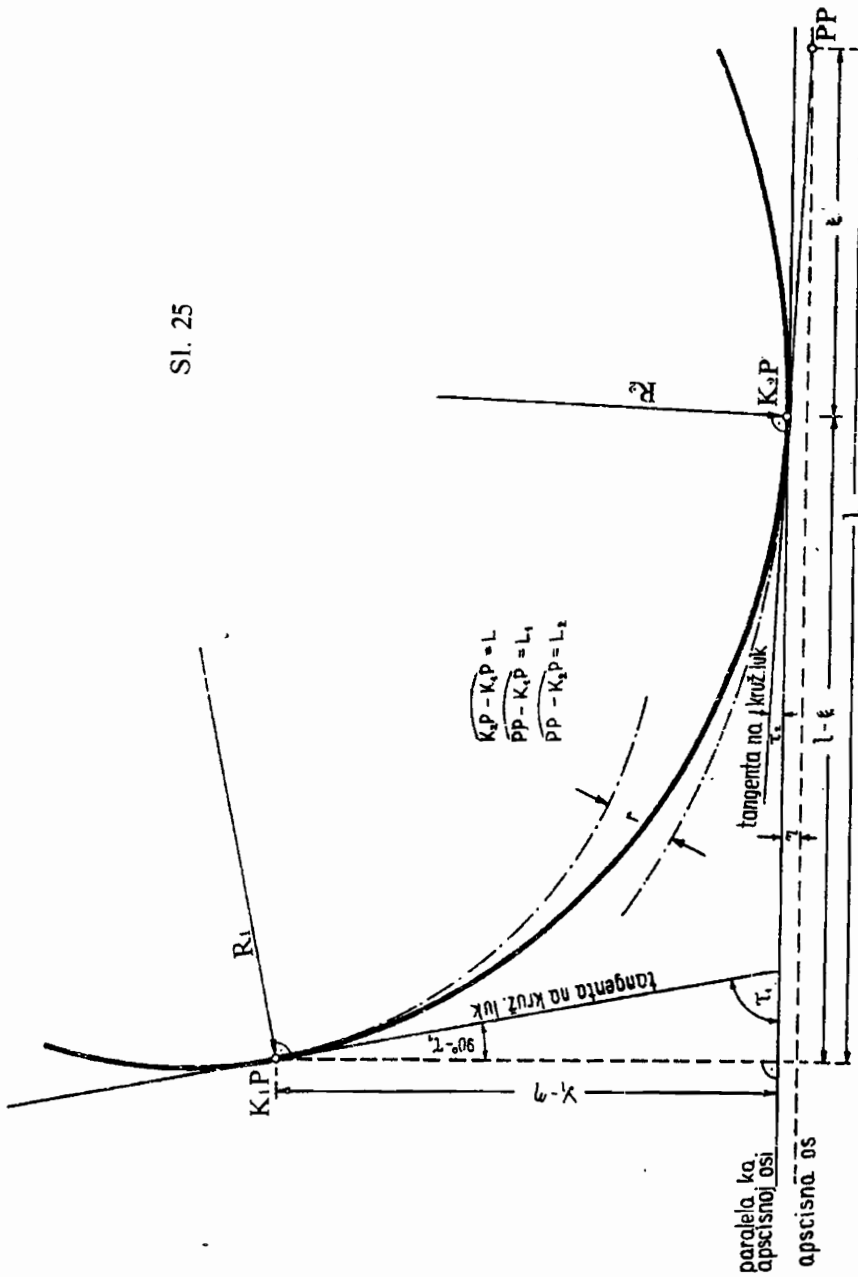
$$\widehat{\alpha_m} = \frac{\alpha_m''}{206265} \quad \dots \dots \dots \quad (61)$$

Lučna dužina toga dela prelaznice, koja spaja oba kružna luka, tj. od $K_1 P$ do $K_2 P$ iznosi:

$$L = k_1 \cdot R_m \cdot \widehat{\alpha_m} \quad \dots \dots \dots \quad (62)$$

Koeficijent k_1 očitamo iz tabele za datu razmeru $\frac{R_1}{R_2}$. Ako u tabeli ne dobijemo tačnu razmeru $\frac{R_1}{R_2}$ koju smo izračunali, važi za određivanje koeficijenta k_1 pravolinijska interpolacija.

Sl. 25

Tabela koeficijenta k_1

$\frac{R_1}{R_2}$	k_1	$\frac{R_1}{R_2}$	k_1
0,000	1,737	0,500	2,121
	81		69
0,100	1,818	0,600	2,190
	79		68
0,200	1,897	0,700	2,258
	77		65
0,300	1,974	0,800	2,323
	75		64
0,400	2,049	0,900	2,387
	72		
0,500	2,121		

Cela dužina prelaznice od PP do K_1P iznosi:

$$L_1 = \frac{R_2}{R_2 - R_1} \cdot L \quad \dots \dots \dots \quad (63)$$

Lučna dužina onog dela prelaznice koji se ne koristi, a to je od poluprečnika zakrivljenosti $\rho = \infty$ (PP) do $\rho = R_1$ (K_1P), iznosi:

$$L_2 = L_1 - L \quad \dots \dots \dots \quad (64)$$

Kontrola: $L_2 = \frac{R_1}{R_2} \cdot L_1$, pošto mora biti $R_1 \cdot L_1 = R_2 \cdot L_2$.

Međutim, ponekad imamo date poluprečnike R_1 i R_2 kružnih lukova i celu dužinu L_1 prelaznice, čiji deo L ima da umetnemo između kružnih lukova poluprečnika R_1 i R_2 . Opet je $R_1 < R_2$.

Pri ovakovom zadatku račun je sledeći:

Dužina onog dela prelaznice, koji spaja kružne lukove, je:

$$L = \frac{R_2 - R_1}{R_2} \cdot L_1 \quad \dots \dots \dots \quad (65)$$

Onaj deo koji od prelaznice otpada je:

$$L_2 = L_1 - L$$

Kontrola:

$$L_2 = \frac{R_1}{R_2} \cdot L_1$$

Srednji poluprečnik je isto kao i ranije:

$$R_m = \frac{2 R_1 R_2}{R_1 + R_2}$$

Ugao α_m u lučnoj meri je:

$$\hat{\alpha}_m = \frac{L}{k_1 \cdot R_m} \quad \dots \quad (66)$$

Pretvorimo ga u sekunde:

$$\alpha_m'' = \hat{\alpha}_m \cdot 206265 \quad \dots \quad (67)$$

te dobijamo: $\alpha_m = \dots^{\circ} \dots' \dots''$

U tablicama trigonometrijskih funkcija (najbolje obrađene su sedmodecimalne Brandenburgove tablice, koje su pripremljene za računanje računskom mašinom) potražimo $\cos \alpha_m$ i izračunamo najmanju međusobnu udaljenost r oba kružna luka:

$$r = R_m - R_1 - (R_m - R_1) \cos \alpha_m \quad \dots \quad (68)$$

U prvom slučaju su nam bili dati poluprečnici R_1 i R_2 , oba kružna luka i njihova najmanja međusobna udaljenost r . Izračunali smo pak, pored dužine L onog dela prelaznice koji spaja oba kružna luka, i celu dužinu prelaznice L_1 . Ova izračunata dužina L_1 , pak, osim u veoma izuzetnim slučajevima, neće biti okrugle vrednosti, koju sadrži priručnik za obeležavanje klotoide. Zato tako izračunatu vrednost za L_1 zaokružujemo na vrednost koja se nalazi u priručniku, pa na osnovu te usvojene okrugle vrednosti L_1 izračunavamo najmanju međusobnu udaljenost r oba kružna luka. Ta nova udaljenost r će se vrlo malo razlikovati od prvobitne razdaljine r , očitane iz crteža. Tolerancija je dopuštena, pošto tačno očitavanje razdaljine r iz crteža, npr. iz situacije 1:1000, nije moguće.

Moramo još da izračunamo koordinate ξ i η tačke $K_2 P$ (tj. tačke gde kružni luk većeg poluprečnika R_2 prelazi u prelaznicu) i to u odnosu na koordinatni sistem, čiji je početak u PP , gde je poluprečnik zakrivljenosti $\rho = \infty$. Lučnu dužinu od PP do $K_2 P$ poznajemo i to je L_2 . Ako L_2 u odnosu na celu dužinu L_1 nije prevelika, dužina L_2 će se samo malo razlikovati od apscise ξ te možemo pretpostaviti da je: $\xi = L_2$.

Ako je pak L_2 u odnosu na L_1 velika, izračunaćemo ξ po jednačini:

$$\xi = L_2 \left[1 - 0,1 \left(\frac{L^2}{2 R_1 L_1} \right)^2 + \dots \right] \dots \quad (69)$$

Ordinatu η dobijamo, za slučaj kada možemo apscisu ξ da očitamo u tablicama, direktno iz tablica; u protivnom slučaju pak izračunaćemo je po jednačini:

$$\eta = \frac{L^3}{6 R_1 L_1} \left[1 - 0,07143 \left(\frac{L^2}{2 R_1 L_1} \right)^2 + \dots \right] \dots \quad (70)$$

Pošto su određene koordinate ξ i η tačke $K_2 P$, sve ostale koordinate umetnute prelaznice dobijamo na taj način, da od vrednosti apscisa x , očitanih u priručniku za obeležavanje klotoide, oduzmemos apscisu ξ ; od u priručniku očitanih vrednosti ordinata y oduzećemo pak ordinatu η . Vrednosti x i y očitavamo za R_1 i L_1 . Na isti način dobijamo i koordinate krajanje tačke $K_1 P$, a to je tačka gde prelaznica prelazi u kružni luk manjeg poluprečnika. Od koordinata l odnosno y_l , koje dobijamo u zaglavljiju tabela, odbijamo koordinate ξ odnosno η .

Moramo još da odredimo uglove τ_2 i τ_1 .

Tangenta u tački $K_2 P$, tj. u tački gde kružni luk većeg poluprečnika R_2 prelazi u prelaznicu, je istovremeno tangenta na taj kružni luk i na prelaznicu. Ova tangenta zaklapa sa apscisnom osovinom prelaznice ugao τ_2 , koji ćemo izračunati iz sledeće jednačine:

$$\tau_2 = \frac{L^2}{2 R_1 L_1} \cdot 57,2957795 \quad \dots \quad (71)$$

Tangenta u tački $K_1 P$, tj. u tački gde prelaznica prelazi u kružni luk manjeg poluprečnika R_1 , je zajednička tangenta prelaznice i kružnog luka. Sa apscisnom osovinom prelaznice zaklapa ugao τ_1 , koji direktno očitavamo iz priručnika za obeležavanje klotoide, jer je to ugao τ_1 za poluprečnik R_1 i za dužinu prelaznice L_1 .

Obeležavanje korpaste krivine sa umetnutom prelaznicom (sl. 25): Na terenu najpre potražimo tačku $K_2 P$, gde prelazi kružni luk poluprečnika R_2 u prelaznicu, iskolčimo u toj tački tangentu, tj. zajedničku tangentu kružnog luka i prelaznice, odredimo pomoću ugla τ_2 smer paralele sa apscisom klotoide, te pomoću odgovarajućih koordinata obeležimo tačku $K_1 P$ u kojoj

prelaznica prelazi u kružni luk poluprečnika R_1 . Ako nam položaj te tačke odgovara, iskolčimo pomoću izračunatih koordinata i ostale tačke umetnute prelaznice. Ako nam pak položaj tačke K_1P ne odgovara, pomerimo tačku K_2P napred po kružnom luku, odnosno unazad, i ponovimo pokušaj.

Ako umetnutu prelaznicu želimo da obeležimo po polarnoj metodi, onda posle fiksiranja tačaka K_2P i K_1P iskolčimo početak prelaznice PP ($\rho = \infty$) i to pomoću koordinata ξ i η tačke K_2P i pravca paralele sa apscisnom osovinom klotoide. Posle toga iz tačke PP iskolčimo klotoidu, a možemo se poslužiti i sa ostalim stajalištima teodolita koja su data u priručniku za polarno obeležavanje klotoide.

Redosled iskolčavanja je prema tome sledeći: kružni luk poluprečnika R_2 i to do tačke K_2P , prelaznica od K_2P do K_1P i najzad kružni luk poluprečnika R_1 od tačke K_1P dalje.

Ponekad, međutim, moramo da počnemo sa iskolčavanjem sa suprotnog smera i to da prvo iskolčimo kružni luk poluprečnika R_1 do tačke K_1P , gde prelazi ovaj kružni luk u prelaznicu. U toj tački odredimo tangentu na kružni luk, koja je istovremeno i tangentna prelaznice. Od te tangente odmerimo ugao ($90^\circ - \tau_1$) i dobijamo pravac ordinate tačke K_1P (vidi sl. 25). Po tom pravcu nanesemo od K_1P izračunatu ordinatu te tačke. Na drugom kraju ordinata odredimo upravnu na ordinatu, te dobijamo pravac paralela sa apscisnom osovinom klotoide. Ako po tome pravcu nanesemo izračunatu apscisu tačke K_1P , dobijamo tačku K_2P . Ako nam položaj te tačke odgovara, iskolčimo i ostale tačke umetnute prelaznice. U protivnom slučaju pak pomerimo tačku K_1P po kružnom luku unapred odnosno unazad i ponovimo pokušaj.

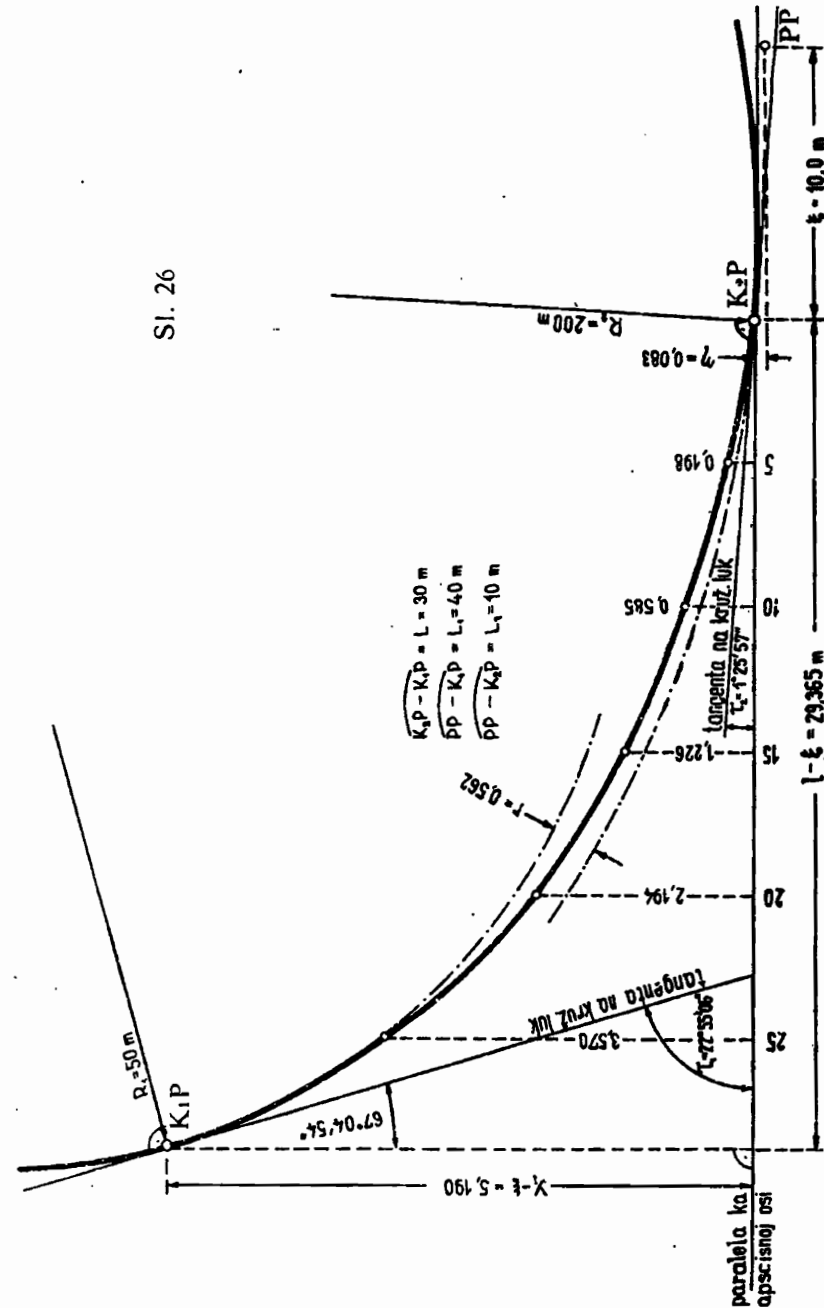
Ako je operativni poligon vezan za koordinatnu mrežu, izračunaćemo koordinate tačaka K_1P i K_2P i pravac paralele sa apscisnom osovinom klotoide, pa ih prenesemo na teren od temena operativnog poligona i to pomoću ugla pravca i udaljenosti od temena. Ostale tačke umetnute prelaznice iskolčićemo sа izračunatim pravouglim koordinatama. Ako pak želimo da detaljnije tačke iskolčimo počarnom metodom, izračunaćemo i koordinate početka prelaznice PP ($\rho = \infty$) pa tu tačku obeležimo na terenu.

1. Primer: $R_1 = 50$ m, $R_2 = 200$ m, $r = 0,50$ m (sl. 26).

$$R_m = \frac{2 \cdot 50 \cdot 200}{50 + 200} = 80 \text{ m}$$

$$\cos \alpha_m = \frac{80 - 50 - 0,50}{80 - 50} = 0,9833333$$

Sl. 26



Iz tablica trigonometrijskih funkcija dobijamo:

$$\alpha_m'' = 10^{\circ}28'31''$$

$$\alpha_m''' = 37711$$

$$\alpha_m = \frac{37711}{206265} = 0,1828$$

$$\text{Za odnos } \frac{R_1}{R_2} = \frac{50}{200} = 0,25, \text{ dobijamo iz tabele: } k_1 = 1,935.$$

Dužina onog dela prelaznice, koji spaja kružne lukove iznosi:

$$L = 1,935 \cdot 80 \cdot 0,1828 = 28,297 \text{ m}$$

A cela dužina prelaznice je:

$$L_1 = \frac{200}{200 - 50} \cdot 28,297 = 37,73 \text{ m}$$

Pošto prelaznicu te dužine ne možemo naći u priručniku za obeležavanje klotoide, zaokružimo celu dužinu prelaznice na $L_1 = 40 \text{ m}$, koja postoji u tablicama, pa ponovimo račun u obratnom smislu.

$$L_1 = 40 \text{ m}$$

$$L = \frac{200 - 50}{200} \cdot 40 = 30 \text{ m}$$

$$L_2 = 40 - 30 = 10 \text{ m}$$

Kontrola:

$$L_4 = \frac{50}{200} \cdot 40 = 10 \text{ m}$$

R_m i k_1 su poznati od ranije i iznose: $R_m = 80 \text{ m}$, $k_1 = 1,935$

$$\alpha_m = \frac{30}{1,935 \cdot 80} = 0,1938$$

$$\alpha_m''' = 0,1938 \cdot 206265 = 39974$$

$$\alpha_m = 11^{\circ}06'14''$$

Iz tablica trigonometrijskih funkcija dobijamo:

$\cos \alpha_m = 0,9812796$, pa je izatim:

$$r = 80 - 50 - (80 - 50) \cdot 0,9812796 = 0,562 \text{ m}$$

Znači da se zbog zaokružavanja cele dužine L_1 prelaznice od 37,73 m na 40 m promenila najmanja međusobna udaljenost r kružnih luka samo za 0,062 m.

Pošto lučna dužina $L_2 = 10 \text{ m}$ prema celoj lučnoj dužini $L_1 = 40 \text{ m}$ nije velika, možemo usvojiti da je $\xi = L_2 = 10 \text{ m}$ pa za tu apscisu očitamo ordinatu η direktno iz priručnika za obeležavanje klotoide u koloni $R_1 = 50 \text{ m}$ i $L_1 = 40 \text{ m}$. Znači da su koordinate tačke K_2P u odnosu na koordinatni sistem sa početkom u PP :

$$\xi = 10 \text{ m i } \eta = 0,083 \text{ m}$$

Koordinate ostalih tačaka umetnute prelaznice u odnosu na paralelu sa apscisnom osovinom kroz tačku K_2P kao na osu x i tačku K_2P kao početak koordinatnog sistema su:

Udaljenost po apscisi od PP	Udaljenost po apscisi od K_2P	Ordinate tačaka prelaznice, merene od paralele sa apscisnom osovinom kroz K_2P
m	m	m
K_2P 10	10 $-10=0$	$0,083 - 0,083 = 0,000$
15	15 $-10=5$	$0,281 - 0,083 = 0,198$
20	20 $-10=10$	$0,668 - 0,083 = 0,585$
25	25 $-10=15$	$1,309 - 0,083 = 1,226$
30	30 $-10=20$	$2,277 - 0,083 = 2,194$
35	35 $-10=25$	$3,653 - 0,083 = 3,570$
K_1P 39,365	$39,365 - 10 = 29,365$	$5,273 - 0,083 = 5,190$

Izračunaćemo još ugao τ_2 :

$$\tau_2 = \frac{10^2}{2 \cdot 50 \cdot 40} \cdot 57,2957795 = 1,4323945$$

$$\tau_2 = 1^{\circ}25'57''$$

Ugao τ_1 očitamo direktno iz priručnika za obeležavanje klotoide za $R_1 = 50 \text{ m}$ i $L_1 = 40 \text{ m}$ i to u koloni za τ_1 . Dobijamo:

$$\tau_1 = 22^{\circ}55'06''$$

Sa tim je umetnuta prelaznica između dva istosmerna kružna luka potpuno određena i možemo je lako obeležiti sa izračunatim pravouglim koordinatama. Ako pak želimo da tu umetnuti prelaznicu obeležimo polarnom metodom, prvo ćemo od tačke K_2P ,

moću koordinata $\xi = 10$ m i $\eta = 0,083$ m i pomoći pravca paralele sa apscisnom osovinom klotoide kroz tu tačku, obeležiti PP , gde je $\rho = \infty$; posle toga ćemo iz tačke PP , a eventualno i iz drugih stajališta teodolita, obeležiti prelaznicu po polarnoj metodi.

2. Primer: $R_1 = 200$ m, $R_2 = 300$ m, $L_1 = 150$ m (sl. 27).

Izračunaćemo prvo L_1 i L_2 :

$$L_1 = \frac{300 - 200}{300} \cdot 150 = 50 \text{ m}$$

$$L_2 = 150 - 50 = 100 \text{ m}$$

Kontrola:

$$L_2 = \frac{200}{300} \cdot 150 = 100 \text{ m}$$

$$R_m = \frac{2 \cdot 200 \cdot 300}{200 + 300} = 240 \text{ m}$$

$$\text{Za } \frac{R_1}{R_2} = \frac{200}{300} = 0,667 \text{ dobijamo iz tabele } k_1 = 2,236$$

$$\alpha_m = \frac{50}{2,236 \cdot 240} = 0,0931723$$

$$\alpha''_m = 0,0931723 \cdot 206265 = 19218$$

$$\alpha_m = 5^{\circ}20'18''$$

Iz tablica trigonometrijskih funkcija dobijamo:

$\cos \alpha_m = 0,9956627$. Najmanja međusobna udaljenost između kružnih lukova iznosi, dakle:

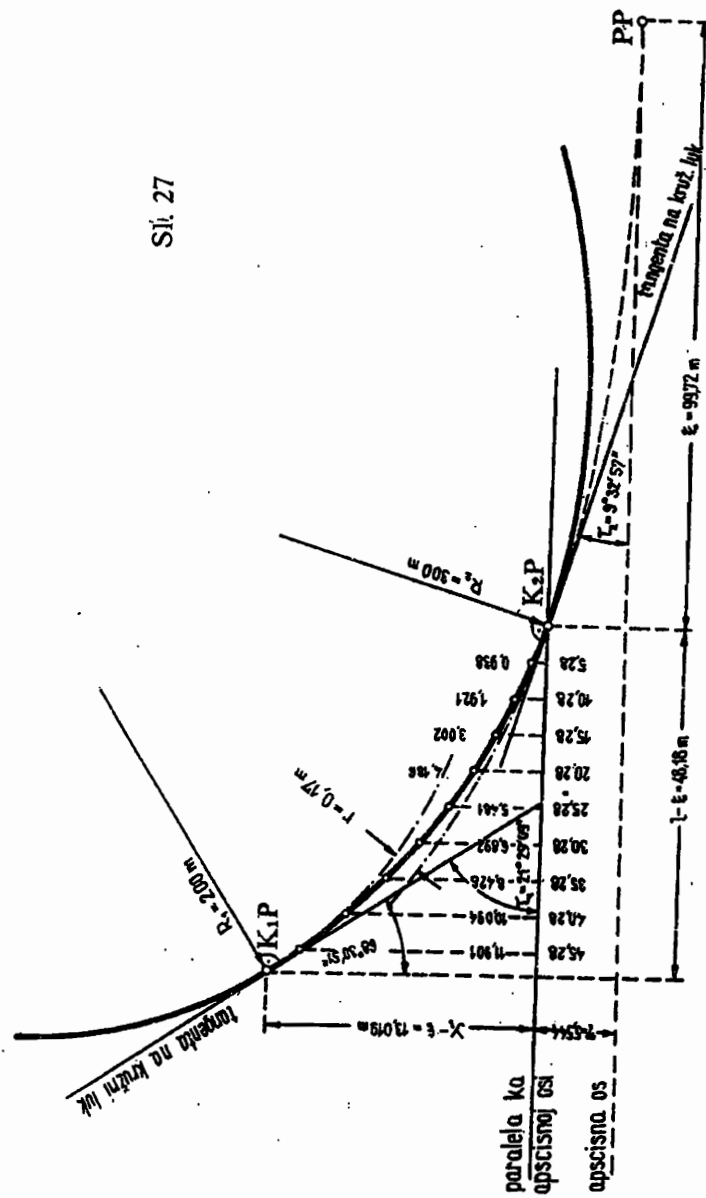
$$r = 240 - 200 - (240 - 200) \cdot 0,9956627 = 0,17 \text{ m}$$

Moramo još da izračunamo koordinate tačke K_2P u odnosu na koordinatni sistem sa početkom u PP . Lučna udaljenost $PP - K_2P$ iznosi $L_2 = 100$ m. Pošto je dužina $L_2 = 100$ m u odnosu na celu dužinu prelaznice $L_1 = 150$ m mnogo velika, izračunaćemo apscisu ξ i ordinatu η tačke K_2P po ranije navedenim jednačinama:

$$\xi = 100 \left[1 - 0,1 \left(\frac{100^2}{2 \cdot 200 \cdot 150} \right)^2 \right] = 99,72 \text{ m}$$

$$\eta = \frac{100}{6 \cdot 200 \cdot 150} \left[1 - 0,07143 \left(\frac{100^2}{2 \cdot 200 \cdot 150} \right)^2 \right] = 5,544 \text{ m}$$

Sl. 27



Koordinate ostalih tačaka umetnute prelaznice, u odnosu na paralelu sa apscisnom osovinom kroz tačku K_1P i sa tačkom K_2P kao početkom koordinatnog sistema, su:

Udaljenost po apscisi od PP	Udaljenost po apscisi od K_1P	Ordinate tačaka prelaznice, merene od paralele sa apscisnom osovinom kroz K_2P
m	m	m
99,72	$99,72 - 99,72 = 0,00$	$5,544 - 5,544 = 0,000$
105	$105 - 99,72 = 5,28$	$6,482 - 5,544 = 0,938$
110	$110 - 99,72 = 10,28$	$7,465 - 5,544 = 1,921$
115	$115 - 99,72 = 15,28$	$8,546 - 5,544 = 3,002$
120	$120 - 99,72 = 20,28$	$9,730 - 5,544 = 4,186$
125	$125 - 99,72 = 25,28$	$11,025 - 5,544 = 5,481$
130	$130 - 99,72 = 30,28$	$12,436 - 5,544 = 6,892$
135	$135 - 99,72 = 35,28$	$13,972 - 5,544 = 8,428$
140	$140 - 99,72 = 40,28$	$15,638 - 5,544 = 10,094$
145	$145 - 99,72 = 45,28$	$17,445 - 5,544 = 11,901$
147,90	$147,90 - 99,72 = 48,18$	$18,563 - 5,544 = 13,019$

Izračunaćemo još ugao τ_2 :

$$\tau_2 = \frac{100^2}{2 \cdot 200 \cdot 150} \cdot 57,2957795 = 9,5492966$$

$$\tau_2 = 9^{\circ}32'57''$$

Ugao τ_1 očitamo direktno iz priručnika za obeležavanje klotoide za $R_1 = 200$ m i $L_1 = 150$ m, i to u koloni za τ_1 pa dobijemo:

$$\tau_1 = 21^{\circ}29'09''$$

Sa izračunatim pravouglim koordinatama možemo obeležiti umetnuto prelaznicu. Isto tako kao i u prethodnom primeru, možemo tu umetnutu prelaznicu obeležiti i po polarnoj metodi.

7. Računanje i obeležavanje prelaznice između kružnih lukova suprotnog smera (kontralukovi)

Ako su u situacionom planu ucrtani samo kružni lukovi bez prelaznica, moramo da obratimo pažnju na to, da je između kružnih lukova dovoljna udaljenost, ako hoćemo da umetnemo prelaznicu.

Prelaznicu možemo umetnuti između kružnih kontralukova na dva načina:

1. Od tangente koja spaja kružne kontralukove poluprečnike R_1 odnosno R_2 odmaknemo kružne lukove za ΔR_1 odnosno ΔR_2 , koliko zahtevaju prelaznice dužine L_1 odnosno L_2 . Ovaj način nije za preporuku, jer se sa odmicanjem kružnih lukova mogu znatno da izmene zemljani radovi, te bi bilo potrebno da se trasa ponovo pomera.

2. Kružne kontralukove ostavimo na mestu na kome su, a tangentu između njih okrenemo toliko, da dobijemo odmak koji je potreban za umetanje prelaznice između kružnih kontralukova.

Ovaj način je pogodan i za umetanje prelaznice između kružnih kontralukova pri rekonstrukciji puteva koji nemaju prelaznica. Trasa puta se pri tom samo malo menja.

Ako umetnuta međuprava između kružnih kontralukova nije predugačka, a nema smetnje ubacivanju dugih prelaznica, preporučljivo je da umetnemo toliko duge prelaznice, da se počeci obe prelaznice spajaju, odnosno da je između njih samo kratka prava, koja se doonije, kada je put izgrađen, i ne primećuje, a naročito ako smo još stavili relativno duge prelaznice. Činjenica da kratak pravac između početaka obe prelaznice ne utiče na oblik trase znatno nam uprošćuje zadatak umetanja prelaznice između kružnih kontralukova.

Ako su R_1 i R_2 poluprečnici kružnih lukova, L_1 i L_2 dužine prelaznica, neka među njima postoji bar približno odnos: $R_1 \cdot L_1 = R_2 \cdot L_2$. Prema tome, kružnom luku manjeg poluprečnika R_1 pripada duža prelaznica L_1 , a kružnom luku većeg radijusa R_2 pripada kraća prelaznica L_2 . To će nam koristiti i docnije pri projektovanju i to pri oblikovanju prelaznih rampi između kontralukova, pošto poprečni nagibi u krivinama mora da budu izabrani prema poluprečnicima kružnih lukova.

Princip umetanja prelaznice pomoću okretanja međutangente je sledeći:

Odredimo tačno dodirne tačke tangente sa kružnim lukovima i to na taj način, da povučemo sečice koje su paralelne sa tangentom. Presečne tačke simetrala tih sečica sa kružnim lukovima su dodirne tačke.

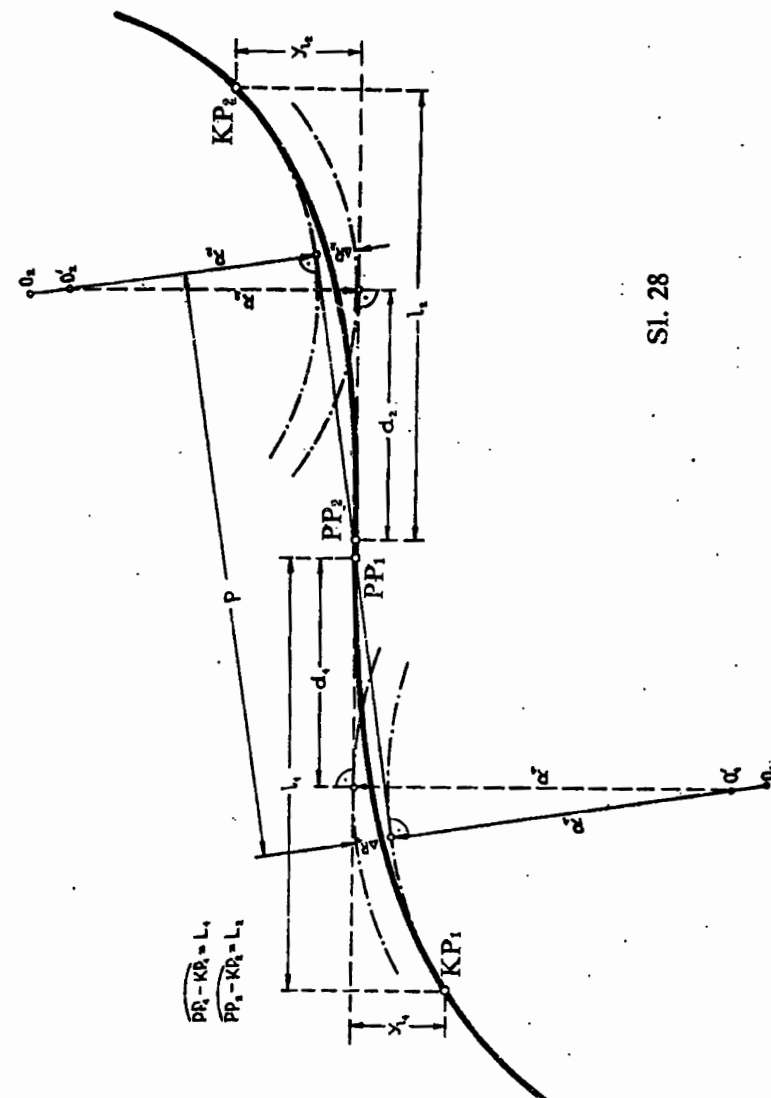
Dužine prelaznica izračunaćemo po jednačinama:

$$\left. \begin{aligned} L_1 &= k_2 \frac{R_2}{R_1 + R_2} \cdot p \\ L_2 &= k_2 \frac{R_1}{R_1 + R_2} \cdot p \end{aligned} \right\} \quad \dots \dots \quad (72)$$

p je dužina međuprave između kružnih kontralukova. Koeficijent k_2 dobijamo iz odnosne tabele za određeni odnos $\frac{R_1}{R_2}$. Ako u tabeli ne nađemo tačan odnos $\frac{R_1}{R_2}$, važi za određivanje koeficijenta k_2 pravolinijska interpolacija.

Pošto po ranije navedenim jednačinama skoro nikada ne dobijamo okrugle vrednosti za dužine prelaznica L_1 i L_2 , dobijene vrednosti zaokružavamo tako, da dobijemo dužine prelaznica koje se nalaze u priručniku za obeležavanje klotoide i za koje možemo direktno da očitamo sve podatke za obeležavanje. Pri tome pak mora da обратимо pažnju na to, da se počeci prelaznica ne preklapaju, pošto se to ne dopušta. Zbir izabranih, okruglih vrednosti dužina prelaznica neka je uvek nešto manji od zbiru izračunatih dužina prelaznica.

Kada su određene okrugle vrednosti dužina L_1 i L_2 , očitamo iz priručnika za obeležavanje klotoide odmake krugova ΔR_1 i ΔR_2 , apscisne dužine l_1 i l_2 , kao i dužine d_1 i d_2 . Na udaljenju ΔR_1 od kružnog luka poluprečnika R_1 i na udaljenju ΔR_2 od kružnog luka poluprečnika R_2 nacrtamo pomoćne kružne lukove poluprečnika R_1 i R_2 (sl. 28). Na ova dva pomoćna kružna luka povučemo zajedničku tangjentu i odredimo dodirne tačke na isti način kao i ranije. Ako od dodirne tačke kružnog luka poluprečnika R_1 nanesemo u smeru prema drugom kružnom luku dužinu d_1 , a od dodirne tačke kružnog luka poluprečnika R_2 u smeru prema drugom kružnom luku dužinu d_2 , dobijamo oba početka prelaznica PP_1 i PP_2 . Od PP_1 odnosno PP_2 odmerimo apscisne dužine prelaznica l_1 odnosno l_2 , pa sa odgovarajućim ordinatama y_{l_1} i y_{l_2} fiksiramo oba kraja prelaznica KP_1 i KP_2 .



Sl. 28

Tabela koeficijenta k_2							
$\frac{R_1}{R_2}$	k_2	$\frac{R_1}{R_2}$	k_2	$\frac{R_1}{R_2}$	k_2	$\frac{R_1}{R_2}$	k_2
0,100	1,003	0,180	1,253	0,320	1,494	0,600	1,687
	42		24		23		16
0,110	1,045	0,190	1,277	0,340	1,517	0,650	1,703
	37		23		21		12
0,120	1,082	0,200	1,300	0,360	1,538	0,700	1,715
	33		42		19		9
0,130	1,115	0,220	1,342	0,380	1,557	0,750	1,724
	31		37		17		7
0,140	1,146	0,240	1,379	0,400	1,574	0,800	1,731
	29		33		39		6
0,150	1,175	0,260	1,412	0,450	1,613	0,850	1,737
	27		30		30		4
0,160	1,202	0,280	1,442	0,500	1,643	0,900	1,741
	26		27		24		2
0,170	1,228	0,300	1,469	0,550	1,667	0,950	1,743
	25		25		20		2
0,180	1,253	0,320	1,494	0,600	1,687	1,000	1,745

Kada imamo fiksirane početke i krajeve prelaznica, možemo prelaznice obeležiti pravouglim koordinatama ili paš polarnom metodom.

1. Primer: $R_1 = 120$ m, $R_2 = 350$ m, $p = 75$ m

Za odnos $\frac{R_1}{R_2} = \frac{120}{350} = 0,343$ dobijamo pravolinijskom interpolacijom koeficijent $k_2 = 1,520$.

Dužine prelaznica su:

$$L_1 = 1,520 \cdot \frac{350}{120 + 350} \cdot 75 = 84,4 \text{ m}$$

$$L_2 = 1,520 \cdot \frac{120}{120 + 350} \cdot 75 = 29,1 \text{ m}$$

Izaberemo bliže vrednosti koje postoje u priručniku za obeležavanje klotoide i to:

$L_1 = 80$ m za kružni luk poluprečnika R_1

$L_2 = 30$ m za kružni luk poluprečnika R_2

Za $R_1 = 120$ m i $L_1 = 80$ m, te za $R_2 = 350$ m i $L_2 = 30$ m dobijamo sve potrebne podatke u priručniku za obeležavanje klotoide.

2. Primer:

$$R_1 = 80 \text{ m}, \quad R_2 = 90 \text{ m}, \quad p = 88 \text{ m}$$

za $\frac{R_1}{R_2} = \frac{80}{90} = 0,869$ dobijamo pravolinijskom interpolacijom $k_2 = 1,740$ m.

Potom je:

$$L_1 = 1,740 \cdot \frac{90}{80 + 90} \cdot 88 = 81,1 \text{ m}$$

$$L_2 = 1,740 \cdot \frac{80}{80 + 90} \cdot 88 = 72,1 \text{ m}$$

Izabraćemo bliže vrednosti koje se nalaze u priručniku za obeležavanje klotoide, i to:

$L_1 = 80$ m za kružni luk poluprečnika $R_1 = 80$ m i $L_2 = 70$ m za kružni luk poluprečnika $R_2 = 90$ m.

3. Primer:

$$R_1 = R_2 = 250 \text{ m}, \quad p = 105 \text{ m}$$

Za $\frac{R_1}{R_2} = \frac{250}{250} = 1,000$ dobijamo u odnosnoj tabeli $k_2 = 1,745$.

Zatim je:

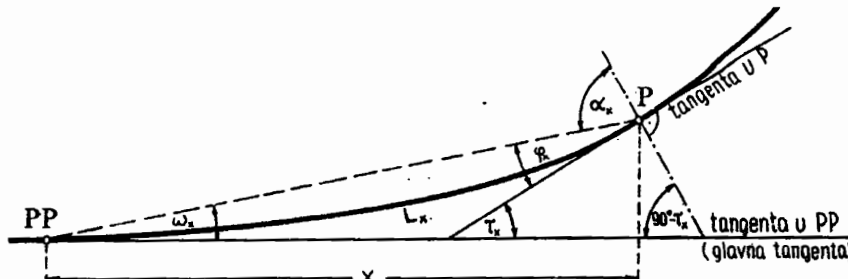
$$L_1 = L_2 = 1,745 \cdot \frac{250}{250 + 250} \cdot 105 = 91,6 \text{ m}$$

Izabraćemo bliže vrednosti, i to: $L_1 = L_2 = 90$ m.

8. Određivanje normale i tangente u proizvoljnoj tački klotoide

U proizvoljnoj, već obeleženoj tački P klotoide treba da obeležimo tačno normalu na klotoidu (sl. 29).

Ugao ω_x , koji zaklapa početna tangenta, tj. tangenta u PP sa vizurom iz PP na tačku P , dobijamo iz tabele za polarno obeležavanje klotoide, ako smo tačku P obeležili polarnom metodom.



Sl. 29

Ako smo pak tačku P obeležili pravouglim koordinatama, izračunaćemo ugao ω_x iz jednačine:

$$\begin{aligned} \operatorname{tg} \omega_x = & \frac{L^2}{6C} \left[1 + 0,0285714286 \left(\frac{x}{2C} \right)^2 + \right. \\ & + 0,0005002405 \left(\frac{x}{2C} \right)^4 - 0,0000150960 \left(\frac{x}{2C} \right)^6 - \\ & - 0,0000017968 \left(\frac{x}{2C} \right)^8 - \\ & \left. - 0,0000000245 \left(\frac{x}{2C} \right)^{10} + \dots \right] \quad \dots \quad (73) \end{aligned}$$

L_x je lučna udaljenost tačke P od PP . Ako je poznata apscisa x tačke P , izračunaćemo L_x po jednačini (18).

Ugao τ_x je ugao koji zaklapa tangentu na klotoиду u proizvoljnoj tački P sa tangentom u PP . Ako nam je poznata lučna udaljenost L_x tačke P od PP izračunaćemo ugao τ_x iz jednačine: (19).

Ako su nam poznati uglovi ω_x i τ_x možemo izračunati i ugao α_x :

$$\alpha_x = 90^\circ + \omega_x - \tau_x \quad \dots \quad (74)$$

Kod tačke P postavimo teodolit, uviziramo PP , odmerimo ugao α_x i dobijamo normalu na klotoиду u tački P .

Tangentu u proizvoljnoj tački klotoиде pak dobićemo, ako od vizure iz te tačke na PP odmerimo ugao φ_x , koji je jednak:

$$\varphi_x = \tau_x - \omega_x \quad \dots \quad (75)$$

$$\alpha_x + \varphi_x = 90^\circ \quad \dots \quad (76)$$

Primer: Treba da obeležimo normalu i tangentu na klotoиду $R = 300$ m, $L = 200$ m u tački čija lučna udaljenost od PP iznosi $L_x = 100$ m.

Iz priručnika za polarno obeležavanje klotoide dobijamo za $R = 300$ m, $L = 200$ m i $L_x = 100$ m ugao $\omega_x = 1^\circ 35' 29''$

Ugao τ_x izračunaćemo prema jednačini (19):

$$\tau_x = \frac{100^2}{2 \cdot 300 \cdot 200} \cdot 57,2957795 = 4^\circ 46' 29''$$

Ugao α_x je:

$$\alpha_x = 90^\circ + 1^\circ 35' 29'' - 4^\circ 46' 29'' = 86^\circ 49' 00''$$

A ugao φ_x iznosi:

$$\varphi_x = 4^\circ 46' 29'' - 1^\circ 35' 29'' = 3^\circ 11' 00''$$

Kontrola:

$$\alpha_x + \varphi_x = 86^\circ 49' 00'' + 3^\circ 11' 00'' = 90^\circ$$

9. Primena sličnosti klotoide

Pošto priručnik za obeležavanje prelaznica u obliku klotoide ima ograničeni obim, pojaviće nam se u praksi slučajevi za koje ne možemo direktno da očitamo iz tablica elemente za obeležavanje, jer u tablicama ne postoje bilo zahtevane dužine prelaznice L , bilo pak zahtevani poluprečnik kružnog luka R . Pošto su sve klotoide međusobno slične, u takvom slučaju se možemo pomoći proporcionalnošću. Time se veoma povećava polje primene priručnika za obeležavanje klotoide.

1. primer: Potrebne su nam pravougle koordinate klotoide dužine $L = 600$ m, koja vodi ka kružnom luku poluprečnika $R = 7000$ m.

Pošto u priručniku za obeležavanje klotoide pravouglim koordinatama doduše imamo $R = 7000$ m, ali nemamo $L = 600$ m, pomažemo se na sledeći način:

$$R_1 = \frac{R}{2} = \frac{7000}{2} = 3500 \text{ m}, \quad L_1 = \frac{L}{2} = \frac{600}{2} = 300 \text{ m}$$

U priručniku za obeležavanje klotoide pravouglim koordinatama dobijamo sve potrebne podatke za $R_1 = 3500$ m i $L_1 = 300$ m. Ako sadrže sve te podatke, koji se mere dužinskim jedinicama ($l, d, y_l, \Delta R, e, x$ i y) pomnožimo sa 2, a uglove ostavimo nepromjenjene, dobijećemo elemente za obeležavanje za $R = 7000$ m i $L = 600$ m.

2. primer: Sa pravouglim koordinatama želimo obeležiti klotoidu dužine $L = 75$ m, koja vodi ka kružnom luku poluprečnika $R = 525$ m. Pošto u priručniku nema tih podataka, pomažemo se na sledeći način:

$$R_1 = 525 \text{ m} \cdot 4 = 2100 \text{ m}, \quad L_1 = 75 \cdot 4 = 300 \text{ m}$$

Za $R_1 = 2100$ m i $L_1 = 300$ m dobijamo u priručniku sve potrebne podatke. Ako podatke koji se mere jedinicama za dužinu podelimo sa 4 a uglove zadržimo nepromjenjene, dobijećemo podatke za obeležavanje za $R = 525$ m i $L = 75$ m.

3. primer: Potrebni su nam podaci za obeležavanje klotoide dužine $L = 105$ m, koja vodi ka kružnom luku poluprečnika $R = 150$ m.

Pošto ti podaci ne postoje u priručniku, pomažemo se na sledeći način:

$$R_1 = \frac{150}{3} = 50 \text{ m}, \quad L_1 = \frac{105}{3} = 35 \text{ m}$$

Iz priručnika za obeležavanje klotoide dobijamo podatke za obeležavanje za $R_1 = 50$ m i $L_1 = 35$ m. Ako sve podatke koji se mere jedinicama za dužinu pomnožimo sa 3, a uglove zadržimo nepromjenjene, dobijamo podatke za obeležavanje za $R = 150$ m i $L = 105$ m.

KORIŠCENA LITERATURA:

1. Walther Schürba: *Klotoidentafeln*, Berlin, 1942
2. Hermann Brandenburg: *Siebenstellige trigonometrische Tafel*, Leipzig, 1931.
3. Branko Žnideršić: *Priručnik za iskolčavanje prelaznih krivina u obliku klotoide — pravougaone koordinate*, Ljubljana, 1947.
4. Branko Žnideršić: *Priručnik za polarno iskolčavanje prelaznih krivina u obliku klotoide*, Beograd, 1949.
5. Branko Žnideršić: *Priručnik za iskolčavanje kružnih lukova*, Beograd, 1953.
6. Branko Žnideršić: *Prelazne krivine na putevima i železnicama*, Beograd, 1949.

T A B E L E

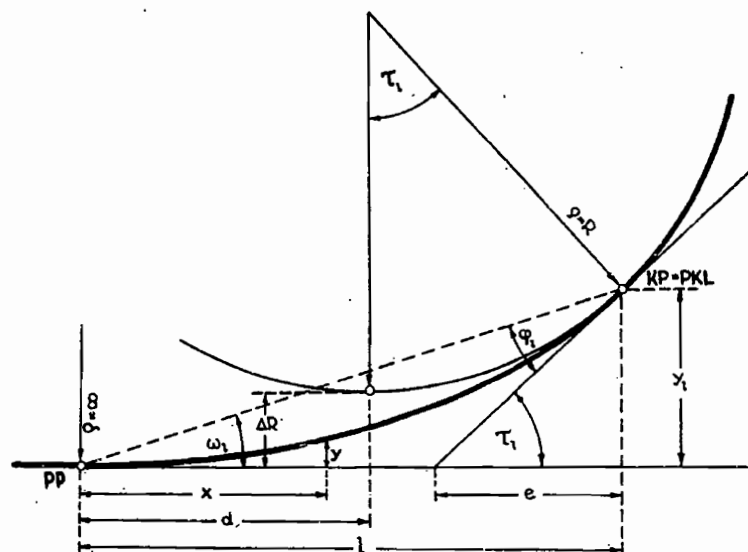
ZA OBELEŽAVANJE PRELAZNICE OBLIKA KLOTOIDE PRAVOUGLIM KOORDINATAMA

PREGLED SADRŽAJA TABELA

Polu-prečnik R m	Dužina pre-lazne krivine L m	Strana	Polu-prečnik R m	Dužina pre-lazne krivine L m	Strana
20	10—40	67—68	150	10—150	124—126
25	10—50	68—70	160	10—150	126—129
30	10—60	70—72	170	10—150	129—132
35	10—60	72—74	180	10—150	132—135
40	10—70	74—76	190	10—150	135—138
45	10—70	76—78	200	10—150	138—141
50	10—80	78—80	225	10—200	141—147
55	10—80	81—83	250	10—200	148—152
60	10—90	83—85	275	10—200	153—157
65	10—90	86—88	300	10—200	158—162
70	10—110	88—91	325	10—200	163—166
75	10—110	91—94	350	10—200	167—170
80	10—120	94—97	375	10—200	171—174
85	10—120	97—100	400	10—200	175—178
90	10—120	101—104	425	10—200	179—182
95	10—140	104—107	450	10—200	183—186
100	10—140	107—111	475	10—200	187—190
110	10—150	111—114	500	10—200	191—194
120	10—150	114—117	550	10—250	195—199
130	10—150	117—120	600	10—250	200—204
140	10—150	120—123	650	10—250	205—209

Polu-prečnik R m	Dužina prelazne krivine L m	Strana	Polu-prečnik R m	Dužina prelazne krivine L m	Strana
700	10—250	210—214	2500	10—300	301—304
750	10—250	215—219	2600	10—300	305—308
800	10—250	220—224	2700	10—300	309—312
850	10—250	225—229	2800	10—300	313—316
900	10—250	230—234	2900	10—300	317—320
950	10—250	235—239	3000	10—300	321—324
1000	10—250	240—244	3500	10—400	325—330
1100	10—300	245—248	4000	10—400	331—336
1200	10—300	249—252	4500	10—400	337—342
1300	10—300	253—256	5000	10—400	343—348
1400	10—300	257—260	5500	10—400	349—354
1500	10—300	261—264	6000	10—400	355—360
1600	10—300	265—268	6500	10—400	361—366
1700	10—300	269—272	7000	10—400	367—372
1800	10—300	273—276	7500	10—400	373—378
1900	10—300	277—280	8000	10—400	379—384
2000	10—300	281—284	8500	10—400	385—390
2100	10—300	285—288	9000	10—400	391—396
2200	10—300	289—292	9500	10—400	397—402
2300	10—300	293—296	10000	10—400	403—408
2400	10—300	297—300			

NAPOMENE
 Prelaz od ordinata prelaznice na ordinate kružnog luka nazačen je u tabelama deblijim otiskom. Debelo odštampana ordinata je već ordinata kružnog luka.
 Sve oznake u tabelama vide se na sledećoj slici:



R = poluprečnik kružnog luka

L = lučna dužina prelaznice

i = apscisna dužina prelaznice

d = udaljenost početka prelaznice od teorijskog početka odmaknutog kružnog luka

y_i = ordinata krajnje tačke prelaznice

x = apscisa proizvoljne tačke prelaznice

y = ordinata proizvoljne tačke prelaznice

ΔR = odmak kruga, tj. veličina za koju moramo da odmaknemo kružni luk ka unutrašnjoj strani krivine, da bi mogli između pravca i kružnog luka da umetnemo prelaznicu

e = dužina subtangente u krajnjoj tački prelaznice

τ_l = ugao koji zaklapa tangenta u krajnjoj tački prelaznice sa tangentom u početnoj tački

φ_l = ugao koji zaklapa vizura iz krajnje tačke na početnu tačku prelaznice sa tangentom u krajnjoj tački

ω_l = ugao koji zaklapa vizura iz početne tačke na krajnju tačku prelaznice sa tangentom u početnoj tački

PP = početak prelaznice

KP = kraj prelaznice

PKL = početak kružnog luka

R	20					
	L	10	15	20	25	30
l	9,988	14,790	19,506	24,041	28,856	
d	4,990	7,465	9,917	12,339	14,728	
y_l	0,830	1,856	3,274	5,065	7,204	
ΔR	0,208	0,466	0,826	1,284	1,888	
e	3,249	4,716	5,994	7,020	7,733	
τ_l	$14^{\circ}19'26,2''$	$21^{\circ}29'09,3''$	$28^{\circ}38'52,4''$	$35^{\circ}48'35,5''$	$42^{\circ}58'18,6''$	
ω_l	$4^{\circ}46'19,6''$	$7^{\circ}09'12,3''$	$9^{\circ}31'44,3''$	$11^{\circ}53'48,4''$	$14^{\circ}15'17,3''$	
φ_l	$9^{\circ}33'06,6''$	$14^{\circ}19'57,0''$	$19^{\circ}07'08,1''$	$23^{\circ}54'47,1''$	$28^{\circ}43'01,3''$	
$x = 5$	0,104	0,069	0,052	0,042	0,035	
10	0,846	0,559	0,418	0,334	0,278	
15	2,893	1,940	1,433	1,138	0,945	
20		4,882	3,554	2,773	2,282	
25			7,692	5,802	4,655	
30				11,598	8,930	

R = 20, 25

R	20		25		
L	35	40	10	15	20
<i>l</i>	32,414	36,181	9,960	14,866	19,682
<i>d</i>	17,063	19,351	4,993	7,478	9,947
<i>y_l</i>	9,663	12,411	0,665	1,490	2,636
ΔR	2,483	3,217	0,166	0,374	0,663
<i>e</i>	8,070	7,969	3,279	4,818	6,236
τ_l	50°08'01,7"	57°17'44,8"	11°27'33,0"	17°11'19,4"	22°55'05,9"
ω_l	16°36'08,3"	18°55'58,6"	3°49'06,3"	5°48'30,7"	7°37'44,6"
φ_l	83°81'58,4"	88°21'46,2"	7°38'26,7"	11°27'48,7"	15°17'21,3"

x = 5	0,030	0,026	0,083	0,056	0,042
10	0,238	0,209	0,673	0,446	0,334
15	0,808	0,706	2,256	1,532	1,138
20	1,942	1,691		3,736	2,773
25	3,910	3,379			5,70?
30	7,219	6,117			
35	13,636	10,759			

R = 25

R	25				
L	25	30	35	40	45
<i>l</i>	24,382	28,938	33,323	37,515	41,489
<i>d</i>	12,397	14,822	17,218	19,580	21,906
<i>y_l</i>	4,093	5,847	7,885	10,189	12,739
ΔR	1,032	1,481	2,006	2,607	3,279
<i>e</i>	7,492	8,547	9,362	9,896	10,109
τ_l	28°38'52,4"	34°22'38,9"	40°06'25,4"	45°50'11,8"	51°33'58,3"
ω_l	9°31'44,3"	11°25'26,1"	13°18'46,4"	15°11'41,3"	17°04'06,6"
φ_l	19°07'08,1"	22°57'12,8"	26°47'39,0"	30°38'30,5"	34°29'51,7"
x = 5	0,033	0,028	0,024	0,021	0,019
10	0,267	0,222	0,191	0,167	0,148
15	0,907	0,754	0,645	0,564	0,501
20	2,186	1,808	1,543	1,346	1,194
25	4,441	3,624	3,069	2,665	2,357
30	8,280	6,616	5,509	4,734	4,160
35		11,721	9,433	7,920	6,865
40			16,711	13,184	11,025
45					18,705

R = 25, 30

R	25	30			
L	50	10	15	20	25
<i>l</i>	45,226	9,972	14,907	19,779	24,569
<i>d</i>	24,189	4,995	7,484	9,963	12,428
<i>y_l</i>	15,513	0,554	1,244	2,205	3,429
ΔR	4,021	0,139	0,312	0,553	0,863
<i>e</i>	9,961	3,296	4,874	6,367	7,749
τ_l	57° 17' 44,8"	9° 32' 57,5"	14° 19' 26,2"	19° 05' 54,9"	23° 52' 23,7"
ω_l	18° 55' 58,6"	3° 10' 56,4"	4° 46' 19,6"	6° 21' 36,7"	7° 56' 45,6"
φ_l	38° 21' 46,2"	6° 22' 01,1"	9° 33' 06,6"	12° 44' 18,2"	15° 55' 38,1"

x = .5	0,017	0,069	0,046	0,035	0,028
10	0,133	0,559	0,371	0,278	0,222
15	0,451	1,856	1,269	0,945	0,754
20	1,073		3,048	2,282	1,808
25	2,114			4,594	3,624
30	3,714				6,548
35	6,077				
40	9,570				
45	15,167				

R = 30

R	30				
L	30	35	40	45	50
<i>l</i>	29,250	33,828	38,258	42,534	46,638
<i>d</i>	14,876	17,803	19,707	22,085	24,482
<i>y_l</i>	4,911	6,642	8,611	10,806	13,215
ΔR	1,239	1,681	2,187	2,757	3,887
<i>e</i>	8,990	10,064	10,948	11,599	12,005
τ_l	28° 38' 52,4"	33° 25' 21,1"	38° 11' 49,9"	42° 58' 18,6"	47° 44' 47,3"
ω_l	9° 31' 44,3"	11° 06' 30,6"	12° 41' 02,8"	14° 15' 17,3"	15° 49' 18,2"
φ_l	19° 07' 08,1"	22° 18' 50,5"	25° 30' 47,6"	28° 48' 01,8"	31° 55' 34,1"
x = 5	0,028	0,020	0,017	0,015	0,014
10	0,185	0,159	0,139	0,123	0,111
15	0,627	0,537	0,470	0,417	0,375
20	1,499	1,281	1,118	1,093	0,893
25	2,979	2,533	2,205	1,953	1,754
30	5,330	4,485	3,880	3,423	3,065
35	8,990	7,457	6,368	5,573	4,963
40		12,064	10,092	8,688	7,658
45			16,054	13,395	11,546
50				21,768	17,694

R = 30, 35

R = 35

R	30	35			
L	60	10	15	20	25
<i>l</i>	54,271	9,980	14,931	19,837	24,683
<i>d</i>	29,027	4,997	7,489	9,973	12,447
<i>y_l</i>	18,616	0,476	1,068	1,894	2,949
ΔR	4,825	0,119	0,267	0,475	0,741
<i>e</i>	11,953	3,306	4,907	6,447	7,904
τ_l	57°17'44,8"	8°11'06,4"	12°16'39,6"	16°22'12,8"	20°27'46,0"
ω_l	18°55'58,6"	2°43'40,4"	4°05'27,5"	5°27'10,7"	6°48'48,7"
φ_l	38°21'46,2"	5°27'26,0"	8°11'12,1"	10°55'02,1"	13°38'57,3"
x = 5	0,012	0,060	0,040	0,030	0,024
10	0,093	0,478	0,318	0,238	0,191
15	0,313	1,579	1,082	0,808	0,645
20	0,743		2,579	1,942	1,543
25	1,457			3,865	3,070
30	2,537				5,461
35	4,082				
40	6,225				
45	9,176				
50	13,334				
55	19,812				

R	35				
L	30	35	40	45	50
<i>l</i>	29,454	34,135	38,713	43,176	47,509
<i>d</i>	14,909	17,355	19,784	22,194	24,581
<i>y_l</i>	4,230	5,730	7,443	9,362	11,478
ΔR	1,064	1,445	1,883	2,375	2,923
<i>e</i>	9,258	10,489	11,576	12,499	13,239
τ_l	24°33'19,2"	28°38'52,4"	32°44'25,6"	36°49'58,8"	40°55'32,0"
ω_l	8°10'20,4"	9°31'44,3"	10°52'59,1"	12°14'03,4"	13°34'55,9"
φ_l	16°22'58,8"	19°07'08,1"	21°51'26,5"	24°35'55,4"	27°20'36,1"
x = 5	0,020	0,017	0,015	0,013	0,012
10	0,159	0,136	0,119	0,106	0,095
15	0,537	0,460	0,402	0,358	0,322
20	1,281	1,095	0,957	0,850	0,764
25	2,533	2,159	1,882	1,669	1,499
30	4,485	3,795	3,295	2,913	2,612
35	7,405	6,218	5,353	4,707	4,206
40		9,758	8,312	7,237	6,423
45			12,611	10,825	9,492
50				16,119	13,863
55					20,612

R = 35, 40

R	35	40			
L	60	10	15	20	25
<i>l</i>	55,739	9,984	14,947	19,875	24,757
<i>d</i>	29,280	4,997	7,491	9,979	12,459
<i>y_l</i>	16,264	0,416	0,935	1,659	2,586
ΔR	4,175	0,104	0,234	0,416	0,649
<i>e</i>	14,083	3,312	4,929	6,498	8,004
τ_l	49° 06' 38,4"	7° 09' 43,1"	10° 44' 34,7"	14° 19' 26,2"	17° 54' 17,8"
ω_l	16° 15' 59,6"	2° 23' 13,2"	3° 34' 47,7"	4° 46' 19,6"	5° 57' 47,2"
φ_l	32° 50' 38,8"	4° 46' 29,9"	7° 09' 47,0"	9° 33' 06,6"	11° 56' 30,6"

x = 5	0,010	0,052	0,035	0,026	0,021
10	0,079	0,418	0,278	0,209	0,167
15	0,268	1,375	0,945	0,706	0,564
20	0,636		2,240	1,692	1,346
25	1,246			3,344	2,666
30	2,166				4,700
35	3,472				
40	5,262				
45	7,671				
50	10,919				
55	15,437				
60	22,404				

R = 40

R	40				
L	30	35	40	45	50
<i>l</i>	29,581	34,836	39,012	43,597	48,082
<i>d</i>	14,930	17,389	19,834	22,265	24,678
<i>y_l</i>	3,713	5,035	6,549	8,249	10,130
ΔR	0,933	1,267	1,652	2,086	2,568
<i>e</i>	9,432	10,764	11,987	13,084	14,040
τ_l	21° 29' 09,3"	25° 04' 00,9"	26° 38' 52,4"	32° 13' 44,0"	35° 48' 35,5"
ω_l	7° 09' 12,8"	8° 20' 31,3"	9° 31' 44,8"	10° 42' 50,8"	11° 53' 48,4"
φ_l	14° 19' 57,0"	16° 43' 29,6"	19° 07' 08,1"	21° 30' 53,7"	23° 54' 47,1"

x = 5	0,017	0,015	0,013	0,012	0,010
10	0,139	0,119	0,104	0,093	0,083
15	0,470	0,402	0,352	0,313	0,281
20	1,118	0,957	0,836	0,743	0,668
25	2,205	1,882	1,342	1,457	1,349
30	3,880	3,295	2,866	2,587	2,277
35	6,332	5,352	4,628	4,082	3,653
40		8,271	7,107	6,225	5,547
45				9,175	8,110
50			10,561		11,604
55					16,480

R = 40, 45

R	40		45			
	L	60	70	10	15	20
<i>l</i>	56,712	64,827	9,988	14,958	19,901	
<i>d</i>	29,446	34,125	4,998	7,493	9,984	
<i>y_l</i>	14,408	19,327	0,370	0,832	1,476	
ΔR	3,676	4,967	0,093	0,208	0,370	
<i>e</i>	15,466	16,140	3,317	4,944	6,533	
<i>r_l</i>	42°58'18,6"	50°08'01,7"	6°21'58,3"	9°32'57,5"	12°43'56,6"	
<i>ω_l</i>	14°15'17,3"	16°36'03,3"	2°07'18,6"	3°10'56,4"	4°14'32,5"	
<i>φ_l</i>	28°43'01,3"	33°31'58,4"	4°14'39,7"	6°22'01,1"	8°29'24,1"	

x = 5	0,009	0,008	0,046	0,031	0,023
10	0,069	0,060	0,372	0,247	0,185
15	0,284	0,201	1,219	0,839	0,627
20	0,556	0,477		1,981	1,499
25	1,089	0,933			2,949
30	1,890	1,617			
35	3,023	2,581			
40	4,564	3,884			
45	6,613	5,598			
50	9,312	7,820			
55	12,901	10,689			
60	17,860	14,437			
65	25,348	19,536			
70		27,276			

R = 45

R	45					
	L	25	30	35	40	45
<i>l</i>	24,808	29,668	34,474	39,217	43,888	
<i>d</i>	12,468	14,945	17,412	19,869	22,314	
<i>y_l</i>	2,302	3,307	4,488	5,843	7,367	
ΔR	0,577	0,830	1,128	1,471	1,858	
<i>e</i>	8,078	9,551	10,953	12,269	13,485	
<i>r_l</i>	15°54'55,8"	19°05'54,9"	22°16'54,1"	25°27'53,3"	28°38'52,4"	
<i>ω_l</i>	5°18'06,1"	6°21'36,7"	7°25'08,7"	8°28'26,4"	9°31'44,3"	
<i>φ_l</i>	10°36'49,7"	12°44'18,2"	14°51'50,4"	16°59'26,9"	19°07'08,1"	

x = 5	0,019	0,015	0,013	0,012	0,010
10	0,148	0,123	0,106	0,093	0,082
15	0,501	0,417	0,358	0,313	0,278
20	1,194	0,993	0,850	0,743	0,660
25	2,357	1,953	1,669	1,457	1,298
30	4,133	3,423	2,913	2,537	2,248
35		5,546	4,707	4,082	3,606
40			7,208	6,225	5,472
45				9,142	7,995
50					11,383

R = 45, 50

R	45			50	
L	50	60	70	10	15
<i>t</i>	48,479	57,388	65,882	9,990	14,966
<i>d</i>	24,745	29,561	34,806	4,998	7,494
<i>y_t</i>	9,057	12,916	17,379	0,333	0,749
ΔR	2,289	3,281	4,440	0,088	0,187
<i>e</i>	14,590	16,415	17,646	3,320	4,955
τ_t	31° 49' 51,5"	38° 11' 49,9"	44° 33' 48,2"	5° 43' 46,5"	8° 35' 39,7"
ω_t	10° 34' 56,6"	12° 41' 02,3"	14° 46' 38,1"	1° 54' 34,9"	2° 51' 51,8"
φ_t	21° 14' 54,9"	25° 30' 47,6"	29° 47' 10,1"	3° 49' 11,6"	5° 43' 48,4"
x = 5	0,009	0,008	0,007	0,042	0,028
10	0,074	0,062	0,053	0,334	0,222
15	0,250	0,208	0,179	1,094	0,754
20	0,594	0,494	0,424		1,776
25	1,163	0,967	0,829		
30	2,019	1,677	1,435		
35	3,232	2,679	2,289		
40	4,888	4,034	3,438		
45	7,100	5,820	4,942		
50	10,044	8,143	6,874		
55	13,978	11,159	9,333		
60		15,138	12,468		
65		20,549	16,533		
70			22,037		
75			30,231		

R = 50

R	50				
L	20	25	30	35	40
<i>t</i>	19,920	24,844	29,731	34,574	39,365
<i>d</i>	9,987	12,474	14,955	17,429	19,894
<i>y_t</i>	1,330	2,074	2,981	4,048	5,273
ΔR	0,333	0,520	0,748	1,016	1,326
<i>e</i>	6,559	8,123	9,636	11,089	12,471
τ_t	11° 27' 33,0"	14° 19' 26,2"	17° 11' 19,4"	20° 03' 12,7"	22° 55' 05,9"
ω_t	3° 49' 06,3"	4° 46' 19,6"	5° 43' 30,7"	6° 40' 39,1"	7° 37' 44,6"
φ_t	7° 38' 26,7"	9° 33' 06,6"	11° 27' 48,7"	13° 22' 33,6"	15° 17' 21,3"
x = 5	0,021	0,017	0,014	0,012	0,010
10	0,167	0,133	0,111	0,095	0,088
15	0,564	0,451	0,375	0,322	0,281
20	1,346	1,073	0,893	0,764	0,668
25	2,640	2,114	1,754	1,499	1,309
30		3,692	3,065	2,612	2,277
35			4,942	4,205	3,653
40				6,400	5,547
45					8,086

R = 50

R	50					
	L	45	50	60	70	80
<i>l</i>	44,097	48,764	57,876	66,647	75,029	
<i>d</i>	22,349	24,793	29,644	34,436	39,162	
<i>y_l</i>	6,653	8,186	11,695	15,771	20,378	
ΔR	1,675	2,065	2,962	4,013	5,213	
<i>e</i>	18,773	14,984	17,094	18,723	19,791	
τ_l	25°46'59,2"	28°38'52,4"	34°22'38,9"	40°06'25,4"	45°50'11,8"	
ω_l	8°34'46,4"	9°31'44,3"	11°25'26,1"	13°18'46,4"	15°11'41,3"	
ϕ_l	17°12'12,8"	19°07'08,1"	22°57'12,8"	26°47'39,0"	30°38'30,5"	

x = 5	0,009	0,008	0,007	0,006	0,005
10	0,074	0,067	0,056	0,048	0,042
15	0,250	0,225	0,188	0,161	0,141
20	0,594	0,584	0,445	0,381	0,334
25	1,163	1,045	0,870	0,745	0,652
30	2,019	1,814	1,508	1,291	1,128
35	3,232	2,899	2,405	2,056	1,796
40	4,888	4,372	3,616	3,083	2,692
45	7,100	6,325	5,203	4,426	3,854
50	10,017	8,884	7,248	6,138	5,331
55		12,221	9,866	8,298	7,177
60			13,231	11,012	9,467
65			17,607	14,441	12,303
70				18,868	15,839
75				24,780	20,347
80					26,364
85					35,241

R = 55

R	55					
	L	10	15	20	25	30
<i>l</i>	9,992	14,972	19,934	24,871	29,778	
<i>d</i>	4,999	7,495	9,989	12,479	14,963	
<i>y_l</i>	0,903	0,681	1,209	1,887	2,713	
ΔR	0,076	0,170	0,303	0,473	0,680	
<i>e</i>	3,322	4,962	6,577	8,159	9,699	
τ_l	5°12'31,4"	7°48'47,0"	10°25'02,7"	13°01'18,4"	15°37'34,0"	
ω_l	1°44'10,0"	2°36'14,2"	3°28'17,4"	4°20'19,3"	5°12'19,5"	
ϕ_l	8°28'21,4"	5°12'32,8"	6°56'45,3"	8°40'59,1"	10°25'14,5"	

x = 5	0,038	0,025	0,019	0,015	0,013
10	0,304	0,202	0,152	0,121	0,101
15	0,993	0,684	0,513	0,410	0,341
20		1,610	1,222	0,974	0,811
25			2,391	1,917	1,591
30				3,338	2,775
35					4,460

R = 55

R	55				
L	35	40	45	50	60
<i>t</i>	34,647	39,474	44,253	48,977	58,289
<i>d</i>	17,441	19,912	22,975	24,829	29,705
<i>y_t</i>	3,685	4,803	6,063	7,465	10,679
ΔR	0,925	1,206	1,525	1,880	2,698
<i>e</i>	11,189	12,621	13,985	15,275	17,598
τ_t	18°13'49,7"	20°50'05,4"	23°26'21,1"	26°02'36,7"	31°15'08,1"
ω_t	6°04'17,8"	6°56'13,7"	7°48'07,0"	8°39'57,3"	10°23'27,6"
φ_t	12°09'31,9"	13°53'51,7"	15°38'14,1"	17°22'39,4"	20°51'40,5"

x = 5	0,011	0,009	0,008	0,008	0,006
10	0,087	0,076	0,067	0,061	0,051
15	0,292	0,256	0,227	0,205	0,171
20	0,694	0,607	0,540	0,485	0,404
25	1,361	1,189	1,056	0,950	0,791
30	2,368	2,065	1,832	1,647	1,369
35	3,803	3,308	2,929	2,629	2,183
40	5,764	5,006	4,419	3,957	3,277
45		7,261	6,394	5,707	4,706
50			8,966	7,978	6,537
55				10,894	8,857
60					11,794
65					15,517

R = 55, 60

R	55		60		
L	70	80	10	15	20
<i>t</i>	67,218	75,871	9,993	14,977	19,945
<i>d</i>	34,533	39,305	4,999	7,498	9,991
<i>y_t</i>	14,424	18,673	0,278	0,624	1,109
ΔR	3,659	4,758	0,069	0,156	0,278
<i>e</i>	19,521	20,981	3,324	4,968	6,592
τ_t	36°27'39,4"	41°40'10,8"	4°46'28,7"	7°09'48,1"	9°32'57,5"
ω_t	12°06'41,6"	13°49'36,8"	1°35'29,2"	2°23'18,2"	3°10'56,4"
φ_t	24°20'57,8"	27°50'34,0"	3°10'59,5"	4°46'29,9"	6°22'01,1"

x = 5	0,005	0,005	0,035	0,023	0,017
10	0,043	0,038	0,278	0,185	0,189
15	0,146	0,128	0,908	0,627	0,470
20	0,347	0,308		1,473	1,119
25	0,677	0,593			2,186
30	1,173	1,025			
35	1,867	1,631			
40	2,799	2,443			
45	4,010	3,495			
50	5,549	4,826			
55	7,479	6,484			
60	9,880	8,525			
65	12,868	11,028			
70	16,622	14,101			
75	21,411	17,914			
80		22,759			
85		29,148			

R = 60

R	60				
L	25	30	35	40	45
<i>l</i>	24,892	29,813	34,703	39,558	44,371
<i>d</i>	12,482	14,969	17,451	19,926	22,395
<i>y_l</i>	1,731	2,489	3,382	4,409	5,569
ΔR	0,433	0,624	0,848	1,107	1,399
<i>e</i>	8,187	9,747	11,265	12,734	14,147
<i>t_l</i>	11° 56' 11,8"	14° 19' 26,2"	16° 42' 40,6"	19° 05' 54,9"	21° 29' 09,3"
<i>ω_l</i>	3° 58' 38,7"	4° 46' 19,6"	5° 39' 59,0"	6° 21' 36,7"	7° 09' 12,3"
<i>φ_l</i>	7° 57' 33,1"	9° 33' 06,6"	11° 08' 41,6"	12° 44' 18,2"	14° 19' 57,0"

x = 5	0,014	0,012	0,010	0,009	0,008
10	0,111	0,093	0,079	0,069	0,062
15	0,375	0,313	0,268	0,234	0,208
20	0,893	0,743	0,636	0,556	0,494
25	1,753	1,457	1,246	1,089	0,967
30	3,047	2,537	2,166	1,890	1,677
35		4,066	3,472	3,023	2,679
40			5,246	4,565	4,034
45				6,597	5,820
50					8,126

R = 60

R	60				
L	50	60	70	80	90
<i>l</i>	49,139	58,517	67,655	76,517	85,068
<i>d</i>	24,856	29,752	34,607	39,415	44,169
<i>y_l</i>	6,859	9,823	13,284	17,221	21,612
ΔR	1,725	2,478	3,362	4,375	5,513
<i>e</i>	15,497	17,981	20,129	21,887	23,199
<i>t_l</i>	23° 52' 23,7"	28° 38' 52,4"	33° 25' 21,1"	38° 11' 49,9"	42° 58' 18,6"
<i>ω_l</i>	7° 56' 45,6"	9° 31' 44,3"	11° 06' 30,6"	12° 41' 02,3"	14° 15' 17,3"
<i>φ_l</i>	15° 55' 38,1"	19° 07' 08,1"	22° 18' 50,5"	25° 30' 47,6"	28° 43' 01,3"

x = 5	0,007	0,006	0,005	0,004	0,004
10	0,056	0,046	0,040	0,035	0,031
15	0,188	0,156	0,134	0,117	0,104
20	0,445	0,371	0,318	0,278	0,247
25	0,870	0,725	0,621	0,543	0,483
30	1,508	1,255	1,074	0,939	0,835
35	2,405	1,998	1,710	1,494	1,327
40	3,616	2,997	2,561	2,237	1,985
45	5,203	4,298	3,666	3,197	2,836
50	7,248	5,957	5,066	4,410	3,907
55	9,847	8,046	6,812	5,915	5,231
60		10,660	8,970	7,760	6,847
65		13,923	11,628	10,007	8,799
70			14,913	12,735	11,146
75			18,995	16,066	13,967
80				20,184	17,876
85				25,362	21,549
90					26,789
95					33,635

R = 65

R	65				
L	10	15	20	25	30
<i>l</i>	9,994	14,980	19,953	24,908	29,841
<i>d</i>	4,999	7,497	9,992	12,485	14,973
<i>y_l</i>	0,256	0,576	1,024	1,598	2,299
ΔR	0,064	0,144	0,256	0,400	0,576
<i>e</i>	3,325	4,973	6,603	8,209	9,785
τ_l	4° 24' 26,5"	6° 36' 39,8"	8° 48' 53,1"	11° 01' 06,3"	13° 13' 19,6"
ω_l	1° 28' 08,6"	2° 12' 12,4"	2° 56' 15,6"	3° 40' 18,0"	4° 24' 19,4"
φ_l	2° 56' 17,9"	4° 24' 27,4"	5° 52' 37,5"	7° 20' 48,3"	8° 49' 00,2"
x = 5	0,032	0,021	0,016	0,013	0,011
10	0,257	0,171	0,128	0,103	0,085
15	0,838	0,578	0,433	0,347	0,289
20		1,358	1,031	0,823	0,685
25			2,012	1,616	1,343
30				2,804	2,337
35					3,738

R = 65

R	65				
L	35	40	45	50	60
<i>l</i>	84,747	89,628	44,464	49,265	58,784
<i>d</i>	17,458	19,937	22,410	24,877	29,788
<i>y_l</i>	3,125	4,075	5,148	6,343	9,091
ΔR	0,783	1,022	1,293	1,594	2,290
<i>e</i>	11,325	12,823	14,273	15,670	18,279
τ_l	15° 25' 32,8"	17° 37' 46,1"	19° 49' 59,4"	22° 02' 12,6"	26° 26' 39,1"
ω_l	5° 08' 19,6"	5° 52' 18,4"	6° 36' 15,6"	7° 20' 11,0"	8° 47' 55,5"
φ_l	10° 17' 13,2"	11° 45' 27,7"	13° 13' 43,8"	14° 42' 01,6"	17° 38' 43,6"
x = 5	0,009	0,008	0,007	0,006	0,005
10	0,073	0,064	0,057	0,051	0,043
15	0,247	0,216	0,192	0,173	0,144
20	0,587	0,514	0,456	0,411	0,342
25	1,150	1,005	0,893	0,803	0,669
30	1,996	1,743	1,547	1,391	1,157
35	3,195	2,784	2,468	2,217	1,843
40	4,817	4,196	3,712	3,329	2,762
45		6,048	5,345	4,782	3,956
50			7,439	6,645	5,474
55				8,995	7,376
60					9,738
65					12,654

R = 65, 70

R	65			70		
	L	70	80	90	10	15
<i>l</i>	67,997	77,028	85,781	9,995	14,983	
<i>d</i>	34,664	39,500	44,291	4,999	7,497	
<i>y_l</i>	12,306	15,972	20,069	0,238	0,535	
ΔR	3,109	4,048	5,104	0,060	0,134	
<i>e</i>	20,602	22,592	24,202	3,326	4,977	
τ_l	30° 51' 05,6"	35° 15' 32,2"	39° 39' 58,7"	4° 05' 33,2"	6° 08' 19,8"	
ω_l	10° 15' 30,4"	11° 42' 53,8"	13° 10' 04,2"	1° 21' 50,9"	2° 02' 45,9"	
φ_l	20° 35' 35,2"	28° 32' 38,4"	26° 29' 54,5"	2° 43' 42,3"	4° 05' 33,9"	
x = 5	0,005	0,004	0,004	0,030	0,020	
10	0,087	0,082	0,028	0,238	0,159	
15	0,124	0,108	0,096	0,778	0,537	
20	0,298	0,256	0,228		1,260	
25	0,573	0,501	0,445			
30	0,991	0,867	0,770			
35	1,577	1,379	1,225			
40	2,361	2,063	1,881			
45	3,377	2,946	2,614			
50	4,661	4,061	3,599			
55	6,258	5,440	4,815			
60	8,221	7,125	6,294			
65	10,620	9,166	8,075			
70	13,553	11,627	10,204			
75	17,138	14,597	12,744			
80		18,208	15,779			
85		22,629	19,431			
90			23,891			
95			29,440			

R = 70

R	70					
	L	20	25	30	35	40
<i>l</i>	19,959	24,920	29,863	34,782	39,675	
<i>d</i>	9,998	12,487	14,977	17,464	19,946	
<i>y_l</i>	0,951	1,485	2,136	2,904	3,787	
ΔR	0,238	0,372	0,535	0,728	0,950	
<i>e</i>	6,612	8,226	9,814	11,372	12,893	
τ_l	8° 11' 06,4"	10° 13' 53,0"	12° 16' 39,6"	14° 19' 26,2"	16° 22' 12,8"	
ω_l	2° 43' 40,4"	3° 24' 34,4"	4° 05' 27,5"	4° 46' 19,6"	5° 27' 10,7"	
φ_l	5° 27' 26,0"	6° 49' 18,6"	8° 11' 12,1"	9° 33' 06,6"	10° 55' 02,1"	
x = 5	0,015	0,012	0,010	0,009	0,008	
10	0,119	0,095	0,079	0,068	0,060	
15	0,402	0,322	0,268	0,230	0,201	
20	0,957	0,764	0,636	0,545	0,477	
25	1,866	1,499	1,246	1,067	0,938	
30		2,598	2,166	1,851	1,617	
35			3,460	2,960	2,581	
40				4,455	3,884	
45					5,587	

R = 70

R	70				
L	45	50	60	70	80
<i>l</i>	44,537	49,366	58,907	68,270	77,427
<i>d</i>	22,423	24,894	29,817	34,710	39,569
<i>y_l</i>	4,786	5,898	8,460	11,460	14,886
ΔR	1,201	1,481	2,129	2,891	3,765
<i>e</i>	14,373	15,807	18,516	20,977	23,152
τ_l	18°24'59,4"	20°27'46,0"	24°33'19,2"	28°38'52,4"	32°44'25,6"
ω_l	6°08'00,4"	6°48'48,7"	8°10'20,4"	9°31'44,3"	10°52'59,1"
φ_l	12°16'59,0"	13°38'57,3"	16°22'58,8"	19°07'08,1"	21°51'26,5"
x = 5	0,007	0,006	0,005	0,004	0,004
10	0,053	0,048	0,040	0,034	0,030
15	0,179	0,161	0,134	0,115	0,100
20	0,424	0,381	0,318	0,272	0,238
25	0,829	0,745	0,621	0,582	0,465
30	1,435	1,291	1,074	0,920	0,805
35	2,289	2,056	1,710	1,464	1,280
40	3,438	3,085	2,561	2,190	1,914
45	4,942	4,426	3,666	3,130	2,733
50	6,862	6,139	5,066	4,317	3,764
55		8,286	6,812	5,789	5,087
60			8,971	7,591	6,589
65			11,613	9,782	8,461
70				12,437	10,706
75				15,648	13,894
80					16,622
85					20,511

R = 70, 75

R	70			75	
L	90	100	110	10	15
<i>l</i>	86,351	95,017	103,401	9,996	14,985
<i>d</i>	44,987	49,162	53,887	4,999	7,498
<i>y_l</i>	18,724	22,956	27,564	0,222	0,500
ΔR	4,751	5,845	7,046	0,056	0,125
<i>e</i>	24,999	26,477	27,546	3,327	4,980
τ_l	36°49'58,8"	40°55'32,0"	45°01'05,2"	3°49'11,0"	5°43'46,5"
ω_l	12°14'03,4"	13°34'55,9"	14°55'35,2"	1°16'28,5"	1°54'34,9"
φ_l	24°35'55,4"	27°20'36,1"	30°05'30,0"	2°32'47,5"	3°49'11,6"
x = 5	0,003	0,003	0,003	0,028	0,019
10	0,026	0,024	0,022	0,223	0,148
15	0,089	0,080	0,073	0,725	0,501
20	0,212	0,191	0,178		1,174
25	0,414	0,372	0,338		
30	0,715	0,643	0,585		
35	1,137	1,023	0,929		
40	1,699	1,528	1,389		
45	2,425	2,180	1,980		
50	3,337	2,998	2,722		
55	4,461	4,005	3,634		
60	5,826	5,223	4,735		
65	7,464	6,682	6,051		
70	9,415	8,411	7,606		
75	11,730	10,450	9,481		
80	14,478	12,846	11,564		
85	17,737	15,662	14,051		
90	21,652	18,985	16,953		
95	26,395	22,941	20,355		
100		27,726	24,377		
105		33,630	29,218		
110			35,197		

R = 75

R	75					
	L	20	25	30	35	40
<i>l</i>	19,964	24,931	29,880	34,810	39,716	
<i>d</i>	9,994	12,488	14,980	17,468	19,953	
<i>y_l</i>	0,888	1,386	1,994	2,712	3,538	
ΔR	0,222	0,347	0,499	0,679	0,887	
<i>e</i>	6,619	8,240	9,838	11,410	12,950	
τ_l	7°38'22,0"	9°32'57,5"	11°27'33,0"	13°22'08,5"	15°16'44,0"	
ω_l	2°32'45,9"	3°10'56,4"	3°49'06,3"	4°27'15,4"	5°05'23,6"	
φ_l	5°05'36,1"	6°22'01,1"	7°38'26,7"	8°54'53,1"	10°11'20,4"	

x = 5	0,014	0,011	0,009	0,008	0,007
10	0,111	0,089	0,074	0,063	0,056
15	0,375	0,300	0,250	0,214	0,188
20	0,893	0,713	0,594	0,509	0,445
25	1,789	1,398	1,163	0,995	0,870
30		2,420	2,019	1,726	1,508
35			3,221	2,757	2,405
40				4,144	3,616
45					5,193

R = 75

R	75					
	L	45	50	60	70	80
<i>l</i>	44,597	49,447	59,047	68,491	77,754	
<i>d</i>	22,433	24,908	29,841	34,747	39,624	
<i>y_l</i>	4,471	5,512	7,909	10,721	13,936	
ΔR	1,121	1,383	1,989	2,701	3,520	
<i>e</i>	14,454	15,918	18,707	21,281	23,604	
τ_l	17°11'19,4"	19°05'54,9"	22°55'05,9"	26°44'16,9"	30°38'27,9"	
ω_l	5°43'30,7"	6°21'36,7"	7°37'44,6"	8°53'46,2"	10°09'40,4"	
φ_l	11°27'48,7"	12°44'18,2"	15°17'21,3"	17°50'30,7"	20°23'47,5"	

x = 5	0,006	0,006	0,005	0,004	0,003
10	0,049	0,044	0,037	0,032	0,028
15	0,167	0,150	0,125	0,107	0,094
20	0,395	0,356	0,296	0,254	0,222
25	0,773	0,696	0,579	0,496	0,434
30	1,339	1,204	1,002	0,859	0,751
35	2,134	1,917	1,595	1,365	1,194
40	3,202	2,875	2,388	2,043	1,785
45	4,597	4,120	3,415	2,918	2,548
50	6,371	5,705	4,715	4,021	3,507
55		7,685	6,331	5,387	4,691
60			8,320	7,054	6,130
65			10,740	9,071	7,860
70				11,503	9,926
75				14,419	12,386
80					15,315
85					18,804

R = 75, 80

R	75			80		
	L	90	100	110	10	15
<i>t</i>	86,814	95,646	104,230	9,996	14,987	
<i>d</i>	44,465	49,268	54,029	4,999	7,498	
<i>y_l</i>	17,542	21,527	25,874	0,208	0,468	
ΔR	4,443	5,468	6,595	0,052	0,117	
<i>e</i>	25,642	27,358	28,718	3,828	4,982	
τ_l	34°22'36,9"	38°11'49,9"	42°01'00,9"	3°34'51,6"	5°22'17,3"	
ω_l	11°25'26,1"	12°41'02,3"	13°56'27,7"	1°11'37,0"	1°47'25,3"	
φ_l	22°57'12,8"	25°30'47,6"	28°04'33,2"	2°23'14,6"	3°34'52,0"	
x = 5	0,003	0,003	0,003	0,026	0,017	
10	0,025	0,022	0,020	0,209	0,139	
15	0,083	0,075	0,068	0,680	0,470	
20	0,198	0,178	0,162		1,100	
25	0,386	0,347	0,316			
30	0,667	0,600	0,546			
35	1,061	0,954	0,867			
40	1,585	1,426	1,296			
45	2,262	2,084	1,847			
50	3,111	2,796	2,539			
55	4,156	3,732	3,387			
60	5,423	4,865	4,412			
65	6,941	6,218	5,634			
70	8,743	7,819	7,076			
75	10,872	9,701	8,764			
80	13,381	11,902	10,730			
85	16,340	14,474	13,012			
90	19,848	17,484	15,660			
95	24,024	21,024	18,736			
100		25,230	22,331			
105		30,279	26,577			
110			31,672			

R = 80

R	80					
	L	20	25	30	35	40
<i>t</i>	19,969	24,939	29,895	34,883	39,751	
<i>d</i>	9,995	12,490	14,982	17,472	19,958	
<i>y_l</i>	0,882	1,300	1,870	2,543	3,318	
ΔR	0,208	0,325	0,468	0,637	0,831	
<i>e</i>	6,624	8,251	9,858	11,441	12,996	
τ_l	7°09'48,1"	8°57'08,9"	10°44'34,7"	12°32'00,4"	14°19'26,2"	
ω_l	2°28'13,2"	2°59'00,7"	3°34'47,7"	4°10'34,1"	4°46'19,6"	
φ_l	4°46'29,9"	5°58'08,2"	7°09'47,0"	8°21'26,3"	9°33'06,6"	
x = 5	0,013	0,010	0,009	0,008	0,007	
10	0,104	0,083	0,069	0,060	0,052	
15	0,352	0,281	0,234	0,201	0,176	
20	0,836	0,668	0,556	0,477	0,417	
25	1,628	1,310	1,089	0,983	0,816	
30		2,265	1,891	1,617	1,413	
35			3,013	2,581	2,252	
40				3,874	3,383	
45					4,852	

R = 80

R	80				
L	45	50	60	70	80
<i>l</i>	44,645	49,514	59,162	68,672	78,023
<i>d</i>	22,441	24,919	29,860	34,778	39,669
<i>y_l</i>	4,195	5,172	7,425	10,070	13,097
ΔR	1,052	1,298	1,866	2,535	3,804
<i>e</i>	14,520	16,008	18,863	21,529	23,974
τ_l	16°06'52,0"	17°54'17,8"	21°29'09,3"	25°04'00,9"	28°38'52,4"
ω_l	5°22'04,5"	5°57'47,2"	7°09'12,3"	8°20'31,3"	9°31'44,3"
φ_l	10°44'47,5"	11°56'30,6"	14°19'57,0"	16°43'29,6"	19°07'08,1"

x = 5	0,006	0,005	0,004	0,004	0,003
10	0,046	0,042	0,035	0,030	0,026
15	0,156	0,141	0,117	0,100	0,088
20	0,371	0,384	0,278	0,238	0,203
25	0,725	0,652	0,543	0,465	0,407
30	1,255	1,128	0,939	0,805	0,704
35	1,998	1,796	1,494	1,280	1,119
40	2,997	2,692	2,237	1,914	1,673
45	4,298	3,854	3,197	2,733	2,387
50	5,948	5,331	4,410	3,764	3,284
55		7,168	5,915	5,037	4,390
60			7,760	6,589	5,731
65			9,996	8,461	7,341
70				10,706	9,257
75				13,381	11,527
80					14,214
85					17,386

R = 80, 85

R	80				85
L	90	100	110	120	10
<i>l</i>	87,194	96,164	104,913	113,424	9,997
<i>d</i>	44,530	49,356	54,145	58,892	4,999
<i>y_l</i>	16,497	20,259	24,370	28,816	0,196
ΔR	4,171	5,136	6,197	7,351	0,049
<i>e</i>	26,168	28,080	29,678	30,932	3,329
τ_l	32°13'44,0"	35°48'35,5"	39°23'27,1"	42°58'18,6"	3°22'13,2"
ω_l	10°42'50,3"	11°58'48,4"	13°04'37,7"	14°15'17,3"	1°07'24,3"
φ_l	21°30'53,7"	23°54'47,1"	26°18'49,4"	28°43'01,3"	2°14'48,9"
x = 5	0,003	0,003	0,002	0,002	0,025
10	0,023	0,021	0,019	0,017	0,197
15	0,078	0,070	0,064	0,059	0,640
20	0,185	0,167	0,152	0,139	
25	0,362	0,326	0,296	0,271	
30	0,626	0,563	0,512	0,469	
35	0,994	0,894	0,813	0,745	
40	1,486	1,336	1,214	1,113	
45	2,119	1,905	1,731	1,586	
50	2,914	2,619	2,378	2,179	
55	3,891	3,495	3,173	2,905	
60	5,074	4,553	4,131	3,781	
65	6,488	5,816	5,272	4,822	
70	8,164	7,307	6,616	6,047	
75	10,136	9,055	8,187	7,475	
80	12,450	11,093	10,012	9,129	
85	15,163	13,464	12,123	11,035	
90	18,350	16,220	14,561	13,225	
95	22,101	19,435	17,376	15,738	
100		23,207	20,638	18,623	
105		27,658	24,441	21,947	
110			28,924	25,802	
115				30,326	
120				35,720	

R = 85

R	85				
L	15	20	25	30	35
<i>l</i>	14,988	19,972	24,946	29,907	34,852
<i>d</i>	7,498	9,995	12,491	14,984	17,475
<i>y_l</i>	0,441	0,784	1,224	1,761	2,395
ΔR	0,110	0,196	0,306	0,441	0,600
<i>e</i>	4,984	6,629	8,260	9,874	11,467
τ_l	5°03'19,8"	6°44'26,5"	8°25'33,1"	10°06'39,7"	11°47'46,3"
ω_l	1°41'06,2"	2°14'47,9"	2°48'29,2"	3°22'10,0"	3°55'50,3"
φ_l	3°22'13,6"	4°29'38,6"	5°37'03,9"	6°44'29,7"	7°51'56,0"

x = 5	0,016	0,012	0,010	0,008	0,007
10	0,131	0,098	0,078	0,065	0,056
15	0,442	0,331	0,265	0,221	0,189
20	1,035	0,787	0,629	0,524	0,449
25		1,531	1,232	1,025	0,878
30			2,129	1,778	1,521
35				2,831	2,426
40					3,638

R = 85

R	85				
L	40	45	50	60	70
<i>l</i>	39,779	44,686	49,569	59,257	68,822
<i>d</i>	19,968	22,448	24,928	29,876	34,808
<i>y_l</i>	3,125	3,951	4,872	6,996	9,492
ΔR	0,783	0,990	1,222	1,757	2,387
<i>e</i>	13,035	14,575	16,084	18,998	21,734
τ_l	13°28'52,9"	15°09'59,5"	16°51'06,1"	20°18'19,3"	23°35'32,6"
ω_l	4°29'30,0"	5°03'09,1"	5°36'47,2"	6°44'00,8"	7°51'10,0"
φ_l	8°59'22,9"	10°06'50,4"	11°14'18,9"	13°29'18,5"	15°44'22,6"

x = 5	0,006	0,005	0,005	0,004	0,004
10	0,049	0,044	0,039	0,038	0,028
15	0,165	0,147	0,132	0,110	0,095
20	0,392	0,349	0,314	0,262	0,224
25	0,767	0,682	0,614	0,511	0,438
30	1,329	1,180	1,062	0,884	0,757
35	2,118	1,879	1,689	1,406	1,204
40	3,178	2,817	2,531	2,103	1,800
45	4,554	4,036	3,621	3,005	2,570
50		5,579	5,004	4,143	3,538
55			6,719	5,552	4,732
60				7,274	6,183
65				9,853	7,930
70					10,017
75					12,498

R	85.					
	L	80	90	100	110	120
<i>l</i>	78,246	87,510	96,595	105,483	114,157	
<i>d</i>	39,707	44,583	49,429	54,241	59,017	
<i>y_l</i>	12,352	15,567	19,129	23,025	27,246	
ΔR	3,113	3,931	4,842	5,843	6,935	
<i>e</i>	24,281	26,605	28,678	30,474	31,964	
τ_l	26°57'45,8"	30°19'59,0"	33°42'12,2"	37°04'25,5"	40°26'38,7"	
ω_l	8°58'14,3"	10°05'12,7"	11°12'04,6"	12°18'49,2"	13°25'25,7"	
φ_l	17°59'31,5"	20°14'46,3"	22°30'07,6"	24°45'36,3"	27°01'13,0"	
$x = 5$	0,003	0,003	0,002	0,002	0,002	
10	0,025	0,022	0,020	0,018	0,016	
15	0,083	0,074	0,066	0,060	0,055	
20	0,196	0,174	0,157	0,143	0,131	
25	0,383	0,341	0,306	0,279	0,255	
30	0,662	0,589	0,530	0,482	0,441	
35	1,053	0,935	0,842	0,765	0,701	
40	1,574	1,398	1,257	1,143	1,047	
45	2,245	1,993	1,793	1,629	1,492	
50	3,088	2,740	2,463	2,237	2,050	
55	4,125	3,658	3,286	2,984	2,732	
60	5,382	4,767	4,280	3,884	3,555	
65	6,887	6,092	5,463	4,954	4,532	
70	8,675	7,658	6,859	6,214	5,681	
75	10,785	9,497	8,492	7,683	7,018	
80	13,270	11,647	10,391	9,387	8,564	
85	16,185	14,154	12,592	11,353	10,343	
90		17,082	15,139	13,614	12,380	
95		20,498	18,090	16,213	14,709	
100			21,522	19,205	17,371	
105				22,663	20,417	
110				26,688	23,919	
115				31,402	27,974	
120					32,722	

R	90					
	L	10	15	20	25	30
<i>l</i>	9,997	14,990	19,975	24,952	29,917	
<i>d</i>	4,999	7,498	9,996	12,492	14,986	
<i>y_l</i>	0,185	0,416	0,740	1,156	1,663	
ΔR	0,046	0,104	0,185	0,289	0,416	
<i>e</i>	3,329	4,986	6,633	8,268	9,888	
τ_l	3°10'59,2"	4°46'28,7"	6°21'58,3"	7°57'27,9"	9°32'57,5"	
ω_l	1°03'39,6"	1°35'29,2"	2°07'18,6"	2°39'07,7"	3°10'56,4"	
φ_l	2°07'19,6"	3°10'59,5"	4°14'39,7"	5°18'20,2"	6°22'01,1"	
$x = 5$	0,023	0,015	0,012	0,009	0,008	
10	0,185	0,128	0,098	0,074	0,062	
15	0,604	0,417	0,313	0,250	0,208	
20		0,977	0,743	0,594	0,494	
25			1,445	1,163	0,967	
30				2,008	1,677	
35					2,670	

R = 90

R	90				
L	35	40	45	50	60
<i>t</i>	34,868	39,803	44,720	49,616	59,387
<i>d</i>	17,478	19,967	22,453	24,936	29,889
<i>y_l</i>	2,262	2,953	3,733	4,604	6,614
ΔR	0,566	0,739	0,935	1,154	1,660
<i>e</i>	11,488	13,067	14,621	16,147	19,101
<i>r_l</i>	11°08'27,0"	12°43'56,6"	14°19'26,2"	15°54'55,8"	19°05'54,9"
ω_l	3°42'44,7"	4°14'32,5"	4°46'19,6"	5°18'06,1"	6°21'36,7"
φ_l	7°25'42,3"	8°29'24,1"	9°33'06,6"	10°36'49,7"	12°44'18,2"
x = 5	0,007	0,006	0,005	0,005	0,004
10	0,053	0,046	0,041	0,037	0,031
15	0,179	0,156	0,139	0,125	0,104
20	0,424	0,371	0,329	0,296	0,247
25	0,829	0,725	0,644	0,579	0,483
30	1,435	1,255	1,114	1,002	0,835
35	2,289	1,998	1,774	1,595	1,327
40	3,430	2,997	2,658	2,388	1,985
45		4,291	3,805	3,415	2,836
50			5,255	4,715	3,907
55				6,824	5,231
60					6,847
65					8,791

R = 90

R	90				
L	70	80	90	100	110
<i>t</i>	68,949	78,484	87,776	96,957	105,962
<i>d</i>	34,824	39,738	44,628	49,490	54,822
<i>y_l</i>	8,977	11,686	14,784	18,114	21,817
ΔR	2,256	2,942	3,717	4,579	5,528
<i>e</i>	21,907	24,538	26,971	29,180	31,141
<i>r_l</i>	22°16'54,1"	25°27'53,3"	28°38'52,4"	31°49'51,5"	35°00'50,7"
ω_l	7°25'08,7"	8°28'26,4"	9°31'44,3"	10°34'56,6"	11°38'02,8"
φ_l	14°51'50,4"	16°59'26,9"	19°07'08,1"	21°14'54,9"	23°22'47,9"
x = 5	0,003	0,003	0,003	0,002	0,002
10	0,026	0,023	0,021	0,019	0,017
15	0,089	0,078	0,069	0,068	0,057
20	0,212	0,185	0,165	0,148	0,135
25	0,414	0,362	0,322	0,289	0,263
30	0,715	0,626	0,556	0,500	0,455
35	1,187	0,994	0,883	0,795	0,722
40	1,699	1,486	1,320	1,187	1,079
45	2,425	2,119	1,882	1,692	1,538
50	3,337	2,914	2,586	2,325	2,112
55	4,461	3,891	3,451	3,101	2,816
60	5,826	5,074	4,496	4,037	3,664
65	7,464	6,488	5,742	5,152	4,673
70	9,415	8,164	7,218	6,464	5,858
75	11,721	10,136	8,936	7,996	7,289
80		12,450	10,945	9,775	8,887
85		15,152	13,279	11,831	10,677
90			15,990	14,201	12,788
95			19,133	16,983	15,205
100				20,089	17,974
105				23,787	21,152
110					24,817
115					29,058

$\kappa = 90, 95$

R	90					95					
	L	120	10	15	20	25	L	120	10	15	20
l	114,775	9,997	14,991	19,978	24,957						
d	59,122	5,000	7,498	9,996	12,493						
y_l	25,832	0,175	0,395	0,701	1,095						
ΔR	6,562	0,044	0,099	0,175	0,274						
e	32,830	3,330	4,987	6,687	8,275						
τ_l	$38^{\circ}11'49,9''$	$3^{\circ}00'56,0''$	$4^{\circ}31'24,1''$	$6^{\circ}01'52,1''$	$7^{\circ}32'20,1''$						
ω_l	$12^{\circ}41'02,3''$	$1^{\circ}00'18,6''$	$1^{\circ}30'27,7''$	$2^{\circ}00'36,7''$	$2^{\circ}30'45,4''$						
φ_l	$25^{\circ}30'47,6''$	$2^{\circ}00'37,4''$	$3^{\circ}00'56,4''$	$4^{\circ}01'15,4''$	$5^{\circ}01'34,7''$						
$x = 5$	0,002	0,022	0,015	0,011	0,009						
10	0,015	0,176	0,117	0,088	0,070						
15	0,052	0,572	0,395	0,296	0,237						
20	0,123		0,925	0,704	0,562						
25	0,241			1,368	1,101						
30	0,417				1,901						
35	0,662										
40	0,989										
45	1,409										
50	1,935										
55	2,579										
60	3,355										
65	4,276										
70	5,357										
75	6,615										
80	8,067										
85	9,735										
90	11,641										
95	13,813										
100	16,286										
105	19,103										
110	22,319										
115	30,276										
120	35,242										

$B = 95$

R	95					
	L	30	35	40	45	50
l	29,925	34,881	39,823	44,748	49,655	
d	14,988	17,480	19,970	22,458	24,942	
y_l	1,576	2,144	2,798	3,538	4,364	
ΔR	0,394	0,537	0,701	0,886	1,094	
e	9,899	11,506	13,094	14,660	16,200	
τ_l	$9^{\circ}02'48,1''$	$10^{\circ}33'16,1''$	$12^{\circ}03'44,7''$	$13^{\circ}34'12,2''$	$15^{\circ}04'40,2''$	
ω_l	$3^{\circ}00'58,8''$	$3^{\circ}31'01,7''$	$4^{\circ}01'09,3''$	$4^{\circ}31'16,3''$	$5^{\circ}01'22,8''$	
φ_l	$6^{\circ}01'54,3''$	$7^{\circ}02'14,4''$	$8^{\circ}02'35,4''$	$9^{\circ}02'55,9''$	$10^{\circ}03'17,4''$	
$x = 5$	0,007	0,006	0,005	0,005	0,004	
10	0,058	0,051	0,044	0,039	0,035	
15	0,197	0,173	0,148	0,132	0,118	
20	0,468	0,410	0,351	0,312	0,281	
25	0,916	0,801	0,686	0,610	0,549	
30	1,588	1,387	1,188	1,055	0,949	
35	2,526	2,166	1,892	1,679	1,510	
40		3,244	2,836	2,515	2,260	
45			4,057	3,600	3,281	
50				4,966	4,458	
55					5,974	

R = 95

R	95				
L	60	70	80	90	100
<i>l</i>	59,404	69,056	78,598	88,001	97,265
<i>d</i>	29,901	34,842	39,765	44,666	49,542
<i>y_l</i>	6,271	8,514	11,087	13,984	17,200
ΔR	1,573	2,139	2,789	3,524	4,343
<i>e</i>	19,193	22,053	24,756	27,281	29,605
<i>τ_l</i>	18°05'36,3"	21°06'32,3"	24°07'28,3"	27°08'24,4"	30°09'20,4"
<i>ω_l</i>	6°01'33,7"	7°01'41,6"	8°01'45,8"	9°01'45,9"	10°01'41,4"
<i>φ_l</i>	12°04'02,6"	14°04'50,7"	16°05'42,5"	18°06'38,5"	20°07'39,0"
<i>x</i> = 5	0,004	0,003	0,003	0,002	0,002
10	0,029	0,025	0,022	0,019	0,018
15	0,099	0,085	0,074	0,066	0,059
20	0,234	0,201	0,175	0,156	0,140
25	0,457	0,392	0,343	0,305	0,274
30	0,791	0,677	0,593	0,527	0,474
35	1,257	1,077	0,942	0,837	0,753
40	1,880	1,609	1,407	1,250	1,125
45	2,684	2,296	2,007	1,782	1,608
50	3,696	3,159	2,758	2,449	2,202
55	4,946	4,220	3,682	3,267	2,936
60	6,468	5,508	4,799	4,254	3,821
65	8,295	7,050	6,133	5,430	4,874
70		8,884	7,711	6,817	6,112
75		11,044	9,564	8,439	7,557
80			11,730	10,326	9,230
85			14,250	12,511	11,160
90				15,039	13,378
95				17,955	15,924
100					18,851
105					22,210

R = 95, 100

R	95				100
L	110	120	130	140	10
<i>l</i>	106,870	115,801	124,045	182,588	9,998
<i>d</i>	54,391	59,211	68,999	68,752	5,000
<i>y_l</i>	20,725	24,552	28,672	33,075	0,167
ΔR	5,244	6,227	7,290	8,432	0,042
<i>e</i>	31,706	38,563	35,153	36,454	3,380
<i>τ_l</i>	33°10'16,5"	36°11'12,5"	39°12'08,6"	42°13'04,6"	2°51'53,2"
<i>ω_l</i>	11°01'31,6"	12°01'16,1"	13°00'54,3"	14°00'25,6"	0°57'17,7"
<i>φ_l</i>	22°08'44,9"	24°09'56,4"	26°11'14,8"	28°12'39,0"	1°54'35,5"
<i>x</i> = 5	0,002	0,002	0,002	0,002	0,021
10	0,016	0,015	0,018	0,013	0,167
15	0,054	0,049	0,046	0,042	0,548
20	0,128	0,117	0,108	0,100	
25	0,249	0,228	0,211	0,196	
30	0,481	0,395	0,364	0,338	
35	0,684	0,627	0,579	0,538	
40	1,022	0,987	0,865	0,803	
45	1,456	1,335	1,232	1,148	
50	2,000	1,833	1,691	1,570	
55	2,666	2,442	2,253	2,091	
60	3,469	3,176	2,929	2,718	
65	4,422	4,047	3,731	3,462	
70	5,541	5,069	4,671	4,382	
75	6,844	6,256	5,763	5,342	
80	8,350	7,626	7,019	6,504	
85	10,080	9,196	8,457	7,831	
90	12,061	10,987	10,094	9,839	
95	14,821	13,024	11,950	11,045	
100	16,901	15,386	14,049	12,969	
105	19,846	17,959	16,419	15,184	
110	23,220	20,988	19,094	17,566	
115	27,090	24,333	22,118	20,301	
120		28,222	25,548	23,380	
125		32,693	29,462	26,859	
130			33,960	34,811	
135				35,342	
140				40,593	

R = 100

R	100					
	L	15	20	25	30	35
<i>l</i>	14,992	19,980	24,961	29,933	34,893	
<i>d</i>	7,499	9,997	12,494	14,989	17,482	
<i>y_l</i>	0,375	0,666	1,041	1,498	2,037	
ΔR	0,094	0,167	0,260	0,375	0,510	
<i>e</i>	4,989	6,640	8,281	9,909	11,522	
<i>r_l</i>	4° 17' 49,9"	5° 43' 46,5"	7° 09' 43,1"	8° 35' 39,7"	10° 01' 36,3"	
<i>ω_l</i>	1° 25' 56,4"	1° 54' 34,9"	2° 23' 18,2"	2° 51' 51,3"	3° 20' 29,0"	
<i>φ_l</i>	2° 51' 53,5"	3° 49' 11,6"	4° 46' 29,9"	5° 43' 48,4"	6° 41' 07,3"	

x = 5	0,014	0,010	0,008	0,007	0,006
10	0,111	0,083	0,067	0,056	0,048
15	0,375	0,281	0,225	0,188	0,161
20	0,878	0,668	0,584	0,445	0,381
25		1,298	1,045	0,870	0,745
30			1,804	1,508	1,291
35				2,397	2,056
40					3,078

R = 100

R	100					
	L	40	45	50	60	70
<i>l</i>	39,840	44,773	49,688	59,462	69,147	
<i>d</i>	19,973	22,462	24,948	29,910	34,858	
<i>y_l</i>	2,659	3,363	4,148	5,962	8,095	
ΔR	0,666	0,842	1,039	1,495	2,033	
<i>e</i>	13,118	14,693	16,245	19,272	22,178	
<i>r_l</i>	11° 27' 33,0"	12° 53' 29,6"	14° 19' 26,2"	17° 11' 19,4"	20° 03' 12,7"	
<i>ω_l</i>	3° 49' 06,3"	4° 17' 43,2"	4° 46' 19,6"	5° 43' 30,7"	6° 40' 39,1"	
<i>φ_l</i>	7° 38' 26,7"	8° 35' 46,4"	9° 33' 06,6"	11° 27' 48,7"	13° 22' 33,6"	
x = 5	0,005	0,005	0,004	0,003	0,003	
10	0,042	0,037	0,033	0,028	0,024	
15	0,141	0,125	0,113	0,094	0,080	
20	0,384	0,296	0,267	0,222	0,191	
25	0,652	0,579	0,521	0,434	0,372	
30	1,128	1,002	0,902	0,751	0,643	
35	1,796	1,595	1,434	1,194	1,023	
40	2,692	2,388	2,144	1,785	1,528	
45	3,848	3,415	3,067	2,548	2,180	
50		4,709	4,228	3,507	2,998	
55			5,662	4,691	4,005	
60				6,130	5,223	
65				7,854	6,682	
70					8,411	
75					10,443	

R = 100

R	100					
	L	80	90	100	110	120
<i>l</i>	78,729	88,195	97,529	106,719	115,751	
<i>d</i>	39,788	44,698	49,586	54,450	59,287	
<i>y_l</i>	10,545	13,306	16,371	19,735	23,390	
ΔR	2,651	3,351	4,130	4,988	5,923	
<i>e</i>	24,942	27,546	29,968	32,189	34,189	
τ_l	22°55'05,9"	25°46'59,2"	28°38'52,4"	31°30'45,6"	34°22'38,9"	
ω_l	7°37'44,6"	8°34'46,4"	9°31'44,3"	10°28'38,5"	11°25'26,1"	
φ_l	15°17'21,3"	17°12'12,8"	19°07'08,1"	21°02'07,1"	22°57'12,8"	
x = 5	0,003	0,002	0,002	0,002	0,002	
10	0,021	0,019	0,017	0,015	0,014	
15	0,070	0,063	0,056	0,051	0,047	
20	0,167	0,148	0,133	0,121	0,111	
25	0,326	0,289	0,260	0,237	0,217	
30	0,563	0,500	0,450	0,409	0,375	
35	0,894	0,795	0,715	0,650	0,596	
40	1,336	1,187	1,068	0,971	0,890	
45	1,905	1,692	1,522	1,383	1,268	
50	2,619	2,325	2,091	1,900	1,740	
55	3,495	3,101	2,788	2,532	2,319	
60	4,553	4,037	3,627	3,293	3,016	
65	5,816	5,152	4,625	4,197	3,842	
70	7,307	6,464	5,798	5,257	4,810	
75	9,055	7,996	7,164	6,491	5,985	
80	11,093	9,775	8,744	7,915	7,231	
85	13,456	11,831	10,563	9,548	8,715	
90		14,201	12,649	11,414	10,405	
95		16,923	15,036	13,539	12,324	
100			17,767	15,956	14,496	
105			20,887	18,795	16,953	
110				21,836	19,731	
115				25,403	22,881	
120					26,463	
125					30,546	

R = 100, 110

R	100		110			
	L	130	140	10	20	30
<i>l</i>	124,614	188,294	9,998	19,988	29,944	
<i>d</i>	64,095	68,872	5,000	9,997	14,991	
<i>y_l</i>	27,828	31,541	0,151	0,606	1,362	
ΔR	6,986	8,025	0,088	0,151	0,341	
<i>e</i>	35,948	37,447	3,330	6,644	9,925	
τ_l	37°14'32,1"	40°06'25,4"	2°36'15,7"	5°12'31,4"	7°48'47,0"	
ω_l	12°22'09,2"	13°18'46,4"	0°52'05,2"	1°44'10,0"	2°36'14,2"	
φ_l	24°52'22,9"	26°47'39,0"	1°44'10,5"	8°28'21,4"	5°12'32,8"	
x = 5	0,002	0,001	0,019	0,009	0,006	
10	0,013	0,012	0,152	0,076	0,051	
15	0,043	0,040	0,498	0,256	0,171	
20	0,103	0,095	0,607	0,404		
25	0,200	0,186	1,179	0,791		
30	0,346	0,322		1,370		
35	0,550	0,511		2,176		
40	0,821	0,762				
45	1,170	1,086				
50	1,606	1,491				
55	2,140	1,986				
60	2,781	2,581				
65	3,542	3,287				
70	4,434	4,112				
75	5,468	5,070				
80	6,658	6,170				
85	8,018	7,426				
90	9,565	8,852				
95	11,315	10,463				
100	13,291	12,277				
105	15,516	14,318				
110	18,020	16,597				
115	20,889	19,155				
120	24,020	22,023				
125	27,623	25,246				
130	31,726	28,882				
135		33,011				
140		37,734				

R = 110

R	110				
L	40	50	60	70	80
<i>l</i>	39,868	49,742	59,555	69,295	78,949
<i>d</i>	19,978	24,957	29,926	34,882	39,824
<i>y_l</i>	2,419	3,774	5,426	7,371	9,606
ΔR	0,605	0,945	1,360	1,849	2,413
<i>e</i>	13,155	16,818	19,398	22,378	25,241
<i>τ_l</i>	10°25'02,7"	13°01'18,4"	15°37'34,0"	18°13'49,7"	20°50'05,4"
<i>ω_l</i>	8°28'17,4"	4°20'19,3"	5°12'19,5"	6°04'17,8"	6°56'18,7"
<i>φ_l</i>	6°56'45,3"	8°40'59,1"	10°25'14,5"	12°09'31,9"	13°53'51,7"

x = 5	0,005	0,004	0,003	0,003	0,002
10	0,038	0,030	0,025	0,022	0,019
15	0,128	0,102	0,085	0,073	0,064
20	0,303	0,242	0,202	0,173	0,152
25	0,593	0,474	0,395	0,338	0,296
30	1,025	0,819	0,683	0,585	0,512
35	1,631	1,303	1,085	0,929	0,813
40	2,443	1,949	1,622	1,389	1,214
45	3,489	2,783	2,814	1,980	1,731
50		3,834	3,183	2,722	2,378
55		5,127	4,258	3,634	3,173
60			5,551	4,735	4,131
65			7,102	6,051	5,272
70				7,606	6,616
75				9,426	8,187
80					10,012
85					12,118

R = 110

R	110				
L	90	100	110	120	130
<i>l</i>	88,505	97,954	107,282	116,479	125,534
<i>d</i>	44,750	49,658	54,545	59,410	64,251
<i>y_l</i>	12,127	14,929	18,009	21,359	24,974
ΔR	3,050	3,760	4,543	5,397	6,322
<i>e</i>	27,971	30,551	32,964	35,195	37,227
<i>τ_l</i>	23°26'21,1"	26°02'36,7"	28°38'52,4"	31°15'08,1"	33°51'23,8"
<i>ω_l</i>	7°48'07,0"	8°39'57,3"	9°31'44,3"	10°23'27,6"	11°15'06,8"
<i>φ_l</i>	15°38'14,1"	17°22'39,4"	19°07'08,1"	20°51'40,5"	22°36'17,0"

x = 5	0,002	0,002	0,002	0,002	0,001
10	0,017	0,015	0,014	0,013	0,012
15	0,057	0,051	0,046	0,043	0,039
20	0,135	0,121	0,110	0,101	0,093
25	0,263	0,237	0,215	0,197	0,182
30	0,455	0,409	0,372	0,341	0,315
35	0,722	0,650	0,591	0,542	0,500
40	1,079	0,971	0,882	0,809	0,746
45	1,536	1,383	1,257	1,152	1,063
50	2,112	1,900	1,726	1,582	1,459
55	2,816	2,532	2,300	2,107	1,944
60	3,664	3,293	2,990	2,739	2,527
65	4,673	4,197	3,809	3,488	3,217
70	5,858	5,257	4,770	4,366	4,025
75	7,239	6,491	5,885	5,383	4,961
80	8,837	7,915	7,169	6,554	6,038
85	10,677	9,548	8,640	7,892	7,266
90	12,788	11,414	10,315	9,413	8,659
95	15,198	13,539	12,215	11,134	10,233
100		15,956	14,365	13,074	12,003
105		18,696	16,796	15,259	13,990
110			19,544	17,715	16,214
115			22,645	20,477	18,704
120				23,583	21,492
125				27,091	24,619
130					28,135
135					32,093

R = 110, 120

R	110		120		
L	140	150	10	20	30
<i>l</i>	134,436	143,175	9,998	19,986	29,953
<i>d</i>	69,066	73,853	5,000	9,998	14,992
<i>y_l</i>	28,849	32,976	0,139	0,555	1,249
ΔR	7,318	8,383	0,085	0,139	0,312
<i>e</i>	39,043	40,627	3,381	6,648	9,937
τ_l	36°27'39,4"	39°03'55,1"	2°23'14,4"	4°46'28,7"	7°09'43,1"
ω_l	12°06'41,6"	12°58'11,8"	0°47'44,7"	1°35'29,2"	2°23'13,2"
φ_l	24°20'57,8"	26°05'43,3"	1°35'29,7"	3°10'59,5"	4°46'29,9"
x = 5	0,001	0,001	0,017	0,009	0,006
10	0,011	0,010	0,139	0,069	0,046
15	0,037	0,034	0,452	0,234	0,156
20	0,087	0,081		0,556	0,371
25	0,169	0,158		1,080	0,725
30	0,292	0,273			1,255
35	0,464	0,433			1,992
40	0,693	0,647			
45	0,987	0,921			
50	1,355	1,264			
55	1,805	1,684			
60	2,345	2,188			
65	2,985	2,784			
70	3,734	3,482			
75	4,601	4,290			
80	5,597	5,217			
85	6,732	6,273			
90	8,019	7,468			
95	9,470	8,814			
100	11,099	10,324			
105	12,922	12,010			
110	14,958	13,889			
115	17,229	15,979			
120	19,760	18,300			
125	22,582	20,878			
130	25,735	23,784			
135	29,268	26,931			
140	33,244	30,492			
145		34,489			
150		39,000			

R = 120

R	120				
L	40	50	60	70	80
<i>l</i>	39,889	49,783	59,626	69,407	79,116
<i>d</i>	19,981	24,964	29,988	34,901	39,852
<i>y_l</i>	2,218	3,461	4,978	6,764	8,819
ΔR	0,555	0,867	1,247	1,696	2,213
<i>e</i>	13,183	16,374	19,494	22,531	25,469
τ_l	9°32'57,5"	11°56'11,8"	14°19'26,2"	16°42'40,6"	19°05'54,9"
ω_l	8°10'56,4"	8°58'38,7"	4°46'19,6"	5°38'59,0"	6°21'36,7"
φ_l	6°22'01,1"	7°57'33,1"	9°33'06,6"	11°08'41,6"	12°44'18,2"
x = 5	0,004	0,003	0,003	0,002	0,002
10	0,035	0,028	0,023	0,020	0,017
15	0,117	0,094	0,078	0,067	0,059
20	0,278	0,222	0,185	0,159	0,139
25	0,548	0,434	0,362	0,310	0,271
30	0,939	0,751	0,626	0,536	0,469
35	1,494	1,194	0,994	0,852	0,745
40	2,237	1,785	1,486	1,272	1,113
45	3,192	2,548	2,119	1,814	1,586
50		3,507	2,914	2,493	2,179
55		4,687	3,891	3,826	2,905
60			5,074	4,332	3,781
65			6,484	5,530	4,822
70				6,944	6,047
75				8,594	7,475
80					9,129
85					11,080

R = 120

R	120					
	L	90	100	110	120	130
<i>l</i>	88,743	98,278	107,712	117,035	126,237	
<i>d</i>	44,790	49,712	54,617	59,503	64,369	
<i>y_l</i>	11,138	13,718	16,555	19,646	22,985	
ΔR	2,798	3,451	4,170	4,956	5,807	
<i>e</i>	28,295	30,995	33,555	35,961	38,200	
<i>t_l</i>	21° 29' 09,3"	23° 52' 23,7"	26° 15' 38,0"	28° 38' 52,4"	31° 02' 06,8"	
<i>w_l</i>	7° 09' 12,3"	7° 56' 45,6"	8° 44' 16,4"	9° 31' 44,8"	10° 19' 09,1"	
<i>φ_l</i>	14° 19' 57,0"	15° 55' 38,1"	17° 31' 21,6"	19° 07' 08,1"	20° 42' 57,7"	
x = 5	0,002	0,002	0,002	0,001	0,001	
10	0,015	0,014	0,013	0,012	0,011	
15	0,052	0,047	0,043	0,039	0,036	
20	0,123	0,111	0,101	0,093	0,085	
25	0,241	0,217	0,197	0,181	0,167	
30	0,417	0,375	0,341	0,313	0,289	
35	0,662	0,596	0,542	0,496	0,458	
40	0,989	0,890	0,809	0,741	0,684	
45	1,409	1,268	1,152	1,056	0,974	
50	1,935	1,740	1,582	1,449	1,337	
55	2,579	2,319	2,107	1,931	1,781	
60	3,355	3,016	2,739	2,509	2,315	
65	4,276	3,842	3,488	3,194	2,946	
70	5,357	4,810	4,366	3,997	3,685	
75	6,615	5,935	5,383	4,926	4,541	
80	8,067	7,231	6,554	5,995	5,524	
85	9,735	8,715	7,892	7,214	6,644	
90	11,641	10,405	9,413	8,597	7,913	
95	13,808	12,324	11,134	10,158	9,343	
100		14,496	13,074	11,915	10,949	
105		16,946	15,259	13,885	12,746	
110			17,715	16,091	14,751	
115			20,469	18,559	16,987	
120				21,321	19,476	
125				24,406	22,250	
130					25,345	
135					28,795	

R = 120, 130

R	120		130			
	L	140	150	10	20	30
<i>l</i>	135,311	144,246	9,999	19,988	29,960	
<i>d</i>	69,213	74,034	5,000	9,998	14,993	
<i>y_l</i>	26,568	30,389	0,128	0,513	1,153	
ΔR	6,723	7,704	0,032	0,128	0,288	
<i>e</i>	40,258	42,120	3,331	6,651	9,946	
<i>t_l</i>	33° 25' 21,1"	35° 48' 35,5"	2° 12' 13,3"	4° 24' 26,5"	6° 36' 39,8"	
<i>ω_l</i>	11° 06' 30,6"	11° 53' 48,4"	0° 44' 04,4"	1° 28' 08,6"	2° 12' 12,4"	
<i>φ_l</i>	22° 18' 50,5"	23° 54' 47,1"	1° 28' 08,9"	2° 56' 17,9"	4° 24' 27,4"	
x = 5	0,001	0,001	0,016	0,008	0,005	
10	0,010	0,009	0,128	0,064	0,043	
15	0,033	0,031	0,417	0,216	0,144	
20	0,079	0,074		0,514	0,342	
25	0,155	0,145		0,997	0,669	
30	0,268	0,250			1,157	
35	0,425	0,397			1,837	
40	0,635	0,593				
45	0,905	0,844				
50	1,242	1,159				
55	1,654	1,543				
60	2,149	2,005				
65	2,734	2,551				
70	3,420	3,190				
75	4,212	3,928				
80	5,122	4,776				
85	6,158	5,740				
90	7,331	6,830				
95	8,651	8,057				
100	10,131	9,429				
105	11,784	10,960				
110	13,625	12,662				
115	15,670	14,550				
120	17,941	16,640				
125	20,460	18,950				
130	23,256	21,505				
135	26,363	24,331				
140	29,826	27,461				
145	33,684	30,938				
150		34,811				

R = 130

R	130				
L	40	50	60	70	80
<i>t</i>	39,905	49,815	59,681	69,494	79,246
<i>d</i>	19,984	24,969	29,947	34,916	39,874
<i>y_t</i>	2,048	3,197	4,598	6,250	8,150
ΔR	0,512	0,800	1,152	1,566	2,044
<i>e</i>	13,206	16,417	19,569	22,649	25,646
<i>t_t</i>	8° 48' 53,1"	11° 01' 06,3"	13° 13' 19,6"	15° 25' 32,8"	17° 37' 46,1"
<i>ω_t</i>	2° 56' 15,6"	3° 40' 18,0"	4° 24' 19,4"	5° 08' 19,6"	5° 52' 18,4"
<i>φ_t</i>	5° 52' 37,5"	7° 20' 48,3"	8° 49' 00,2"	10° 17' 18,2"	11° 45' 27,7"
x = 5	0,004	0,003	0,003	0,002	0,002
10	0,032	0,026	0,021	0,018	0,016
15	0,108	0,087	0,072	0,062	0,054
20	0,256	0,205	0,171	0,147	0,128
25	0,501	0,401	0,334	0,286	0,250
30	0,867	0,693	0,577	0,495	0,433
35	1,379	1,102	0,917	0,786	0,688
40	2,063	1,647	1,371	1,174	1,027
45	2,942	2,350	1,955	1,674	1,464
50	3,233	2,687	2,299	2,010	
55	4,316	3,586	3,067	2,679	
60		4,673	3,992	3,486	
65			5,967	5,094	4,443
70				6,390	5,569
75				7,901	6,878
80					8,392
85					10,128

R = 130

R	130				
L	90	100	110	120	130
<i>t</i>	88,928	98,581	108,047	117,469	126,787
<i>d</i>	44,821	49,754	54,678	59,577	64,462
<i>y_t</i>	10,296	12,686	15,816	18,188	21,288
ΔR	2,585	3,188	3,854	4,580	5,369
<i>e</i>	28,547	31,340	34,014	36,558	38,958
<i>t_t</i>	19° 49' 59,4"	22° 02' 12,6"	24° 14' 25,9"	26° 26' 39,1"	28° 38' 52,4"
<i>ω_t</i>	6° 36' 15,6"	7° 20' 11,0"	8° 04' 04,4"	8° 47' 55,5"	9° 31' 44,3"
<i>φ_t</i>	13° 13' 43,8"	14° 42' 01,6"	16° 10' 21,5"	17° 38' 43,6"	19° 07' 08,1"
x = 5	0,002	0,002	0,001	0,001	0,001
10	0,014	0,013	0,012	0,011	0,010
15	0,048	0,043	0,039	0,036	0,033
20	0,114	0,103	0,093	0,085	0,079
25	0,223	0,200	0,182	0,167	0,154
30	0,385	0,346	0,315	0,289	0,266
35	0,611	0,550	0,500	0,458	0,423
40	0,918	0,821	0,746	0,684	0,631
45	1,300	1,170	1,063	0,974	0,899
50	1,785	1,606	1,459	1,337	1,234
55	2,379	2,140	1,944	1,781	1,644
60	3,094	2,781	2,527	2,315	2,136
65	3,942	3,542	3,217	2,946	2,718
70	4,936	4,434	4,025	3,685	3,399
75	6,091	5,468	4,961	4,541	4,187
80	7,423	6,658	6,038	5,524	5,091
85	8,949	8,018	7,266	6,644	6,121
90	10,688	9,565	8,659	7,913	7,287
95	12,660	11,315	10,238	9,343	8,599
100		13,291	12,003	10,949	10,069
105		15,511	13,990	12,746	11,711
110			16,215	14,751	13,539
115			18,699	16,987	15,570
120				19,476	17,824
125				22,242	20,324
130					23,098
135					26,170

R = 130, 140

R	130		140			
	L	140	150	10	20	30
r	135,995	145,084	9,999	19,990	29,966	
d	69,329	74,176	5,000	9,998	14,994	
y _l	24,613	28,168	0,119	0,476	1,071	
A R	6,217	7,126	0,080	0,119	0,268	
e	41,204	43,283	3,332	6,653	9,954	
τ _l	30° 51' 05,6"	33° 03' 18,9"	2° 02' 46,6"	4° 05' 33,2"	6° 08' 19,8"	
ω _l	10° 15' 30,4"	10° 59' 13,6"	0° 40' 55,5"	1° 21' 50,9"	2° 02' 45,9"	
φ _l	20° 35' 35,2"	22° 04' 05,3"	1° 21' 51,1"	2° 43' 42,3"	4° 05' 33,9"	
x = 5	0,001	0,001	0,015	0,008	0,005	
10	0,009	0,009	0,119	0,060	0,040	
15	0,031	0,029	0,387	0,201	0,134	
20	0,073	0,068		0,477	0,318	
25	0,143	0,134		0,925	0,621	
30	0,247	0,231			1,074	
35	0,393	0,367			1,705	
40	0,586	0,547				
45	0,835	0,779				
50	1,148	1,069				
55	1,526	1,424				
60	1,982	1,850				
65	2,523	2,354				
70	3,154	2,942				
75	3,885	3,623				
80	4,722	4,403				
85	5,676	5,291				
90	6,753	6,294				
95	7,965	7,420				
100	9,322	8,680				
105	10,835	10,083				
110	12,516	11,640				
115	14,379	13,363				
120	16,442	15,265				
125	18,721	17,363				
130	21,240	19,674				
135	24,024	22,218				
140	27,105	25,021				
145	30,511	28,113				
150		31,529				
155		35,306				

R = 140

R	140					
	L	40	50	60	70	80
r	39,918	49,841	59,725	69,564	79,349	
d	19,986	24,973	29,954	34,927	39,891	
y _l	1,902	2,969	4,272	5,807	7,575	
A R	0,476	0,743	1,070	1,455	1,899	
e	18,223	16,452	19,628	22,743	25,786	
τ _l	8° 11' 06,4"	10° 13' 53,0"	12° 16' 39,6"	14° 19' 26,2"	16° 22' 12,8"	
ω _l	2° 43' 40,4"	3° 24' 34,4"	4° 05' 27,5"	4° 46' 19,6"	5° 27' 10,7"	
φ _l	5° 27' 26,0"	6° 49' 18,6"	8° 11' 12,1"	9° 33' 06,6"	10° 55' 02,1"	
x = 5	0,004	0,003	0,002	0,002	0,002	
10	0,030	0,024	0,020	0,017	0,015	
15	0,100	0,080	0,067	0,057	0,050	
20	0,238	0,191	0,159	0,136	0,119	
25	0,465	0,372	0,310	0,266	0,233	
30	0,805	0,643	0,536	0,459	0,402	
35	1,280	1,023	0,852	0,730	0,638	
40	1,914	1,528	1,272	1,090	0,953	
45	2,729	2,180	1,814	1,554	1,359	
50		2,998	2,493	2,134	1,865	
55		4,001	3,326	2,845	2,486	
60			4,332	3,702	3,234	
65			5,527	4,721	4,121	
70				5,920	5,161	
75				7,313	6,371	
80					7,768	
85					9,366	

R = 140

R	140					
	L	90	100	110	120	130
<i>l</i>	89,075	98,732	108,314	117,815	127,226	
<i>d</i>	44,845	49,788	54,718	59,635	64,536	
<i>y_l</i>	9,572	11,797	14,247	16,919	19,811	
ΔR	2,402	2,963	3,581	4,258	4,991	
ϵ	28,747	31,614	34,379	37,031	39,560	
τ_l	18°24'59,4"	20°27'46,0"	22°30'32,6"	24°33'19,2"	26°36'05,8"	
ω_l	6°08'00,4"	6°48'48,7"	7°29'35,4"	8°10'20,4"	8°51'03,4"	
φ_l	12°16'59,0"	13°38'57,3"	15°00'57,2"	16°22'58,8"	17°45'02,4"	
$x = 5$	0,002	0,001	0,001	0,001	0,001	
10	0,013	0,012	0,011	0,010	0,009	
15	0,045	0,040	0,037	0,033	0,031	
20	0,106	0,095	0,087	0,079	0,073	
25	0,207	0,186	0,169	0,155	0,143	
30	0,357	0,322	0,292	0,268	0,247	
35	0,567	0,511	0,464	0,425	0,393	
40	0,847	0,762	0,693	0,635	0,586	
45	1,207	1,086	0,987	0,905	0,835	
50	1,657	1,491	1,355	1,242	1,146	
55	2,208	1,986	1,805	1,654	1,526	
60	2,871	2,581	2,345	2,149	1,982	
65	3,656	3,287	2,985	2,734	2,523	
70	4,577	4,112	3,734	3,420	3,154	
75	5,646	5,070	4,601	4,212	3,885	
80	6,876	6,170	5,597	5,122	4,722	
85	8,283	7,426	6,732	6,158	5,676	
90	9,884	8,852	8,019	7,331	6,753	
95	11,694	10,463	9,470	8,651	7,965	
100		12,277	11,099	10,131	9,322	
105		14,810	12,922	11,784	10,835	
110			14,958	13,625	12,516	
115			17,224	15,670	14,379	
120				17,940	16,442	
125				20,454	18,721	
130					21,240	
135					24,017	

R = 140, 150

R	140		150			
	L	140	150	10	20	30
<i>l</i>	136,540	145,752	9,999	19,991	29,970	
<i>d</i>	69,421	74,288	5,000	9,999	14,995	
<i>y_l</i>	22,920	26,242	0,111	0,444	0,999	
ΔR	5,782	6,628	0,028	0,111	0,250	
ϵ	41,955	44,206	3,832	6,655	9,960	
τ_l	28°38'52,4"	30°41'39,0"	1°54'35,5"	3°49'11,0"	5°43'46,5"	
ω_l	9°31'44,3"	10°12'22,9"	0°38'11,8"	1°16'23,5"	1°54'34,9"	
φ_l	19°07'08,1"	20°29'16,1"	1°16'23,7"	2°32'47,5"	3°49'11,6"	
$x = 5$	0,001	0,001	0,014	0,007	0,005	
10	0,009	0,008	0,111	0,056	0,037	
15	0,029	0,027	0,361	0,188	0,125	
20	0,068	0,063	0,445	0,296		
25	0,133	0,124	0,863	0,579		
30	0,230	0,214		1,002		
35	0,365	0,340		1,590		
40	0,544	0,508				
45	0,775	0,724				
50	1,064	0,993				
55	1,417	1,322				
60	1,840	1,717				
65	2,341	2,185				
70	2,927	2,731				
75	3,604	3,362				
80	4,381	4,085				
85	5,263	4,907				
90	6,261	5,836				
95	7,381	6,878				
100	8,634	8,042				
105	10,029	9,338				
110	11,578	10,773				
115	13,291	12,359				
120	15,182	14,107				
125	17,267	16,030				
130	19,563	18,143				
135	22,091	20,461				
140	24,874	23,005				
145	27,935	25,798				
150		28,867				
155		32,236				

R = 150

R	150					
	L	40	50	60	70	80
<i>l</i>	39,929	49,861	59,760	69,620	79,433	
<i>d</i>	19,988	24,977	29,960	34,937	39,905	
<i>y_l</i>	1,776	2,772	3,989	5,423	7,075	
ΔR	0,444	0,694	0,999	1,358	1,773	
<i>e</i>	13,237	16,479	19,676	22,819	25,900	
τ_l	7°38'22,0"	9°32'57,5"	11°27'38,0"	13°22'08,5"	15°16'44,0"	
ω_l	2°32'45,9"	3°10'56,4"	3°49'06,3"	4°27'15,4"	5°05'23,6"	
φ_l	5°05'36,1"	6°22'01,1"	7°38'26,7"	8°54'58,1"	10°11'20,4"	
x = 5	0,003	0,003	0,002	0,002	0,002	
10	0,028	0,022	0,019	0,016	0,014	
15	0,094	0,075	0,063	0,054	0,047	
20	0,222	0,178	0,148	0,127	0,111	
25	0,484	0,347	0,289	0,248	0,217	
30	0,751	0,600	0,500	0,429	0,375	
35	1,194	0,954	0,795	0,681	0,596	
40	1,785	1,426	1,187	1,017	0,890	
45	2,544	2,054	1,692	1,450	1,268	
50		2,796	2,325	1,991	1,740	
55		3,729	3,101	2,654	2,319	
60			4,037	3,452	3,016	
65			5,149	4,400	3,842	
70				5,514	4,810	
75				6,808	5,985	
80					7,231	
85					8,712	

R = 150

R	150					
	L	90	100	110	120	130
<i>l</i>	89,193	98,895	108,530	118,094	127,580	
<i>d</i>	44,865	49,815	54,754	59,681	64,595	
<i>y_l</i>	8,942	11,023	13,316	15,818	18,527	
ΔR	2,243	2,767	3,345	3,977	4,663	
<i>e</i>	28,908	31,836	34,674	37,413	40,045	
τ_l	17°11'19,4"	19°05'54,9"	21°00'30,4"	22°55'05,9"	24°49'41,4"	
ω_l	5°43'30,7"	6°21'36,7"	6°59'41,4"	7°37'44,6"	8°15'46,2"	
φ_l	11°27'48,7"	12°44'18,2"	14°00'49,0"	15°17'21,3"	16°33'55,2"	
x = 5	0,002	0,001	0,001	0,001	0,001	
10	0,012	0,011	0,010	0,009	0,009	
15	0,042	0,038	0,034	0,031	0,029	
20	0,099	0,089	0,081	0,074	0,068	
25	0,193	0,174	0,158	0,145	0,134	
30	0,333	0,300	0,273	0,250	0,231	
35	0,529	0,476	0,433	0,397	0,367	
40	0,791	0,712	0,647	0,593	0,547	
45	1,126	1,014	0,921	0,844	0,779	
50	1,546	1,391	1,264	1,159	1,069	
55	2,060	1,853	1,684	1,543	1,424	
60	2,678	2,408	2,188	2,005	1,850	
65	3,410	3,065	2,784	2,551	2,354	
70	4,267	3,835	3,482	3,190	2,942	
75	5,261	4,726	4,290	3,928	3,623	
80	6,405	5,749	5,217	4,776	4,403	
85	7,711	6,917	6,273	5,740	5,291	
90	9,194	8,240	7,468	6,830	6,294	
95	10,869	9,733	8,814	8,057	7,420	
100		11,411	10,324	9,429	8,680	
105		13,287	12,010	10,960	10,083	
110			13,889	12,662	11,640	
115			15,975	14,550	13,363	
120				16,640	15,265	
125				18,946	17,363	
130					19,674	
135					22,213	

R = 150, 160

R	150		160			
	L	140	150	10	20	30
<i>l</i>	136,982	146,293	9,999	19,992	29,974	
<i>d</i>	69,495	74,379	5,000	9,999	14,996	
<i>y_l</i>	21,441	24,557	0,104	0,417	0,937	
ΔR	5,402	6,194	0,026	0,104	0,234	
<i>e</i>	42,561	44,951	3,332	6,656	9,964	
τ_l	26° 44' 16,9"	28° 38' 52,4"	1° 47' 25,8"	3° 34' 51,6"	5° 22' 17,3"	
ω_l	8° 53' 46,2"	9° 31' 44,3"	0° 35' 48,6"	1° 11' 37,0"	1° 47' 25,3"	
φ_l	17° 50' 30,7"	19° 07' 08,1"	1° 11' 37,2"	2° 23' 14,6"	3° 34' 52,0"	
x = 5	0,001	0,001	0,013	0,007	0,004	
10	0,008	0,007	0,104	0,052	0,035	
15	0,027	0,125	0,339	0,176	0,117	
20	0,063	0,059		0,417	0,278	
25	0,124	0,116		0,869	0,543	
30	0,214	0,200			0,939	
35	0,340	0,318			1,490	
40	0,508	0,474				
45	0,724	0,675				
50	0,993	0,927				
55	1,322	1,234				
60	1,717	1,602				
65	2,185	2,038				
70	2,731	2,548				
75	3,362	3,186				
80	4,085	3,810				
85	4,907	4,576				
90	5,836	5,441				
95	6,878	6,411				
100	8,042	7,493				
105	9,338	8,696				
110	10,773	10,029				
115	12,359	11,499				
120	14,107	13,117				
125	16,080	14,893				
130	18,143	16,841				
135	20,461	18,974				
140	23,005	21,307				
145	25,791	23,859				
150		26,651				
155		29,702				

R = 160

R	160					
	L	40	50	60	70	80
<i>l</i>	39,938	49,878	59,789	69,666	79,501	
<i>d</i>	19,990	24,980	29,965	34,944	39,917	
<i>y_l</i>	1,665	2,600	3,741	5,087	6,637	
ΔR	0,416	0,651	0,936	1,274	1,663	
<i>e</i>	13,249	16,502	19,715	22,882	25,992	
τ_l	7° 09' 43,1"	8° 57' 08,9"	10° 44' 34,7"	12° 32' 00,4"	14° 19' 26,2"	
ω_l	2° 23' 13,2"	2° 59' 00,7"	3° 34' 47,7"	4° 10' 34,1"	4° 46' 19,6"	
φ_l	4° 46' 29,9"	5° 58' 08,2"	7° 09' 47,0"	8° 21' 26,3"	9° 33' 06,6"	
x = 5	0,003	0,013	0,002	0,002	0,002	
10	0,026	0,021	0,017	0,015	0,013	
15	0,088	0,070	0,059	0,050	0,044	
20	0,208	0,167	0,139	0,119	0,104	
25	0,407	0,326	0,271	0,238	0,208	
30	0,704	0,563	0,469	0,402	0,352	
35	1,119	0,894	0,745	0,638	0,559	
40	1,673	1,336	1,118	0,953	0,884	
45	2,383	1,905	1,586	1,359	1,188	
50		2,619	2,179	1,865	1,631	
55		3,492	2,905	2,486	2,173	
60			3,781	3,234	2,825	
65			4,819	4,121	3,598	
70				5,161	4,504	
75				6,369	5,555	
80					6,765	
85					8,146	

R = 160

R = 160, 170

R	160					
	L	90	100	110	120	130
<i>l</i>	89,291	99,028	108,707	118,323	127,871	
<i>d</i>	44,882	49,838	54,784	59,720	64,644	
<i>y_l</i>	8,390	10,344	12,498	14,850	17,398	
ΔR	2,103	2,595	3,138	3,731	4,375	
<i>e</i>	29,040	32,017	34,915	37,726	40,443	
τ_l	16° 06' 52,0"	17° 54' 17,8"	19° 41' 43,5"	21° 29' 09,3"	23° 16' 35,1"	
ω_l	5° 22' 04,5"	5° 57' 47,2"	6° 33' 30,8"	7° 09' 12,3"	7° 44' 52,5"	
φ_l	10° 44' 47,5"	11° 56' 30,6"	13° 08' 12,7"	14° 19' 57,0"	15° 31' 42,6"	
x = 5	0,001	0,001	0,001	0,001	0,001	
10	0,012	0,010	0,009	0,009	0,008	
15	0,039	0,035	0,032	0,029	0,027	
20	0,093	0,083	0,076	0,069	0,064	
25	0,181	0,163	0,148	0,136	0,125	
30	0,313	0,281	0,256	0,234	0,216	
35	0,496	0,447	0,406	0,372	0,344	
40	0,741	0,667	0,606	0,556	0,513	
45	1,056	0,950	0,864	0,792	0,731	
50	1,449	1,304	1,185	1,086	1,002	
55	1,931	1,737	1,578	1,446	1,335	
60	2,509	2,257	2,050	1,879	1,734	
65	3,194	2,872	2,609	2,391	2,206	
70	3,997	3,592	3,263	2,989	2,757	
75	4,926	4,426	4,019	3,680	3,395	
80	5,995	5,383	4,886	4,473	4,125	
85	7,214	6,474	5,873	5,375	4,955	
90	8,597	7,709	6,989	6,394	5,898	
95	10,155	9,100	8,245	7,589	6,946	
100		10,662	9,652	8,820	8,122	
105		12,405	11,222	10,247	9,480	
110			12,967	11,830	10,881	
115			14,901	13,584	12,484	
120				15,521	14,251	
125				17,654	16,195	
130					18,332	
135					20,674	

R	160			170		
	L	140	150	10	20	30
<i>l</i>	137,344	146,737	9,999	19,993	29,977	
<i>d</i>	69,556	74,454	5,000	9,999	14,996	
<i>y_l</i>	20,139	23,072	0,098	0,392	0,882	
ΔR	5,069	5,814	0,024	0,099	0,221	
<i>e</i>	43,057	45,562	3,332	6,657	9,968	
τ_l	25° 04' 00,9"	26° 51' 26,6"	1° 41' 06,6"	3° 22' 13,2"	5° 03' 19,8"	
ω_l	8° 20' 31,3"	8° 56' 08,6"	0° 33' 42,2"	1° 07' 24,3"	1° 41' 06,2"	
φ_l	16° 43' 29,6"	17° 55' 18,0"	1° 07' 24,4"	2° 14' 48,9"	3° 22' 13,6"	
x = 5	0,001	0,001	0,012	0,006	0,004	
10	0,007	0,007	0,098	0,049	0,033	
15	0,025	0,023	0,319	0,165	0,110	
20	0,060	0,056	0,393	0,262		
25	0,116	0,109	0,762	0,511		
30	0,201	0,188			0,884	
35	0,319	0,298			1,402	
40	0,476	0,445				
45	0,678	0,638				
50	0,981	0,869				
55	1,239	1,156				
60	1,610	1,502				
65	2,048	1,911				
70	2,559	2,388				
75	3,150	2,939				
80	3,827	3,570				
85	4,597	4,287				
90	5,465	5,096				
95	6,440	6,003				
100	7,527	7,015				
105	8,736	8,139				
110	10,075	9,382				
115	11,552	10,752				
120	13,178	12,259				
125	14,964	13,911				
130	16,922	15,720				
135	19,066	17,695				
140	21,411	19,852				
145	23,973	22,206				
150	24,772					
155		27,566				

R = 170

R	170				
L	40	50	60	70	80
<i>l</i>	39,945	49,892	59,818	69,704	79,558
<i>d</i>	19,991	24,982	29,969	34,951	39,926
<i>y_l</i>	1,567	2,447	3,522	4,789	6,250
ΔR	0,392	0,612	0,881	1,199	1,566
<i>e</i>	13,259	16,521	19,748	22,933	26,069
τ_l	6° 44' 26,5"	8° 25' 33,1"	10° 06' 39,7"	11° 47' 46,3"	13° 28' 52,9"
ω_l	2° 14' 47,9"	2° 48' 29,2"	3° 22' 10,0"	3° 55' 50,3"	4° 29' 30,0"
φ_l	4° 29' 38,6"	5° 37' 03,9"	6° 44' 29,7"	7° 51' 56,0"	8° 59' 22,9"
x = 5	0,003	0,002	0,002	0,002	0,002
10	0,025	0,020	0,016	0,014	0,012
15	0,083	0,066	0,055	0,047	0,041
20	0,196	0,157	0,131	0,112	0,098
25	0,383	0,306	0,255	0,219	0,192
30	0,662	0,530	0,441	0,378	0,331
35	1,053	0,842	0,701	0,601	0,526
40	1,574	1,257	1,047	0,897	0,785
45	2,242	1,793	1,492	1,278	1,118
50		2,463	2,050	1,755	1,535
55		3,284	2,732	2,339	2,045
60			3,555	3,041	2,658
65			4,530	3,874	3,384
70				4,851	4,235
75				5,984	5,222
80					6,356
85					7,650

R = 170

R	170				
L	90	100	110	120	130
<i>l</i>	89,871	99,188	108,854	118,514	128,112
<i>d</i>	44,895	49,856	54,809	59,752	64,685
<i>y_l</i>	7,902	9,744	11,774	13,993	16,396
ΔR	1,980	2,443	2,955	3,514	4,121
<i>e</i>	29,150	32,167	35,115	37,985	40,773
τ_l	15° 09' 59,5"	16° 51' 06,1"	18° 32' 12,7"	20° 13' 19,3"	21° 54' 26,0"
ω_l	5° 03' 09,1"	5° 36' 47,2"	6° 10' 24,5"	6° 44' 00,8"	7° 17' 36,0"
φ_l	10° 06' 50,4"	11° 14' 18,9"	12° 21' 48,2"	13° 29' 18,5"	14° 36' 50,0"
x = 5	0,001	0,001	0,001	0,001	0,001
10	0,011	0,010	0,009	0,008	0,008
15	0,037	0,033	0,030	0,028	0,025
20	0,087	0,078	0,071	0,065	0,060
25	0,170	0,153	0,139	0,128	0,118
30	0,294	0,265	0,241	0,221	0,204
35	0,467	0,420	0,382	0,350	0,328
40	0,698	0,628	0,571	0,523	0,483
45	0,994	0,894	0,813	0,745	0,688
50	1,364	1,227	1,115	1,022	0,943
55	1,816	1,634	1,485	1,361	1,256
60	2,360	2,123	1,929	1,768	1,631
65	3,005	2,702	2,455	2,249	2,075
70	3,759	3,379	3,069	2,812	2,594
75	4,632	4,162	3,780	3,462	3,193
80	5,634	5,061	4,594	4,247	3,880
85	6,778	6,084	5,521	5,054	4,660
90	8,073	7,248	6,569	6,011	5,541
95	9,532	8,546	7,746	7,085	6,529
100	10,007	9,064	8,286	7,632	
105	11,636	10,582	9,622	8,859	
110		12,163	11,108	10,217	
115		13,967	12,741	11,716	
120			14,548	13,867	
125			16,534	15,180	
130				17,169	
135				19,344	

R = 170, 180

R	170		180		
L	140	150	10	20	30
<i>l</i>	137,645	147,107	9,999	19,994	29,979
<i>d</i>	69,606	74,516	5,000	9,999	14,997
<i>y_l</i>	18,984	21,754	0,093	0,370	0,833
ΔR	4,775	5,477	0,023	0,093	0,208
<i>e</i>	48,469	46,068	3,332	6,658	9,972
τ_l	23°35'32,6"	25°16'39,2"	1°35'29,6"	3°10'59,2"	4°46'28,7"
ω_l	7°51'10,0"	8°24'42,8"	0°31'49,9"	1°03'39,6"	1°35'29,2"
φ_l	15°44'22,6"	16°51'56,4"	1°03'39,7"	2°07'19,6"	3°10'59,5"

x = 5	0,001	0,001	0,012	0,006	0,004
10	0,007	0,007	0,093	0,046	0,031
15	0,024	0,022	0,301	0,156	0,104
20	0,056	0,052		0,371	0,247
25	0,109	0,102		0,719	0,483
30	0,189	0,176			0,835
35	0,300	0,280			1,323
40	0,448	0,418			
45	0,638	0,596			
50	0,876	0,817			
55	1,166	1,088			
60	1,515	1,413			
65	1,927	1,798			
70	2,408	2,247			
75	2,964	2,765			
80	3,600	3,359			
85	4,324	4,032			
90	5,139	4,793			
95	6,054	5,645			
100	7,075	6,595			
105	8,209	7,649			
110	9,463	8,815			
115	10,846	10,099			
120	12,367	11,509			
125	14,084	13,054			
130	15,860	14,742			
135	17,855	16,584			
140	20,034	18,592			
145	22,468	20,777			
150		23,154			
155		25,736			

R = 180

R	180				
L	40	50	60	70	80
<i>l</i>	39,951	49,904	59,834	69,736	79,606
<i>d</i>	19,992	24,984	29,972	34,956	39,934
<i>y_l</i>	1,480	2,312	3,327	4,525	5,905
ΔR	0,370	0,578	0,833	1,133	1,479
<i>e</i>	13,267	16,537	19,775	22,976	26,134
τ_l	6°21'58,3"	7°57'27,9"	9°32'57,5"	11°08'27,0"	12°43'56,6"
ω_l	2°07'18,6"	2°39'07,7"	3°10'56,4"	3°42'44,7"	4°14'32,5"
φ_l	4°14'39,7"	5°18'20,2"	6°22'01,1"	7°25'42,3"	8°29'24,1"

x = 5	0,003	0,002	0,002	0,002	0,001
10	0,023	0,019	0,015	0,013	0,012
15	0,078	0,063	0,052	0,045	0,039
20	0,185	0,148	0,123	0,106	0,093
25	0,362	0,289	0,241	0,207	0,181
30	0,626	0,500	0,417	0,357	0,313
35	0,994	0,795	0,662	0,567	0,496
40	1,486	1,187	0,989	0,847	0,741
45	2,116	1,692	1,409	1,207	1,056
50		2,325	1,935	1,657	1,449
55		3,099	2,579	2,208	1,931
60			3,355	2,871	2,509
65			4,274	3,656	3,194
70				4,577	3,997
75				5,643	4,926
80					5,995
85					7,212

R = 180

R	180					
	L	90	100	110	120	130
<i>l</i>	89,439	99,281	108,977	118,674	128,315	
<i>d</i>	44,906	49,872	54,829	59,778	64,718	
<i>y_l</i>	7,467	9,208	11,129	13,228	15,503	
ΔR	1,871	2,308	2,792	3,320	3,894	
<i>e</i>	29,242	32,293	35,282	38,203	41,049	
<i>r_l</i>	14°19'26,2"	15°54'55,8"	17°30'25,4"	19°05'54,9"	20°41'24,5"	
ω_l	4°46'19,6"	5°18'06,1"	5°49'51,8"	6°21'36,7"	6°53'20,7"	
φ_l	9°38'06,6"	10°36'49,7"	11°40'33,6"	12°44'18,2"	13°48'03,8"	
x = 5	0,001	0,001	0,001	0,001	0,001	
10	0,010	0,009	0,008	0,008	0,007	
15	0,035	0,031	0,028	0,026	0,024	
20	0,082	0,074	0,067	0,062	0,057	
25	0,161	0,145	0,132	0,121	0,111	
30	0,278	0,250	0,227	0,208	0,192	
35	0,441	0,397	0,361	0,331	0,305	
40	0,659	0,593	0,539	0,494	0,456	
45	0,938	0,844	0,768	0,703	0,649	
50	1,288	1,159	1,053	0,965	0,891	
55	1,715	1,543	1,402	1,285	1,186	
60	2,229	2,005	1,822	1,669	1,541	
65	2,836	2,551	2,318	2,124	1,960	
70	3,547	3,190	2,897	2,654	2,449	
75	4,371	3,928	3,568	3,268	3,015	
80	5,315	4,776	4,336	3,971	3,662	
85	6,392	5,740	5,209	4,769	4,398	
90	7,611	6,830	6,196	5,671	5,228	
95	8,982	8,057	7,305	6,683	6,160	
100		9,429	8,544	7,813	7,199	
105		10,958	9,924	9,070	8,353	
110			11,455	10,462	9,630	
115			13,147	12,000	11,039	
120				13,693	12,588	
125				15,552	14,288	
130					16,149	
135					18,182	

R = 180, 190

R	180		190			
	L	140	150	10	20	30
<i>l</i>	137,897	147,417	9,999	19,994	29,981	
<i>d</i>	69,649	74,568	5,000	9,999	14,997	
<i>y_l</i>	17,953	20,576	0,088	0,351	0,789	
ΔR	4,513	5,176	0,022	0,088	0,197	
<i>e</i>	43,814	46,492	3,382	6,659	9,975	
<i>r_l</i>	22°16'54,1"	23°52'28,7"	1°30'28,0"	3°00'56,0"	4°31'24,1"	
ω_l	7°25'08,7"	7°56'45,6"	0°30'09,8"	1°00'18,6"	1°30'27,7"	
φ_l	14°51'50,4"	15°55'38,1"	1°00'18,7"	2°00'37,4"	3°00'56,4"	
x = .5	0,001	0,001	0,011	0,005	0,004	
10	0,007	0,006	0,088	0,044	0,029	
15	0,022	0,021	0,285	0,148	0,099	
20	0,053	0,049		0,351	0,234	
25	0,103	0,096			0,681	0,457
30	0,179	0,167				0,791
35	0,284	0,265				1,258
40	0,423	0,395				
45	0,603	0,568				
50	0,827	0,772				
55	1,101	1,028				
60	1,430	1,335				
65	1,819	1,698				
70	2,278	2,121				
75	2,798	2,611				
80	3,399	3,171				
85	4,081	3,807				
90	4,850	4,523				
95	5,713	5,327				
100	6,675	6,222				
105	7,742	7,215				
110	8,922	8,318				
115	10,223	9,521				
120	11,651	10,847				
125	13,216	12,298				
130	14,927	13,882				
135	16,795	15,608				
140	18,830	17,487				
145	21,043	19,528				
150		21,744				
155		24,146				

R' = 190

R	190					
	L	40	50	60	70	80
<i>l</i>	39,956	49,914	59,851	69,763	79,646	
<i>d</i>	19,993	24,986	29,975	34,960	39,941	
<i>y_l</i>	1,402	2,190	3,152	4,288	5,596	
ΔR	0,351	0,548	0,789	1,073	1,401	
<i>e</i>	18,274	16,550	19,798	23,013	26,188	
τ_l	6°01'52,1"	7°32'20,1"	9°02'48,1"	10°33'16,1"	12°03'44,2"	
ω_l	2°00'36,7"	2°30'45,4"	3°00'53,8"	3°31'01,7"	4°01'09,3"	
φ_l	4°01'15,4"	5°01'34,7"	6°01'54,3"	7°02'14,4"	8°02'34,9"	
x = 5	0,003	0,002	0,002	0,002	0,001	
10	0,022	0,018	0,015	0,013	0,011	
15	0,074	0,059	0,049	0,042	0,037	
20	0,175	0,140	0,117	0,100	0,088	
25	0,343	0,274	0,228	0,196	0,171	
30	0,593	0,474	0,395	0,338	0,296	
35	0,942	0,758	0,627	0,538	0,470	
40	1,407	1,125	0,937	0,803	0,702	
45	2,004	1,603	1,335	1,143	1,000	
50		2,202	1,838	1,570	1,373	
55		2,934	2,442	2,091	1,828	
60			3,176	2,718	2,376	
65			4,045	3,462	3,025	
70				4,332	3,784	
75				5,340	4,663	
80					5,672	
85					6,822	

R = 190

R	190					
	L	90	100	110	120	130
<i>l</i>	89,496	99,810	109,082	118,809	128,487	
<i>d</i>	44,916	49,885	54,847	59,801	64,747	
<i>y_l</i>	7,077	8,729	10,551	12,542	14,701	
ΔR	1,773	2,188	2,646	3,147	3,691	
<i>e</i>	29,319	32,400	35,424	38,387	41,283	
τ_l	13°34'12,2"	15°04'40,2"	16°35'08,2"	18°05'36,3"	19°36'04,3"	
ω_l	4°31'16,3"	5°01'22,8"	5°31'28,6"	6°01'33,7"	6°31'38,1"	
φ_l	9°02'55,9"	10°03'17,4"	11°03'39,6"	12°04'02,6"	13°04'26,2"	
x = 5	0,001	0,001	0,001	0,001	0,001	0,001
10	0,010	0,009	0,008	0,007	0,007	
15	0,033	0,030	0,027	0,025	0,023	
20	0,078	0,070	0,064	0,058	0,054	
25	0,152	0,137	0,125	0,114	0,105	
30	0,263	0,237	0,215	0,197	0,182	
35	0,418	0,376	0,342	0,313	0,289	
40	0,624	0,562	0,511	0,468	0,432	
45	0,889	0,800	0,727	0,666	0,615	
50	1,220	1,098	0,998	0,914	0,844	
55	1,625	1,462	1,328	1,217	1,124	
60	2,111	1,899	1,725	1,581	1,459	
65	2,686	2,416	2,195	2,011	1,856	
70	3,359	3,020	2,744	2,514	2,320	
75	4,138	3,719	3,378	3,095	2,855	
80	5,031	4,521	4,105	3,760	3,468	
85	6,048	5,432	4,931	4,515	4,164	
90	7,199	6,463	5,864	5,368	4,950	
95	8,493	7,621	6,912	6,325	5,830	
100		8,916	8,082	7,392	6,812	
105		10,357	9,384	8,579	7,903	
110			10,827	9,892	9,108	
115				11,341	10,437	
120				12,935	11,897	
125				14,684	13,497	
130					15,247	
135					17,156	

R = 190, 200

R	190		200			
	L	140	150	10	20	30
<i>l</i>	138,112	147,680		9,999	19,995	29,983
<i>d</i>	69,684	74,612		5,000	9,999	14,997
<i>y_l</i>	17,027	19,518		0,083	0,333	0,750
ΔR	4,277	4,907		0,021	0,083	0,187
<i>e</i>	44,106	46,851		3,333	6,660	9,977
<i>x_l</i>	21°06'32,3"	22°37'00,3"		1°25'56,6"	2°51'58,2"	4°17'49,9"
<i>w_l</i>	7°01'41,6"	7°31'44,2"		0°28'38,9"	0°57'17,7"	1°25'56,4"
<i>φ_l</i>	14°04'50,7"	15°05'16,1"		0°57'17,7"	1°54'35,5"	2°51'53,5"
x = 5	0,001	0,001	0,010	0,005	0,008	
10	0,006	0,006	0,083	0,042	0,028	
15	0,021	0,020	0,271	0,141	0,094	
20	0,050	0,047		0,334	0,222	
25	0,098	0,091		0,647	0,434	
30	0,169	0,158			0,751	
35	0,269	0,251			1,190	
40	0,401	0,374				
45	0,571	0,533				
50	0,784	0,731				
55	1,043	0,974				
60	1,355	1,264				
65	1,723	1,608				
70	2,153	2,009				
75	2,650	2,473				
80	3,219	3,003				
85	3,864	3,605				
90	4,592	4,283				
95	5,408	5,043				
100	6,817	5,890				
105	7,826	6,829				
110	8,441	7,866				
115	9,668	9,007				
120	11,016	10,258				
125	12,490	11,626				
130	14,101	13,119				
135	15,857	14,743				
140	17,768	16,509				
145	19,843	18,426				
150		20,503				
155		22,751				

R = 200

R	200					
	L	40	50	60	70	80
<i>l</i>	39,960	49,922	59,865	69,786	79,681	
<i>d</i>	19,998	24,987	29,978	34,964	39,947	
<i>y_l</i>	1,332	2,081	2,995	4,074	5,318	
ΔR	0,333	0,521	0,749	1,020	1,331	
<i>e</i>	13,279	16,561	19,818	23,044	26,235	
<i>x_l</i>	5°43'46,5"	7°09'48,1"	8°35'39,7"	10°01'36,3"	11°27'38,0"	
<i>w_l</i>	1°54'34,9"	2°23'18,2"	2°51'51,3"	3°20'29,0"	3°49'06,3"	
<i>φ_l</i>	3°49'11,6"	4°46'29,9"	5°49'48,4"	6°41'07,8"	7°38'26,7"	
x = 5	0,003	0,002	0,002	0,001	0,001	
10	0,021	0,017	0,014	0,012	0,010	
15	0,070	0,056	0,047	0,040	0,035	
20	0,167	0,133	0,111	0,095	0,083	
25	0,326	0,260	0,217	0,186	0,163	
30	0,563	0,450	0,375	0,322	0,281	
35	0,894	0,715	0,596	0,511	0,447	
40	1,336	1,068	0,890	0,762	0,667	
45	1,803	1,522	1,268	1,086	0,950	
50		2,091	1,740	1,491	1,304	
55		2,785	2,319	1,986	1,737	
60			3,016	2,581	2,257	
65			3,840	3,287	2,872	
70				4,112	3,592	
75					5,068	
80						4,426
85						5,383
						6,472

R = 200

R = 200, 225

R	200					
	L	90	100	110	120	130
<i>l</i>	89,545	99,377	109,171	118,924	128,634	
<i>d</i>	44,924	49,896	54,862	59,820	64,772	
<i>y_l</i>	6,726	8,296	10,029	11,923	13,977	
ΔR	1,684	2,079	2,514	2,990	3,508	
<i>e</i>	29,386	32,491	35,545	38,544	41,483	
<i>z_l</i>	12°53'29,6"	14°19'26,2"	15°45'22,8"	17°11'19,4"	18°37'16,1"	
<i>w_l</i>	4°17'43,2"	4°46'19,6"	5°14'55,5"	5°48'30,7"	6°12'05,3"	
<i>q_l</i>	8°35'46,4"	9°33'06,6"	10°30'27,3"	11°27'48,7"	12°25'10,8"	
x = 5	0,001	0,001	0,001	0,001	0,001	
10	0,009	0,008	0,008	0,007	0,006	
15	0,031	0,028	0,026	0,023	0,022	
20	0,074	0,067	0,061	0,056	0,051	
25	0,145	0,130	0,118	0,109	0,100	
30	0,250	0,225	0,205	0,188	0,178	
35	0,397	0,357	0,325	0,298	0,275	
40	0,593	0,534	0,485	0,445	0,410	
45	0,844	0,760	0,691	0,633	0,584	
50	1,159	1,043	0,948	0,869	0,802	
55	1,543	1,388	1,262	1,156	1,067	
60	2,005	1,803	1,639	1,502	1,386	
65	2,551	2,294	2,085	1,911	1,763	
70	3,190	2,868	2,606	2,388	2,203	
75	3,928	3,532	3,208	2,939	2,712	
80	4,776	4,292	3,898	3,570	3,294	
85	5,740	5,157	4,682	4,287	3,954	
90	6,830	6,133	5,566	5,096	4,699	
95	8,055	7,230	6,559	6,003	5,534	
100	8,456	7,668	7,015	6,466		
105	9,820	8,900	8,139	7,499		
110		10,265	9,382	8,641		
115		11,770	10,752	9,898		
120			12,259	11,279		
125				13,910	12,791	
130					14,443	
135					16,243	

R	200		225			
	L	140	150	10	20	30
<i>l</i>	138,295	147,904	10,000	19,996	29,987	
<i>d</i>	69,715	74,650	5,000	9,999	14,998	
<i>y_l</i>	16,191	18,563	0,074	0,296	0,666	
ΔR	4,065	4,664	0,019	0,074	0,167	
<i>e</i>	44,355	47,158	3,333	6,661	9,982	
<i>z_l</i>	20°03'12,7"	21°29'09,3"	1°16'23,7"	2°32' 3"	3°49'11,0"	
<i>w_l</i>	6°40'39,1"	7°09'12,3"	0°25'27,9"	0°50'55,8"	1°16'23,5"	
<i>q_l</i>	13°22'33,6"	14°19'57,0"	0°50'55,8"	1°41'51,5"	2°32'47,5"	
x = 5	0,001	0,001	0,009	0,005	0,003	
10	0,006	0,006	0,074	0,037	0,025	
15	0,020	0,019	0,241	0,125	0,083	
20	0,048	0,044	0,296	0,198		
25	0,093	0,087	0,575	0,386		
30	0,161	0,150	0,667			
35	0,255	0,238	1,057			
40	0,381	0,356				
45	0,543	0,506				
50	0,744	0,695				
55	0,991	0,925				
60	1,287	1,201				
65	1,637	1,527				
70	2,045	1,908				
75	2,517	2,348				
80	3,057	2,832				
85	3,670	3,423				
90	4,360	4,067				
95	5,134	4,788				
100	5,997	5,591				
105	6,958	6,482				
110	8,009	7,465				
115	9,172	8,546				
120	10,447	9,730				
125	11,841	11,025				
130	13,363	12,436				
135	15,021	13,972				
140	16,822	15,638				
145	18,776	17,445				
150	19,401	15,514				
155						

R = 225

R	225				
L	40	50	60	70	80
<i>l</i>	39,968	49,938	59,893	69,881	79,748
<i>d</i>	19,995	24,990	29,982	34,972	39,958
<i>y_l</i>	1,185	1,850	2,663	3,623	4,730
ΔR	0,296	0,463	0,666	0,907	1,184
<i>e</i>	13,291	16,583	19,856	23,105	26,326
<i>T_l</i>	5°05'34,7"	6°21'58,3"	7°38'22,0"	8°54'45,6"	10°11'09,3"
<i>ω_l</i>	1°41'51,2"	2°07'18,6"	2°32'45,9"	2°58'13,0"	3°23'39,8"
<i>φ_l</i>	3°23'43,5"	4°14'39,7"	5°05'36,1"	5°56'32,6"	6°47'29,5"
x = 5	0,002	0,002	0,002	0,001	0,001
10	0,019	0,015	0,012	0,011	0,009
15	0,063	0,050	0,042	0,036	0,031
20	0,148	0,119	0,099	0,085	0,074
25	0,289	0,232	0,198	0,165	0,145
30	0,500	0,400	0,333	0,286	0,250
35	0,795	0,636	0,529	0,454	0,397
40	1,187	0,949	0,791	0,678	0,593
45	1,690	1,353	1,126	0,965	0,844
50		1,857	1,546	1,325	1,159
55		2,473	2,060	1,764	1,543
60			2,678	2,298	2,005
65			3,408	2,918	2,551
70				3,650	3,190
75				4,496	3,928
80					4,776
85					5,738

R = 225

R	225				
L	90	100	110	120	130
<i>l</i>	89,641	99,507	109,845	119,149	128,919
<i>d</i>	44,940	49,918	54,891	59,858	64,820
<i>y_l</i>	5,983	7,381	8,925	10,613	12,444
ΔR	1,498	1,841	2,236	2,660	3,120
<i>e</i>	29,514	32,667	35,780	38,849	41,871
<i>z_l</i>	11°27'33,0"	12°43'56,6"	14°00'20,3"	15°16'44,0"	16°33'07,6"
<i>ω_l</i>	8°49'06,3"	4°14'32,5"	4°39'58,2"	5°05'23,6"	5°30'48,5"
<i>φ_l</i>	7°38'26,7"	8°29'24,1"	9°20'22,1"	10°11'20,4"	11°02'19,1"
x = 5	0,001	0,001	0,001	0,001	0,001
10	0,008	0,007	0,007	0,006	0,006
15	0,028	0,025	0,023	0,021	0,019
20	0,066	0,059	0,054	0,049	0,046
25	0,129	0,116	0,105	0,096	0,089
30	0,222	0,200	0,182	0,167	0,154
35	0,353	0,318	0,289	0,265	0,244
40	0,527	0,474	0,431	0,395	0,365
45	0,750	0,675	0,614	0,563	0,519
50	1,030	0,927	0,842	0,772	0,718
55	1,371	1,284	1,121	1,028	0,949
60	1,781	1,602	1,456	1,335	1,282
65	2,266	2,038	1,852	1,698	1,567
70	2,833	2,548	2,315	2,121	1,958
75	3,488	3,136	2,849	2,611	2,409
80	4,238	3,810	3,461	3,171	2,925
85	5,092	4,576	4,156	3,807	3,512
90	6,056	5,441	4,940	4,523	4,172
95	7,137	6,411	5,818	5,327	4,912
100		7,493	6,798	6,222	5,737
105			8,695	7,886	7,215
110				9,089	8,313
115				10,414	9,521
120					10,847
125					12,296
130					11,317
135					12,768
					14,845

R = 225

R = 225

R	225				
L	140	150	160	170	180
<i>l</i>	138,651	148,342	157,989	167,590	177,141
<i>d</i>	69,775	74,723	79,664	84,597	89,522
<i>y_l</i>	14,418	16,535	18,792	21,190	23,727
ΔR	8,617	4,150	4,719	5,325	5,966
<i>e</i>	44,840	47,754	50,607	53,397	56,120
τ_l	17°49'31,3"	19°05'54,9"	20°22'18,6"	21°38'42,3"	22°55'05,9"
ω_l	5°56'12,9"	6°21'36,7"	6°47'00,0"	7°12'22,6"	7°37'44,6"
φ_l	11°53'18,4"	12°44'18,2"	13°35'18,6"	14°26'19,7"	15°17'21,3"
x = 5	0,001	0,001	0,001	0,001	0,001
10	0,005	0,005	0,005	0,004	0,004
15	0,018	0,017	0,016	0,015	0,014
20	0,042	0,040	0,037	0,035	0,033
25	0,083	0,077	0,072	0,068	0,064
30	0,143	0,138	0,125	0,118	0,111
35	0,227	0,212	0,199	0,187	0,176
40	0,339	0,316	0,296	0,279	0,263
45	0,482	0,450	0,422	0,397	0,375
50	0,662	0,617	0,579	0,545	0,515
55	0,881	0,822	0,771	0,725	0,685
60	1,144	1,067	1,001	0,942	0,889
65	1,455	1,357	1,272	1,197	1,131
70	1,817	1,696	1,590	1,496	1,413
75	2,236	2,087	1,956	1,841	1,738
80	2,715	2,534	2,375	2,235	2,110
85	3,259	3,041	2,850	2,681	2,532
90	3,872	3,612	3,385	3,185	3,007
95	4,558	4,251	3,984	3,748	3,538
100	5,322	4,963	4,650	4,374	4,130
105	6,169	5,752	5,388	5,068	4,784
110	7,103	6,622	6,202	5,833	5,506
115	8,180	7,578	7,096	6,673	6,297
120	9,255	8,624	8,075	7,592	7,163
125	10,484	9,767	9,142	8,593	8,107
130	11,823	11,010	10,803	9,683	9,138
135	13,278	12,360	11,563	10,864	10,245
140	14,857	13,824	12,928	12,142	11,448
145	16,565	15,407	14,402	13,523	12,746
150	17,116	15,993	15,010	14,144	
155	18,958	17,706	16,612	15,648	

R	225			
L	160	170	180	
<i>l</i>	157,989	167,590	177,141	
<i>d</i>	79,664	84,597	89,522	
<i>y_l</i>	18,792	21,190	23,727	
ΔR	4,719	5,325	5,966	
<i>e</i>	50,607	53,397	56,120	
τ_l	20°22'18,6"	21°38'42,3"	22°55'05,9"	
ω_l	6°47'00,0"	7°12'22,6"	7°37'44,6"	
φ_l	13°35'18,6"	14°26'19,7"	15°17'21,3"	
x = 155	17,706	16,612	15,648	
160	19,550	18,333	17,262	
165	21,530	20,181	18,994	
170		22,163	20,849	
175		24,285	22,835	
180			24,959	
185			27,228	

R = .225

R	225	
L	190	200
<i>l</i>	186,641	196,085
<i>d</i>	94,438	99,345
<i>y_l</i>	26,402	29,214
ΔR	6,643	7,355
<i>e</i>	58,771	61,346
τ_l	24° 11' 29,6"	25° 27' 53,3"
ω_l	8° 03' 05,9"	8° 28' 26,4"
φ_l	16° 08' 23,7"	16° 59' 26,9"
 x = .5	 —	 —
10	0,004	0,004
15	0,013	0,013
20	0,031	0,030
25	0,061	0,058
30	0,105	0,100
35	0,167	0,159
40	0,250	0,237
45	0,355	0,338
50	0,487	0,463
55	0,649	0,616
60	0,842	0,800
65	1,071	1,018
70	1,338	1,271
75	1,646	1,564
80	1,999	1,898
85	2,398	2,278
90	2,848	2,705
95	3,351	3,183
100	3,911	3,714
105	4,530	4,302
110	5,213	4,950
115	5,962	5,661
120	6,781	6,438
125	7,674	7,284
130	8,643	8,204
135	9,694	9,200
140	10,830	10,276
145	12,055	11,436
150	13,374	12,685
155	14,791	14,025

R = 225

R	225	
L	190	200
<i>l</i>	186,641	196,085
<i>d</i>	94,438	99,345
<i>y_l</i>	26,402	29,214
ΔR	6,643	7,355
<i>e</i>	58,771	61,346
τ_l	24° 11' 29,6"	25° 27' 53,3"
ω_l	8° 03' 05,9"	8° 28' 26,4"
φ_l	16° 08' 23,7"	16° 59' 26,9"
 x = 155	 14,791	 14,025
160	16,812	15,463
165	17,942	17,003
170	19,686	18,650
175	21,552	20,409
180	23,545	22,287
185	25,673	24,290
190	27,945	26,425
195	30,366	28,701
200		31,125
205		33,705

R = 250

R	250					
	L	10	20	30	40	50
<i>l</i>	10,000	19,997	29,989	39,974	49,950	
<i>d</i>	5,000	9,999	14,998	19,996	24,992	
<i>y_l</i>	0,067	0,267	0,600	1,066	1,665	
ΔR	0,017	0,067	0,150	0,267	0,417	
<i>e</i>	3,383	6,662	9,986	13,299	16,599	
τ_l	1°08'45,3"	2°17'30,6"	3°26'15,9"	4°35'01,2"	5°43'46,5"	
ω_l	0°22'55,1"	0°45'50,2"	1°08'45,2"	1°31'40,1"	1°54'34,9"	
φ_l	0°45'50,2"	1°31'40,4"	2°17'30,7"	3°03'21,1"	3°49'11,6"	
x = 5	0,008	0,004	0,003	0,002	0,002	
10	0,067	0,033	0,022	0,017	0,013	
15	0,217	0,113	0,075	0,056	0,045	
20		0,267	0,178	0,133	0,107	
25		0,517	0,347	0,260	0,208	
30			0,600	0,450	0,360	
35			0,951	0,715	0,572	
40				1,068	0,854	
45				1,520	1,217	
50					1,670	
55					2,224	

R = 250

R	250					
	L	60	70	80	90	100
<i>l</i>	59,914	69,863	79,795	89,709	99,601	
<i>d</i>	29,986	34,977	39,966	44,951	49,933	
<i>y_l</i>	2,398	3,262	4,259	5,388	6,648	
ΔR	0,600	0,816	1,066	1,348	1,664	
<i>e</i>	19,883	23,148	26,390	29,607	32,794	
τ_l	6°52'31,8"	8°01'17,1"	9°10'02,4"	10°18'47,7"	11°27'33,0"	
ω_l	2°17'29,6"	2°40'24,1"	3°03'18,4"	3°26'12,5"	3°49'06,3"	
φ_l	4°35'02,2"	5°20'53,0"	6°06'44,0"	6°52'35,2"	7°38'26,7"	
x = 5	0,001	0,001	0,001	0,001	0,001	
10	0,011	0,010	0,008	0,007	0,007	
15	0,038	0,032	0,028	0,025	0,028	
20	0,089	0,076	0,067	0,059	0,053	
25	0,174	0,149	0,130	0,116	0,104	
30	0,300	0,257	0,225	0,200	0,180	
35	0,476	0,408	0,357	0,318	0,286	
40	0,712	0,610	0,534	0,474	0,427	
45	1,014	0,869	0,760	0,675	0,608	
50	1,391	1,192	1,043	0,927	0,834	
55	1,853	1,587	1,388	1,234	1,110	
60	2,408	2,062	1,803	1,602	1,442	
65	3,064	2,624	2,294	2,038	1,834	
70		3,281	2,868	2,548	2,292	
75		4,041	3,532	3,136	2,821	
80			4,292	3,810	3,426	
85			5,155	4,576	4,114	
90				5,441	4,890	
95				6,409	5,759	
100					6,729	
105					7,804	

R = 250

R	250					
	L	110	120	130	140	150
<i>l</i>	109,469	119,311	129,124	138,906	148,656	
<i>d</i>	54,911	59,885	64,854	69,817	74,776	
<i>y_l</i>	8,039	9,561	11,212	12,994	14,904	
ΔR	2,013	2,395	2,810	3,258	3,738	
<i>e</i>	35,949	39,068	42,148	45,187	48,180	
τ_l	12° 36' 18,3"	13° 45' 03,6"	14° 53' 48,9"	16° 02' 34,2"	17° 11' 19,4"	
ω_l	4° 11' 59,9"	4° 34' 53,1"	4° 57' 46,0"	5° 20' 38,6"	5° 43' 30,7"	
ζ_l	8° 24' 18,4"	9° 10' 10,5"	9° 56' 02,9"	10° 41' 55,6"	11° 27' 48,7"	
x = 5	0,001	0,001	0,001	0,001	0,001	
10	0,006	0,006	0,005	0,005	0,004	
15	0,020	0,019	0,017	0,016	0,015	
20	0,048	0,044	0,041	0,038	0,036	
25	0,095	0,087	0,080	0,074	0,069	
30	0,164	0,150	0,138	0,129	0,120	
35	0,260	0,238	0,220	0,204	0,191	
40	0,388	0,356	0,328	0,305	0,284	
45	0,552	0,506	0,467	0,434	0,405	
50	0,758	0,695	0,641	0,595	0,556	
55	1,009	0,925	0,854	0,793	0,740	
60	1,310	1,201	1,108	1,029	0,961	
65	1,667	1,527	1,410	1,309	1,221	
70	2,083	1,908	1,761	1,635	1,526	
75	2,563	2,348	2,167	2,012	1,877	
80	3,113	2,852	2,631	2,443	2,279	
85	3,737	3,423	3,158	2,932	2,735	
90	4,440	4,067	3,752	3,482	3,249	
95	5,229	4,788	4,416	4,098	3,823	
100	6,107	5,591	5,156	4,784	4,463	
105	7,082	6,482	5,976	5,544	5,171	
110	8,158	7,465	6,881	6,382	5,951	
115	9,342	8,546	7,875	7,302	6,808	
120		9,730	8,964	8,810	7,746	
125		11,024	10,152	9,409	8,769	
130			11,447	10,606	9,881	
135			12,853	11,904	11,087	
140				13,311	12,393	
145				14,830	13,803	
150					15,324	
155					16,959	

R = 250

R	250					
	L	160	170	180	190	200
<i>l</i>	158,869	168,045	177,681	187,275	196,824	
<i>d</i>	79,728	84,674	89,618	94,545	99,469	
<i>y_l</i>	16,942	19,108	21,401	23,820	26,363	
ΔR	4,251	4,797	5,375	5,986	6,629	
<i>e</i>	51,125	54,018	56,856	59,636	62,355	
τ_l	18° 20' 04,7"	19° 28' 50,0"	20° 37' 35,3"	21° 46' 20,6"	22° 55' 05,9"	
ω_l	6° 06' 22,5"	6° 29' 18,7"	6° 52' 04,5"	7° 14' 54,8"	7° 37' 44,6"	
φ_l	12° 18' 42,2"	12° 59' 36,3"	13° 45' 30,8"	14° 31' 25,8"	15° 17' 21,3"	
x = 5	0,001	—	—	—	—	
10	0,004	0,004	0,004	0,004	0,004	0,003
15	0,014	0,018	0,018	0,012	0,011	
20	0,033	0,031	0,030	0,028	0,027	
25	0,065	0,061	0,058	0,055	0,052	
30	0,113	0,106	0,100	0,095	0,090	
35	0,179	0,168	0,159	0,150	0,143	
40	0,267	0,251	0,237	0,225	0,213	
45	0,380	0,357	0,338	0,320	0,304	
50	0,521	0,490	0,463	0,438	0,417	
55	0,693	0,653	0,616	0,584	0,555	
60	0,900	0,847	0,800	0,758	0,720	
65	1,145	1,078	1,018	0,964	0,916	
70	1,430	1,346	1,271	1,204	1,144	
75	1,760	1,656	1,564	1,481	1,407	
80	2,136	2,010	1,898	1,798	1,708	
85	2,564	2,412	2,278	2,158	2,050	
90	3,045	2,865	2,705	2,562	2,434	
95	3,583	3,371	3,188	3,015	2,863	
100	4,182	3,934	3,714	3,518	3,341	
105	4,845	4,557	4,302	4,074	3,870	
110	5,575	5,244	4,950	4,688	4,452	
115	6,377	5,998	5,661	5,360	5,090	
120	7,254	6,822	6,438	6,095	5,788	
125	8,210	7,720	7,284	6,896	6,547	
130	9,250	8,695	8,204	7,785	7,372	
135	10,377	9,752	9,200	8,707	8,265	
140	11,595	10,895	10,276	9,724	9,229	
145	12,911	12,128	11,436	10,820	10,267	
150	14,328	13,455	12,685	11,999	11,384	
155	15,852	14,882	14,025	13,264	12,582	

R = 250

R	250					
	L	160	170	180	190	200
<i>l</i>	158,369	168,045	177,681	187,275	196,824	
<i>d</i>	79,728	84,674	89,613	94,545	99,469	
<i>y_l</i>	16,942	19,108	21,401	23,820	26,363	
ΔR	4,251	4,797	5,375	5,986	6,629	
<i>e</i>	51,125	54,018	56,856	59,636	62,355	
τ_l	18°20'04,7"	19°28'50,0"	20°37'35,3"	21°46'20,6"	22°55'05,9"	
ω_l	6°08'22,5"	6°29'13,7"	6°52'04,5"	7°14'54,8"	7°37'44,6"	
φ_l	12°13'42,2"	12°59'36,3"	13°45'30,8"	14°31'25,8"	15°17'21,3"	
x=155	15,852	14,882	14,025	13,264	12,582	
160	17,489	16,412	15,463	14,620	13,865	
165	19,243	18,053	17,003	16,071	15,238	
170		19,809	18,650	17,622	16,704	
175		21,685	20,409	19,277	18,267	
180			22,287	21,043	19,934	
185			24,288	22,924	21,708	
190				24,927	23,595	
195				27,056	25,601	
200					27,732	
205					29,994	

R = 275

R	275					
	L	10	20	30	40	50
<i>l</i>	10,000	19,997	29,991	39,979	49,959	
<i>d</i>	5,000	10,000	14,999	19,996	24,993	
<i>y_l</i>	0,061	0,242	0,545	0,969	1,514	
ΔR	0,015	0,061	0,136	0,242	0,379	
<i>e</i>	3,333	6,663	9,988	13,305	16,611	
τ_l	1°02'30,8"	2°05'00,5"	3°07'30,8"	4°10'01,1"	5°12'31,4"	
ω_l	0°20'50,1"	0°41'40,2"	1°02'30,2"	1°23'20,1"	1°44'10,0"	
φ_l	0°41'40,2"	1°23'20,3"	2°05'00,6"	2°46'41,0"	3°28'21,4"	
x = 5	0,008	0,004	0,003	0,002	0,002	
10	0,061	0,030	0,020	0,015	0,012	
15	0,197	0,102	0,068	0,051	0,041	
20		0,242	0,162	0,121	0,097	
25		0,470	0,316	0,237	0,189	
30			0,546	0,409	0,327	
35			0,865	0,650	0,520	
40				0,971	0,776	
45					1,381	1,106
50						1,518
55						2,021

R = 275

R	275				
L	60	70	80	90	100
<i>l</i>	59,929	69,887	79,881	89,759	99,670
<i>d</i>	29,988	34,981	39,972	44,960	49,945
<i>y_l</i>	2,180	2,966	3,873	4,900	6,046
ΔR	0,545	0,742	0,969	1,226	1,513
<i>e</i>	19,904	23,180	26,438	29,675	32,887
τ_l	6°15'01,6"	7°17'31,9"	8°20'02,2"	9°22'32,4"	10°25'02,7"
ω_l	2°04'59,8"	2°25'49,4"	2°46'38,9"	3°07'28,3"	3°28'17,4"
φ_l	4°10'01,8"	4°51'42,5"	5°33'23,3"	6°15'04,1"	6°56'45,3"
x = 5	0,001	0,001	0,001	0,001	0,001
10	0,010	0,009	0,008	0,007	0,006
15	0,034	0,029	0,026	0,023	0,020
20	0,081	0,069	0,061	0,054	0,048
25	0,158	0,135	0,118	0,105	0,095
30	0,278	0,234	0,205	0,182	0,164
35	0,433	0,371	0,325	0,289	0,260
40	0,647	0,554	0,485	0,431	0,388
45	0,921	0,789	0,691	0,614	0,552
50	1,264	1,083	0,948	0,842	0,758
55	1,684	1,443	1,262	1,121	1,009
60	2,188	1,874	1,639	1,456	1,310
65	2,783	2,384	2,085	1,852	1,667
70		2,981	2,606	2,315	2,083
75		3,669	3,208	2,849	2,563
80			3,898	3,461	3,113
85			4,680	4,156	3,737
90				4,940	4,440
95				5,817	5,229
100					6,107
105					7,081

R = 275

R	275				
L	110	120	130	140	150
<i>l</i>	109,561	119,430	129,276	139,096	148,888
<i>d</i>	54,927	59,905	64,879	69,849	74,814
<i>y_l</i>	7,312	8,698	10,202	11,824	13,564
ΔR	1,831	2,178	2,556	2,963	3,400
<i>e</i>	36,073	39,230	42,354	45,444	48,496
τ_l	11°27'33,0"	12°30'03,2"	13°32'33,5"	14°35'03,8"	15°37'34,0"
ω_l	3°49'06,3"	4°09'55,0"	4°30'43,5"	4°51'31,6"	5°12'19,5"
φ_l	7°38'26,7"	8°20'08,2"	9°01'50,0"	9°43'32,2"	10°25'14,5"
x = 5	0,001	0,001	0,001	0,001	0,001
10	0,006	0,005	0,005	0,004	0,004
15	0,019	0,017	0,016	0,015	0,014
20	0,044	0,040	0,037	0,035	0,032
25	0,086	0,079	0,073	0,068	0,063
30	0,149	0,136	0,126	0,117	0,109
35	0,236	0,217	0,200	0,186	0,173
40	0,353	0,323	0,298	0,277	0,259
45	0,502	0,460	0,425	0,395	0,368
50	0,689	0,632	0,583	0,541	0,505
55	0,917	0,841	0,776	0,720	0,672
60	1,191	1,092	1,008	0,936	0,873
65	1,515	1,388	1,281	1,190	1,110
70	1,893	1,735	1,601	1,486	1,387
75	2,329	2,184	1,970	1,829	1,706
80	2,828	2,591	2,391	2,220	2,072
85	3,395	3,110	2,870	2,664	2,486
90	4,033	3,695	3,409	3,164	2,952
95	4,748	4,349	4,012	3,723	3,474
100	5,545	5,077	4,683	4,346	4,054
105	6,427	5,884	5,427	5,035	4,697
110	7,402	6,775	6,246	5,795	5,405
115	8,472	7,758	7,147	6,629	6,182
120		8,825	8,132	7,541	7,031
125		9,993	9,207	8,536	7,957
130			10,377	9,618	8,964
135			11,646	10,791	10,055
140				12,061	11,234
145				13,431	12,507
150					13,878
155					15,350

R = 275

R = 275

R	275				
L	160	170	180	190	200
<i>l</i>	158,651	168,383	178,082	187,745	197,372
<i>d</i>	79,775	84,730	89,680	94,623	99,561
<i>y</i>	15,422	17,396	19,487	21,693	24,014
ΔR	3,867	4,364	4,889	5,446	6,032
<i>e</i>	51,508	54,477	57,401	60,277	63,103
τ_l	16° 40' 04,3"	17° 42' 34,6"	18° 45' 04,9"	19° 47' 35,1"	20° 50' 05,4"
ω_l	5° 33' 07,1"	5° 53' 54,3"	6° 14' 41,2"	6° 35' 27,6"	6° 56' 13,7"
φ_l	11° 06' 57,2"	11° 48' 40,3"	12° 30' 23,7"	13° 12' 07,5"	13° 53' 51,7"
x = 5	—	—	—	—	—
10	0,004	0,004	0,003	0,003	0,003
15	0,013	0,012	0,011	0,011	0,010
20	0,030	0,029	0,027	0,026	0,024
25	0,059	0,056	0,053	0,050	0,047
30	0,102	0,096	0,091	0,086	0,082
35	0,162	0,153	0,144	0,137	0,130
40	0,242	0,228	0,216	0,204	0,194
45	0,345	0,325	0,307	0,291	0,276
50	0,474	0,446	0,421	0,399	0,379
55	0,630	0,593	0,560	0,531	0,504
60	0,818	0,770	0,727	0,689	0,655
65	1,041	0,980	0,925	0,876	0,832
70	1,300	1,224	1,156	1,095	1,040
75	1,600	1,505	1,422	1,347	1,279
80	1,942	1,827	1,726	1,635	1,553
85	2,330	2,192	2,070	1,961	1,863
90	2,767	2,603	2,458	2,329	2,212
95	3,255	3,063	2,892	2,740	2,602
100	3,799	3,574	3,375	3,197	3,036
105	4,401	4,140	3,909	3,702	3,516
110	5,064	4,763	4,497	4,259	4,045
115	5,791	5,447	5,142	4,869	4,624
120	6,586	6,194	5,847	5,536	5,257
125	7,452	7,008	6,614	6,262	5,946
130	8,393	7,892	7,447	7,050	6,694
135	9,413	8,849	8,349	7,904	7,503
140	10,515	9,883	9,324	8,824	8,377
145	11,708	10,998	10,373	9,816	9,317
150	12,982	12,196	11,502	10,882	10,327
155	14,356	13,483	12,712	12,026	11,411

R	275				
L	160	170	180	190	200
<i>l</i>	158,651	168,383	178,082	187,745	197,372
<i>d</i>	79,775	84,730	89,680	94,623	99,561
<i>y</i>	15,422	17,396	19,487	21,693	24,014
ΔR	3,867	4,364	4,889	5,446	6,032
<i>e</i>	51,508	54,477	57,401	60,277	63,103
τ_l	16° 40' 04,3"	17° 42' 34,6"	18° 45' 04,9"	19° 47' 35,1"	20° 50' 05,4"
ω_l	5° 33' 07,1"	5° 53' 54,3"	6° 14' 41,2"	6° 35' 27,6"	6° 56' 13,7"
φ_l	11° 06' 57,2"	11° 48' 40,3"	12° 30' 23,7"	13° 12' 07,5"	13° 53' 51,7"
x = 155	14,356	13,483	12,712	12,026	11,411
160	15,829	14,863	14,010	13,250	12,570
165	17,406	16,340	15,397	14,559	13,809
170		17,918	16,879	15,957	15,132
175		19,602	18,461	17,447	16,540
180			20,145	19,033	18,040
185			21,938	20,721	19,684
190				22,516	21,827
195				24,420	23,124
200					25,030
205					27,049

R = 300

R	300				
L	10	20	30	40	50
<i>l</i>	10,000	19,998	29,993	39,982	49,965
<i>d</i>	5,000	10,000	14,999	19,997	24,994
<i>y_l</i>	0,056	0,222	0,500	0,889	1,388
ΔR	0,014	0,056	0,125	0,222	0,347
<i>e</i>	3,333	6,664	9,990	13,309	16,620
τ_l	0°57'17,8"	1°54'35,5"	2°51'53,2"	3°49'11,0"	4°46'28,7"
ω_l	0°19'05,9"	0°38'11,8"	0°57'17,7"	1°16'23,5"	1°35'29,2"
φ_l	0°38'11,9"	1°16'23,7"	1°54'35,5"	2°32'47,5"	3°10'59,5"
x = 5	0,007	0,003	0,002	0,002	0,001
10	0,056	0,028	0,019	0,014	0,011
15	0,181	0,094	0,063	0,047	0,038
20		0,222	0,148	0,111	0,089
25		0,431	0,289	0,217	0,174
30			0,500	0,375	0,300
35			0,792	0,596	0,476
40				0,890	0,712
45				1,266	1,014
50					1,391
55					1,851

R = 300

R	300				
L	60	70	80	90	100
<i>l</i>	59,940	69,905	79,858	89,798	99,723
<i>d</i>	29,990	34,984	39,976	44,966	49,954
<i>y_l</i>	1,999	2,720	3,551	4,493	5,545
ΔR	0,500	0,680	0,888	1,124	1,387
<i>e</i>	19,919	23,205	26,475	29,727	32,959
τ_l	5°43'46,5"	6°41'04,2"	7°38'22,0"	8°35'39,7"	9°32'57,5"
ω_l	1°54'34,9"	2°13'40,5"	2°32'45,9"	2°51'51,3"	3°10'56,4"
φ_l	3°49'11,6"	4°27'23,7"	5°05'36,1"	5°48'48,4"	6°22'01,1"
x = 5	0,001	0,001	0,001	0,001	0,001
10	0,009	0,008	0,007	0,006	0,006
15	0,031	0,027	0,023	0,021	0,019
20	0,074	0,063	0,056	0,049	0,044
25	0,145	0,124	0,109	0,096	0,087
30	0,250	0,214	0,188	0,167	0,150
35	0,397	0,340	0,298	0,265	0,238
40	0,593	0,508	0,445	0,395	0,356
45	0,844	0,724	0,633	0,563	0,506
50	1,159	0,993	0,869	0,772	0,695
55	1,543	1,322	1,156	1,028	0,925
60	2,005	1,717	1,502	1,335	1,201
65	2,250	2,185	1,911	1,698	1,527
70		2,731	2,388	2,121	1,908
75		3,361	2,939	2,611	2,348
80			3,570	3,171	2,852
85			4,286	3,807	3,423
90				4,523	4,067
95				5,326	4,788
100					5,591
105					6,481

R = 300

R	300				
L	110	120	130	140	150
<i>l</i>	109,631	119,521	129,391	139,240	149,065
<i>d</i>	54,938	59,920	64,898	69,873	74,844
<i>y</i>	6,706	7,977	9,357	10,847	12,444
ΔR	1,679	1,997	2,343	2,717	3,118
<i>e</i>	36,168	39,353	42,510	45,639	48,736
τ_l	10°30'15,2"	11°27'33,0"	12°24'50,7"	13°22'08,5"	14°19'26,2"
ω_l	3°30'01,5"	3°49'06,3"	4°08'11,0"	4°27'15,4"	4°46'19,6"
φ_l	7°00'18,7"	7°38'26,7"	8°16'39,7"	8°54'53,1"	9°38'06,6"
x = 5	0,001	0,001	0,001	—	—
10	0,005	0,005	0,004	0,004	0,004
15	0,017	0,016	0,014	0,013	0,013
20	0,040	0,037	0,034	0,032	0,030
25	0,079	0,072	0,067	0,062	0,058
30	0,136	0,125	0,115	0,107	0,100
35	0,217	0,199	0,183	0,170	0,159
40	0,323	0,296	0,274	0,254	0,237
45	0,460	0,422	0,389	0,362	0,338
50	0,632	0,579	0,534	0,496	0,463
55	0,841	0,771	0,711	0,660	0,616
60	1,092	1,001	0,924	0,858	0,800
65	1,388	1,272	1,174	1,090	1,018
70	1,735	1,590	1,467	1,362	1,271
75	2,134	1,956	1,805	1,676	1,564
80	2,591	2,375	2,191	2,034	1,898
85	3,110	2,850	2,630	2,441	2,278
90	3,695	3,385	3,123	2,899	2,705
95	4,349	3,984	3,675	3,411	3,183
100	5,077	4,650	4,290	3,981	3,714
105	5,884	5,388	4,970	4,612	4,302
110	6,775	6,202	5,720	5,307	4,950
115	7,752	7,096	6,543	6,070	5,661
120		8,075	7,443	6,904	6,438
125		9,141	8,425	7,813	7,284
130			9,492	8,801	8,204
135			10,649	9,871	9,200
140				11,028	10,276
145					11,436
150					12,685
155					14,025

R = 300

R	300				
L	160	170	180	190	200
<i>l</i>	158,866	168,640	178,387	188,104	197,789
<i>d</i>	79,811	84,773	89,731	94,683	99,631
<i>y</i>	14,150	15,964	17,885	19,912	22,046
ΔR	3,546	4,002	4,486	4,996	5,534
<i>e</i>	51,799	54,827	57,816	60,765	63,672
τ_l	15°16'44,0"	16°14'01,7"	17°11'19,4"	18°08'37,2"	19°05'54,9"
ω_l	5°05'23,6"	5°24'27,3"	5°43'30,7"	6°02'33,9"	6°21'36,7"
φ_l	10°11'20,4"	10°49'34,4"	11°27'48,7"	12°06'03,3"	12°44'18,2"
x = 5	—	—	—	—	—
10	0,003	0,003	0,003	0,003	0,003
15	0,012	0,011	0,010	0,010	0,009
20	0,028	0,026	0,025	0,023	0,022
25	0,054	0,051	0,048	0,046	0,043
30	0,094	0,088	0,083	0,079	0,075
35	0,149	0,140	0,132	0,125	0,119
40	0,222	0,209	0,197	0,187	0,178
45	0,316	0,298	0,281	0,266	0,253
50	0,434	0,409	0,386	0,366	0,347
55	0,578	0,544	0,514	0,487	0,462
60	0,750	0,706	0,667	0,632	0,600
65	0,954	0,898	0,848	0,803	0,763
70	1,192	1,122	1,059	1,003	0,953
75	1,466	1,380	1,303	1,234	1,172
80	1,780	1,675	1,582	1,498	1,423
85	2,135	2,009	1,897	1,797	1,707
90	2,535	2,386	2,253	2,134	2,027
95	2,983	2,807	2,650	2,511	2,385
100	3,481	3,275	3,092	2,929	2,782
105	4,032	3,793	3,581	3,392	3,222
110	4,638	4,364	4,120	3,902	3,706
115	5,304	4,989	4,710	4,461	4,236
120	6,031	5,673	5,355	5,071	4,816
125	6,823	6,417	6,057	5,736	5,447
130	7,683	7,225	6,819	6,457	6,131
135	8,615	8,100	7,644	7,237	6,871
140	9,621	9,044	8,534	8,078	7,669
145	10,705	10,062	9,492	8,985	8,529
150	11,870	11,155	10,522	9,958	9,452
155	13,121	12,328	11,627	11,002	10,441

R = 300

R	300					
	L	160	170	180	190	200
<i>l</i>	158,866	168,640	178,387	188,104	197,789	
<i>d</i>	79,811	84,773	89,731	94,683	99,631	
<i>y_l</i>	14,150	15,964	17,885	19,912	22,046	
ΔR	3,546	4,002	4,486	4,996	5,534	
<i>e</i>	51,799	54,827	57,816	60,765	63,672	
<i>T_l</i>	15° 16' 44,0"	16° 14' 01,7"	17° 11' 19,4"	18° 08' 37,2"	19° 05' 54,9"	
<i>ω_l</i>	5° 05' 23,6"	5° 24' 27,3"	5° 43' 30,7"	6° 02' 33,9"	6° 21' 36,7"	
<i>φ_l</i>	10° 11' 20,4"	10° 49' 34,4"	11° 27' 48,7"	12° 06' 03,3"	12° 44' 18,2"	

x = 155	18,121	12,328	11,627	11,092	10,441	
160	14,462	13,585	12,809	12,118	11,499	
165	15,896	14,928	14,073	13,311	12,629	
170		16,363	15,421	14,584	13,834	
175		17,892	16,859	15,939	15,117	
180			18,389	17,381	16,481	
185				20,014	18,914	17,929
190					20,541	19,467
195						22,266
200						22,822
205						24,647

R = 325

R	325					
	L	10	20	30	40	50
<i>l</i>	10,000	19,998	29,994	39,985	49,970	
<i>d</i>	5,000	10,000	14,999	19,997	24,995	
<i>y_l</i>	0,051	0,205	0,461	0,820	1,282	
ΔR	0,013	0,051	0,115	0,205	0,320	
<i>e</i>	3,333	6,664	9,991	13,313	16,627	
<i>T_l</i>	0° 52' 53,3"	1° 45' 46,6"	2° 38' 39,9"	3° 31' 38,2"	4° 24' 26,5"	
<i>ω_l</i>	0° 17' 37,8"	0° 35' 15,5"	0° 52' 58,3"	1° 10' 30,9"	1° 28' 08,6"	
<i>φ_l</i>	0° 35' 15,5"	1° 10' 31,1"	1° 45' 46,6"	2° 21' 02,3"	2° 56' 17,9"	

x = 10	0,051	0,026	0,017	0,013	0,010
20	0,359	0,205	0,187	0,103	0,082
30		0,667	0,462	0,346	0,277
40			1,078	0,821	0,657
50				1,593	1,284
60					2,211

R = 325

R	325					
	L	60	70	80	90	100
<i>l</i>	59,949	69,919	79,879	89,828	99,764	
<i>d</i>	29,991	34,986	39,980	44,971	49,961	
<i>y_l</i>	1,845	2,511	3,279	4,148	5,120	
ΔR	0,461	0,628	0,820	1,038	1,281	
<i>e</i>	19,931	23,224	26,503	29,767	33,014	
<i>τ_l</i>	5° 17' 19,8"	6° 10' 13,1"	7° 03' 06,4"	7° 55' 59,7"	8° 48' 53,1"	
<i>ω_l</i>	1° 45' 46,2"	2° 03' 23,7"	2° 21' 01,1"	2° 38' 38,4"	2° 56' 15,6"	
<i>φ_l</i>	3° 31' 33,6"	4° 06' 49,4"	4° 42' 05,3"	5° 17' 21,3"	5° 52' 37,5"	
x = 10	0,009	0,007	0,006	0,006	0,005	
20	0,068	0,059	0,051	0,046	0,041	
30	0,231	0,198	0,173	0,154	0,138	
40	0,547	0,469	0,410	0,365	0,328	
50	1,069	0,916	0,802	0,713	0,641	
60	1,850	1,585	1,386	1,232	1,108	
70	2,933	2,520	2,203	1,958	1,761	
80		3,760	3,293	2,925	2,681	
90			4,692	4,172	3,752	
100				5,730	5,156	
110					6,875	

R = 325

R	325					
	L	110	120	130	140	150
<i>l</i>	109,685	119,592	129,481	139,352	149,203	
<i>d</i>	54,948	59,932	64,913	69,892	74,867	
<i>y_l</i>	6,192	7,367	8,642	10,018	11,495	
ΔR	1,550	1,844	2,164	2,509	2,879	
<i>e</i>	36,242	39,448	42,632	45,791	48,923	
<i>τ_l</i>	9° 41' 46,4"	10° 34' 39,7"	11° 27' 33,0"	12° 20' 26,3"	13° 18' 19,6"	
<i>ω_l</i>	3° 13' 52,6"	3° 31' 29,6"	3° 49' 06,8"	4° 06' 42,9"	4° 24' 19,4"	
<i>φ_l</i>	6° 27' 53,8"	7° 03' 10,1"	7° 38' 26,7"	8° 13' 43,4"	8° 49' 00,2"	
x = 10	0,005	0,004	0,004	0,004	0,003	
20	0,037	0,034	0,032	0,029	0,027	
30	0,126	0,115	0,107	0,099	0,092	
40	0,298	0,274	0,252	0,234	0,219	
50	0,583	0,534	0,493	0,458	0,427	
60	1,008	0,924	0,852	0,791	0,739	
70	1,601	1,467	1,354	1,257	1,173	
80	2,391	2,191	2,022	1,878	1,752	
90	3,409	3,128	2,882	2,675	2,496	
100	4,683	4,290	3,957	3,673	3,427	
110	6,246	5,720	5,275	4,895	4,567	
120	8,127	7,443	6,863	6,366	5,937	
130		9,487	8,748	8,112	7,564	
140			10,956	10,160	9,470	
150				12,536	11,683	
160					14,227	

R = 325

R	325					
	L	160	170	180	190	200
<i>t</i>	159,033	168,841	178,625	188,388	198,115	
<i>d</i>	79,839	84,807	89,770	94,730	99,685	
<i>y_t</i>	13,071	14,748	16,525	18,400	20,375	
ΔR	3,275	3,696	4,143	4,614	5,111	
<i>e</i>	52,026	55,099	58,139	61,145	64,114	
<i>r_t</i>	14° 06' 12,9"	14° 59' 06,2"	15° 51' 59,5"	16° 44' 52,8"	17° 37' 46,1"	
<i>w_t</i>	4° 41' 55,6"	4° 59' 31,6"	5° 17' 07,4"	5° 34' 43,0"	5° 52' 18,4"	
<i>φ_t</i>	9° 24' 17,3"	9° 59' 34,6"	10° 34' 52,1"	11° 10' 09,8"	11° 45' 27,7"	
 <i>x</i> = 10	0,003	0,003	0,003	0,003	0,003	
20	0,026	0,024	0,023	0,022	0,021	
30	0,087	0,081	0,077	0,073	0,069	
40	0,205	0,193	0,182	0,173	0,164	
50	0,401	0,377	0,356	0,337	0,321	
60	0,692	0,652	0,616	0,583	0,554	
70	1,100	1,035	0,978	0,926	0,880	
80	1,642	1,546	1,460	1,383	1,314	
90	2,340	2,202	2,079	1,970	1,871	
100	3,212	3,022	2,854	2,703	2,568	
110	4,279	4,026	3,801	3,600	3,420	
120	5,563	5,233	4,940	4,679	4,443	
130	7,085	6,663	6,289	5,955	5,655	
140	8,868	8,338	7,869	7,449	7,073	
150	10,936	10,280	9,698	9,180	8,714	
160	13,316	12,512	11,800	11,166	10,598	
170	16,081	15,061	14,199	13,431	12,744	
180		17,950	16,919	15,998	15,173	
190			19,984	18,891	17,910	
200				22,135	20,980	
210					24,406	

R = 350

R	350					
	L	10	20	30	40	50
<i>t</i>	10,000	19,998	29,994	39,987	49,975	
<i>d</i>	5,000	10,000	14,999	19,998	24,996	
<i>y_t</i>	0,048	0,190	0,429	0,762	1,190	
ΔR	0,012	0,048	0,107	0,190	0,298	
<i>e</i>	3,333	6,664	9,992	13,316	16,632	
<i>r_t</i>	0° 49' 06,6"	1° 38' 13,3"	2° 27' 19,9"	3° 16' 26,6"	4° 05' 33,2"	
<i>w_t</i>	0° 16' 22,2"	0° 32' 44,4"	0° 49' 06,6"	1° 05' 28,8"	1° 21' 50,9"	
<i>φ_t</i>	0° 32' 44,4"	1° 05' 28,9"	1° 38' 13,3"	2° 10' 57,8"	2° 43' 42,3"	
 <i>x</i> = 10	0,048	0,024	0,016	0,012	0,010	
20	0,333	0,190	0,127	0,095	0,076	
30		0,620	0,429	0,322	0,257	
40			1,001	0,762	0,610	
50				1,479	1,192	
60					2,052	

R = 350

R	350				
L	60	70	80	90	100
<i>t</i>	59,956	69,930	79,896	89,851	99,796
<i>d</i>	29,993	34,988	39,983	44,975	49,966
<i>y_l</i>	1,713	2,332	3,045	3,858	4,755
<i>A R</i>	0,428	0,583	0,762	0,964	1,190
<i>e</i>	19,941	23,239	26,526	29,799	33,058
<i>τ_l</i>	4° 54' 39,8"	5° 43' 46,5"	6° 32' 53,1"	7° 21' 59,8"	8° 11' 06,4"
<i>ω_l</i>	1° 38' 12,9"	1° 54' 34,9"	2° 10' 56,8"	2° 27' 18,7"	2° 43' 40,4"
<i>φ_l</i>	3° 16' 26,9"	3° 49' 11,6"	4° 21' 56,3"	4° 54' 41,1"	5° 27' 26,0"
x = 10	0,008	0,007	0,006	0,005	0,005
20	0,063	0,054	0,048	0,042	0,038
30	0,214	0,184	0,161	0,143	0,129
40	0,508	0,435	0,381	0,339	0,305
50	0,993	0,851	0,744	0,662	0,595
60	1,717	1,471	1,287	1,144	1,029
70	2,722	2,339	2,045	1,817	1,635
80		3,490	3,057	2,715	2,443
90			4,354	3,872	3,482
100				5,316	4,784
110					6,377

R = 350

R	350				
L	110	120	130	140	150
<i>t</i>	109,729	119,648	129,552	139,441	149,313
<i>d</i>	54,955	59,941	64,925	69,907	74,885
<i>y_l</i>	5,752	6,843	8,028	9,307	10,679
<i>A R</i>	1,439	1,712	2,009	2,330	2,674
<i>e</i>	36,800	39,524	42,729	45,911	49,071
<i>τ_l</i>	9° 00' 13,0"	9° 49' 19,7"	10° 38' 26,3"	11° 27' 33,0"	12° 16' 39,6"
<i>ω_l</i>	8° 00' 02,1"	8° 16' 23,6"	8° 32' 45,0"	8° 49' 06,3"	4° 05' 27,5"
<i>φ_l</i>	6° 00' 10,9"	6° 32' 56,1"	7° 05' 41,3"	7° 38' 26,7"	8° 11' 12,1"
x = 10	0,004	0,004	0,004	0,003	0,003
20	0,035	0,032	0,029	0,027	0,025
30	0,117	0,107	0,099	0,092	0,086
40	0,277	0,254	0,234	0,218	0,203
50	0,541	0,496	0,458	0,425	0,397
60	0,936	0,858	0,791	0,735	0,686
70	1,486	1,362	1,257	1,167	1,089
80	2,220	2,084	1,878	1,743	1,627
90	3,164	2,899	2,675	2,483	2,317
100	4,346	3,981	3,673	3,410	3,181
110	5,795	5,307	4,895	4,543	4,238
120	7,536	6,904	6,366	5,907	5,510
130		8,796	8,112	7,524	7,016
140			10,156	9,420	8,782
150				11,617	10,830
160					13,181

R = 350

R	350				
L	160	170	180	190	200
<i>l</i>	159,166	169,000	178,813	188,605	198,374
<i>d</i>	79,861	84,833	89,802	94,767	99,729
<i>y_l</i>	12,145	13,704	15,356	17,100	18,937
ΔR	3,042	3,433	3,848	4,286	4,748
<i>e</i>	52,206	55,315	58,395	61,446	64,466
τ_l	13°05'46,2"	13°54'52,9"	14°43'59,5"	15°33'06,2"	16°22'12,8"
ω_l	4°21'48,4"	4°38'09,3"	4°54'29,9"	5°10'50,4"	5°27'10,7"
φ_l	8°43'57,8"	9°16'43,6"	9°49'29,6"	10°22'15,8"	10°55'02,1"
 x = 10	0,003	0,003	0,003	0,003	0,002
20	0,024	0,022	0,021	0,020	0,019
30	0,080	0,076	0,071	0,068	0,064
40	0,190	0,179	0,169	0,160	0,152
50	0,372	0,350	0,331	0,313	0,298
60	0,643	0,605	0,572	0,541	0,514
70	1,021	0,961	0,908	0,860	0,817
80	1,525	1,435	1,355	1,284	1,220
90	2,172	2,044	1,930	1,829	1,737
100	2,982	2,806	2,649	2,510	2,384
110	3,972	3,737	3,529	3,342	3,174
120	5,162	4,857	4,585	4,343	4,124
130	6,573	6,183	5,836	5,527	5,249
140	8,225	7,735	7,300	6,912	6,563
150	10,139	9,532	8,995	8,515	8,084
160	12,340	11,598	10,940	10,354	9,826
170	14,848	13,953	13,158	12,450	11,814
180		16,620	15,670	14,821	14,061
190			18,497	17,492	16,588
200				20,481	19,419
210					22,573

R = 375

R	375				
L	10	20	30	40	50
<i>l</i>	10,000	19,999	29,995	39,989	49,978
<i>d</i>	5,000	10,000	14,999	19,998	24,996
<i>y_l</i>	0,044	0,178	0,400	0,711	1,111
ΔR	0,011	0,044	0,100	0,178	0,278
<i>e</i>	3,333	6,665	9,993	13,318	16,637
τ_l	0°45'50,2"	1°31'40,4"	2°17'30,6"	3°03'20,8"	3°49'11,0"
ω_l	0°15'16,7"	0°30'33,5"	0°45'50,2"	1°01'06,9"	1°16'23,5"
φ_l	0°30'33,5"	1°01'06,9"	1°31'40,4"	2°02'13,9"	2°32'47,5"
 x = 10	0,044	0,022	0,015	0,011	0,009
20	0,311	0,178	0,119	0,089	0,071
30		0,578	0,400	0,300	0,240
40			0,934	0,711	0,569
50				1,380	1,112
60					1,915

R = 375

R = 375

R	375				
L	60	70	80	90	100
<i>l</i>	59,962	69,939	79,909	89,870	99,822
<i>d</i>	29,994	34,990	39,985	44,978	49,970
<i>y_l</i>	1,599	2,176	2,842	3,596	4,439
ΔR	0,400	0,544	0,711	0,900	1,110
<i>e</i>	19,948	28,251	26,544	29,825	33,093
τ_l	4°35'01,2"	5°20'51,4"	6°06'41,6"	6°52'31,8"	7°38'22,0"
ω_l	1°31'40,1"	1°46'56,7"	2°02'13,2"	2°17'29,6"	2°32'45,9"
φ_l	3°03'21,1"	3°33'54,7"	4°04'28,4"	4°35'02,2"	5°05'36,1"
x = 10	0,007	0,006	0,006	0,005	0,004
20	0,059	0,051	0,044	0,040	0,036
30	0,200	0,171	0,150	0,133	0,120
40	0,474	0,406	0,356	0,316	0,284
50	0,927	0,794	0,695	0,617	0,556
60	1,602	1,373	1,201	1,067	0,961
70	2,540	2,182	1,908	1,696	1,526
80		3,255	2,852	2,534	2,279
90			4,061	3,612	3,249
100				4,958	4,463
110					5,946

R	375				
L	110	120	130	140	150
<i>l</i>	109,764	119,693	129,610	139,513	149,401
<i>d</i>	54,961	59,949	64,935	69,919	74,900
<i>y_l</i>	5,370	6,388	7,495	8,689	9,971
ΔR	1,343	1,599	1,876	2,175	2,496
<i>e</i>	36,347	39,586	42,807	46,009	49,191
τ_l	8°24'12,2"	9°10'02,4"	9°55'52,6"	10°41'42,8"	11°27'33,0"
ω_l	2°48'02,2"	3°03'18,4"	3°18'34,5"	3°33'50,5"	3°49'06,3"
φ_l	5°36'10,0"	6°06'44,0"	6°37'18,1"	7°07'52,3"	7°38'26,7"
x = 10	0,004	0,004	0,003	0,003	0,003
20	0,032	0,030	0,027	0,025	0,024
30	0,109	0,100	0,092	0,086	0,080
40	0,259	0,237	0,219	0,203	0,190
50	0,505	0,463	0,427	0,397	0,370
60	0,873	0,800	0,739	0,686	0,640
70	1,387	1,271	1,173	1,089	1,017
80	2,072	1,898	1,752	1,627	1,518
90	2,952	2,705	2,496	2,317	2,163
100	4,054	3,714	3,427	3,181	2,968
110	5,405	4,950	4,567	4,238	3,954
120	7,027	6,438	5,937	5,510	5,139
130		8,200	7,564	7,016	6,544
140			9,466	8,782	8,188
150				10,826	10,093
160					12,280

R = 375

R	375				
L	160	170	180	190	200
<i>l</i>	159,273	169,129	178,966	188,784	198,582
<i>d</i>	79,879	84,855	89,828	94,797	99,763
<i>y_l</i>	11,341	12,797	14,341	15,971	17,688
ΔR	2,840	3,205	3,593	4,002	4,433
<i>e</i>	52,351	55,489	58,602	61,689	64,749
τ_l	12° 13' 23,2"	12° 59' 13,4"	13° 45' 03,6"	14° 30' 53,8"	15° 16' 44,0"
ω_l	4° 04' 22,1"	4° 19' 37,7"	4° 34' 53,1"	4° 50' 08,4"	5° 05' 23,6"
φ_l	8° 09' 01,1"	8° 39' 35,7"	9° 10' 10,5"	9° 40' 45,4"	10° 11' 20,4"
x = 10	0,003	0,003	0,002	0,002	0,002
20	0,022	0,021	0,020	0,019	0,018
30	0,075	0,071	0,067	0,063	0,060
40	0,178	0,167	0,158	0,150	0,142
50	0,347	0,327	0,309	0,292	0,278
60	0,600	0,565	0,533	0,505	0,480
70	0,953	0,897	0,847	0,803	0,762
80	1,423	1,339	1,265	1,198	1,138
90	2,027	1,908	1,801	1,707	1,621
100	2,782	2,618	2,472	2,342	2,224
110	3,706	3,487	3,292	3,119	2,962
120	4,816	4,531	4,278	4,052	3,848
130	6,131	5,767	5,444	5,156	4,896
140	7,669	7,213	6,808	6,447	6,122
150	9,452	8,887	8,387	7,940	7,539
160	11,499	10,809	10,198	9,653	9,164
170	13,830	12,999	12,261	11,603	11,012
180		15,476	14,595	13,808	13,102
190			17,219	16,288	15,450
200				19,061	18,078
210					20,002

R = 400

R	400				
L	10	20	30	40	50
<i>l</i>	10,000	19,999	29,996	39,990	49,980
<i>d</i>	5,000	10,000	14,999	19,998	24,997
<i>y_l</i>	0,042	0,167	0,375	0,667	1,041
ΔR	0,010	0,042	0,094	0,167	0,260
<i>e</i>	3,333	6,665	9,994	13,320	16,640
τ_l	0° 42' 58,3"	1° 25' 56,6"	2° 08' 54,9"	2° 51' 53,2"	3° 34' 51,6"
ω_l	0° 14' 19,4"	0° 28' 38,9"	0° 42' 58,3"	0° 57' 17,7"	1° 11' 37,0"
φ_l	0° 28' 38,9"	0° 57' 17,7"	1° 25' 56,6"	1° 54' 35,5"	2° 23' 14,6"
x = 10	0,042	0,021	0,014	0,010	0,008
20	0,292	0,167	0,111	0,083	0,067
30		0,542	0,375	0,281	0,225
40			0,876	0,667	0,534
50				1,298	1,043
60					1,795

R = 400

R	400					
	L	60	70	80	90	100
<i>l</i>	59,966	69,946	79,920	89,886	99,844	
<i>d</i>	29,994	34,991	39,987	44,981	49,974	
<i>y_l</i>	1,499	2,041	2,665	3,372	4,162	
ΔR	0,375	0,510	0,666	0,843	1,041	
<i>e</i>	19,955	28,261	26,559	29,846	33,123	
<i>τ_l</i>	4°17'49,9"	5°00'48,2"	5°43'46,5"	6°26'44,8"	7°09'48,1"	
<i>ω_l</i>	1°25'56,4"	1°40'15,7"	1°54'34,9"	2°08'54,1"	2°23'13,2"	
<i>φ_l</i>	2°51'53,5"	3°20'32,5"	3°49'11,6"	4°17'50,7"	4°46'29,9"	

x = 10	0,007	0,006	0,005	0,005	0,004
20	0,056	0,048	0,042	0,037	0,033
30	0,188	0,161	0,141	0,125	0,113
40	0,445	0,381	0,333	0,296	0,267
50	0,869	0,744	0,651	0,579	0,521
60	1,502	1,287	1,126	1,001	0,900
70	2,381	2,045	1,789	1,590	1,430
80		3,051	2,673	2,375	2,136
90			3,805	3,385	3,045
100				4,645	4,182
110					5,571

R = 400

R	400					
	L	110	120	130	140	150
<i>l</i>	109,792	119,730	129,657	139,572	149,474	
<i>d</i>	54,965	59,955	64,943	69,929	74,912	
<i>y_l</i>	5,035	5,990	7,028	8,149	9,351	
ΔR	1,260	1,499	1,759	2,039	2,341	
<i>e</i>	36,386	39,636	42,870	46,088	49,289	
<i>τ_l</i>	7°52'41,4"	8°35'39,7"	9°18'38,0"	10°01'36,3"	10°44'34,7"	
<i>ω_l</i>	2°37'32,3"	2°51'51,3"	3°06'10,2"	3°20'29,0"	3°34'47,7"	
<i>φ_l</i>	5°15'09,1"	5°43'48,4"	6°12'27,8"	6°41'07,3"	7°09'47,0"	
x = 10	0,004	0,003	0,003	0,003	0,003	0,003
20	0,030	0,028	0,026	0,024	0,022	
30	0,102	0,094	0,087	0,080	0,075	
40	0,242	0,222	0,205	0,190	0,178	
50	0,474	0,434	0,401	0,372	0,347	
60	0,818	0,750	0,692	0,643	0,600	
70	1,300	1,192	1,100	1,021	0,953	
80	1,942	1,780	1,642	1,525	1,423	
90	2,767	2,535	2,340	2,172	2,027	
100	3,799	3,481	3,212	2,982	2,782	
110	5,064	4,638	4,279	3,972	3,706	
120	6,582	6,031	5,563	5,162	4,816	
130		7,679	7,085	6,573	6,131	
140			8,864	8,225	7,669	
150				10,136	9,452	
160					11,495	

R = 400

R	400				
L	160	170	180	190	200
i	159,361	169,284	179,091	188,981	198,754
d	79,893	84,872	89,848	94,822	99,792
y _l	10,636	12,003	13,451	14,981	16,592
Δ R	2,663	3,006	3,369	3,753	4,157
e	52,470	55,631	58,771	61,888	64,981
τ _l	11° 27' 33,0"	12° 10' 31,3"	12° 53' 29,6"	13° 36' 27,9"	14° 19' 26,2"
ω _l	3° 49' 06,3"	4° 03' 24,8"	4° 17' 43,2"	4° 32' 01,5"	4° 46' 19,6"
φ _l	7° 38' 26,7"	8° 07' 06,5"	8° 35' 46,4"	9° 04' 26,4"	9° 33' 06,6"
x = 10	0,003	0,002	0,002	0,002	0,002
20	0,021	0,020	0,019	0,018	0,017
30	0,070	0,066	0,063	0,059	0,056
40	0,167	0,157	0,148	0,140	0,133
50	0,326	0,306	0,289	0,274	0,260
60	0,563	0,529	0,500	0,474	0,450
70	0,894	0,841	0,794	0,752	0,715
80	1,334	1,256	1,186	1,123	1,067
90	1,900	1,788	1,689	1,600	1,520
100	2,608	2,454	2,317	2,195	2,085
110	3,473	3,268	3,086	2,923	2,777
120	4,513	4,246	4,009	3,797	3,607
130	5,744	5,404	5,102	4,832	4,589
140	7,185	6,758	6,379	6,041	5,736
150	8,852	8,325	7,857	7,439	7,063
160	10,766	10,122	9,551	9,042	8,584
170	12,944	12,169	11,480	10,865	10,313
180		14,482	13,661	12,926	12,266
190			16,110	15,241	14,460
200				17,829	16,913
210					19,639

R = 425

R	425				
L	10	20	30	40	50
i	10,000	19,999	29,996	39,991	49,988
d	5,000	10,000	14,999	19,999	24,997
y _l	0,039	0,157	0,353	0,627	0,980
Δ R	0,010	0,089	0,088	0,157	0,247
e	3,333	6,665	9,995	13,321	16,643
τ _l	0° 40' 26,6"	1° 20' 53,3"	2° 01' 19,9"	2° 41' 46,6"	3° 22' 13,2"
ω _l	0° 13' 28,9"	0° 26' 57,8"	0° 40' 26,6"	0° 53' 55,5"	1° 07' 24,3"
φ _l	0° 26' 57,7"	0° 53' 55,5"	1° 20' 53,3"	1° 47' 51,1"	2° 14' 48,9"

x = 10	0,039	0,020	0,013	0,010	0,008
20	0,275	0,157	0,105	0,078	0,063
30		0,510	0,353	0,265	0,212
40			0,824	0,628	0,502
50				1,217	0,983
60					1,691

644 164 //

R = 425

R	425				
L	60	70	80	90	100
<i>t</i>	59,970	69,953	79,929	89,899	99,862
<i>d</i>	29,995	34,992	39,988	44,983	49,977
<i>y_l</i>	1,411	1,921	2,508	3,174	3,918
ΔR	0,353	0,480	0,627	0,794	0,980
<i>e</i>	19,960	23,269	26,571	29,864	33,147
τ_l	4°02'39,9"	4°43'06,5"	5°23'33,2"	6°03'59,8"	6°44'26,5"
ω_l	1°20'53,1"	1°34'21,8"	1°47'50,6"	2°01'19,3"	2°14'47,9"
ϕ_l	2°41'46,8"	3°08'44,7"	3°35'42,6"	4°02'40,5"	4°29'38,6"

x = 10	0,007	0,006	0,005	0,004	0,004
20	0,052	0,045	0,039	0,035	0,031
30	0,176	0,151	0,132	0,118	0,106
40	0,418	0,359	0,314	0,279	0,251
50	0,817	0,701	0,613	0,545	0,490
60	1,413	1,211	1,060	0,942	0,847
70	2,240	1,925	1,683	1,496	1,346
80		2,870	2,515	2,235	2,010
90			3,580	3,185	2,865
100				4,870	3,934
110					5,240

2 25 6,10

2 16 1

R = 425

R	425				
L	110	120	130	140	150
<i>t</i>	109,816	119,761	129,696	139,621	149,534
<i>d</i>	54,969	59,960	64,949	69,937	74,922
<i>y_l</i>	4,739	5,639	6,616	7,671	8,804
ΔR	1,186	1,411	1,655	1,920	2,203
<i>e</i>	36,418	39,677	42,923	46,154	49,982
τ_l	7°24'53,1"	8°05'19,7"	8°45'46,4"	9°26'13,0"	10°06'39,7"
ω_l	2°28'16,4"	2°41'44,9"	2°55'13,4"	3°08'41,7"	3°22'10,0"
ϕ_l	4°56'36,7"	5°23'34,8"	5°50'33,0"	6°17'31,3"	6°44'29,7"

x = 10	0,004	0,003	0,003	0,003	0,003
20	0,029	0,026	0,024	0,022	0,021
30	0,096	0,088	0,081	0,076	0,071
40	0,228	0,209	0,193	0,179	0,167
50	0,446	0,409	0,377	0,350	0,327
60	0,770	0,706	0,652	0,605	0,565
70	1,224	1,122	1,035	0,961	0,897
80	1,827	1,675	1,546	1,435	1,339
90	2,603	2,386	2,202	2,044	1,908
100	3,574	3,275	3,022	2,806	2,618
110	4,764	4,364	4,026	3,737	3,487
120	6,190	5,673	5,233	4,857	4,531
130		7,222	6,663	6,183	5,767
140			8,335	7,735	7,213
150				9,529	8,887
160					10,806

R = 425

R	425				
L	160	170	180	190	200
<i>c</i>	159,434	169,321	179,194	189,053	198,896
<i>d</i>	79,906	84,887	89,866	94,842	99,816
<i>y_l</i>	10,014	11,301	12,665	14,106	15,624
<i>Δ R</i>	2,507	2,829	3,172	3,533	3,914
<i>e</i>	52,569	55,750	58,911	62,053	65,174
<i>τ_l</i>	10°47'06,3"	11°27'33,0"	12°07'59,6"	12°48'26,3"	13°28'52,9"
<i>ω_l</i>	3°35'38,2"	3°49'06,3"	4°02'34,3"	4°16'02,2"	4°29'30,0"
<i>φ_l</i>	7°11'28,1"	7°38'26,7"	8°05'25,3"	8°32'24,1"	8°59'22,9"
x = 10	0,002	0,002	0,002	0,002	0,002
20	0,020	0,018	0,017	0,017	0,016
30	0,066	0,062	0,059	0,056	0,053
40	0,157	0,148	0,139	0,132	0,125
50	0,306	0,288	0,272	0,258	0,245
60	0,529	0,498	0,471	0,446	0,424
70	0,841	0,791	0,747	0,708	0,673
80	1,256	1,182	1,116	1,057	1,004
90	1,788	1,683	1,589	1,506	1,430
100	2,454	2,309	2,181	2,066	1,962
110	3,268	3,075	2,904	2,751	2,613
120	4,246	3,995	3,772	3,573	3,394
130	5,404	5,084	4,800	4,546	4,318
140	6,758	6,357	6,001	5,683	5,397
150	8,325	7,829	7,390	6,997	6,644
160	10,122	9,518	8,982	8,503	8,073
170	12,166	11,439	10,793	10,216	9,698
180		13,609	12,840	12,150	11,532
190			15,137	14,323	13,591
200				16,748	15,891
210					18,445

R = 450

R	450				
L	10	20	30	40	50
<i>c</i>	10,000	19,999	29,997	39,992	49,985
<i>d</i>	5,000	10,000	14,999	19,999	24,997
<i>y_l</i>	0,037	0,148	0,333	0,593	0,926
<i>Δ R</i>	0,009	0,037	0,083	0,148	0,231
<i>e</i>	3,333	6,665	9,996	13,323	16,646
<i>τ_l</i>	0°38'11,8"	1°16'23,7"	1°54'35,5"	2°32'47,3"	3°10'59,2"
<i>ω_l</i>	0°12'43,9"	0°25'27,9"	0°38'11,8"	0°50'55,8"	1°03'39,6"
<i>φ_l</i>	0°25'27,9"	0°50'55,8"	1°16'23,7"	1°41'51,5"	2°07'19,6"
x = 10	0,037	0,019	0,012	0,009	0,007
20	0,259	0,148	0,099	0,074	0,059
30		0,482	0,333	0,250	0,200
40			0,778	0,593	0,474
50				1,149	0,927
60					1,595

R = 450

R	450					
	L	60	70	80	90	100
t	59,973	69,958	79,937	89,910	99,877	
d	29,996	34,993	39,989	44,985	49,979	
y _l	1,333	1,814	2,369	2,998	3,700	
Δ R	0,333	0,454	0,592	0,750	0,925	
e	19,964	23,276	26,581	29,879	33,167	
τ _l	3° 49' 11,0"	4° 27' 22,8"	5° 05' 34,7"	5° 43' 46,5"	6° 21' 58,3"	
ω _l	1° 16' 23,5"	1° 29' 07,3"	1° 41' 51,2"	1° 54' 34,9"	2° 07' 18,6"	
φ _l	2° 32' 47,5"	2° 58' 15,5"	3° 28' 43,5"	3° 49' 11,6"	4° 14' 39,7"	
x = 10	0,006	0,005	0,005	0,004	0,004	
20	0,049	0,042	0,037	0,033	0,030	
30	0,167	0,143	0,125	0,111	0,100	
40	0,395	0,339	0,296	0,263	0,237	
50	0,772	0,662	0,579	0,515	0,463	
60	1,335	1,144	1,001	0,889	0,800	
70	2,115	1,817	1,590	1,413	1,271	
80		2,710	2,375	2,110	1,898	
90			3,380	3,007	2,705	
100				4,125	3,714	
110					4,946	

R = 450

B	450					
	L	110	120	130	140	150
t	109,836	119,787	129,729	139,662	149,584	
d	54,973	59,964	64,955	69,944	74,931	
y _l	4,477	5,327	6,250	7,247	8,317	
Δ R	1,120	1,333	1,564	1,813	2,081	
e	36,445	39,712	42,967	46,210	49,438	
τ _l	7° 00' 10,1"	7° 38' 22,0"	8° 16' 33,8"	8° 54' 45,6"	9° 32' 57,5"	
ω _l	2° 20' 02,3"	2° 32' 45,9"	2° 45' 29,5"	2° 58' 13,0"	3° 10' 56,4"	
φ _l	4° 40' 07,8"	5° 05' 36,1"	5° 31' 04,3"	5° 56' 32,6"	6° 22' 01,1"	
x = 10	0,003	0,003	0,003	0,003	0,002	
20	0,027	0,025	0,023	0,021	0,020	
30	0,091	0,083	0,077	0,071	0,067	
40	0,216	0,197	0,182	0,169	0,158	
50	0,421	0,386	0,356	0,331	0,309	
60	0,727	0,667	0,616	0,572	0,533	
70	1,156	1,059	0,978	0,908	0,847	
80	1,726	1,582	1,460	1,355	1,265	
90	2,458	2,253	2,079	1,930	1,801	
100	3,375	3,092	2,854	2,649	2,472	
110	4,497	4,120	3,801	3,529	3,292	
120	5,843	5,355	4,940	4,585	4,278	
130			6,816	6,289	5,836	5,444
140				7,865	7,300	6,808
150					8,991	8,387
160						10,195

R = 450

R	450				
L	160	170	180	190	200
i	159,495	169,394	179,281	189,155	199,015
d	79,916	84,899	89,880	94,859	99,836
y _l	9,460	10,676	11,966	13,328	14,763
Δ R	2,368	2,672	2,996	3,337	3,697
e	52,651	55,849	59,029	62,191	65,335
τ _l	10° 11' 09,3"	10° 49' 21,1"	11° 27' 33,0"	12° 05' 44,8"	12° 43' 56,6"
ω _l	3° 23' 39,8"	3° 36' 23,1"	3° 49' 06,3"	4° 01' 49,5"	4° 14' 32,5"
φ _l	6° 47' 29,5"	7° 12' 58,0"	7° 38' 26,7"	8° 03' 55,3"	8° 29' 24,1"
x = 10	0,002	0,002	0,002	0,002	0,002
20	0,019	0,017	0,016	0,016	0,015
30	0,063	0,059	0,056	0,053	0,050
40	0,148	0,139	0,132	0,125	0,119
50	0,289	0,272	0,257	0,244	0,231
60	0,500	0,471	0,444	0,421	0,400
70	0,794	0,747	0,706	0,669	0,635
80	1,186	1,116	1,054	0,998	0,948
90	1,689	1,589	1,501	1,422	1,351
100	2,317	2,181	2,059	1,951	1,853
110	3,086	2,904	2,742	2,598	2,467
120	4,009	3,772	3,562	3,374	3,205
130	5,102	4,800	4,532	4,292	4,077
140	6,379	6,001	5,665	5,365	5,095
150	7,857	7,390	6,975	6,605	6,273
160	9,551	8,982	8,477	8,026	7,621
170	11,477	10,793	10,184	9,640	9,152
180		12,836	12,112	11,463	10,881
190			14,275	13,510	12,821
200				15,793	14,986
210					17,390

R = 475

R	475				
L	10	20	30	40	50
i	10,000	19,999	29,997	39,998	49,986
d	5,000	10,000	14,999	19,999	24,998
y _l	0,035	0,140	0,316	0,561	0,877
Δ R	0,009	0,035	0,079	0,140	0,219
e	3,333	6,666	9,996	13,324	16,648
τ _l	0° 36' 11,2"	1° 12' 22,4"	1° 48' 33,6"	2° 24' 44,8"	3° 00' 56,0"
ω _l	0° 12' 03,7"	0° 24' 07,5"	0° 36' 11,2"	0° 48' 14,9"	1° 00' 18,6"
φ _l	0° 24' 07,5"	0° 48' 14,9"	1° 12' 22,4"	1° 36' 29,9"	2° 00' 37,4"
x = 10	0,035	0,018	0,012	0,009	0,007
20	0,246	0,140	0,094	0,070	0,056
30		0,456	0,316	0,237	0,189
40			0,737	0,562	0,449
50				1,089	0,878
60					1,511

R = 475

R	475				
L	60	70	80	90	100
c	59,976	69,962	79,943	89,919	99,889
d	29,996	34,994	39,991	44,987	49,982
y _l	1,263	1,719	2,244	2,840	3,506
Δ R	0,316	0,430	0,561	0,710	0,877
e	19,968	23,282	26,590	29,891	33,184
τ _l	3°37'07,3"	4°13'18,5"	4°49'29,7"	5°25'40,9"	6°01'52,1"
ω _l	1°12'22,3"	1°24'25,9"	1°36'29,5"	1°48'33,1"	2°00'36,7"
φ _l	2°24'45,0"	2°48'52,6"	3°13'00,2"	3°37'07,8"	4°01'15,4"

x = 10	0,006	0,005	0,004	0,004	0,004
20	0,047	0,040	0,035	0,031	0,028
30	0,158	0,135	0,118	0,105	0,095
40	0,374	0,321	0,281	0,250	0,225
50	0,731	0,627	0,548	0,487	0,439
60	1,264	1,083	0,948	0,842	0,758
70	2,008	1,721	1,506	1,338	1,204
80		2,567	2,249	1,999	1,798
90			3,201	2,848	2,562
100				3,907	3,518
110					4,684

R = 475

R	475				
L	110	120	130	140	150
l	109,853	119,809	129,757	139,696	149,626
d	54,975	59,968	64,959	69,949	74,938
y _l	4,242	5,047	5,922	6,867	7,881
Δ R	1,061	1,262	1,482	1,718	1,972
e	36,468	39,742	43,005	46,257	49,496
τ _l	6°38'03,3"	7°14'14,5"	7°50'25,7"	8°26'36,9"	9°02'48,1"
ω _l	2°12'40,2"	2°24'43,7"	2°36'47,1"	2°48'50,4"	3°00'53,8"
φ _l	4°25'23,1"	4°49'30,8"	5°13'38,6"	5°37'46,5"	6°01'54,3"
x = 10	0,003	0,003	0,003	0,003	0,002
20	0,026	0,023	0,022	0,020	0,019
30	0,086	0,079	0,073	0,068	0,063
40	0,204	0,187	0,173	0,160	0,150
50	0,399	0,366	0,337	0,313	0,292
60	0,689	0,632	0,583	0,541	0,505
70	1,095	1,003	0,926	0,860	0,803
80	1,635	1,498	1,383	1,284	1,198
90	2,329	2,134	1,970	1,829	1,707
100	3,197	2,929	2,703	2,510	2,342
110	4,259	3,902	3,600	3,342	3,119
120	5,533	5,071	4,679	4,343	4,052
130		6,453	5,956	5,527	5,156
140			7,446	6,912	6,447
150				8,512	7,940
160					9,650

R = 475

R	475				
L	160	170	180	190	200
<i>c</i>	159,547	169,456	179,355	189,241	199,115
<i>d</i>	79,924	84,909	89,892	94,873	99,852
<i>y_l</i>	8,964	10,117	11,339	12,631	13,991
<i>A R</i>	2,243	2,532	2,839	3,162	3,503
<i>e</i>	52,721	55,932	59,128	62,308	65,471
<i>τ_l</i>	9°38'59,3"	10°15'10,5"	10°51'21,8"	11°27'33,0"	12°03'44,2"
<i>ω_l</i>	3°12'57,0"	3°25'00,2"	3°37'03,3"	3°49'06,3"	4°01'09,3"
<i>φ_l</i>	6°26'02,3"	6°50'10,3"	7°14'18,5"	7°38'26,7"	8°02'34,9"
x = 10	0,002	0,002	0,002	0,002	0,002
20	0,018	0,017	0,016	0,015	0,014
30	0,059	0,056	0,053	0,050	0,047
40	0,140	0,132	0,125	0,118	0,112
50	0,274	0,258	0,244	0,231	0,219
60	0,474	0,446	0,421	0,399	0,379
70	0,752	0,708	0,669	0,634	0,602
80	1,123	1,057	0,998	0,946	0,898
90	1,600	1,506	1,422	1,347	1,279
100	2,195	2,066	1,951	1,848	1,755
110	2,923	2,751	2,598	2,461	2,337
120	3,797	3,573	3,374	3,196	3,036
130	4,832	4,546	4,292	4,065	3,861
140	6,041	5,683	5,365	5,081	4,826
150	7,439	6,997	6,605	6,255	5,940
160	9,042	8,503	8,026	7,599	7,216
170	10,862	10,216	9,640	9,127	8,665
180		12,148	11,464	10,851	10,301
190			13,507	12,785	12,135
200				14,942	14,181
210					16,451

R = 500

R	500				
L	10	20	30	40	50
<i>c</i>	10,000	19,999	29,997	39,994	49,988
<i>d</i>	5,000	10,000	15,000	19,999	24,998
<i>y_l</i>	0,033	0,133	0,300	0,533	0,833
<i>A R</i>	0,008	0,033	0,075	0,133	0,208
<i>e</i>	3,333	6,666	9,996	13,325	16,650
<i>τ_l</i>	0°34'22,7"	1°08'45,3"	1°43'07,9"	2°17'30,6"	2°51'53,2"
<i>ω_l</i>	0°11'27,6"	0°22'55,1"	0°34'22,6"	0°45'50,2"	0°57'17,7"
<i>φ_l</i>	0°22'55,1"	0°45'50,2"	1°08'45,3"	1°31'40,4"	1°54'35,5"
x = 10	0,033	0,017	0,011	0,008	0,007
20	0,233	0,133	0,089	0,067	0,053
30		0,433	0,300	0,225	0,180
40			0,700	0,534	0,427
50				1,034	0,834
60					1,435

R = 500

R	500					
	L	60	70	80	90	100
<i>t</i>	59,978	69,966	79,949	89,927	99,900	
<i>d</i>	29,996	34,994	39,991	44,988	49,983	
<i>y_t</i>	1,200	1,633	2,132	2,698	3,331	
ΔR	0,300	0,408	0,533	0,675	0,833	
<i>e</i>	19,971	23,287	26,598	29,902	33,198	
<i>r_t</i>	3° 26' 15,9"	4° 00' 38,5"	4° 35' 01,2"	5° 09' 23,8"	5° 43' 46,5"	
<i>ω_t</i>	1° 08' 45,2"	1° 20' 12,7"	1° 31' 40,1"	1° 43' 07,5"	1° 54' 34,9"	
<i>φ_t</i>	2° 17' 30,7"	2° 40' 25,8"	3° 03' 21,1"	3° 28' 16,3"	3° 49' 11,6"	

x = 10	0,006	0,005	0,004	0,004	0,003
20	0,044	0,038	0,033	0,030	0,027
30	0,150	0,129	0,113	0,100	0,090
40	0,356	0,305	0,267	0,237	0,213
50	0,695	0,595	0,521	0,463	0,417
60	1,201	1,029	0,900	0,800	0,720
70	1,903	1,635	1,430	1,271	1,144
80		2,438	2,137	1,898	1,708
90			3,040	2,705	2,434
100				3,710	3,341
110					4,448

R = 500

R	500					
	L	110	120	130	140	150
<i>t</i>	109,867	119,827	129,780	139,726	149,663	
<i>d</i>	54,978	59,971	64,963	69,954	74,944	
<i>y_t</i>	4,030	4,795	5,627	6,524	7,488	
ΔR	1,008	1,199	1,407	1,632	1,874	
<i>e</i>	36,487	39,767	43,037	46,297	49,545	
<i>r_t</i>	6° 18' 09,1"	6° 52' 31,8"	7° 26' 54,4"	8° 01' 17,1"	8° 35' 39,7"	
<i>ω_t</i>	2° 06' 02,3"	2° 17' 29,6"	2° 28' 56,9"	2° 40' 24,1"	2° 51' 51,3"	
<i>φ_t</i>	4° 12' 06,8"	4° 35' 02,2"	4° 57' 57,5"	5° 20' 53,0"	5° 43' 48,4"	

x = 10	0,003	0,003	0,003	0,002	0,002
20	0,024	0,022	0,021	0,019	0,018
30	0,082	0,075	0,069	0,064	0,060
40	0,194	0,178	0,164	0,152	0,142
50	0,379	0,347	0,321	0,298	0,278
60	0,655	0,600	0,554	0,514	0,480
70	1,040	0,953	0,880	0,817	0,762
80	1,553	1,423	1,314	1,220	1,138
90	2,212	2,027	1,871	1,737	1,621
100	3,036	2,782	2,568	2,384	2,224
110	4,045	3,706	3,420	3,174	2,962
120	5,254	4,816	5,655	5,249	4,896
130		6,128	7,070	6,563	6,122
140				8,081	7,539
150					9,161
160					

R = 500

R	500				
L	160	170	180	190	200
i	159,591	169,509	179,418	189,315	199,201
d	79,932	84,918	89,903	94,886	99,867
y _l	8,518	9,613	10,775	12,002	13,295
Δ R	2,131	2,406	2,697	3,005	3,329
e	52,781	56,004	59,213	62,408	65,588
τ _l	9° 10' 02,4"	9° 44' 25,0"	10° 18' 47,7"	10° 53' 10,3"	11° 27' 33,0"
ω _l	3° 03' 18,4"	3° 14' 45,5"	3° 26' 12,5"	3° 37' 39,4"	3° 49' 06,3"
φ _l	6° 06' 44,0"	6° 29' 39,5"	6° 52' 35,2"	7° 15' 30,9"	7° 38' 26,7"
x = 10	0,002	0,002	0,002	0,002	0,002
20	0,017	0,016	0,015	0,014	0,013
30	0,056	0,053	0,050	0,047	0,045
40	0,133	0,125	0,119	0,112	0,107
50	0,260	0,245	0,231	0,219	0,208
60	0,450	0,424	0,400	0,379	0,360
70	0,715	0,673	0,635	0,602	0,572
80	1,067	1,004	0,948	0,898	0,854
90	1,520	1,430	1,351	1,279	1,215
100	2,085	1,962	1,853	1,755	1,668
110	2,777	2,613	2,467	2,337	2,220
120	3,607	3,394	3,205	3,036	2,883
130	4,589	4,318	4,077	3,861	3,668
140	5,736	5,397	5,095	4,826	4,583
150	7,063	6,644	6,273	5,940	5,641
160	8,584	8,073	7,621	7,216	6,852
170	10,311	9,698	9,152	8,665	8,228
180		11,530	10,881	10,301	9,779
190			12,819	12,135	11,518
200				14,178	13,458
210					15,609

R = 550

R	550				
L	10	20	30	40	50
l	10,000	19,999	29,998	39,995	49,990
d	5,000	10,000	15,000	19,999	24,998
y _l	0,030	0,121	0,273	0,485	0,757
Δ R	0,008	0,030	0,068	0,121	0,189
e	3,333	6,666	9,997	13,826	16,653
τ _l	0° 31' 15,1"	1° 02' 30,3"	1° 33' 45,4"	2° 05' 00,5"	2° 36' 15,7"
ω _l	0° 10' 25,1"	0° 20' 50,1"	0° 31' 15,1"	0° 41' 40,2"	0° 52' 05,2"
φ _l	0° 20' 50,0"	0° 41' 40,2"	1° 02' 30,3"	1° 23' 20,3"	1° 44' 10,5"
x = 10	0,030	0,015	0,010	0,008	0,006
20	0,212	0,121	0,081	0,061	0,048
30		0,394	0,273	0,205	0,164
40			0,637	0,485	0,388
50				0,940	0,758
60					1,304

R = 550

R	550				
L	60	70	80	90	100
<i>l</i>	59,982	69,972	79,958	89,940	99,917
<i>d</i>	29,997	34,995	39,993	44,990	49,986
<i>y_l</i>	1,091	1,484	1,939	2,453	3,029
ΔR	0,273	0,371	0,485	0,613	0,757
<i>e</i>	19,976	23,295	26,610	29,919	33,222
<i>τ_l</i>	3°07'30,8"	3°38'45,9"	4°10'01,1"	4°41'16,2"	5°12'31,4"
<i>ω_l</i>	1°02'30,2"	1°12'55,2"	1°23'20,1"	1°33'45,1"	1°44'10,0"
<i>φ_l</i>	2°05'00,6"	2°25'50,7"	2°46'41,0"	3°07'31,1"	3°28'21,4"

x = 10	0,005	0,004	0,004	0,003	0,003
20	0,040	0,035	0,030	0,027	0,024
30	0,136	0,117	0,102	0,091	0,082
40	0,323	0,277	0,242	0,216	0,194
50	0,632	0,541	0,474	0,421	0,379
60	1,092	0,936	0,818	0,727	0,655
70	1,729	1,486	1,300	1,156	1,040
80		2,216	1,942	1,726	1,553
90			2,763	2,458	2,212
100				3,371	3,036
110					4,041

R = 550

R	550				
L	110	120	130	140	150
<i>l</i>	109,890	119,857	129,819	139,773	149,721
<i>d</i>	54,982	59,976	64,970	69,962	74,954
<i>y_l</i>	3,664	4,360	5,116	5,933	6,809
ΔR	0,916	1,090	1,280	1,484	1,704
<i>e</i>	36,518	39,807	43,088	46,361	49,624
<i>τ_l</i>	5°43'46,5"	6°15'01,6"	6°46'16,8"	7°17'31,9"	7°48'47,0"
<i>ω_l</i>	1°54'34,9"	2°04'59,8"	2°15'24,6"	2°25'49,4"	2°36'14,2"
<i>φ_l</i>	3°49'11,6"	4°10'01,8"	4°30'52,2"	4°51'42,5"	5°12'32,8"
x = 10	0,003	0,003	0,002	0,002	0,002
20	0,022	0,020	0,019	0,017	0,016
30	0,074	0,068	0,063	0,058	0,055
40	0,176	0,162	0,149	0,139	0,129
50	0,344	0,316	0,291	0,271	0,253
60	0,595	0,546	0,504	0,468	0,436
70	0,945	0,866	0,800	0,743	0,693
80	1,411	1,294	1,194	1,109	1,035
90	2,010	1,842	1,701	1,579	1,474
100	2,759	2,529	2,334	2,167	2,022
110	3,675	3,368	3,108	2,885	2,692
120	4,773	4,376	4,037	3,748	3,497
130		5,566	5,138	4,769	4,449
140			6,421	5,962	5,561
150				7,339	6,847
160					8,319

R = 550

R	550				
L	160	170	180	190	200
<i>l</i>	159,662	169,594	179,519	189,434	199,340
<i>d</i>	79,944	84,932	89,920	94,906	99,890
<i>y_l</i>	7,746	8,743	9,799	10,916	12,098
ΔR	1,938	2,188	2,452	2,732	3,027
<i>e</i>	52,877	56,119	59,350	62,569	65,775
τ_l	8°20'02,2"	8°51'17,3"	9°22'32,4"	9°53'47,6"	10°25'02,7"
ω_l	2°46'38,9"	2°57'03,6"	3°07'28,3"	3°17'52,8"	3°28'17,4"
φ_l	5°33'23,3"	5°54'13,7"	6°15'04,1"	6°35'54,8"	6°56'45,3"
x = 10	0,002	0,002	0,002	0,002	0,002
20	0,015	0,014	0,013	0,013	0,012
30	0,051	0,048	0,045	0,043	0,041
40	0,121	0,114	0,108	0,102	0,097
50	0,237	0,223	0,210	0,199	0,189
60	0,409	0,385	0,364	0,345	0,327
70	0,650	0,612	0,578	0,547	0,520
80	0,970	0,913	0,862	0,817	0,776
90	1,381	1,300	1,228	1,163	1,105
100	1,895	1,784	1,684	1,596	1,516
110	2,524	2,375	2,243	2,124	2,018
120	3,278	3,084	2,913	2,759	2,621
130	4,170	3,924	3,705	3,509	3,333
140	5,212	4,904	4,630	4,385	4,165
150	6,416	6,036	5,699	5,397	5,126
160	7,795	7,333	6,922	6,555	6,225
170	9,361	8,806	8,312	7,870	7,474
180		10,466	9,879	9,353	8,881
190			11,634	11,015	10,457
200				12,866	12,214
210					14,161

R = 550

R	550				
L	210	220	230	240	250
<i>l</i>	209,236	219,122	228,997	238,860	248,712
<i>d</i>	104,873	109,854	114,833	119,810	124,785
<i>y_l</i>	13,329	14,625	15,980	17,395	18,870
ΔR	3,337	3,661	4,001	4,356	4,726
<i>e</i>	68,968	72,147	75,311	78,459	81,592
τ_l	10°56'17,8"	11°27'33,0"	11°58'48,1"	12°30'03,2"	13°01'18,4"
ω_l	3°38'41,9"	3°49'06,3"	3°59'30,7"	4°09'55,0"	4°20'19,3"
φ_l	7°17'35,9"	7°38'26,7"	7°59'17,4"	8°20'08,2"	8°40'59,1"
x = 10	0,001	0,001	0,001	0,001	0,001
20	0,012	0,011	0,011	0,010	0,010
30	0,039	0,037	0,036	0,034	0,033
40	0,092	0,088	0,084	0,081	0,078
50	0,180	0,172	0,165	0,158	0,152
60	0,312	0,298	0,285	0,273	0,262
70	0,495	0,472	0,452	0,433	0,416
80	0,739	0,705	0,675	0,647	0,621
90	1,052	1,004	0,961	0,921	0,884
100	1,444	1,378	1,318	1,263	1,212
110	1,922	1,834	1,755	1,681	1,614
120	2,496	2,382	2,278	2,183	2,096
130	3,174	3,030	2,898	2,777	2,665
140	3,966	3,785	3,620	3,469	3,330
150	4,881	4,658	4,455	4,268	4,097
160	5,927	5,656	5,409	5,183	4,975
170	7,115	6,789	6,492	6,220	5,970
180	8,454	8,066	7,713	7,389	7,092
190	9,954	9,496	9,079	8,698	8,347
200	11,624	11,089	10,601	10,155	9,744
210	13,477	12,855	12,288	11,769	11,292
220	15,521	14,804	14,149	13,550	13,000
230		16,945	16,194	15,506	14,875
240			18,433	17,649	16,928
250				19,987	19,169
260					21,606

R = 600

R	600					
	L	10	20	30	40	50
<i>l</i>	10,000	19,999	29,998	39,996	49,991	
<i>d</i>	5,000	10,000	15,000	19,999	24,999	
<i>y_l</i>	0,028	0,111	0,250	0,444	0,694	
<i>A R</i>	0,007	0,028	0,063	0,111	0,174	
<i>e</i>	3,333	6,666	9,998	13,327	16,655	
<i>τ_l</i>	0° 28' 38,9"	0° 57' 17,8"	1° 25' 56,6"	1° 54' 35,5"	2° 23' 14,4"	
<i>ω_l</i>	0° 09' 33,0"	0° 19' 05,9"	0° 28' 38,9"	0° 38' 11,8"	0° 47' 44,7"	
<i>φ_l</i>	0° 19' 05,9"	0° 38' 11,9"	0° 57' 17,7"	1° 16' 28,7"	1° 35' 29,7"	
x = 10	0,028	0,014	0,009	0,007	0,006	
20	0,194	0,111	0,074	0,056	0,044	
30		0,361	0,250	0,188	0,150	
40			0,584	0,445	0,356	
50				0,862	0,695	
60					1,195	

R = 600

R	600					
	L	60	70	80	90	100
<i>l</i>	59,985	69,976	79,964	89,949	99,931	
<i>d</i>	29,998	34,996	39,994	44,992	49,988	
<i>y_l</i>	1,000	1,361	1,777	2,249	2,776	
<i>A R</i>	0,250	0,340	0,444	0,562	0,694	
<i>e</i>	19,980	23,301	26,619	29,932	33,240	
<i>τ_l</i>	2° 51' 53,2"	3° 20' 32,1"	3° 49' 11,0"	4° 17' 49,9"	4° 46' 28,7"	
<i>ω_l</i>	0° 57' 17,7"	1° 06' 50,6"	1° 16' 23,5"	1° 25' 56,4"	1° 35' 29,2"	
<i>φ_l</i>	1° 54' 35,5"	2° 13' 41,5"	2° 32' 47,5"	2° 51' 53,5"	3° 10' 59,5"	
x = 10	0,005	0,004	0,003	0,003	0,003	0,003
20	0,037	0,032	0,028	0,025	0,022	
30	0,125	0,107	0,094	0,083	0,075	
40	0,296	0,254	0,222	0,197	0,178	
50	0,579	0,496	0,434	0,386	0,347	
60	1,001	0,858	0,750	0,667	0,600	
70	1,585	1,362	1,192	1,059	0,953	
80		2,030	1,780	1,582	1,423	
90			2,532	2,253	2,027	
100				3,089	2,782	
110					3,703	

R = 600

R	600				
L	110	120	130	140	150
<i>l</i>	109,908	119,880	129,848	139,810	149,766
<i>d</i>	54,985	59,980	64,975	69,968	74,961
<i>y_l</i>	3,359	3,997	4,691	5,439	6,243
ΔR	0,840	1,000	1,173	1,360	1,562
<i>e</i>	36,542	39,838	43,128	46,410	49,684
τ_l	5° 15' 07,6"	5° 43' 46,5"	6° 12' 25,4"	6° 41' 04,2"	7° 09' 43,1"
ω_l	1° 45' 02,1"	1° 54' 34,9"	2° 04' 07,7"	2° 13' 40,5"	2° 23' 13,2"
φ_l	3° 30' 05,5"	3° 49' 11,6"	4° 08' 17,7"	4° 27' 23,7"	4° 46' 29,9"
 <i>x</i> = 10	0,003	0,002	0,002	0,002	0,002
20	0,020	0,019	0,017	0,016	0,015
30	0,068	0,063	0,058	0,054	0,050
40	0,162	0,148	0,137	0,127	0,119
50	0,316	0,289	0,267	0,248	0,231
60	0,546	0,500	0,462	0,429	0,400
70	0,866	0,794	0,733	0,681	0,635
80	1,294	1,186	1,094	1,016	0,948
90	1,842	1,689	1,559	1,447	1,351
100	2,529	2,317	2,139	1,986	1,853
110	3,368	3,086	2,848	2,644	2,467
120	4,373	4,009	3,700	3,434	3,205
130		5,099	4,707	4,369	4,077
140			5,882	5,461	5,095
150				6,722	6,273
160					7,619

R = 600

R	600				
L	160	170	180	190	200
<i>l</i>	159,716	169,659	179,595	189,524	199,445
<i>d</i>	79,953	84,943	89,933	94,921	99,907
<i>y_l</i>	7,102	8,016	8,986	10,010	11,089
ΔR	1,777	2,006	2,248	2,505	2,775
<i>e</i>	52,950	56,206	59,454	62,691	65,917
τ_l	7° 38' 22,0"	8° 07' 00,9"	8° 35' 39,7"	9° 04' 18,6"	9° 32' 57,5"
ω_l	2° 32' 45,9"	2° 42' 18,6"	2° 51' 51,3"	3° 01' 23,9"	3° 10' 56,4"
φ_l	5° 05' 36,1"	5° 24' 42,8"	5° 43' 48,4"	6° 02' 54,7"	6° 22' 01,1"
 <i>x</i> = 10	0,002	0,002	0,002	0,001	0,001
20	0,014	0,013	0,012	0,012	0,011
30	0,047	0,044	0,042	0,039	0,038
40	0,111	0,105	0,099	0,094	0,089
50	0,217	0,204	0,193	0,183	0,174
60	0,375	0,353	0,333	0,316	0,300
70	0,596	0,561	0,529	0,502	0,476
80	0,889	0,837	0,790	0,749	0,711
90	1,266	1,192	1,125	1,068	1,013
100	1,737	1,635	1,544	1,463	1,389
110	2,313	2,177	2,055	1,947	1,850
120	3,004	2,827	2,669	2,529	2,402
130	3,821	3,596	3,395	3,216	3,055
140	4,775	4,493	4,243	4,018	3,817
150	5,878	5,580	5,221	4,945	4,697
160	7,140	6,717	6,341	6,006	5,704
170	8,572	8,065	7,618	7,209	6,846
180		9,583	9,047	8,566	8,134
190			10,652	10,086	9,576
200				11,778	11,183
210					12,962

K = 600

R	600					
	L	210	220	230	240	250
<i>l</i>	209,358	219,262	229,157	239,042	248,917	
<i>d</i>	104,893	109,877	114,859	119,840	124,819	
<i>y_l</i>	12,223	13,412	14,656	15,954	17,307	
ΔR	3,059	3,357	3,669	3,994	4,333	
<i>e</i>	69,133	72,386	75,527	78,705	81,870	
τ_l	10°01'36,3"	10°30'15,2"	10°58'54,1"	11°27'33,0"	11°56'11,8"	
ω_l	3°20'29,0"	3°30'01,5"	3°39'33,9"	3°49'06,3"	3°58'38,7"	
φ_l	6°41'07,3"	7°00'13,7"	7°19'20,2"	7°38'26,7"	7°57'33,1"	
 <i>x</i> = 10	0,001	0,001	0,001	0,001	0,001	
20	0,011	0,010	0,010	0,009	0,009	
30	0,086	0,084	0,083	0,081	0,080	
40	0,085	0,081	0,077	0,074	0,071	
50	0,165	0,158	0,151	0,145	0,139	
60	0,286	0,273	0,261	0,250	0,240	
70	0,454	0,433	0,414	0,397	0,381	
80	0,677	0,647	0,618	0,593	0,569	
90	0,965	0,921	0,881	0,844	0,810	
100	1,823	1,263	1,208	1,158	1,111	
110	1,762	1,681	1,608	1,541	1,479	
120	2,287	2,183	2,088	2,001	1,921	
130	2,909	2,777	2,656	2,545	2,443	
140	3,635	3,469	3,318	3,179	3,052	
150	4,472	4,268	4,082	3,912	3,755	
160	5,431	5,183	4,957	4,749	4,559	
170	6,518	6,220	5,949	5,700	5,471	
180	7,744	7,389	7,066	6,770	6,497	
190	9,116	8,698	8,316	7,967	7,647	
200	10,644	10,155	9,709	9,300	8,925	
210	12,337	11,769	11,251	10,777	10,341	
220	14,204	13,550	12,952	12,405	11,902	
230		15,505	14,820	14,193	13,617	
240			16,149	15,492		
250				18,282	17,537	
260					19,760	

R	650					
	L	10	20	30	40	50
<i>l</i>	10,000	20,000	29,998	39,996	49,993	
<i>d</i>	5,000	10,000	15,000	19,999	24,999	
<i>y_l</i>	0,026	0,103	0,281	0,410	0,641	
ΔR	0,006	0,026	0,058	0,103	0,160	
<i>e</i>	3,333	6,666	9,998	13,328	16,657	
τ_l	0°26'26,7"	0°52'53,3"	1°19'20,0"	1°45'46,6"	2°12'13,3"	
ω_l	0°08'48,9"	0°17'37,8"	0°26'26,6"	0°35'15,5"	0°44'04,4"	
φ_l	0°17'37,8"	0°35'15,5"	0°52'53,4"	1°10'31,1"	1°28'08,9"	

x = 10	0,026	0,013	0,009	0,006	0,005
20	0,180	0,103	0,068	0,051	0,041
30		0,388	0,231	0,173	0,138
40			0,539	0,410	0,328
50				0,795	0,641
60					1,103

R = 650

R	650				
L	60	70	80	90	100
<i>l</i>	59,987	69,980	79,970	89,957	99,941
<i>d</i>	29,998	34,997	39,995	44,993	49,990
<i>y_l</i>	0,923	1,256	1,641	2,076	2,563
ΔR	0,231	0,314	0,410	0,519	0,641
<i>e</i>	19,983	23,306	26,626	29,942	33,254
τ_l	2°38'39,9"	3°05'06,6"	3°31'33,2"	3°57'59,9"	4°24'26,5"
ω_l	0°52'53,3"	1°01'42,1"	1°10'30,9"	1°19'19,8"	1°28'08,6"
φ_l	1°45'46,6"	2°03'24,5"	2°21'02,3"	2°38'40,1"	2°56'17,9"

x = 10	0,004	0,004	0,003	0,003	0,003
20	0,034	0,029	0,026	0,023	0,021
30	0,115	0,099	0,087	0,077	0,069
40	0,274	0,234	0,205	0,182	0,164
50	0,534	0,458	0,401	0,356	0,321
60	0,924	0,791	0,692	0,616	0,554
70	1,463	1,257	1,100	0,978	0,880
80		1,874	1,643	1,460	1,314
90			2,337	2,079	1,871
100				2,851	2,568
110					3,417

R = 650

R	650				
L	110	120	130	140	150
<i>l</i>	109,921	119,898	129,870	139,838	149,800
<i>d</i>	54,987	59,983	64,978	69,973	74,967
<i>y_l</i>	3,101	3,690	4,330	5,021	5,764
ΔR	0,775	0,923	1,083	1,256	1,442
<i>e</i>	36,560	39,862	43,158	46,448	49,731
τ_l	4°50'53,2"	5°17'19,8"	5°43'46,5"	6°10'18,1"	6°36'39,8"
ω_l	1°36'57,4"	1°45'46,2"	1°54'34,9"	2°03'23,7"	2°12'12,4"
φ_l	3°13'55,8"	3°31'33,6"	3°49'11,6"	4°06'49,4"	4°24'27,4"

x = 10	0,002	0,002	0,002	0,002	0,002
20	0,019	0,017	0,016	0,015	0,014
30	0,063	0,058	0,058	0,049	0,046
40	0,149	0,137	0,126	0,117	0,109
50	0,291	0,267	0,247	0,229	0,214
60	0,504	0,462	0,426	0,396	0,369
70	0,800	0,733	0,677	0,628	0,586
80	1,194	1,094	1,010	0,938	0,875
90	1,701	1,559	1,439	1,386	1,247
100	2,334	2,139	1,974	1,833	1,710
110	3,108	2,848	2,628	2,440	2,277
120	4,035	3,699	3,414	4,169	2,958
130		4,705	4,343	4,032	3,762
140			5,427	5,039	4,701
150				6,201	5,787
160					7,028

$R = 650$		650				
R	L	160	170	180	190	200
l	159,758	169,710	179,655	189,595	199,527	
d	79,960	84,952	89,943	94,932	99,921	
y_l	6,557	7,401	8,296	9,242	10,239	
ΔR	1,640	1,851	2,076	2,312	2,562	
e	53,006	56,275	59,534	62,786	66,028	
ω_l	7°03'06,4"	7°29'33,1"	7°55'59,7"	8°22'26,4"	8°48'53,1"	
φ_l	2°21'01,1"	2°29'49,7"	2°38'38,4"	2°47'27,0"	2°56'15,6"	
x_l	4°42'05,3"	4°59'43,4"	5°17'21,3"	5°34'59,4"	5°52'37,5"	
α_l						
$x = 10$	0,002	0,002	0,001	0,001	0,001	
$x = 20$	0,013	0,012	0,011	0,011	0,010	
$x = 30$	0,043	0,041	0,038	0,036	0,035	
$x = 40$	0,103	0,097	0,091	0,086	0,082	
$x = 50$	0,200	0,189	0,178	0,169	0,160	
$x = 60$	0,346	0,326	0,308	0,292	0,277	
$x = 70$	0,550	0,517	0,489	0,463	0,440	
$x = 80$	0,821	0,772	0,729	0,691	0,657	
$x = 90$	1,169	1,100	1,039	0,984	0,935	
$x = 100$	1,603	1,509	1,425	1,350	1,282	
$x = 110$	2,135	2,009	1,897	1,797	1,707	
$x = 120$	2,772	2,609	2,464	2,334	2,217	
$x = 130$	3,526	3,318	3,133	2,968	2,819	
$x = 140$	4,406	4,146	3,915	3,708	3,523	
$x = 150$	5,423	5,103	4,818	4,563	4,384	
$x = 160$	6,587	6,197	5,851	5,541	5,263	
$x = 170$	7,907	7,439	7,023	6,651	6,317	
$x = 180$		8,838	8,344	7,902	7,504	
$x = 190$			9,828	9,302	8,833	
$x = 200$				10,860	10,313	
$x = 210$					11,951	

R	650				
L	210	220	230	240	250
l	209,453	219,371	229,281	239,183	249,077
d	104,909	109,895	114,880	119,864	124,846
y_l	11,287	12,385	13,534	14,733	15,983
ΔR	2,824	3,099	3,387	3,688	4,001
e	69,261	72,483	75,696	78,897	82,086
τ_l	9°15'19,7"	9°41'46,4"	10°08'13,0"	10°34'39,7"	11°01'06,3"
ω_l	3°05'04,1"	3°13'52,6"	3°22'41,1"	3°31'29,6"	3°40'18,0"
φ_l	6°10'15,6"	6°27'53,8"	6°45'31,9"	7°03'10,1"	7°20'48,3"
$x = 10$	0,001	0,001	0,001	0,001	0,001
$x = 20$	0,010	0,009	0,009	0,009	0,008
$x = 30$	0,033	0,031	0,030	0,029	0,028
$x = 40$	0,078	0,075	0,071	0,068	0,066
$x = 50$	0,153	0,146	0,139	0,134	0,128
$x = 60$	0,264	0,252	0,241	0,231	0,222
$x = 70$	0,419	0,400	0,382	0,366	0,352
$x = 80$	0,625	0,597	0,571	0,547	0,525
$x = 90$	0,890	0,850	0,813	0,779	0,748
$x = 100$	1,221	1,166	1,115	1,069	1,026
$x = 110$	1,626	1,552	1,484	1,422	1,366
$x = 120$	2,111	2,015	1,927	1,847	1,773
$x = 130$	2,685	2,563	2,451	2,349	2,255
$x = 140$	3,354	3,202	3,062	2,934	2,817
$x = 150$	4,127	3,939	3,767	3,610	3,465
$x = 160$	5,011	4,783	4,574	4,383	4,207
$x = 170$	6,014	5,740	5,489	5,259	5,048
$x = 180$	7,144	6,817	6,519	6,246	5,995
$x = 190$	8,409	8,024	7,672	7,351	7,055
$x = 200$	9,816	9,366	8,955	8,579	8,234
$x = 210$	11,376	10,853	10,376	9,940	9,539
$x = 220$	13,095	12,493	11,943	11,439	10,977
$x = 230$		14,292	13,663	13,086	12,556
$x = 240$			15,543	14,886	14,282
$x = 250$				16,848	16,164
$x = 260$					18,208

R = 700

R	700				
L	10	20	30	40	50
<i>l</i>	10,000	20,000	29,999	39,997	49,994
<i>d</i>	5,000	10,000	15,000	19,999	24,999
<i>y_l</i>	0,024	0,095	0,214	0,381	0,595
ΔR	0,006	0,024	0,054	0,095	0,149
<i>e</i>	3,333	6,666	9,998	13,329	16,658
τ_l	0° 24' 33,3"	0° 49' 06,6"	1° 13' 40,0"	1° 38' 13,3"	2° 02' 46,6"
ω_l	0° 08' 11,1"	0° 16' 22,2"	0° 24' 33,3"	0° 32' 44,4"	0° 40' 55,5"
φ_l	0° 16' 22,2"	0° 32' 44,4"	0° 49' 06,7"	1° 05' 28,9"	1° 21' 51,1"
x = 10	0,024	0,012	0,008	0,006	0,005
20	0,167	0,095	0,063	0,048	0,038
30		0,310	0,214	0,161	0,129
40			0,500	0,381	0,305
50				0,738	0,595
60					1,024

R = 700

R	700				
L	60	70	80	90	100
<i>l</i>	59,989	69,983	79,974	89,963	99,949
<i>d</i>	29,998	34,997	39,996	44,994	49,992
<i>y_l</i>	0,857	1,166	1,523	1,928	2,380
ΔR	0,214	0,292	0,381	0,482	0,595
<i>e</i>	19,985	23,810	26,681	29,950	33,264
τ_l	2° 27' 19,9"	2° 51' 53,2"	3° 16' 26,6"	3° 40' 59,9"	4° 05' 33,2"
ω_l	0° 49' 06,6"	0° 57' 17,7"	1° 05' 28,8"	1° 13' 39,8"	1° 21' 50,9"
φ_l	1° 38' 13,3"	1° 54' 35,5"	2° 10' 57,8"	2° 27' 20,1"	2° 43' 42,3"
x = 10	0,004	0,003	0,003	0,003	0,002
20	0,032	0,027	0,024	0,021	0,019
30	0,107	0,092	0,080	0,071	0,064
40	0,254	0,218	0,190	0,169	0,152
50	0,496	0,425	0,372	0,331	0,298
60	0,857	0,735	0,648	0,572	0,514
70	1,358	1,167	1,021	0,908	0,817
80		1,740	1,525	1,355	1,220
90			2,169	1,930	1,797
100				2,647	2,384
110					3,172

R = 700

R	700					
	L	110	120	130	140	150
<i>l</i>	109,932	119,912	129,888	139,860	149,828	
<i>d</i>	54,989	59,985	64,981	69,977	74,971	
<i>y_l</i>	2,880	3,427	4,021	4,663	5,353	
ΔR	0,720	0,857	1,006	1,166	1,339	
<i>e</i>	36,575	39,881	43,182	46,478	49,768	
<i>r_l</i>	4° 30' 06,5"	4° 54' 39,8"	5° 19' 13,2"	5° 43' 46,5"	6° 08' 19,8"	
<i>w_l</i>	1° 30' 01,9"	1° 38' 12,9"	1° 46' 23,9"	1° 54' 34,9"	2° 02' 45,9"	
<i>q_l</i>	3° 00' 04,6"	3° 16' 26,9"	3° 32' 49,3"	3° 49' 11,6"	4° 05' 33,9"	
x = 10	0,002	0,002	0,002	0,002	0,002	
20	0,017	0,016	0,015	0,014	0,013	
30	0,058	0,054	0,049	0,046	0,043	
40	0,139	0,127	0,117	0,109	0,102	
50	0,271	0,248	0,229	0,213	0,198	
60	0,468	0,429	0,396	0,367	0,343	
70	0,743	0,681	0,628	0,583	0,545	
80	1,109	1,016	0,938	0,871	0,813	
90	1,579	1,447	1,336	1,240	1,158	
100	2,167	1,986	1,833	1,702	1,588	
110	2,885	2,644	2,440	2,266	2,114	
120	3,746	3,434	3,169	2,942	2,746	
130		4,867	4,032	3,743	3,492	
140			5,037	4,677	4,364	
150				5,755	5,371	
160					6,522	

R = 700

R	700					
	L	160	170	180	190	200
<i>l</i>	159,791	169,750	179,703	189,650	199,592	
<i>d</i>	79,965	84,958	89,950	94,942	99,932	
<i>y_l</i>	6,090	6,874	7,705	8,584	9,510	
ΔR	1,523	1,719	1,927	2,147	2,379	
<i>e</i>	53,051	56,329	59,599	62,861	66,116	
<i>r_l</i>	6° 32' 53,1"	6° 57' 26,4"	7° 21' 59,8"	7° 46' 33,1"	8° 11' 06,4"	
<i>w_l</i>	2° 10' 56,8"	2° 19' 07,8"	2° 27' 18,7"	2° 35' 29,6"	2° 43' 40,4"	
<i>q_l</i>	4° 21' 56,3"	4° 38' 18,6"	4° 54' 41,1"	5° 11' 03,5"	5° 27' 26,0"	
x = 10	0,001	0,001	0,001	0,001	0,001	
20	0,012	0,011	0,011	0,010	0,010	
30	0,040	0,038	0,036	0,034	0,032	
40	0,095	0,090	0,085	0,080	0,076	
50	0,186	0,175	0,165	0,157	0,149	
60	0,321	0,303	0,286	0,271	0,257	
70	0,510	0,480	0,454	0,430	0,408	
80	0,762	0,717	0,677	0,642	0,610	
90	1,085	1,021	0,965	0,914	0,868	
100	1,489	1,401	1,323	1,254	1,191	
110	1,982	1,865	1,762	1,669	1,585	
120	2,574	2,422	2,287	2,166	2,058	
130	3,274	3,081	2,909	2,756	2,618	
140	4,091	3,849	3,635	3,443	3,270	
150	5,034	4,737	4,472	4,236	4,024	
160	6,114	5,752	5,431	5,144	4,886	
170	7,337	6,904	6,518	6,173	5,863	
180		8,201	7,744	7,353	6,964	
190			9,114	8,632	8,197	
200				10,076	9,569	
210					11,087	

R = 700

R	700				
L	210	220	230	240	250
<i>l</i>	209,528	219,457	229,380	239,296	249,204
<i>d</i>	104,921	109,910	114,897	119,883	124,867
<i>y_l</i>	10,483	11,504	12,571	13,686	14,847
ΔR	2,623	2,878	3,146	3,425	3,716
<i>e</i>	69,363	72,601	75,829	79,049	82,258
τ_l	8°35'39,7"	9°00'13,0"	9°24'46,4"	9°49'19,7"	10°13'53,0"
ω_l	2°51'51,3"	3°00'02,1"	3°08'12,9"	3°16'23,6"	3°24'34,4"
φ_l	5°43'48,4"	6°00'10,9"	6°16'33,5"	6°32'56,1"	6°49'18,6"
<i>x</i> = 10	0,001	0,001	0,001	0,001	0,001
20	0,009	0,009	0,008	0,008	0,008
30	0,031	0,029	0,028	0,027	0,026
40	0,073	0,069	0,066	0,063	0,061
50	0,142	0,135	0,129	0,124	0,119
60	0,245	0,234	0,224	0,214	0,206
70	0,389	0,371	0,355	0,340	0,327
80	0,581	0,554	0,530	0,508	0,488
90	0,827	0,789	0,755	0,723	0,694
100	1,134	1,083	1,035	0,992	0,953
110	1,510	1,441	1,378	1,321	1,268
120	1,960	1,871	1,790	1,715	1,646
130	2,493	2,379	2,276	2,181	2,093
140	3,114	2,972	2,843	2,724	2,615
150	3,882	3,657	3,498	3,352	3,217
160	4,652	4,440	4,246	4,069	3,906
170	5,583	5,328	5,095	4,882	4,686
180	6,631	6,328	6,051	5,798	5,565
190	7,804	7,447	7,121	6,823	6,548
200	9,109	8,692	8,311	7,962	7,642
210	10,555	10,070	9,628	9,224	8,852
220	12,147	11,590	11,080	10,614	10,186
230		13,256	12,674	12,140	11,649
240			14,416	13,808	13,248
250				15,624	14,991
260					16,884

R = 750

R	750				
L	10	20	30	40	50
<i>l</i>	10,000	20,000	29,999	39,997	49,994
<i>d</i>	5,000	10,000	15,000	20,000	24,999
<i>y_l</i>	0,022	0,089	0,200	0,356	0,556
ΔR	0,005	0,022	0,050	0,089	0,139
<i>e</i>	3,383	6,666	9,998	13,330	16,659
τ_l	0°22'55,1"	0°45'50,2"	1°08'45,3"	1°31'40,4"	1°54'35,5"
ω_l	0°07'38,4"	0°15'16,7"	0°22'55,1"	0°30'33,5"	0°38'11,8"
φ_l	0°15'16,7"	0°30'33,5"	0°45'50,2"	1°01'06,9"	1°16'23,7"
<i>x</i> = 10	0,022	0,011	0,007	0,006	0,004
20	0,155	0,089	0,059	0,044	0,036
30		0,289	0,200	0,150	0,120
40			0,467	0,356	0,284
50				0,689	0,556
60					0,956

R = 750

R	750				
L	60	70	80	90	100
<i>l</i>	59,990	69,985	79,977	89,968	99,956
<i>d</i>	29,998	34,997	39,996	44,995	49,993
<i>y_l</i>	0,800	1,089	1,422	1,800	2,222
ΔR	0,200	0,272	0,355	0,450	0,556
<i>e</i>	19,987	23,313	26,636	29,956	33,273
τ_l	2° 17' 30,6"	2° 40' 25,7"	3° 03' 20,8"	3° 26' 15,9"	3° 49' 11,0"
ω_l	0° 45' 50,2"	0° 53' 28,5"	1° 01' 06,9"	1° 08' 45,2"	1° 16' 23,5"
φ_l	1° 31' 40,4"	1° 46' 57,2"	2° 02' 13,9"	2° 17' 30,7"	2° 32' 47,5"
$x = 10$	0,004	0,003	0,003	0,002	0,002
20	0,030	0,025	0,022	0,020	0,018
30	0,100	0,086	0,075	0,067	0,060
40	0,237	0,203	0,178	0,158	0,142
50	0,463	0,397	0,347	0,309	0,278
60	0,800	0,686	0,600	0,533	0,480
70	1,268	1,089	0,953	0,847	0,762
80		1,623	1,423	1,265	1,138
90			2,024	1,801	1,621
100				2,470	2,224
110					2,960

R = 750

R	750				
L	110	120	130	140	150
<i>l</i>	109,941	119,923	129,902	139,878	149,850
<i>d</i>	54,990	59,987	64,984	69,980	74,975
<i>y_l</i>	2,688	3,199	3,754	4,353	4,996
ΔR	0,672	0,800	0,939	1,088	1,250
<i>e</i>	36,587	39,896	43,202	46,502	49,798
τ_l	4° 12' 06,1"	4° 35' 01,2"	4° 57' 56,3"	5° 20' 51,4"	5° 43' 46,5"
ω_l	1° 24' 01,8"	1° 31' 40,1"	1° 39' 18,4"	1° 46' 56,7"	1° 54' 34,9"
φ_l	2° 48' 04,3"	3° 03' 21,1"	3° 18' 37,9"	3° 33' 54,7"	3° 49' 11,6"
$x = 10$	0,002	0,002	0,002	0,002	0,001
20	0,016	0,015	0,014	0,013	0,012
30	0,055	0,050	0,046	0,043	0,040
40	0,129	0,119	0,109	0,102	0,095
50	0,253	0,231	0,214	0,198	0,185
60	0,436	0,400	0,369	0,343	0,320
70	0,693	0,635	0,586	0,545	0,508
80	1,035	0,948	0,875	0,813	0,759
90	1,474	1,351	1,247	1,158	1,080
100	2,022	1,853	1,710	1,588	1,482
110	2,692	2,467	2,277	2,114	1,973
120	3,495	3,205	2,958	2,746	2,562
130		4,075	3,762	3,492	3,259
140			4,700	4,364	4,072
150				5,369	5,012
160					6,085

R = 750

R	750				
L	160	170	180	190	200
<i>l</i>	159,818	169,782	179,741	189,695	199,645
<i>d</i>	79,970	84,964	89,957	94,949	99,941
<i>y_l</i>	5,684	6,416	7,193	8,013	8,878
ΔR	1,422	1,605	1,799	2,004	2,221
<i>e</i>	58,088	56,372	59,650	62,922	66,187
τ_l	6°06'41,6"	6°29'36,7"	6°52'31,8"	7°15'26,9"	7°38'22,0"
ω_l	2°02'13,2"	2°09'51,4"	2°17'29,6"	2°25'07,8"	2°32'45,9"
φ_l	4°04'28,4"	4°19'45,3"	4°35'02,2"	4°50'19,1"	5°05'36,1"
 <i>x</i> = 10	0,001	0,001	0,001	0,001	0,001
20	0,011	0,010	0,010	0,009	0,009
30	0,038	0,035	0,033	0,032	0,030
40	0,089	0,084	0,079	0,075	0,071
50	0,174	0,163	0,154	0,146	0,139
60	0,300	0,282	0,267	0,253	0,240
70	0,476	0,448	0,423	0,401	0,381
80	0,711	0,669	0,632	0,599	0,569
90	1,013	0,953	0,900	0,858	0,810
100	1,389	1,308	1,235	1,170	1,111
110	1,850	1,741	1,644	1,557	1,479
120	2,402	2,260	2,135	2,022	1,921
130	3,055	2,875	2,715	2,572	2,443
140	3,817	3,592	3,392	3,213	3,052
150	4,697	4,420	4,173	3,953	3,755
160	5,704	5,367	5,067	4,800	4,559
170	6,845	6,441	6,081	5,760	5,471
180		7,651	7,224	6,841	6,497
190			8,502	8,052	7,647
200				9,398	8,925
210					10,340

R = 750

R	750				
L	210	220	230	240	250
<i>l</i>	209,589	219,527	229,460	239,386	249,306
<i>d</i>	104,931	109,921	114,910	119,898	124,884
<i>y_l</i>	9,786	10,739	11,736	12,777	13,861
ΔR	2,448	2,687	2,986	3,197	3,469
<i>e</i>	69,445	72,695	75,937	79,171	82,397
τ_l	8°01'17,1"	8°24'12,2"	8°47'07,3"	9°10'02,4"	9°32'57,5"
ω_l	2°40'24,1"	2°48'02,2"	2°55'40,3"	3°03'18,4"	3°10'56,4"
φ_l	5°20'53,0"	5°36'10,0"	5°51'27,0"	6°06'44,0"	6°22'01,1"
 <i>x</i> = 10	0,001	0,001	0,001	0,001	0,001
20	0,008	0,008	0,008	0,007	0,007
30	0,029	0,027	0,026	0,025	0,024
40	0,068	0,065	0,062	0,059	0,057
50	0,132	0,126	0,121	0,116	0,111
60	0,229	0,218	0,209	0,200	0,192
70	0,363	0,346	0,331	0,318	0,305
80	0,542	0,517	0,495	0,474	0,455
90	0,772	0,736	0,704	0,675	0,648
100	1,058	1,010	0,966	0,926	0,889
110	1,409	1,345	1,286	1,233	1,188
120	1,829	1,746	1,670	1,601	1,537
130	2,326	2,221	2,124	2,035	1,954
140	2,906	2,774	2,653	2,542	2,441
150	3,576	3,413	3,264	3,128	3,002
160	4,341	4,143	3,962	3,797	3,645
170	5,209	4,971	4,755	4,556	4,378
180	6,186	5,904	5,646	5,410	5,193
190	7,280	6,947	6,644	6,366	6,110
200	8,497	8,108	7,753	7,428	7,180
210	9,844	9,393	8,982	8,605	8,258
220	11,328	10,809	10,335	9,900	9,501
230		12,362	11,820	11,322	10,865
240			13,442	12,876	12,355
250				14,568	13,978
260					15,740

R = 800

R	800					
	L	10	20	30	40	50
<i>l</i>	10,000	20,000	29,999	39,998	49,995	
<i>d</i>	5,000	10,000	15,000	20,000	24,999	
<i>y_l</i>	0,021	0,083	0,188	0,333	0,521	
ΔR	0,005	0,021	0,047	0,083	0,130	
<i>e</i>	3,333	6,666	9,999	13,330	16,660	
τ_l	0°21'29,2"	0°42'58,3"	1°04'27,5"	1°25'56,6"	1°47'25,8"	
ω_l	0°07'09,7"	0°14'19,4"	0°21'29,2"	0°28'38,9"	0°35'48,6"	
φ_l	0°14'19,5"	0°28'38,9"	0°42'58,3"	0°57'17,7"	1°11'37,2"	

x = 10	0,021	0,010	0,007	0,005	0,004
20	0,146	0,083	0,056	0,042	0,038
30		0,271	0,188	0,141	0,118
40			0,438	0,333	0,067
50				0,646	0,521
60					0,896

R = 800

R	800					
	L	60	70	80	90	100
<i>l</i>	59,992	69,987	79,980	89,972	99,961	
<i>d</i>	29,999	34,998	39,997	44,995	49,993	
<i>y_l</i>	0,750	1,021	1,333	1,687	2,083	
ΔR	0,188	0,255	0,333	0,422	0,521	
<i>e</i>	19,989	23,315	26,640	29,962	33,281	
τ_l	2°08'54,9"	2°30'24,1"	2°51'53,2"	3°13'22,4"	3°34'51,6"	
ω_l	0°42'58,3"	0°50'08,0"	0°57'17,7"	1°04'27,4"	1°11'37,0"	
φ_l	1°25'56,6"	1°40'16,1"	1°54'35,5"	2°08'55,0"	2°23'14,6"	

x = 10	0,003	0,003	0,003	0,002	0,002
20	0,028	0,024	0,021	0,019	0,017
30	0,094	0,080	0,070	0,063	0,056
40	0,222	0,190	0,167	0,148	0,133
50	0,434	0,372	0,326	0,289	0,260
60	0,750	0,643	0,563	0,500	0,450
70	1,188	1,021	0,894	0,794	0,715
80		1,522	1,334	1,186	1,067
90			1,897	1,689	1,520
100				2,315	2,085
110					2,774

R = 800

R	800				
L	110	120	130	140	150
<i>l</i>	109,948	119,933	129,914	139,898	149,868
<i>d</i>	54,991	59,989	64,986	69,982	74,978
<i>y_l</i>	2,520	2,999	3,519	4,081	4,685
ΔR	0,630	0,750	0,880	1,020	1,171
<i>e</i>	36,596	39,909	43,218	46,522	49,822
τ_l	3°56'20,7"	4°17'49,9"	4°39'19,0"	5°00'48,2"	5°22'17,3"
ω_l	1°18'46,7"	1°25'56,4"	1°33'06,0"	1°40'15,7"	1°47'25,3"
φ_l	2°37'34,0"	2°51'53,5"	3°06'13,0"	3°20'32,5"	3°34'52,0"
x = 10	0,002	0,002	0,002	0,001	0,001
20	0,015	0,014	0,013	0,012	0,011
30	0,051	0,047	0,043	0,040	0,038
40	0,121	0,111	0,103	0,095	0,089
50	0,237	0,217	0,200	0,186	0,174
60	0,409	0,375	0,346	0,321	0,300
70	0,650	0,596	0,550	0,510	0,476
80	0,970	0,889	0,821	0,762	0,711
90	1,381	1,266	1,169	1,085	1,013
100	1,895	1,737	1,603	1,489	1,389
110	2,523	2,313	2,135	1,982	1,850
120	3,276	3,004	2,772	2,574	2,402
130		3,819	3,526	3,274	3,055
140			4,405	4,090	3,817
150				5,032	4,697
160					5,702

R = 800

R	800				
L	160	170	180	190	200
<i>l</i>	159,840	169,808	179,772	189,732	199,688
<i>d</i>	79,973	84,968	89,962	94,955	99,948
<i>y_l</i>	5,330	6,016	6,744	7,513	8,324
ΔR	1,333	1,505	1,687	1,879	2,082
<i>e</i>	53,117	56,408	59,693	62,972	66,245
τ_l	5°43'46,5"	6°05'15,6"	6°26'44,8"	6°48'14,0"	7°09'43,1"
ω_l	1°54'34,9"	2°01'44,5"	2°08'54,1"	2°16'03,7"	2°23'13,2"
φ_l	3°49'11,6"	4°03'31,1"	4°17'50,7"	4°32'10,3"	4°46'29,9"
x = 10	0,001	0,001	0,001	0,001	0,001
20	0,010	0,010	0,009	0,009	0,008
30	0,035	0,033	0,031	0,030	0,028
40	0,083	0,078	0,074	0,070	0,067
50	0,163	0,153	0,145	0,137	0,130
60	0,281	0,265	0,250	0,237	0,225
70	0,447	0,420	0,397	0,376	0,357
80	0,667	0,628	0,593	0,561	0,533
90	0,949	0,894	0,844	0,799	0,759
100	1,303	1,226	1,158	1,097	1,042
110	1,734	1,632	1,541	1,460	1,387
120	2,252	2,119	2,001	1,896	1,801
130	2,864	2,695	2,545	2,411	2,290
140	3,578	3,367	3,179	3,012	2,861
150	4,402	4,143	3,912	3,705	3,520
160	5,346	5,030	4,749	4,499	4,273
170	6,415	6,037	5,700	5,398	5,127
180		7,169	6,770	6,411	6,089
190			7,966	7,545	7,166
200				8,806	8,363
210					9,688

R = 800

R	800					
	L	210	220	230	240	250
<i>l</i>	209,639	219,584	229,525	239,461	249,390	
<i>d</i>	104,940	109,931	114,921	119,910	124,898	
<i>y_l</i>	9,176	10,070	11,005	11,981	12,998	
ΔR	2,295	2,519	2,753	2,998	3,253	
<i>e</i>	69,512	72,772	76,026	79,272	82,510	
<i>τ_l</i>	7°31'12,3"	7°52'41,4"	8°14'10,6"	8°35'39,7"	8°57'08,9"	
<i>ω_l</i>	2°30'22,8"	2°37'32,3"	2°44'41,8"	2°51'51,3"	2°59'00,7"	
<i>φ_l</i>	5°00'49,5"	5°15'09,1"	5°29'28,8"	5°43'48,4"	5°58'08,2"	
<i>x</i> = 10	0,001	0,001	0,001	0,001	0,001	
20	0,008	0,008	0,007	0,007	0,007	
30	0,027	0,026	0,024	0,023	0,023	
40	0,063	0,061	0,058	0,056	0,053	
50	0,124	0,118	0,113	0,109	0,104	
60	0,214	0,205	0,196	0,188	0,180	
70	0,340	0,325	0,311	0,298	0,286	
80	0,508	0,485	0,464	0,444	0,427	
90	0,723	0,690	0,660	0,633	0,608	
100	0,992	0,947	0,906	0,868	0,833	
110	1,321	1,261	1,206	1,156	1,109	
120	1,715	1,687	1,566	1,500	1,440	
130	2,181	2,082	1,991	1,908	1,832	
140	2,724	2,600	2,487	2,383	2,288	
150	3,352	3,199	3,060	2,932	2,815	
160	4,069	3,883	3,714	3,559	3,417	
170	4,882	4,660	4,456	4,270	4,099	
180	5,798	5,533	5,292	5,071	4,867	
190	6,823	6,511	6,227	5,966	5,727	
200	7,962	7,598	7,266	6,962	6,682	
210	9,224	8,802	8,416	8,063	7,739	
220	10,613	10,127	9,683	9,277	8,903	
230		11,581	11,073	10,608	10,180	
240			12,592	12,063	11,575	
250				13,646	13,095	
260					14,743	

R = 850

R	850					
	L	10	20	30	40	50
<i>l</i>	10,000	20,000	29,999	39,998	49,996	
<i>d</i>	5,000	10,000	15,000	20,000	24,999	
<i>y_l</i>	0,020	0,078	0,176	0,314	0,490	
ΔR	0,005	0,020	0,044	0,078	0,122	
<i>e</i>	3,333	6,666	9,999	13,330	16,661	
<i>τ_l</i>	0°20'13,3"	0°40'26,6"	1°00'40,0"	1°20'53,3"	1°41'06,6"	
<i>ω_l</i>	0°06'44,5"	0°13'28,9"	0°20'13,3"	0°26'57,8"	0°33'42,2"	
<i>φ_l</i>	0°13'28,8"	0°26'57,7"	0°40'26,7"	0°53'55,5"	1°07'24,4"	
<i>x</i> = 10	0,020	0,010	0,007	0,005	0,004	
20	0,137	0,078	0,052	0,039	0,031	
30		0,255	0,176	0,132	0,106	
40			0,412	0,314	0,251	
50				0,608	0,490	
60					0,843	

R = 850

R	850				
L	60	70	80	90	100
<i>l</i>	59,993	69,988	79,982	89,975	99,965
<i>d</i>	29,999	34,998	39,997	44,996	49,994
<i>y_l</i>	0,706	0,961	1,255	1,588	1,960
ΔR	0,176	0,240	0,314	0,397	0,490
<i>e</i>	19,990	28,317	26,643	29,966	33,287
τ_l	2°01'19,9"	2°21'33,3"	2°41'46,6"	3°01'59,9"	3°22'13,2"
ω_l	0°40'26,6"	0°47'11,1"	0°53'55,5"	1°00'39,9"	1°07'24,3"
φ_l	1°20'53,3"	1°34'22,2"	1°47'51,1"	2°01'20,0"	2°14'48,9"

x = 10	0,003	0,003	0,002	0,002	0,002
20	0,026	0,022	0,020	0,017	0,016
30	0,088	0,076	0,066	0,059	0,053
40	0,209	0,179	0,157	0,139	0,125
50	0,409	0,350	0,306	0,272	0,245
60	0,706	0,605	0,529	0,471	0,424
70	1,118	0,961	0,841	0,747	0,673
80		1,432	1,255	1,116	1,004
90			1,786	1,589	1,430
100				2,178	1,962
110					2,611

R = 850

R	850				
L	110	120	130	140	150
<i>l</i>	109,954	119,940	129,924	189,905	149,888
<i>d</i>	54,992	59,990	64,987	69,984	74,981
<i>y_l</i>	2,372	2,823	3,312	3,841	4,409
ΔR	0,593	0,706	0,828	0,961	1,103
<i>e</i>	36,605	39,919	43,231	46,539	49,842
τ_l	3°42'26,6"	4°02'39,9"	4°22'53,2"	4°43'06,5"	5°08'19,8"
ω_l	1°14'08,7"	1°20'53,1"	1°27'37,5"	1°34'21,8"	1°41'06,2"
φ_l	2°28'17,9"	2°41'46,8"	2°55'15,7"	3°08'44,7"	3°22'13,6"

x = 10	0,002	0,002	0,002	0,001	0,001
20	0,014	0,013	0,012	0,011	0,010
30	0,048	0,044	0,041	0,038	0,035
40	0,114	0,105	0,097	0,090	0,084
50	0,223	0,204	0,189	0,175	0,163
60	0,385	0,353	0,326	0,303	0,282
70	0,612	0,561	0,517	0,480	0,448
80	0,913	0,837	0,772	0,717	0,669
90	1,300	1,192	1,100	1,021	0,953
100	1,784	1,635	1,509	1,401	1,308
110	2,375	2,177	2,009	1,865	1,741
120	3,083	2,827	2,609	2,422	2,260
130		3,594	3,318	3,081	2,875
140			4,145	3,849	3,592
150				4,735	4,420
160					5,365

R = 850

R	850				
L	160	170	180	190	200
t	159,858	169,830	179,798	189,768	199,723
d	79,976	84,972	89,966	94,960	99,954
y _t	5,016	5,663	6,348	7,072	7,835
Δ R	1,255	1,416	1,587	1,769	1,960
e	53,142	56,437	59,728	63,013	66,293
τ _t	5°23'33,2"	5°43'46,5"	6°08'59,8"	6°24'13,1"	6°44'26,5"
ω _t	1°47'50,6"	1°54'34,9"	2°01'19,3"	2°08'03,6"	2°14'47,9"
φ _t	3°35'42,6"	3°49'11,6"	4°02'40,5"	4°16'09,5"	4°29'38,6"

x = 10	0,001	0,001	0,001	0,001	0,001
20	0,010	0,009	0,009	0,008	0,008
30	0,033	0,031	0,029	0,028	0,026
40	0,078	0,074	0,070	0,066	0,063
50	0,153	0,144	0,136	0,129	0,123
60	0,265	0,249	0,235	0,223	0,212
70	0,420	0,396	0,374	0,354	0,336
80	0,628	0,591	0,558	0,528	0,502
90	0,894	0,841	0,794	0,752	0,715
100	1,226	1,154	1,090	1,032	0,981
110	1,632	1,536	1,450	1,374	1,305
120	2,119	1,994	1,883	1,784	1,695
130	2,695	2,536	2,395	2,269	2,155
140	3,367	3,168	2,992	2,834	2,692
150	4,143	3,898	3,681	3,487	3,312
160	5,030	4,733	4,469	4,233	4,021
170	6,035	5,680	5,363	5,079	4,825
180		6,745	6,369	6,032	5,730
190			7,494	7,099	6,742
200				8,284	7,868
210					9,114

R = 850

R	850				
L	210	220	230	240	250
t	209,680	219,632	229,579	239,522	249,460
d	104,947	109,939	114,930	119,920	124,910
y _t	8,638	9,479	10,359	11,278	12,236
Δ R	2,161	2,371	2,591	2,822	3,061
e	69,568	72,836	76,099	79,355	82,604
τ _t	7°04'39,8"	7°24'53,1"	7°45'06,4"	8°05'19,7"	8°25'33,1"
ω _t	2°21'32,2"	2°28'16,4"	2°35'00,7"	2°41'44,9"	2°48'29,2"
φ _t	4°43'07,6"	4°56'36,7"	5°10'05,7"	5°23'34,8"	5°37'03,9"

x = 10	0,001	0,001	0,001	0,001	0,001
20	0,007	0,007	0,007	0,007	0,006
30	0,025	0,024	0,023	0,022	0,021
40	0,060	0,057	0,055	0,052	0,050
50	0,117	0,111	0,107	0,102	0,098
60	0,202	0,193	0,184	0,176	0,169
70	0,320	0,306	0,292	0,280	0,269
80	0,478	0,456	0,437	0,418	0,402
90	0,681	0,650	0,622	0,596	0,572
100	0,934	0,891	0,853	0,817	0,784
110	1,243	1,187	1,135	1,088	1,044
120	1,614	1,541	1,474	1,412	1,356
130	2,052	1,959	1,874	1,796	1,724
140	2,564	2,447	2,341	2,243	2,153
150	3,154	3,011	2,879	2,759	2,649
160	3,829	3,655	3,495	3,349	3,215
170	4,594	4,385	4,194	4,019	3,857
180	5,456	5,207	4,980	4,772	4,580
190	6,419	6,126	5,859	5,614	5,389
200	7,491	7,149	6,837	6,550	6,287
210	8,677	8,280	7,918	7,586	7,282
220	9,983	9,527	9,110	8,728	8,376
230		10,893	10,416	9,979	9,577
240			11,843	11,346	10,888
250				12,834	12,316
260					13,865

R = 900

R	900				
L	10	20	30	40	50
<i>l</i>	10,000	20,000	29,999	39,998	49,996
<i>d</i>	5,000	10,000	15,000	20,000	24,999
<i>y_l</i>	0,019	0,074	0,167	0,296	0,463
ΔR	0,005	0,019	0,042	0,074	0,116
<i>e</i>	3,333	6,666	9,999	13,331	16,662
τ_l	0° 19' 05,9"	0° 38' 11,8"	0° 57' 17,8"	1° 16' 23,7"	1° 35' 29,6"
ω_l	0° 06' 22,0"	0° 12' 43,9"	0° 19' 05,9"	0° 25' 27,9"	0° 31' 49,9"
φ_l	0° 12' 43,9"	0° 25' 27,9"	0° 38' 11,9"	0° 50' 55,8"	1° 03' 39,7"

x = 10	0,019	0,009	0,006	0,005	0,004
20	0,130	0,074	0,049	0,037	0,030
30		0,241	0,167	0,125	0,100
40			0,389	0,296	0,237
50				0,574	0,463
60					0,797

R = 900

R	900				
L	60	70	80	90	100
<i>l</i>	59,998	69,989	79,984	89,978	99,969
<i>d</i>	29,999	34,998	39,997	44,996	49,995
<i>y_l</i>	0,667	0,907	1,185	1,500	1,851
ΔR	0,167	0,227	0,296	0,375	0,463
<i>e</i>	19,991	23,319	26,645	29,970	33,292
τ_l	1° 54' 35,5"	2° 13' 41,4"	2° 32' 47,3"	2° 51' 53,2"	3° 10' 59,2"
ω_l	0° 38' 11,8"	0° 44' 33,8"	0° 50' 55,8"	0° 57' 17,7"	1° 03' 39,6"
φ_l	1° 16' 23,7"	1° 29' 07,6"	1° 41' 51,5"	1° 54' 35,5"	2° 07' 19,6"
x = 10	0,003	0,003	0,002	0,002	0,002
20	0,025	0,021	0,019	0,016	0,015
30	0,083	0,071	0,063	0,056	0,050
40	0,197	0,169	0,148	0,132	0,119
50	0,386	0,331	0,289	0,257	0,231
60	0,667	0,572	0,500	0,444	0,400
70	1,056	0,908	0,794	0,706	0,635
80		1,353	1,186	1,054	0,948
90			1,686	1,501	1,351
100				2,057	1,853
110					2,465

R = 900

R	900				
L	110	120	130	140	150
t	109,959	119,947	129,932	139,915	149,896
d	54,993	59,991	64,989	69,986	74,983
y _t	2,240	2,666	3,128	3,628	4,165
Δ R	0,560	0,667	0,782	0,907	1,041
e	36,611	39,928	42,242	46,552	49,859
τ _t	3°30'05,1"	3°49'11,0"	4°08'16,9"	4°27'22,8"	4°46'28,7"
ω _t	1°10'01,6"	1°16'23,5"	1°22'45,4"	1°29'07,3"	1°35'29,2"
φ _t	2°20'03,5"	2°32'47,5"	2°45'31,5"	2°58'15,5"	3°10'59,5"
x = 10	0,002	0,002	0,001	0,001	0,001
20	0,018	0,012	0,011	0,011	0,010
30	0,045	0,042	0,038	0,036	0,033
40	0,108	0,099	0,091	0,085	0,079
50	0,210	0,193	0,178	0,165	0,154
60	0,364	0,333	0,308	0,286	0,267
70	0,578	0,529	0,489	0,454	0,423
80	0,862	0,790	0,729	0,677	0,632
90	1,228	1,125	1,039	0,965	0,900
100	1,684	1,544	1,425	1,323	1,235
110	2,243	2,055	1,897	1,762	1,644
120	2,911	2,669	2,464	2,287	2,135
130		3,394	3,133	2,909	2,715
140			3,914	3,635	3,392
150				4,471	4,173
160					5,066

R = 900

R	900				
L	160	170	180	190	200
t	159,874	169,848	179,820	189,788	199,753
d	79,979	84,975	89,970	94,965	99,959
y _t	4,738	5,348	5,996	6,680	7,401
Δ R	1,185	1,338	1,499	1,671	1,851
e	53,163	56,462	59,757	63,048	66,334
τ _t	5°05'34,7"	5°24'40,6"	5°43'46,5"	6°02'52,4"	6°21'58,3"
ω _t	1°41'51,2"	1°48'13,0"	1°54'34,9"	2°00'56,8"	2°07'18,6"
φ _t	3°23'43,5"	3°36'27,6"	3°49'11,6"	4°01'55,6"	4°14'39,7"
x = 10	0,001	0,001	0,001	0,001	0,001
20	0,009	0,009	0,008	0,008	0,007
30	0,031	0,029	0,028	0,026	0,025
40	0,074	0,070	0,066	0,062	0,059
50	0,145	0,136	0,129	0,122	0,116
60	0,250	0,235	0,222	0,211	0,200
70	0,397	0,374	0,353	0,334	0,318
80	0,593	0,558	0,527	0,499	0,474
90	0,844	0,794	0,750	0,711	0,675
100	1,158	1,090	1,029	0,975	0,926
110	1,541	1,450	1,370	1,298	1,233
120	2,001	1,883	1,779	1,685	1,601
130	2,545	2,395	2,262	2,143	2,035
140	3,179	2,992	2,825	2,676	2,542
150	3,912	3,681	3,476	3,293	3,128
160	4,749	4,469	4,220	3,997	3,797
170	5,698	5,363	5,064	4,796	4,556
180		6,368	6,014	5,696	5,410
190			7,076	6,702	6,366
200				7,821	7,428
210					8,604

R = 900

R	900				
L	210	220	230	240	250
<i>i</i>	209,714	219,672	229,625	239,574	249,518
<i>d</i>	104,952	109,945	114,937	119,929	124,920
<i>y_l</i>	8,159	8,953	9,785	10,653	11,558
ΔR	2,041	2,240	2,448	2,665	2,891
<i>e</i>	69,614	72,890	76,160	79,424	82,683
<i>r_l</i>	6° 41' 04,2"	7° 00' 10,1"	7° 19' 16,1"	7° 38' 22,0"	7° 57' 27,9"
<i>ω_l</i>	2° 13' 40,5"	2° 20' 02,3"	2° 26' 24,1"	2° 32' 45,9"	2° 39' 07,7"
<i>φ_l</i>	4° 27' 23,7"	4° 40' 07,8"	4° 52' 52,0"	5° 05' 36,1"	5° 18' 20,2"
x = 10	0,001	0,001	0,001	0,001	0,001
20	0,007	0,007	0,006	0,006	0,006
30	0,024	0,023	0,022	0,021	0,020
40	0,056	0,054	0,052	0,049	0,047
50	0,110	0,105	0,101	0,096	0,093
60	0,190	0,182	0,174	0,167	0,160
70	0,302	0,289	0,276	0,265	0,254
80	0,452	0,431	0,412	0,395	0,379
90	0,643	0,614	0,587	0,563	0,540
100	0,882	0,842	0,805	0,772	0,741
110	1,174	1,121	1,072	1,027	0,986
120	1,524	1,455	1,392	1,334	1,280
130	1,938	1,850	1,770	1,696	1,628
140	2,421	2,311	2,210	2,118	2,033
150	2,979	2,843	2,719	2,606	2,501
160	3,616	3,451	3,301	3,163	3,036
170	4,338	4,141	3,960	3,795	3,643
180	5,152	4,917	4,702	4,506	4,325
190	6,061	5,785	5,532	5,301	5,088
200	7,073	6,750	6,455	6,185	5,937
210	8,192	7,818	7,476	7,163	6,875
220	9,424	8,994	8,600	8,240	7,908
230		10,283	9,833	9,421	9,041
240			11,179	10,710	10,279
250				12,114	11,625
260					13,086

R = 950

R	950				
L	10	20	30	40	50
<i>i</i>	10,000	20,000	29,999	39,998	49,997
<i>d</i>	5,000	10,000	15,000	20,000	24,999
<i>y_l</i>	0,018	0,070	0,158	0,281	0,439
ΔR	0,004	0,018	0,040	0,070	0,110
<i>e</i>	3,333	6,666	9,999	13,331	16,662
<i>r_l</i>	0° 18' 05,6"	0° 36' 11,2"	0° 54' 16,8"	1° 12' 22,4"	1° 30' 28,0"
<i>ω_l</i>	0° 06' 01,9"	0° 12' 03,7"	0° 18' 05,6"	0° 24' 07,5"	0° 30' 09,3"
<i>φ_l</i>	0° 12' 03,7"	0° 24' 07,5"	0° 36' 11,2"	0° 48' 14,9"	1° 00' 18,7"
x = 10	0,018	0,009	0,006	0,004	0,004
20	0,123	0,070	0,047	0,035	0,028
30		0,228	0,158	0,118	0,095
40			0,369	0,281	0,225
50				0,544	0,439
60					0,755

R = 950

R	950				
L	60	70	80	90	100
<i>t</i>	59,994	69,991	79,986	89,980	99,972
<i>d</i>	29,999	34,998	39,998	44,997	49,995
<i>y_t</i>	0,632	0,860	1,123	1,421	1,754
ΔR	0,158	0,215	0,281	0,355	0,439
<i>e</i>	19,992	23,321	26,647	29,973	33,296
<i>r_t</i>	1°48'38,6"	2°06'39,2"	2°24'44,8"	2°42'50,4"	3°00'56,0"
<i>w_t</i>	0°36'11,2"	0°42'18,0"	0°48'14,9"	0°54'16,8"	1°00'18,6"
<i>φ_t</i>	1°12'22,4"	1°24'26,2"	1°36'29,9"	1°48'33,6"	2°00'37,4"
x = 10	0,003	0,003	0,002	0,002	0,002
20	0,023	0,020	0,018	0,016	0,014
30	0,079	0,068	0,059	0,053	0,047
40	0,187	0,160	0,140	0,125	0,112
50	0,366	0,313	0,274	0,244	0,219
60	0,632	0,541	0,474	0,421	0,379
70	1,000	0,860	0,752	0,669	0,602
80		1,281	1,123	0,998	0,898
90			1,597	1,422	1,279
100				1,949	1,755
110					2,335

R = 950

R	950				
L	110	120	130	140	150
<i>t</i>	109,963	119,952	129,939	139,924	149,907
<i>d</i>	54,994	59,992	64,990	69,987	74,984
<i>y_t</i>	2,122	2,526	2,964	3,437	3,946
ΔR	0,531	0,632	0,741	0,859	0,987
<i>e</i>	36,617	39,935	43,251	46,564	49,874
<i>r_t</i>	3°19'01,7"	3°37'07,3"	3°55'12,9"	4°13'18,5"	4°31'24,1"
<i>w_t</i>	1°06'20,4"	1°12'22,3"	1°18'24,1"	1°24'25,9"	1°30'27,7"
<i>φ_t</i>	2°12'41,3"	2°24'45,0"	2°36'48,8"	2°48'52,6"	3°00'56,4"
x = 10	0,002	0,001	0,001	0,001	0,001
20	0,013	0,012	0,011	0,010	0,009
30	0,043	0,039	0,036	0,034	0,032
40	0,102	0,094	0,086	0,080	0,075
50	0,199	0,183	0,169	0,157	0,146
60	0,345	0,316	0,292	0,271	0,253
70	0,547	0,502	0,463	0,430	0,401
80	0,817	0,749	0,691	0,642	0,599
90	1,163	1,066	0,984	0,914	0,853
100	1,596	1,463	1,350	1,254	1,170
110	2,125	1,947	1,797	1,669	1,557
120	2,757	2,529	2,334	2,166	2,022
130		3,215	2,968	2,756	2,572
140			3,707	3,443	3,213
150				4,235	3,953
160					4,798

R = 950

R	950				
L	160	170	180	190	200
i	159,887	169,864	179,839	189,810	199,779
d	79,981	84,977	89,973	94,968	99,963
y _l	4,489	5,067	5,681	6,329	7,012
Δ R	1,122	1,267	1,420	1,583	1,754
e	53,180	56,483	59,782	63,077	66,368
τ _l	4°49'29,7"	5°07'35,3"	5°25'40,9"	5°43'46,5"	6°01'52,1"
ω _l	1°36'29,5"	1°42'31,3"	1°48'33,1"	1°54'34,9"	2°00'36,7"
φ _l	3°13'00,2"	3°25'04,0"	3°37'07,8"	3°49'11,6"	4°01'15,4"
x = 10	0,001	0,001	0,001	0,001	0,001
20	0,009	0,008	0,008	0,007	0,007
30	0,030	0,028	0,026	0,025	0,024
40	0,070	0,066	0,062	0,059	0,056
50	0,137	0,129	0,122	0,115	0,110
60	0,237	0,223	0,211	0,199	0,189
70	0,376	0,354	0,334	0,317	0,301
80	0,561	0,528	0,499	0,473	0,449
90	0,799	0,752	0,711	0,673	0,640
100	1,097	1,032	0,975	0,924	0,877
110	1,460	1,374	1,298	1,229	1,168
120	1,896	1,784	1,685	1,596	1,516
130	2,411	2,269	2,143	2,030	1,928
140	3,012	2,834	2,676	2,535	2,408
150	3,705	3,487	3,293	3,119	2,963
160	4,499	4,233	3,997	3,786	3,597
170	5,397	5,080	4,796	4,543	4,315
180		6,032	5,696	5,395	5,124
190			6,701	6,348	6,029
200				7,407	7,035
210					8,148

R = 950

R	950				
L	210	220	230	240	250
i	209,744	219,705	229,663	239,617	249,568
d	104,957	109,951	114,944	119,936	124,928
y _l	7,730	8,483	9,271	10,094	10,951
Δ R	1,933	2,122	2,319	2,525	2,740
e	69,654	72,935	76,212	79,483	82,749
τ _l	6°19'57,7"	6°38'03,3"	6°56'08,9"	7°14'14,5"	7°32'20,1"
ω _l	2°06'38,4"	2°12'40,2"	2°18'41,9"	2°24'43,7"	2°30'45,4"
φ _l	4°13'19,3"	4°25'23,1"	4°37'27,0"	4°49'30,8"	5°01'34,7"
x = 10	0,001	0,001	0,001	0,001	0,001
20	0,007	0,006	0,006	0,006	0,006
30	0,023	0,022	0,021	0,020	0,019
40	0,053	0,051	0,049	0,047	0,045
50	0,104	1,100	0,095	0,091	0,088
60	0,180	0,172	0,165	0,158	0,152
70	0,287	0,274	0,262	0,251	0,241
80	0,428	0,408	0,391	0,374	0,359
90	0,609	0,581	0,556	0,538	0,512
100	0,836	0,798	0,763	0,731	0,702
110	1,112	1,062	1,015	0,973	0,934
120	1,144	1,378	1,318	1,263	1,213
130	1,836	1,753	1,676	1,606	1,542
140	2,294	2,189	2,094	2,007	1,926
150	2,822	2,693	2,576	2,468	2,370
160	3,425	3,269	3,127	2,996	2,876
170	4,109	3,922	3,751	3,595	3,451
180	4,880	4,657	4,454	4,268	4,097
190	5,741	5,479	5,240	5,021	4,820
200	6,699	6,393	6,114	5,858	5,623
210	7,759	7,404	7,081	6,784	6,512
220	8,925	8,517	8,145	7,804	7,490
230		9,737	9,312	8,922	8,563
240			10,586	10,142	9,734
250				11,470	11,009
260					12,391

$R = 1000$

R	1000					
	L	10	20	30	40	50
i	10,000	20,000	29,999	39,998	49,997	
d	5,000	10,000	15,000	20,000	24,999	
y_i	0,017	0,067	0,150	0,267	0,417	
ΔR	0,004	0,016	0,037	0,067	0,104	
e	3,383	6,667	9,999	13,331	16,663	
τ_i	$0^{\circ}17'11,3''$	$0^{\circ}34'22,7''$	$0^{\circ}51'34,0''$	$1^{\circ}08'45,3''$	$1^{\circ}25'56,6''$	
ω_i	$0^{\circ}05'43,8''$	$0^{\circ}11'27,6''$	$0^{\circ}17'11,3''$	$0^{\circ}22'55,1''$	$0^{\circ}28'38,9''$	
φ_i	$0^{\circ}11'27,5''$	$0^{\circ}22'55,1''$	$0^{\circ}34'22,7''$	$0^{\circ}45'50,2''$	$0^{\circ}57'17,7''$	
$x = 10$	0,017	0,008	0,006	0,004	0,003	
20	0,117	0,067	0,044	0,033	0,027	
30		0,216	0,150	0,113	0,090	
40			0,350	0,267	0,213	
50				0,517	0,417	
60					0,717	

$R = 1000$

R	1000					
	L	60	70	80	90	100
i	59,995	69,991	79,987	89,982	99,975	
d	29,999	34,999	39,998	44,997	49,996	
y_i	0,600	0,817	1,067	1,350	1,666	
ΔR	0,150	0,204	0,267	0,337	0,417	
e	19,993	23,322	26,649	29,975	33,300	
τ_i	$1^{\circ}43'07,9''$	$2^{\circ}00'19,3''$	$2^{\circ}17'30,6''$	$2^{\circ}34'41,9''$	$2^{\circ}51'53,2''$	
ω_i	$0^{\circ}34'22,6''$	$0^{\circ}40'06,4''$	$0^{\circ}45'50,2''$	$0^{\circ}51'33,9''$	$0^{\circ}57'17,7''$	
φ_i	$1^{\circ}08'45,3''$	$1^{\circ}20'12,9''$	$1^{\circ}31'40,4''$	$1^{\circ}43'08,0''$	$1^{\circ}54'35,5''$	
$x = 10$	0,003	0,002	0,002	0,002	0,002	0,002
20	0,022	0,019	0,017	0,015	0,013	
30	0,075	0,064	0,056	0,050	0,045	
40	0,178	0,152	0,133	0,119	0,107	
50	0,347	0,298	0,260	0,231	0,208	
60	0,600	0,514	0,450	0,400	0,360	
70	0,950	0,817	0,715	0,635	0,572	
80		1,217	1,067	0,948	0,854	
90			1,518	1,351	1,215	
100				1,851	1,668	
110					2,218	